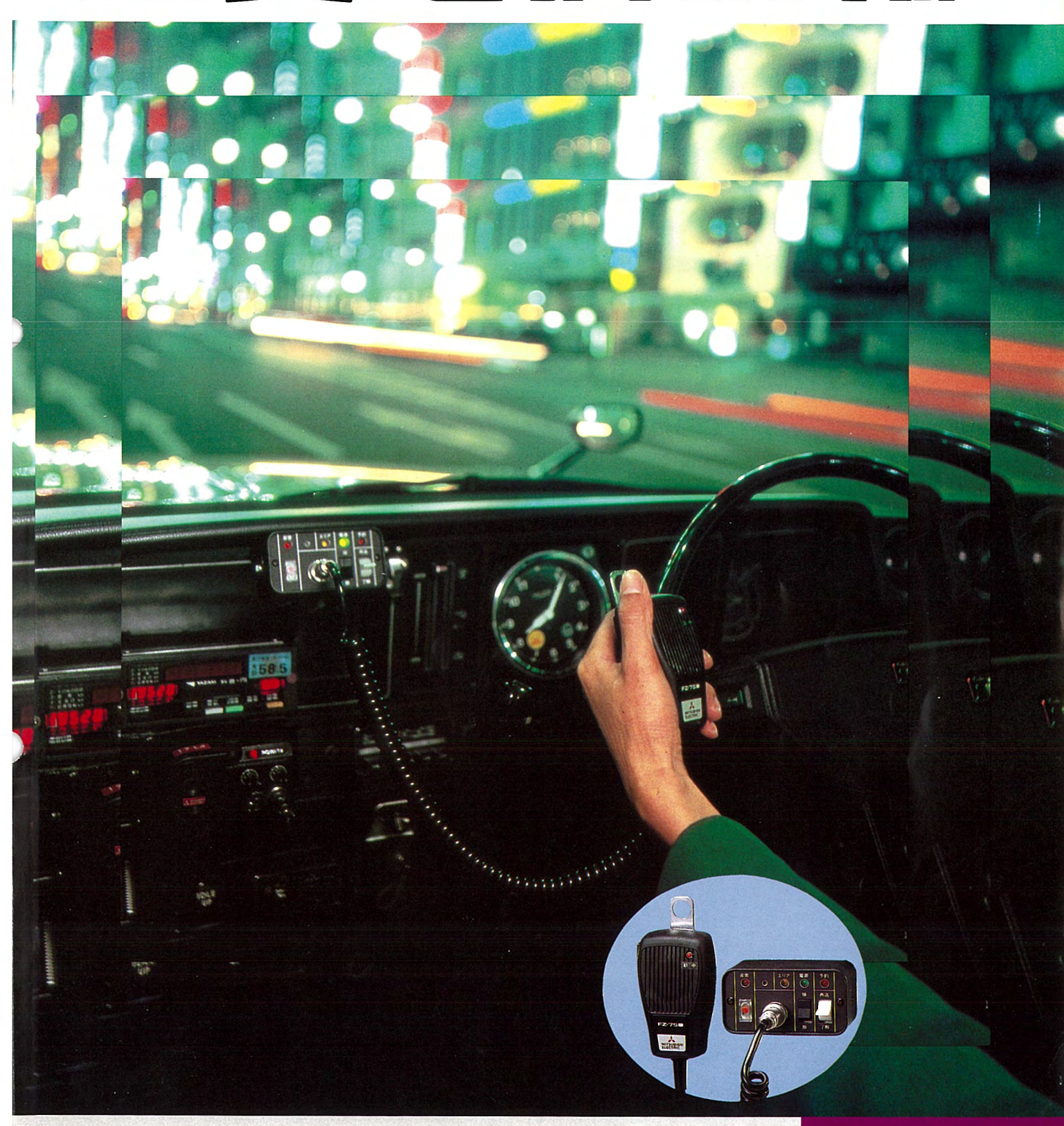
MITSUBISHI DENKI GIHO 三菱電機技報



Vol.58 No.10

カーエレクトロニクス特集



1984

三菱電機技報 Vol. 58 No. 10 1984

カーエレクトロニクス特集

目 次

特 集 論 文	
感熱式燃料流量センサ・・・・・・・・・・・・・・・・・・・・・・・・・・・・・・・・・・・・	1
FM高感度ラジオ・・・・・・・・・・・・・・・・・・・・・・・・・・・・・・・・・・・・	5
切換ダイバーシチFM受信機の特性 深江唯正・野田博司・田浦賢一・壺井芳昭	8
車両動態管理システム (AVMシステム)《MACOMシリーズ》・・・・・・・・・・・・・・・・・・・・・・・・・・・・・・・・・・・・	12
キャプレタの電子制御装置····· 宮崎正明・石井光明・加古 一・池渕和宏	16
電子制御サスペンション *ECS システム" 和田俊一・平田峯生	20
ライン用エンジン、トランスミッション自動試験システム······ 大前芳洋・中山一夫・米倉善彦・大坪光雄・徳永治久	26
最近の自動車試験用シャーシダイナモメータ・・・・・・・・・・・・・・・・・・・・・・・・・・・・・・・・・・・・	31
* * * *	
普通論文熱間圧延用大形直流電動機の絶縁劣化診断・・・・・・・・・・・・・・・・・・・・・・・・・・・・・・・・・・・・	35
《MELFLEX 330》遠方監視制御装置·····金井三男·西川正治·井上 正·寺地信夫	39
衛星搭載用姿勢制御ソフトウェア····· 真鏋舜治・若杉 登・稲宮健一・岡沼 徹・園谷正和・浅見令美	44
《MELCOM 80》 DPS 10 リレーショナル形データベースシステム 山崎洋美・樋口雅宏・吉森幹夫・小村克也・小宮富士夫	49
漢字プリンタによるバーコード印刷システムBARGEN・・・・・ 黒川幸則・土谷昌晴・角谷 徹	55
高 速 大容 量 256KビットマスクROM・・・・・・・・・・・・・・・・・・・・・・・・・・・・・・・・・・・・	59
8000 V, 1500 A 光 ト リ が サイ リ ス タ と そ の 特性 · · · · · · 中川 ・ 勉 · 庭山和彦 · 吉田茂一 · 清原豊彦 · 宮嶋辰夫	62
特許と新案・・・・・・・・・・・・・・・・・・・・・・・・・・・・・・・・・・・・	68
スポットライト 三菱電子温風家具調こたつ	

表紙

タクシー用AVM移動装置

AVMシステムとは車輛動態管理システム (Automatic Vehicle Monitering System)の略で、自動的に車の位置、実車一空車など状況の把握により自動的に配車指令するものである。位置の把握はサインポストと呼ばれる電波灯台(町かどに設置)からの位置信号を受信しセンタコンピュータにより情報収集を行うものである。

写真はタクシー用AVM移動装置操作部である。この操作部は位置把握のほか配車指令、定形情報送出が小形で簡単に、安全に、より早くできるようにしている。このシステムは東京無線タクシー殿、阪急タクシー殿のほか三五会運輸殿、双葉交通殿、東都自動車殿など、順次納入し活躍の期待が大である。



アブストラクト

感熱式燃料流量センサ

佐藤 博·谷本考司·别所三樹生·新居宏壬·壺井芳昭

三菱電機技報 Vol.58·No.10·P1~4

流量センサとしては工業用流量計や計測器などに多種多様のものがあるが、この流量センサは自動車用途ということで開発されたもので、発熱体と、流体である燃料との間の熱伝達現象を利用して燃料流量値を得る、ホットフィルム式のセンサである。発熱体には白金薄膜が採用されており、流量測定範囲が広く、応答性に優れ、小形、安価という特長がある。次代のエンジン制御のシステムや燃料消費計、燃費計などに好適なセンサである。

キャブレタの電子制御装置

宮崎正明·石井光明·加古 一·池渕和宏

三菱雷機技報 Vol.58·No.10·P16~19

自動車における排気ガス浄化と省燃費・ドライバビリティの向上という 相反するニーズを両立させるため電子式燃料制御システムの導入が増加 している。

本稿では、三菱自動車工業(株)、三国工業(株)と共同で開発した安価でかつ空燃比制御性に優れた電子制御キャブレタシステムの概要及びコンピュータユニットについて紹介する。

FM高感度ラジオ

西脇正治•的場恒章•川畑英雄

三菱電機技報 Vol.58·No.10·P5~7

車載用FMラジオの高感度化を図るため、この目的に合ったFM-PLL 検波ICを開発し、FMフロントエンド部の改良と合わせて実用感度で約 10dBの改善を行うことができた。当ICも完成し、ラジオとしての量産化のめどがたったのでその概要を紹介する。

電子制御サスペンション "ECSシステム"

和田俊一•平田峯生

三菱電機技報 Vol.58·No.10·P20~25

乗りごこちと操縦安定性を高いレベルで両立できる電子制御サスペンションシステムを、三菱自動車工業(株)と共同で開発した。このECSシステムの特長は、車高調整の機能とばね定数及び減衰力の強弱の切換機能を同時に実現させたこと、信頼性の高いセンサ、アクチュエータ、コントロールユニットを開発したことである。このシステムの構成と機能について述べる。

切換ダイバーシチFM受信機の特性

深江唯正,野田博司,田浦賢一,壺井芳昭

三菱電機技報 Vol.58·No.10·P8~11

FMカーラジオは、レイリーフェージング現象によって音質の著しい劣化が問題となっている。この対策としてダイバーシチ受信が研究されている。車載用の観点から、切換ダイバーシチが有望であるが、今回、2本のアンテナ、2台のチューナーによる切換方式と2本のアンテナ、1台のチューナーによる切換方式をシミュレーション、フィールドテストによって比較検討し、同等のダイバーシチ効果を確認した。

ライン用エンジン、トランスミッション自動試験システム大前芳洋・中山一夫・米倉善彦・大坪光雄・徳永治久

三菱電機技報 Vol.58·No.10·P26~30

自動車の主要な構成部品であるエンジン及びトランスミッションの品質保証は、重要な問題である。当社は、これらの部品の全数試験を目的としたライン用自動試験システムを製作している。本稿では当社の開発した試験装置機械部分の自動化技術、自動計測技術及びデータ処理システムを中心に、試験方法を含めて最新技術を紹介する。

車両動態管理システム(AVMシステム)《MACOMシリーズ》

来村 俊·岩田 忠·竹垣 弘·土井勝次·大友克彦

三菱電機技報 Vol.58·No.10·P12~15

運送部門のOA化の主力としてAVM (Automatic Vehicle Monitoring: 車両動態管理装置)システムの開発を進めてきた。分散送信局(サインポスト)を利用したタクシ用AVMシステムでは無線配車の自動化のほかに各タクシの状態を把握した配車管理により予想以上の効果を出している。またトラック事業用AVMシステムでは広域位置把握(半自動)の無線によるタイムレコーダー管理、リアルタイムモニタによる集配管理が可能となった。

最近の自動車試験用シャーシダイナモメータ 武田 脩・杉本昭憲・足立省一・矢尾秀雄・木下市之

三菱電機技報 Vol.58·No.10·P31~34

自動車 (完成車) の試験装置であるシャーシダイナモメータは、自動車メーカーにおける燃費向上、パワーアップなど、近年の技術開発競争の激化の情勢下で、その性能向上の要請が一段と高まってきている。当社では、高速応答の電気的慣性模擬装置を備えた高精度のシャーシダイナモメータを標準化し、ユーザーにこたえてきた。ここに従来形シャーシダイナモメータと比較しながら、その技術的特長について述べる。

Abstracts

Mitsubishi Denki Giho: Vol. 58, No. 10, pp. 16 ~ 19 (1984)

An Electronic Control System for Carburetors

by Masaaki Miyazaki, Mitsuaki Ishii, Hajime Kako & Kazuhiro Ikebuchi

Electronic control systems were introduced in response to the interrelated demands for purifying exhaust gases, fuel efficiency and improved drivability. Mitsubishi Electric has developed, in cooperation with Mitsubishi Motors Corporation and Mikuni Industries, a low-cost electronic control system for carburetors with excellent controllability of the air-to-fuel ratio. The article introduces this carburetor control system and the computer unit.

Mitsubishi Denki Giho: Vol. 58, No. 10, pp. 1 - 4 (1984)

Hot-Film-Type Fuel-Flow Sensor

by Hiroshi Sato, Koji Tanimoto, Mikio Bessho, Hirotsugu Arai & Yoshiaki Tsuboi

A wide variety of flow sensors is available for applications including industrial flow meters and measuring instruments. The Mitsubishi hot-film-type fuel-flow sensor has been designed specifically for automotive applications. Fuel-flow values are derived from the heat-transfer phenomena occurring between the heating element and the fuel. The heating element uses a thin platinum film to give a wide range of flow measurements, with excellent responsiveness and low cost in a very small size. The fuel-flow sensor is ideal for the fuel-consumption and fuel-economy meters of the next generation of engine-control systems.

Mitsubishi Denki Giho: Vol. 58, No. 10, pp. 20 ~ 25 (1984)

An Electronically Controlled Suspension System

by Shun'ichi Wada & Mineo Hirata

Mitsubishi Electric has developed, in cooperation with Mitsubishi Motors Corporation, an electronically controlled suspension (ECS) system that well satisfies the demands for both a comfortable ride and drive stability. One important features of this ECS is its combination of the vehicle-height control function with the functions for selecting spring constants and damping force, and the high reliability of its sensors, actuators and control unit. The article includes descriptions of the system configuration and its functions.

Mitsubishi Denki Giho: Vol. 58, No. 10, pp. $5\sim7$ (1984)

A High-Sensitivity FM Radio

by Masaji Nishiwaki, Tsuneaki Matoba & Hideo Kawabata

To improve the sensitivity of FM car radios, an FM-PLL detector ICs has been developed by cooperation between Mitsubishi Electric's Kita-Itami and Kyoto Works. This development, together with improvements to the FM frontend section, has enhanced usable sensitivity by about 10dB. The article introduces the completed IC, with its established viability for a mass-produced high-sensitivity FM radio.

Mitsubishi Denki Giho: Vol. 58, No. 10, pp. 26 \sim 30 (1984) Automated Test Systems for Use in Engine and Transmission Production

by Yoshihiro Dmae, Kazuo Nakayama, Yoshihiko Yonekura, Mitsuo Otsubo & Haruhisa Tokunaga

Quality assurance for automobile engines and transmission systems is a critically important element of automobile production. Mitsubishi Electric has developed and produced an automated production test system for 100 percent inspection of all components. The article introduces the Corporation's latest technologies for automated test systems, particularly those for automating test equipment, instrumentation, and the data-processing system, along with the test methods.

Mitsubishi Denki Giho: Vol. 58, No. 10, pp. 8~11 (1984)
Characteristics of a Mobile FM Receiver
Using Switching Diversity

by Tadamasa Fukae, Hiroshi Noda, Ken'ichi Taura & Yoshiaki Tsuboi

One of the problems faced by FM car radios is their susceptibility to severe deterioration in audio quality with Rayleigh fading. Diversity reception, a promising technique for car-borne reception, has been investigated as a countermeasure for this problem. The authors discuss comparisons they made of switching systems with two antennas and two tuners and those with a single tuner and two antennas in simulation and field tests, establishing that both systems have comparable diversity effects.

Mitsubishi Denki Giho: Vol. 58, No. 10, pp. 31 \sim 34 (1984)

Recent Chassis Dynamometers for Vehicle Testing

by Osamu Takeda, Akinori Sugimoto, Shoichi Adachi, Hideo Yao & Ichiyuki Kinoshita

The recently intensifying competition in devising technical innovations to improve vehicle performance, including lower fuel consumption and higher power output, has imposed severe demands for corresponding improvements in the chassis dynamometers used to test finished vehicles. In response to this demand, Mitsubishi Electric has supplied users with standard, high-precision chassis dynamometers with quick-response electronic inertia simulators. The article describes the special technical features of these dynamometers and compares them with conventional dynamometers.

Mitsubishi Denki Giho: Vol. 58, No. 10, pp. 12 \sim 15 (1984)

The Mitsubishi Automatic Vehicle-Monitoring System

by Suguru Kitamura, Tadashi Iwata, Hiroshi Takegaki, Katsuji Doi & Katsuhiko Otomo

The development of the Automatic Vehicle Monitoring (AVM) system has been promoted as a major means of implementing office automation in the transportation business. The effectiveness of AVM systems for taxi operation using distributed transmitters ("sign posts") has not been limited to the automation of radio-cab operation but has also proven invaluable in monitoring the status of taxis and in control of dispatched cars. AVM systems for trucks give an accurate, semi-automatic grasp of their locations over a wide area using real-time monitoring of time recorders by radio, enabling centralized management of vehicle operation.

アブストラクト

熱間圧延用大形直流電動機の絶縁劣化診断 登古大敬・藤原健三・橋本 修・中田了一・高月 一

三菱電機技報 Vol.58·No.10·P35~38

直流電動機の絶縁劣化要因は熱劣化、ヒートサイクル劣化、振動劣化の3要因に絞って考えることができる。我々は熱間圧延用大形直流電動機の絶縁劣化診断を目的に、マイカと耐熱合成樹脂から成るF種絶縁の基礎試験データを解析して各要因ごとの劣化特性を求め、実機の稼働条件及び稼働履歴から定量的に劣化率を求める推定式を確立した。更に、3台の実機絶縁破壊試験を実施し、その推定式が実機の絶縁寿命予知に極めて有効であることを確認した。

漢字プリンタによるバーコード印刷システムBARGEN 黒川幸則・土谷昌晴・角谷 徹

三菱電機技報 Vol58·No.10·P55~58

最近、流通・運輸・製造など各分野でのバーコード利用は急激に増加しつつある。こうした中で、多種多様なバーコードパターンと様式編集の自動化、高速処理化に対応するソフトウェアとして、漢字プリンタを利用したバーコード印刷システムBARGENを開発した。

本稿では、このシステムの概要、ソフトウェアの構成、機能の概略について紹介する。

《MELFLEX 330》遠方監視制御装置

金井三男·西川正治·井上 正·寺地信夫

三菱電機技報 Vol.58·No.10·P39~43

電力事業に使用される遠方監視制御装置は、適用電気所の拡大や計算機システムとの接続により、従来以上に信頼性の向上が必要とされてきている。この装置はその要求に応ずるべく開発された専用機種で、1対向ごとのMTBF (Mean Time Between Failure) 10年を目標として種々の考慮がなされており、その概要を紹介する。

高速大容量256KビットマスクROM

松尾龍一·張間寬一·島崎政光·高橋広成·秦 務

三菱電機技報 Vol.58·No.10·P59~61

近年、少量多品種の電子機器や開発時の電子機器用ROMとしてEPROMが用いられている。一方、同一パターンの使用量が多い電子機器には、メモリ内容のプログラム作業が不要などの理由から、コスト的に有利なマスクROMが用いられている。今回、微細加工技術と低電力高速化回路設計技術を組み合わせ、256KビットEPROMと読出し時互換性のある256KビットマスクROMを開発したので、その回路構成・動作特性などについて紹介する。

衛星搭載用姿勢制御ソフトウェア

真鍋舜治·若杉 登·稲宮健一·岡沼 徹·圓谷正和·浅見令美

三菱電機技報 Vol.58·No.10·P44~48

中高度三軸衛星に搭載される姿勢制御ソフトウェアはディジタル型姿勢 軌道制御電子回路 (DAOCE) の ROMに格納され、捕捉制御、定常制御、 テレメトリコマンド処理、各コンポーネントとの入出力処理、セーフティ処理を行う機能を持つ。割り込みは125msの1レベルのみとする。搭 載ソフトウェアの性能としては、ROM領域12Kワード、RAM領域1K ワード、1周期当りの処理時間は約25msである。 8000V, 1500A光トリガサイリスタとその特性

中川 勉・庭山和彦・吉田茂一・清原豊彦・宮嶋辰夫

三菱電機技報 Vol.58·No.10·P62~65

世界最大の耐圧8000V,電流容量1500A,ターンオフ時間600µS,最小光トリガパワ7mWの特性定格をもつ光トリガサイリスタ(形名.FT1500 GU-160)を開発した。本論文では、この素子の開発に際して、重要な課題となった高耐圧化、大容量化と光伝送系の高効率化に関する光トリガサイリスタのベーシックエレメント、光学系の設計及び構造と得られた特性を中心に述べる。

《MELCOM 80》DPS10リレーショナル形データベースシステム

山崎洋美・樋口雅宏・吉森幹夫・小村克也・小宮富士夫

三菱電機技報 Vol.58·No.10·P49~54

《MELCOM 80》 DPS 10のリレーショナル形データベースシステムは、 従来のファイルに対して自由なデータの見方を可能にするもので、応用 システムの柔軟な設計を可能としている。このためにデータの選択、射 影及び結合といった関係(リレーショナル)操作機能が備えられている。 本稿ではDPS10で実現されているリレーショナル形データベースシステ ムの設計思想、機能などについて述べる。

Abstracts

Mitsubishi Denki Giho: Vol. 58, No. 10, pp. 55 ~ 58 (1984)

A Bar-Code Printing System

by Yukinori Kurokawa, Masaharu Tsuchiya & Toru Kakutani

There is an increasing demand for bar-code systems in distribution, transportation, manufacturing and other sectors of the economy. Mitsubishi Electric has developed a bar-code printing system for use in automated production and editing of a variety of bar-code patterns and formats. The article introduces this new bar-code printing system, giving a system overview, the software configuration and an outline of its functions.

Mitsubishi Denki Giho: Vol. 58, No. 10, pp. 59 ~ 61 (1984)

A High-Speed High-Density 256K-bit MASK ROM

by Ryulchi Matsuo, Hirokazu Harima, Masamitsu Shimazaki, Hiroshige Takahashi & Tsutomu Hata

In recent years, EPROMs have come into widespread use as the ROMs for electronic equipment produced in small volumes but in a large number of variants, and in electronic equipment at the development stage. On the other hand, mask ROMS have cost advantages for a single pattern of electronic equipment used in large quantities, because their memory content needs no programming. Mitsubishi Electric has developed a 256K-bit mask ROM read-compatible with a 256K-bit EPROM by combining state-of-the-art techniques for fine fabrication and low-power, high-speed circuit design. The article introduces this mask ROM with its circuit configuration and operating characteristics.

Mitsubishi Denki Giho: Vol. 58, No. 10, pp. 62 \sim 65 (1984) An 8,000V, 1,500A Light-Triggered Thyristor

by Tsutomu Nakagawa, Kazuhiko Niwayama, Shigekazu Yoshida, Toyohiko Kiyohara & Tatsuo Miyajima

and Its Characteristics

Mitsubishi Electric has developed the FT1500GU-160 light-triggered thyristor that provides the world's largest blocking voltage of 8,000V, a current capacity of 1,500A, a turn-off time of 600 μs and a minimum light-triggering power of 7mW. The article describes this thyristor, especially in terms of its basic performance, including the high blocking voltage, large current capacity and the high efficiency of the optical-transmission system, optical-system design and structure.

Mitsubishi Denki Giho: Vol. 58, No. 10, pp. 35 ~ 38 (1984)

Insulation Diagnosis of Large DC Motors for Hot-Rolling Mills

by Taikei Toko, Kenzo Fujiwara, Osamu Hashimoto, Ryoichi Nakata & Hajime Takatsuki

The degradation of DC-motor insulation is attributed mainly to three factors: thermal aging, heat-cycle aging and vibration aging. To diagnose the degradation in the insulation of DC motors, Mitsubishi Electric has analyzed the basic testing data of Class F insulation composed of mica and heatproof synthetic resin, deriving the degradation characteristics for each of these factors. As a result, a formula has been established that predicts the quantitative rate of degradation from equipment operating conditions and operational antecedents. In addition, from dielectric breakdown testing of three motors, the predictive formula has been confirmed as an effective means of estimating the insulation life of the equipment.

Mitsubishi Denki Giho: Vol. 58, No. 10, pp. $39 \sim 43$ (1984)

MELFLEX 330 Remote Supervisory-Control Equipment

by Mitsuo Kanai, Masaharu Nishikawa, Tadashi Inoue & Nobuo Teraji

There is a growing demand for remote supervisory-control equipment with higher reliability as electric-power stations are increasingly linked with computer systems. The dedicated equipment described in the article was developed in response to this demand, with the aim of achieving a mean time between failures (MTBF) per unit of ten years.

Mitsubishi Denki Giho: Vol. 58, No. 10, pp. $44 \sim 48$ (1984)

Attitude-Control Software for Onboard Satellite Computers

by Shunji Manabe, Noboru Wakasugi, Ken'ichi Inamiya, Toru Okanuma & Masakazu Tsumuraya & Yoshimi Asami

The attitude-control software for a low-attitude three-axis stabilized satellite is stored in ROM in the digital attitude orbit control equipment (DAOCE). This software has such capabilities as acquisition control, normal control, telemetry command processing, and component input/output and safety function processing. A single level of 125ms interrupts is provided for. The software has a processing time per cycle of approximately 25ms for 12K-words in the ROM area and 1K-word in the RAM area.

Mitsubishi Oenki Giho: Vol. 58, No. 10, pp. $49 \sim 54$ (1984)

The DPS10 Relational Database System for Use with MELCOM 80 Computers

by Hiromi Yamazaki, Masahiro Higuchi, Mikio Yoshimori, Katsuya Komura & Fujio Komiya

Unlike conventional database systems, the DPS10 relational database system allows data files to be viewed freely, without restriction, enabling application systems to be designed flexibly. It provides a variety of relational operating functions including data selection, projection and joining. The article describes the DPS10 relational database system including its design concepts and functions

感熱式燃料流量センサ

佐 藤 博*・谷 本 考 司*・別所三樹生*・新 居 宏 壬*・壺 井 芳 昭**

1. まえがき

一般に流量 センサとしては、各種の工業用流量計や計測機器など、多くの分野で多種多様の方式のものが使われているが、高性能・小形・安価という特長を備え、自動車用途にそのまま適用できるものは少ない。 他方、自動車分野では エンジン 制御などの システム に必要な制御用 センサの一つとして、 また燃料消費計や燃費計のための センサとして、 燃料流量を高い精度で短時間に測れるような センサが求められている。

本稿で紹介する セッサ はこのような背景の下に、 種々の方式検討から始めて試作・評価を重ねて開発したもので、発熱体と、流体である燃料との間の熱伝達現象を利用して燃料の流量値を得る感熱式の セッサ である。発熱体には白金の薄膜 (2,000 Å) が採用されており、 燃料の配管系の主流中央部に ノズル に対向するように配置することにより、従来のものに比べ小形軽量なる構成で広い流量測定範囲と高い応答性を実現している。

一方, 自動車の エンジン制御用 セッサに関しては, W. G. Wolber による総括的な報告(**)に代表されるように多く議論がなされており, 燃料流量についても一項目として要求性能が述べられている。表 1. はその要求値をまとめたものであるが, 一般の工業用流量計と比較して測定する流量は小さいが測定範囲は大きい。 本稿のセンサ はこれらの要求値をほとんど満足しており,次代のエンジン制御の システム やトリップコンピュータ への燃料情報源などに応用が期待されるセンサである。

項 E 婯 釆 値 大 流 量 (g/s) 25 ダイナミックレンジ -30 :-1 113 カ 0~5 V 度 (%) 鞘 ± 1 分 能 (%) 11.50 淀 数 (s) 信 性 0.997, 2,000 h E 格 (円) 2,000

表 1. 燃料流量 センサ の要求性能

2. 各種方式の比較

自動車用の燃料流量 セッサ として、これまでに幾つかの報告例があり、既に車載されているものもあるが、そのほとんどは トリップコンピュータ などの燃料情報として使われている。 図 1. はこれらの報告例を分類したもので、2種類の方式に大別することができる。

一つは体積変化や差動圧力を利用する機械式のもので、古くから 伝統的に用いられている方式である。既に実用化されている例とし て、流れを引っかくように羽根車が回る外輪車式、細い水路を小さ な球が転がるように回るボールインレース式、タービン式などがある。信

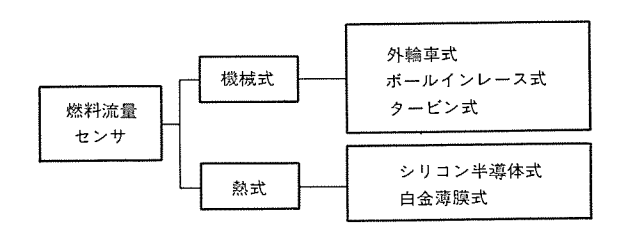


図 1. 燃料流量 センサの分類

号の取り出しには発光 ダイオード や ランプを使う光学式 と 磁石を使う 磁気式があるが、 いずれも周波数出力であり マイクロプロセッサ による 信号処理がしやすい反面、可動部分をもち力学的な慣性による遅れ などの問題があり、出力周波数も数分の 1 Hz から数十 Hz と低い。 更に出力 パルスの計数や平均化のための信号処理に時間を要し、エンジン 制御などの応用には応答性と信頼性に欠ける傾向がある。 加えて、この方式は体積流量(単位時間当りにある断面を通過する流体の体積)を計測するもので、質量流量(単位時間当りにある断面を通過する流体の体積)を計測することはできない。自動車への応用という観点からは、エンジン制御への応用という面からも、燃費計などへの応用という面でも、計測しなければならないのは後者の質量流量である。これは空燃比というものが化学量論的に決定される量であり、しかも ガンリンの密度が 0℃から 70℃ の温度範囲において約8%も変化するからである。更に、高温・低圧の下では気泡の発生も余儀無くされ、2相流状態を形成する場合もあるからである。

もう一つの燃料流量 センサの方式は熱式のもので、 発熱体が流れによって冷却されるという冷却現象を利用している。 熱式は基本的には質量流量計測が可能な センサで、 計測機器の分野で多く使われている熱線式風速計に見られるように高い応答性を得ることができる。 熱式には自動車への応用例として、発熱体に シリコン 半導体を用いたもの(2)と、本稿の白金薄膜を用いたものとがある。

シリコン半導体の方式は、Ngイプ(ドープ量 10⁻¹⁵cm⁻³)の角形(0.7×0.7×0.15 mm³)シリコンチップが採用されており、ステンレススチール 製のパイプ (内径 0.767 cm×長さ 30 cm) 内に燃料の流れに対して平行に装着されている。パイプ径が大きいので流速は低く抑えられて おり、流れは全流量範囲にわたって層流が保たれるようになっている。したがって、この方式は低流速域を使うため外部からの振動などの影響を受けやすく、寸法も大きなものになっている。また、シリコン半導体の抵抗温度係数は温度に対する直線性に欠けるため、広い温度範囲にわたって 精度の良い温度補償をかけることは容易ではない。

本稿の白金薄膜の方式は、円柱形の セラミック 棒の側面部に白金を被覆した構造がとられている。発熱体が流れによって冷却される現象を利用している点はシリコン 半導体の方式と同様であるが、白金薄膜からなる発熱体が燃料の流れに対して垂直に、 ノズル に対向 するように装着されている。 配管系の主流内に置かれた ノズル によって流れが増速され、円形噴流を形成して発熱体に衝突するようになっ

^{*} 応用機器研究所 ** 同研究所(工博)

ているので、発熱体付近の流れはほとんど全流量範囲にわたって乱流を形成するようになっている。したがって、この方式では比較的高い流速域で動作するようになっているので、振動などの影響を受け難く、小形軽量なる構成で高い応答性を得ることができる。また、白金の抵抗温度係数は温度に対する直線性に優れているので、広い温度範囲にわたって高い精度で温度補償をかけることができる。

3. センサの動作原理

ことで紹介する感熱式の燃料流量 センサ は白金薄膜の方式 を 採用しており、基本的な動作原理は計測器の分野における熱線式流速計のそれに該当する。発熱体が燃料の流れによって冷却される冷却熱伝達量を、抵抗一温度依存性を有し薄膜状の白金から成る感温素子で電気信号に変換することによって燃料の流量値を得るものである。

図 2. はこの感熱式燃料流量 センサの検出部の断面図である。燃料の流れは温度補償素子を通過した後、後方に配されたノブルによって増速され円形噴流となって発熱素子に衝突する。この場合、発熱素子と燃料との間の熱伝達の現象は発熱素子周りの境界条件が複雑であるため、正確に記述することは解析的にも実験公式による近似によっても容易ではない。したがって、ここでは積分形式を用いて基本的な原理式を説明し、熱伝達の現象を定性的に述べる。

発熱素子と燃料との間には、発熱体の温度が変らない熱的平衡状態においては常に式(1)に示すような エネルギー 保存則が成り立っている。

$$\iiint \frac{dq_{y}}{dt}dv = \iint \frac{dq_{t}}{dt}ds \cdots (1)$$

ここで、 q_q :単位体積当りの発熱量

 q_t : 単位面積当りの冷却熱伝達量

左辺は発熱素子内部で単位時間当りに発生する熱量を,右辺は発熱素子の表面から燃料に伝達される全熱伝達量を表している。発熱に寄与しているのは白金薄膜の部分で,伝熱工学でよく知られているフーリエの法則とオームの法則を適用し,薄膜の厚さを無視すると,式(2)が得られる。

$$\iiint \rho \cdot J^2 dv = \iint h \cdot (T_w - T_f) ds \quad \cdots \quad (2)$$

ここで、 ρ:電気抵抗率

J: 雷流密度

h:局所熱伝達係数

Tw:発熱素子の壁面温度

 T_f : 燃料の温度

実際には、発熱密度 $\rho \cdot J^2$ にしても、局所熱伝達係数 h も壁面温度 T_w も場所によって異なるが、ここでは簡単化のため、場所依存性

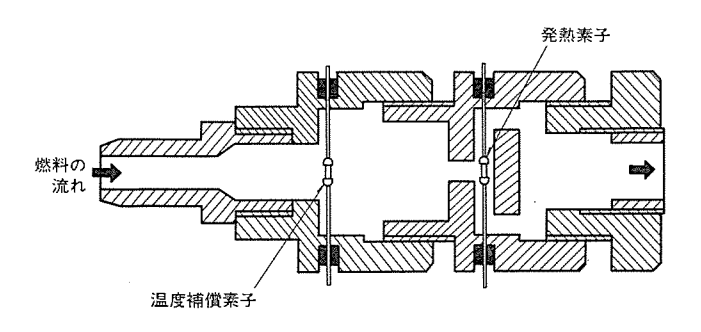


図 2. センサ の断面図

を無視して平均値で代表できるものと仮定すると、次式が得られる。

 $R_{H} \cdot I^{2} = h_{m} \cdot (\overline{T}_{w} - \overline{T}_{f}) \cdot S \cdots (3)$

ここで、 $R_H:$ 発熱素子の電気抵抗

I: 発熱素子を流れる電流

 h_m : 平均熱伝達係数

S: 発熱素子の表面積

ここで、平均熱伝達係数は燃料の平均流速に依存しており、単純な流れの系についてはこれまでに多くの実験公式が報告されている。本稿の感熱式燃料流量 セッサの境界条件を厳密 に 満足するものは見当らないが、一様流速分布の流れに直交するように置かれた円柱に関する管外強制対流熱伝達の実験公式が報告されている(3)。実験公式によると、平均熱伝達率は質量流量の 0.5~0.6 乗にほぼ比例しており、測定結果ともよく一致する。

4. センサの構造と構成

感熱式の燃料流量 センサ は、 発熱素子 と温度補償素子の二つの素子からなっている。 両素子共に、 膜厚 2,000 Å、 抵抗温度係数 3,500 ppm/°C の白金薄膜が用いられており、レーザトリミングによって抵抗値が 20 Ω に調整されている。 白金薄膜は外径 1 mm×長さ 3.2 mm の 円柱形の セラミック 棒の外側面上に被覆されており、 セラミック 棒の両端には直径 0.4 mm の ステンレススチール 線を溶接した ステンレススチール 製の キャップ 状電極がはめ込まれている。 ステンレススチール の熱伝導率は 銅の 1/15 という低い値であるので、センサ 出力の ドリフト 要因となる 支持部への熱損失が小さく外部雰囲気温度の影響も受け難い。

図 3. に素子部を拡大したところを、図 4. に セッサの概観を写真で示す。 ハウジング は耐熱性・耐 ガソリン 性を有する PPS 樹脂 (Polyphenylene Sulfide resin) 製で、真ちゅう(鍮)製 1/4 インチ ニップル を備えた、外径 30 mm×全長 125 mm の寸法になっている。

既に図 2. に示したとおり、二つの素子共、配管系の主流中央部に装着されており、発熱素子の前段に置かれたノズルによって増速

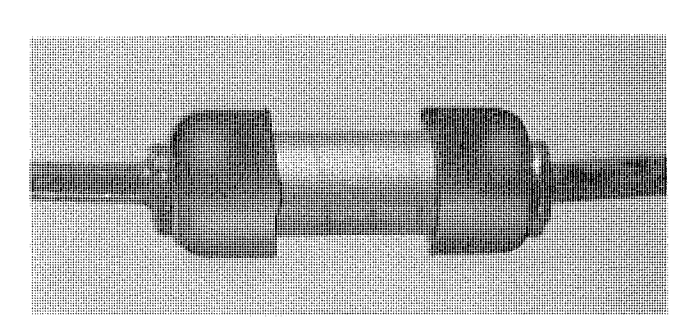


図 3. 素子の拡大写真

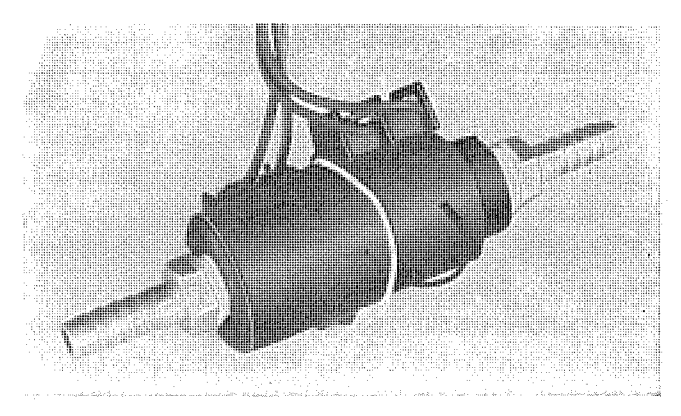


図 4. センサ の概観

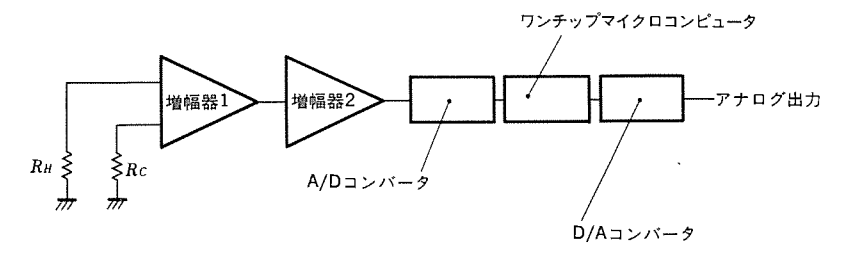


図 5. 信号処理 ユニットの ブロック 図

された流れが発熱素子に衝突し、2方向に分流され、‡+ップ 状電極と リード線を冷却した後、再び合流する。燃料の流れのほとんどの部分が発熱素子に衝突するようになっているので、平均流速を検出することができる上、気泡混入による影響を抑える効果がある。

5. センサの特性と評価

試験した流体は鉱物油と ガンリン であり、 取扱上の簡便性から ベンチ 試験には鉱物油を、車載試験には ガンリン を使った。鉱物油の流体的 性質は ガンリン のそれに類似しており、 室温での比重の違いは数 % 程度で、動粘性係数が ガンリン のほぼ 2 倍である。

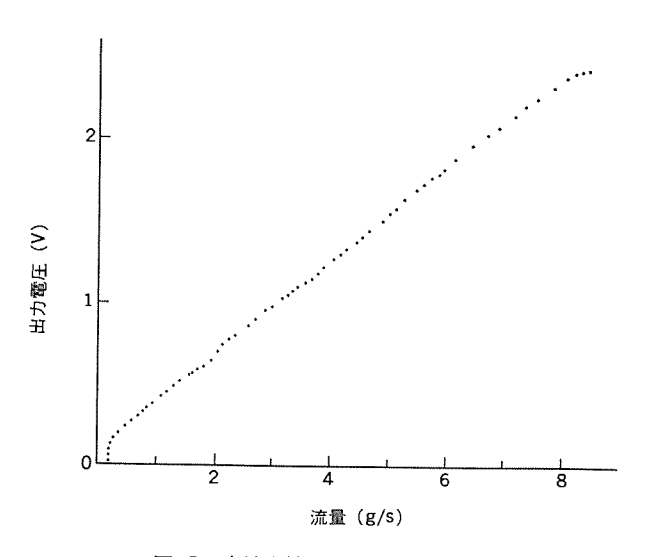


図 6. 直線化補正された センサの特性

図 8. はセンサ出力のパワースペクトルを示したもので、高速フーリエ変換器(HP 5451 C)を用いた流量 2 g/s と8 g/s における試験結果である。流量が大きくなるほど、高い周波数成分が多くなっており、この傾向は 500 Hz の周波数にも見られ、センサの応答性がかなり高いものであることを示している。 図 9. に電子制御燃料噴射のシステムで行った車載試験の結果を示す(エンジンはシリウス 80、三菱自動車製である)。

アイドリング時と エンジン 回転 3,000 rpm の 2 通りの場合について示してあるが、燃料噴射 パルス の信号に センサ 出力が良く追随している様子

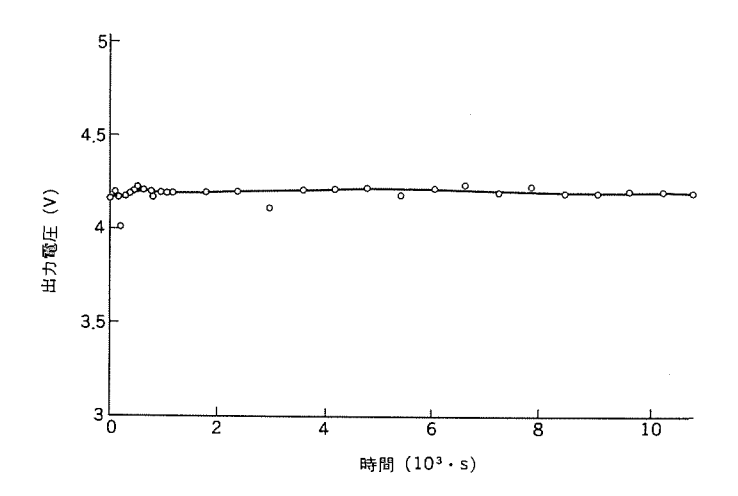


図 7. センサ 出力の経時特性

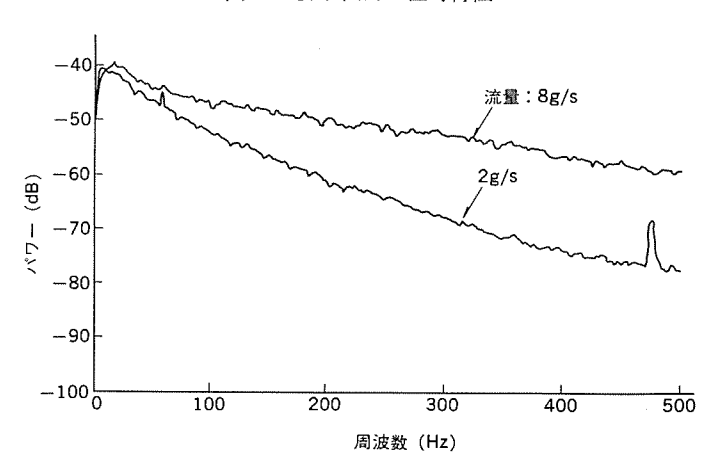


図 8. パワースペクトル

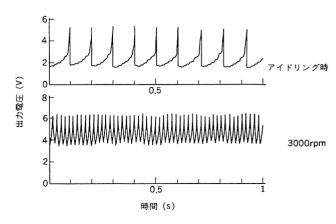


図 9. 車載試験結果

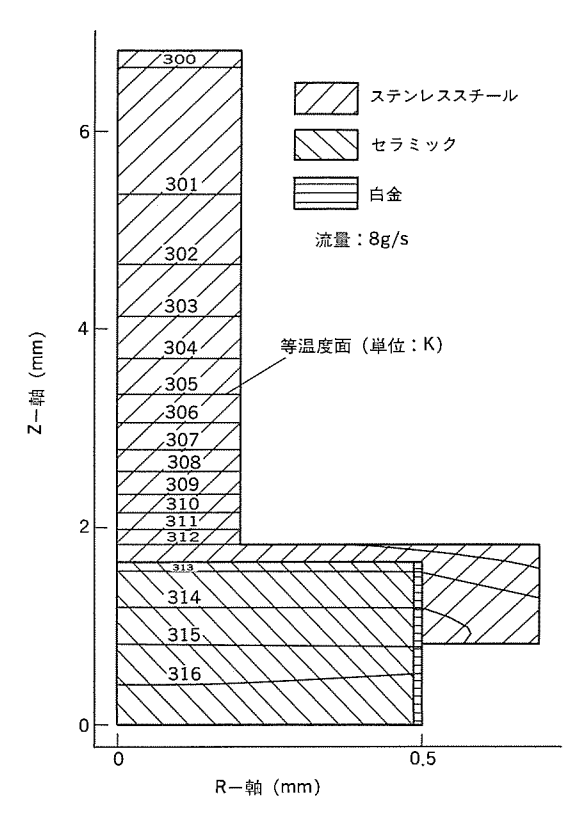


図 10. 素子の温度分布

がわかる。 また,との センサ における圧力損失は比較的小さく,流 量 10~g/s で Jズル 径 1.4~mm のとき,200 mmHg 程度である。

図 10. に計算機 シミュレーションで得られた発熱素子内部の温度分布

の結果を示す。計算には有限差分法による汎用熱解析パッケージを使用した。 流量 8 g/s, 軸対称系の下で電源投入後の非定常計算を繰返し、1,000 秒経過後の温度分布を示したものである。セラミック 棒にはほとんど径方向に温度分布が見られず、白金薄膜に加わる熱応力も、白金薄膜から セラミック 側への熱流も比較的小さいことがわかる。

6. む す び

白金薄膜の素子を使ってノズル付き感熱式燃料流量 セッサを開発した。 各種の試験と計算機 シミュレーション を重ねて、セッサの静的並びに動的 特性を測定・評価し、以下のような特性を得た。

- (1) 従来の流量計にはない 100:1 という大きな ダイナミックレンジ をもつこと。
- (2) 0.1 g/s という微小流量も検出可能で、感度が高いこと。
- (3) 100 ms 以下という, 高い応答性を示すこと。

更に、 との センサ は自動車用途に必す(須)の小形・軽量・安価という特長を兼ね備えており、 次代の エンジン 制御の システム のほかトリップコンピュータ などの システム に応用が期待される。

参考文献

- (1) W. G. Wolber: "Automotive Engine Control Sensors '80", Bendix Research Labs., SAE paper No. 800121
- (2) L. A. Rehn, R. W. Tarpley, K. C. Wiener, and K. M. Durham: "Dual-Element, Solid-State Fluid Flow Sensor", Texas Instruments Inc SAE paper No. 800128
- (3) W. H. McAdams: "Heat Transmission", second edition, McGraw-Hill., New York and London p. 222 (1942)

西脇正治*・的場恒章*・川畑英雄**

1. まえがき

最近のカーオーディオはエレクトロニクス。 とり分け半導体技術の進歩につれ、ますます各社性能機能競争が激化している。カーラジオでは、それが搭載される自動車が屋外で移動するという特殊条件を克服するため二つの方向を採っている。一つはマイクロコンピュータの採用による操作性の向上であり、他方はラジオ本来の機能である受信性能を向上させることである。本稿は後者についての一つの改善策である。すなわちFM 受信機の高感度化に取り組み、従来に比べて弱入力時の安定性、温度特性を徹底的に追求したPLL 検波方式 IC の開発とチューナーの NF 改善を図ることで、FM 実用感度 (S/N=30 dB) を約10 dB 改善することが出来たので以下に概要を紹介する。

2. 開発の背景

国内の車載用 ラジオとして対象になるのは AM 受信と FM 受信である。 AM と FM は搬送波周波数が違う(AM 放送は 522~1,629 kHz, FM 放送は 76~90 MHz)ため,受信状況が異なる。 すなわち AM の場合は波長が長く建造物や地形による遮へいや反射の影響を受けにくく,比較的車載用 ラジオ に適している。一方, FM の場合は波長が 短かく AM では問題にならなかった前述の影響が クローズアップ される。更に国内の FM 放送局は最近増加しつつあるとはいえ数が少なく,電界条件が多少悪くても受信の必要に迫られる。 FM の弱信号時の信号対雑音比(S/N)には,電界があるレベル以下になると急激に悪化する,いわゆる スレショルド 現象が存在する。 これら FM 特有の事情があるため,FM を受信しながら走行すると電界落ち込み時スキップノイズ(バサッという音)が発生し非常に聞き苦しい。

その対策として従来ダイバーシチ 受信により電界の落ち込みを 少 なくすることや,電界が落ち込むに従って ステレオ 分離度を落して行き,オーディオ 周波数特性の高域を カット したり,ソフトミューティング 処理により 聴感上で補正することが行われている。それに対し,本稿では PLL 検波方式により スレショルドレベル 付近で自動的に検波帯域が狭くなることに着目して実用感度を上げ, 受信可能 ェリア の拡大を図った方式について述べる。

3. 高感度化の概要

3.1 構成

図 1. に高感度化 FM 5i の 70 の0 図を示す。 高感度化を図るための技術課題は二つあった。 一つは既に熟成されているはずの 5 ーナー 部分を見直し NF の改善を図ることであり,他方は検波方式を従来の 0 オドラチュア 検波,又は 1 レシオ 検波に代って, PLL 検波を採用することにより高感度化を図ることである。

3.2 チューナーブロック

車載用 ラジオ は自動車が移動体であるため、放送局の送信 アンテナ 直下の強い電界から遠方の非常に弱い電界までを受信対象にする必要があり、強入力に強く、しかも微弱電界でも受信できるような高感

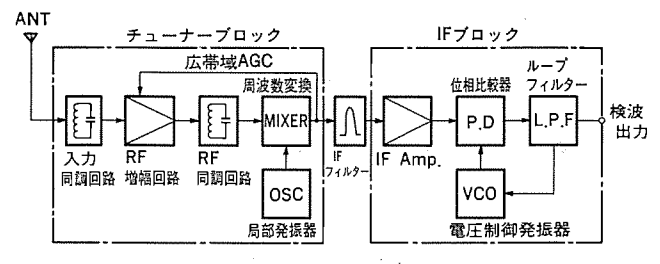


図 1. FM 検波までの ブロック 図

度化が要求される。 また米国のように FM 放送が同一地方で 30 局以上の受信が可能というところでは、 インタモジュレーション 特性の良好なことが要求される。 インタモジュレーション と感度を両立させるため次の方法をとった。

(1) 入力同調回路の見直し

入力同調回路を形成する入力 コイル の損失は直接感度 に 影響する。 FM チューナー の入力同調回路の負荷 Q(Qt) は通常 40~50 程度であり、コイル の無負荷 Q(Qt) が 200 程度あればほぼ損失は無視できる。また単独 ソレノイドコイル で Qt ≥200 は容易に実現できるが、 プリント 基板に実装した状態では予想外の Q低下が生じる。理由は、 周囲の金属物体による近接効果と、コイル に直列に継がる プリント 基板の リードインダクタンス の影響である。後者は パターン 形成時の注意や チップ 部品化で対処でき、 前者は小形化の点で コイル と周囲との間隔を大きく取れないので、コイルの磁束が周囲物体に関係しないようコイルの外側に コア を装着して磁束の遮へいを行った。

(2) 高周波增幅段

雑音指数 (NF) の良い FET の選択とミキサー 段の NF の低下を少なくするため利得を上げた。 インタモジュレーション の悪化は高周波増幅段に対する ミキサー からの広帯域 AGC を最適化することで対処する。しかしながら インタモジュレーション と感度は妥協が必要で,仕向先によっていずれの特性を重視するかを選択する必要は残る。

以上(1), (2)項により従来 f_{2} - f_{-} より感度を $4 \sim 5 \, dB$ 上げることができた。

3. 3 IF ブロック

図 1. に示す IF ブロックは、本稿の主題ともいうべき部分である。高感度化に最も関係するのは PLL 検波部である。 PLL 検波が高感度化に有効なのは次のような理由による。 FM の感度は、 FM 検波段への雑音成分の ピーク が信号成分を越える とき に発生する インパルス性 ノイズ、いわゆる スレショルド 現象が発生する ポイント で決定される。検波入力以前の中間周波 (IF) 帯域を狭めて ノイズの総 エネルギーを小さくすれば当然 スレショルド を抑えられるが、 FM 波が ステレオ 副搬送波を含む音声で変調されているため、カーソン 則帯域幅を大きく下回ることはできない。

PLL 検波方式は、 従来から衛星通信などに用いられている スレショルド 改善形の検波方式である。 すなわち PLL が入力信号に同期すると電圧制御発振器 (VCO) の周波数はその入力に追従する (VCO

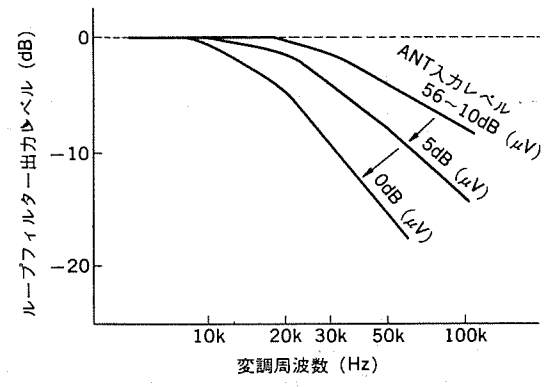
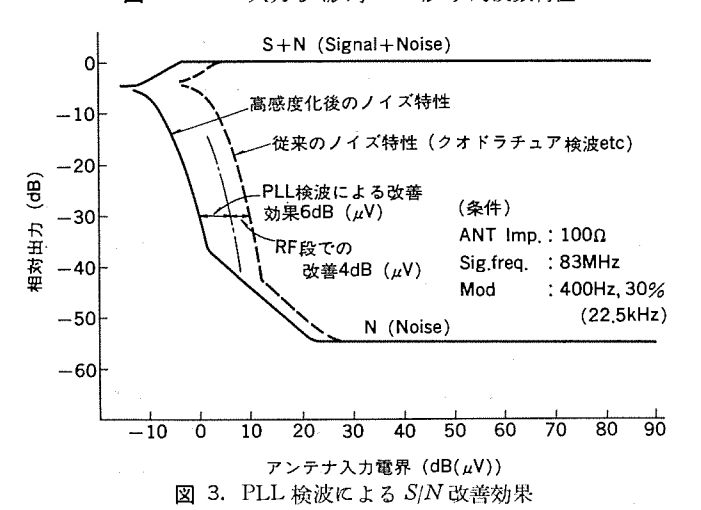


図 2. ANT 入力 レベル 対 PLL ループ 周波数特性



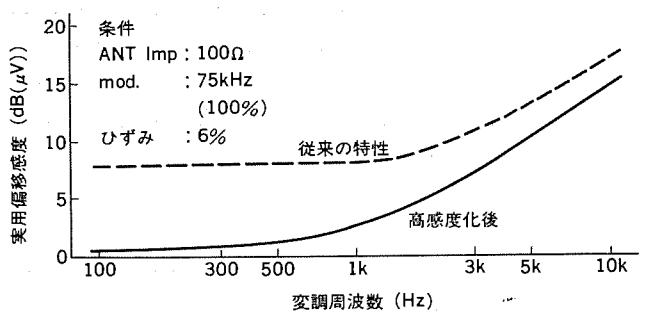


図 4. 変調周波数対実用偏移感度

を制御する位相比較器出力をループフィルターを通して、取り出したものが検波出力である)。FM変調波が前述のように広帯域信号であることから、ステレオ信号を忠実に再現する意味ではループフィルターの帯域を狭くすることはできないが、従来からスレショルド近傍では、もともと S/N が十分取れず、モノラル成分のみ取り出して S/N を良くして聞いている。 PLL 検波方式で、ループ利得を適当な値に設定することにより、スレショルド近傍から自動的にループ利得が下がり、等化的にループフィルターの帯域が狭くなる(図 2.)。

このことを積極的に利用することにより,実用感度の向上を図ったものである。これと等価なことを従来の検波器で行うには,IF 帯のつイルターを狭くすることで理論上は達成されるが,入力信号レベルが高い時でも, モノラル の狭い帯

域のみの再生音しか聞けないばかりでなく、IF 帯域を狭くすることによるひずみ成分が大きくなり実用上実施できない。また従来の 検波でも検波段以後の AF 帯の周波数帯域 を 狭くすることで S/N の向上は期待されるが、スレショルドレベルは IF 帯での ノイズレベル が キャリアレベル より大きくなった点で決るため、 スレショルド の レベル 改善は 出来ず、 スレショルド 点以下での感度向上は不可能である。

このような理由から当検波方式を採用して、実用感度(30 dB S/N)で約 6 dB の改善を行うことができ、先の入力回路の改善と合わせて図 3. に示すような効果が得られる。また FM 受信機の感度の目安としては、先の 30 dB S/N 感度のほか、過変調ひずみを生じ始める電界 レベル で規定する実用偏移感度があり、PPL 検波の場合弱電界では PLL の ロックレンジ が減少する ので、S/N 改善との バランスをとった設定が必要である。 これについての改善効果を図 4. に示す。

4. PLL 検波ブロック

4.1 PLL 検波用 IC (M 51690 L) の内部回路構成

図 5. に M 51697L の ブロック 図を示す。大きく分けて信号系と DC 制御系に分けられる。信号系は IF 増幅器、 PLL 検波回路、ミュート 機能付き低周波増幅器、 AFC 増幅器で構成され、 DC 制御系は レベル 検波器、 OV スイッチ、ミュート 制御回路で構成される。

(1) IF 增幅器

5 段直結の差動増幅器で構成される。 次段に接続される PLL 検波 回路の スレショルド 現象の改善効果を向上させるため、 IF 4 段目と 5 段目の間に 2 次の LPF (低域通過 フィルター)を挿入して S/N 比を 改善するとともに、 スレショルド入力 レベル (スレショルド 現象を起こしは じめる入力 レベル) で IF リミッタ がかからないよう IF 5 段目の ダイナミックレンジ を大きくし、IF 利得の最適化で対処している (IF 利得は 55 dB)。

(2) PLL 検波回路

位相比較器,VCO,DC $_{7}$ $_{8}$

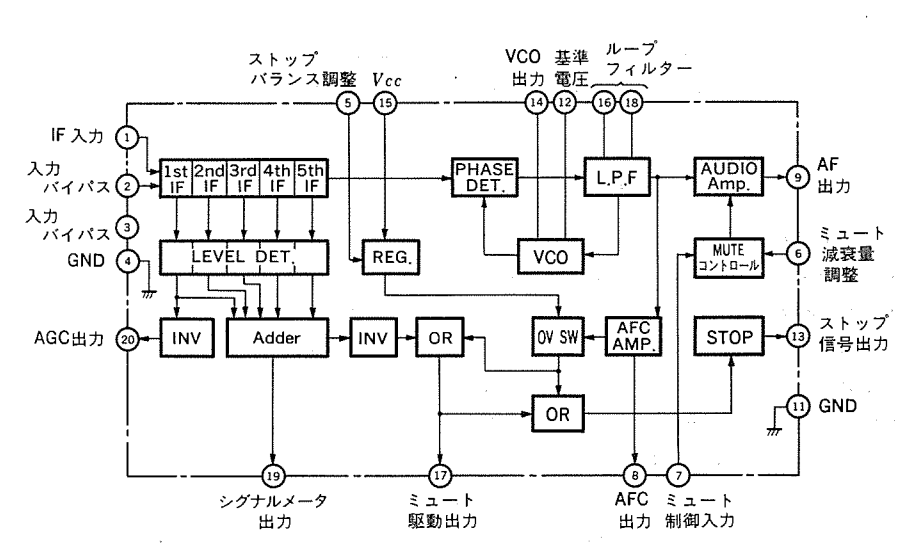


図 5. M 51690 L ブロック 図 3

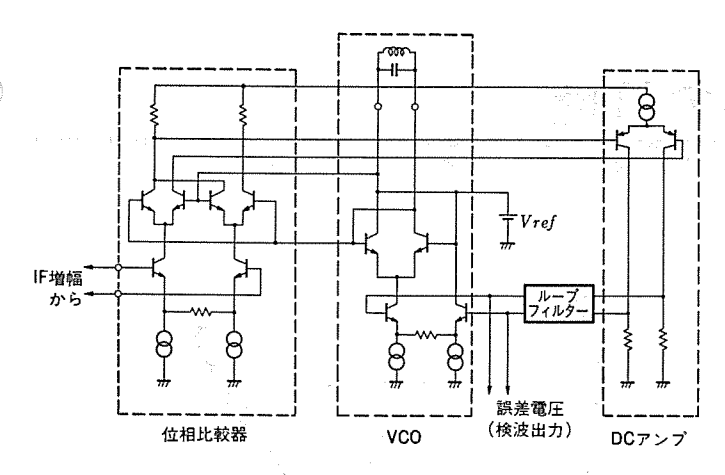


図 6. PLL ループ 概略等価回路

4. 2 PLL 検波器

図 6. に PLL $_{N-J}$ の概略等価回路を示す。入力 FM 波と VCO の自走発振周波数の位相差に応じた誤差電圧が,位相比較器から出力される。この誤差電圧は DC $_{7-J}$ で増幅された後, $_{5-J}$ リードフィルターで高域成分を除いて VCO の入力に供給される。 VCO は電圧一電流変換回路と変換された電流をバイアス電流とする, $_{15-y2}$ 結合 LC 発振器で構成されるが,飽和状態にある $_{5-J}$ の出力容量を バイアス電流をかえることで変化させて発振周波数を制御する。

出力容量の バイアス電流に対する変化率は、約 20 pF/mA である。 VCO に供給され た誤差電圧は VCO の自走発振周波数と入力 FM 波の周波数差を減少させるように負帰還され、遂には一致するよう PLL $_{\nu}$ -プは動作する。 このとき VCO の発振周波数は、入力 FM 波の周波数に追従するようになり、 VCO へ供給される誤差電圧は FM 復調信号となる。ロックレンジは IF リミッタ入力 レベル(約 100 dB $_{\mu}$ V) で片側約 1 MHz である。 VCO 感度は $2\pi \times 2.3$ MHz rad·s⁻¹/V である。

PLL 検波方式での スレショルド の改善される理由は、 既に述べたがここで注意を要することは、 帯域を圧縮する入力 レベル は要求される実用感度によって決定されねばならないことである。 圧縮する入力 レベル が高すぎると、 周波数偏移による位相誤差が大きくなって PLL の ロック 外れを生じたり、 低すぎると高域 ノイズ 成分によりロック 外れを生じることになり、 非常に聞き苦しい雑音を発生する。この IC では、利得 30 dB の フロントエンド を用いて、アンテナ 入力 0 dB (μV) で S/N 30 dB が確保できるよう IF 入力が 50~40 dB (μV) の場合ループ 帯域を約 55 kHz から約 20 kHz に圧縮するようにしている。

VCO の自走発振周波数の温度 「リフトは、AFC 電圧を 「リフトさせ、ストップ 信号帯域の中心周波数を「リフトさせるため、電子同調(サーチ機能)の不動作につながる。この IC では、VCO を構成する エミッタ 結合発振器の出力容量の温度係数(一般に正)を、出力容量を制御する バイアス電流に負の温度依存性をもたせて補正している。 LC 同調回路の外付き コンデンサの温度係数 −150 ppm/℃を用いてストップ 信号帯域の中心周波数の温度「リフトを ±30 ppm/℃を実現している(中心周波数は 10.7 MHz)。

4.3 付加機能

AFC電圧の出力 DC オフセットは、ストップ 信号帯域の中心周波数を変

表 1. IC M 51690 L の主要電気的特性 (T_a=25°C, V_{cc}=8.5 V, f=10.7 MHz, \ f_{-mod}=400 Hz, Δf=±75 kHz dev.

記 号	項(學學月	湖定条件	TYP 値
1CC	無信号時回路電流	無信号時 Vcc=8.5 V	30 mA
$V_{0(AF)}$	検波出 力	$V_i = 100 \text{ dB}(\mu \text{V})$	350 mV
THD	ひずみ率	$V_i = 100 \text{ dB}(\mu \text{V})$ ±22.5 kHz dev.	0.06 %
S/N 1	信号対雑音比し	V _i =30 dB(μV) ±22.5 kHz dev.	55 dB
S/N 2 信号対雑音比 2		$V_i = 100 \text{ dB}(\mu \text{V})$ ±22.5 kHz dev.	68 dB
AMR	AM 抑圧比	$V_i = 100 \text{ dB}(\mu \text{V})$ $AM \ 30\% \text{ mod.}$	50 dB
BW _(MUTE)	ミューティング帯域幅	$V_i = 100 \mathrm{dB}(\mu \mathrm{V})$ $R_B w = 8.2 \mathrm{k}\Omega$	50 kHz
BW _(STOP) ストップ信号借域幅		$V_i = 100 \text{ dB}(\mu\text{V})$ $R_B w = 8.2 \text{ k}\Omega$	50 kHz
Vi(Lock) PLL ロック感度		ロック可能な入力レベル	24 dB(μV)

動させる。PLL 検波方式の場合,この DC オフセット は位相比較器の出力 DC オフセットと, DC アップ 及び AFC 増幅器の電圧利得でほぼ 決定され,最大 ±0.9 V 程度のオフセットとなる。従来の PLL 検波回路では,この オフセットを VCO の自走発振周波数を調整することで補正してきた。この方法では入力 FM 波の搬送波周波数と ロックレンジ の中心周波数 (=VCO の自走発振周波数) が一致しないため,スレショルド入力 レベル 以下で周波数偏移による位相差が ロックレンジ よりも大きくなり,ロック 外れによる信号欠落を生じ, 所望の実用感度が得られなくなる。

この IC では ストップ 信号帯域を検出する OV スイッチ の基準電圧を オフセット を含む AFC 電圧に一致できる よう, 外部で調整できる調整端子 (pin ⑤) を設けている。この端子により AFC 電圧の オフセット を見かけ上 キャンセル することが可能で, ロック 外れなどの影響なく ストップ 信号帯域の中心周波数の最適調整を可能にした。

4. 4 IC 概略仕様

45.37

表 1. に代表的な電気的特性を示す。使用電源電圧範囲は $8.0\sim15$ V,定格電源電圧は 8.5 V である。パッケージ は,たて形 20 pin ZIL パッケージ(ジグザグインラインパッケージ)である。

5. む す び

本稿で述べた FM 高感度 ラジオ 試作品を自動車に取り付け、高感度 化が電界 フェージング 対策に効果があることが確認できた。 しかしな がら、感度を向上させるとこれまで目立たなかった自動車の イグニションノイズ が目立つためその改善も必要であった。今後は ダイバーシチ 方 式と組め合わせることにより、更に FM 車載 ラジオ の受信品質の向 上が期待できよう。

参 考 文 献

- (1) 畑, 古川: PLL-ICの使い方, 産報出版, 電子科学 シリーズ
- (2) 伊藤,藤井:わかりやすい FM 技術,産報出版,電子科学 シリーズ

切換ダイバーシチFM受信機の特性

深江 唯正*・野田博司*・田浦賢一*・壺井芳昭**

1. まえがき

近年FM カーラジオ が普及しているが、 FM 放送波は建物や地形に起因する反射、屈折による レイリーフェージング現象によって、 FM 復調出力にひずみや雑音を発生し音質を著しく劣化させる。

固定受信の場合、CCD のような遅延素子 を 用いてひずみの自動除去ができる(1)。しかし、 カーラジオ のような移動受信は、自動車の周囲の電磁界分布が時々刻々変動するので適用が困難である。移動受信の フェージング 対策としては、複数の アンテナ が十分独立なとき、各 アンテナが同時に同じ劣化を受ける機会が非常に少ないことを利用した ダイバーシチ 受信技術が研究されている。 ダイバーシチ 受信は、切換、最大比合成、 等利得合成に大別される。 ダイバーシチ 効果は、最大比合成、等利得合成,切換の順であるが、回路構成、経済性の観点から切換 ダイバーシチ の実用性が高い。

切換 ダイパーシチ の基本原理は、複数の アンテナ の中から受信レベルの良好な アンテナ に切り換わって受信する。アンテナ の数は、自動車の空間から 2本が有用である。切換 ダイパーシチ は、2本の アンテナ、2台の受信機による切換方式(2)(2T ダイパーシチ と略す)と2本の アンテナ、1台の受信機の切換方式(1T ダイパーシチ と略す) に大別される。1T ダイパーシチ には、受信レベル をあらかじめ設定したしきい値と比較する固定しきい値 1T ダイパーシチ がある(3)。 この方式は、受信レベル がしきい値以下にならないと切り換わらないので、2T ダイバーシチ の改善度より小さい。

今回,可変しきい値 1T ダイバーシチ を考案し、2T ダイバーシチ と実験比較した。

📡 2. ダイバーシチ受信

レイリーフェージングは、振幅がレイリー分布、位相が一様分布の統計的性質を持つ。2本のアンテナの入力は、無変調のとき次式で示せる。

$$f_i(t) = r_i(t) \cos(\omega_0 t + \phi(t)) + n_i(t)$$
 $i=1, 2 - \cdots (1)$

但し $r_i(t):$ レイリー 分布

ωο: キャリア 周波数

φ(t):ランダム 位相

 $n_t(t)$:付加 ノイズ

切換 gイバーシチ の場合,各 rンテナ の中から受信 vベル の最大のものを選択する。したがって,切換 gイバーシチ の CNR(搬送波電力対雑音電力比)は次式である。

$$CNR = \max(\overline{r_i^2(t)})/N$$
 $i=1, 2 \cdots (2)$

但し、 $N=\overline{n_i^2(t)}$ である。

最大比合成は、各受信信号にそれぞれの CNR に比例した重み付けを行い、各信号を同相にして加算する。この CNR は、

$$CNR = \sum_{i=1}^{2} \overline{r_i^2(t)}/N \quad \dots \quad (3)$$

である。

等利得合成は、重み付けは行わずに各信号を同相にして加算する

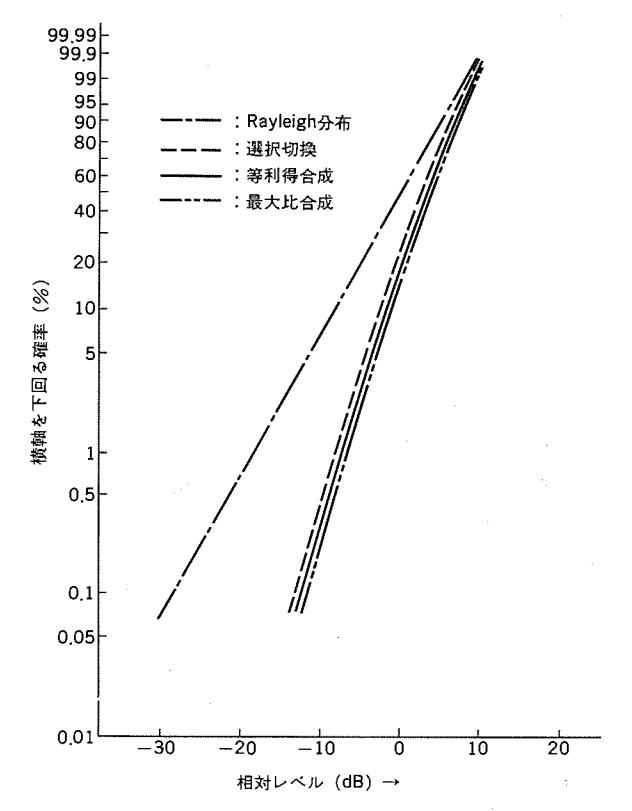


図 1. 各種 ダイバーシチ 方式の累積分布

ため CNR は,

$$CNR = \sum_{i=1}^{2} \overline{r_i^2(t)}/2N \cdots (4)$$

である。

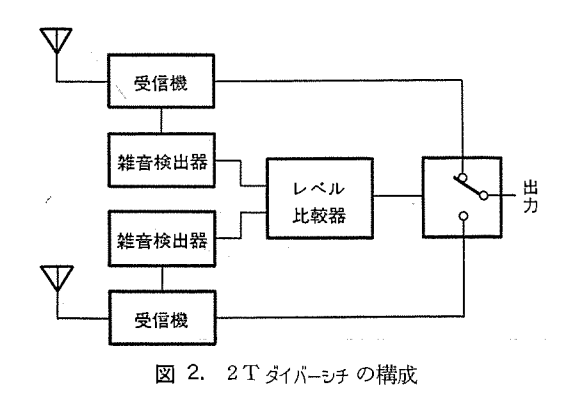
各方式の受信 レベル の累積分布を 2本の アンテナ の場合について図 1. に示す(4)。 これより、 ダイバーシチ の改善度は最大比合成、等利得合成、切換 ダイバーシチ の順であるが、 それぞれの差は小さい。実際には、切換 ダイバーシチ は回路構成が簡単な反面、 ランダム 位相の対策は考慮されないことと回路自体が持つ切換の時定数のため、切換雑音、切換遅れが生じ音質の改善を小さくする。

合成は、切換雑音、切換遅れは生じない反面、位相検出、制御機能が必要となり回路構成が非常に複雑となる。車載用を考慮したとき、回路構成、経済性から切換 ダイバーシチ の実用性が高い。

3. 切換ダイバーシチ受信技術

2 T \vec{y} $\vec{$

図 3. に従来から研究されている固定しきい値の 1 T ダイバーシチを示す。 これは、受信 レベル が前もって設定されたしきい値以下にな



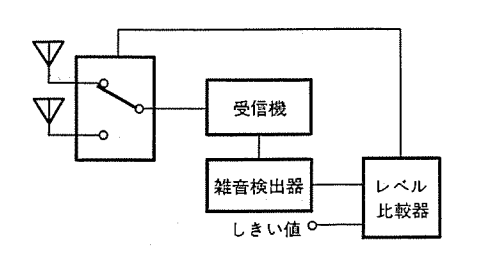


図 3. 固定しきい値 1 T ダイバーシチ の構成

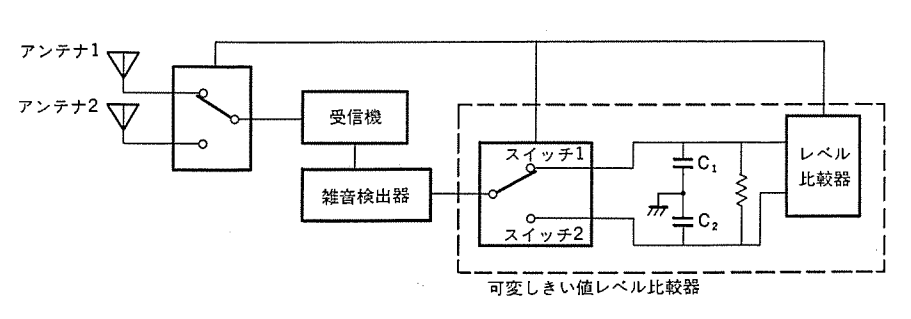


図 4. 可変しきい値 1 T ダイバーシチ の構成

らないと切り換われない。 $2 T rac{1}{3} rac{1}{3} rac{1}{3} = 1 rac{1}{3} rac{1}{3} rac{1}{3}
ightarrow 1
ightarrow 1
ightarrow 2
ightarrow 2
ightarrow 3
ightarrow 1
ightarrow 2
ightarrow 3
ightarrow 1
ightarrow 1
ightarrow 3
ightarrow 1
ight$

図 4. に、可変しきい値 1 T ダイバーシチの ブロック 図を示す。動作原理は、例えばアンテナ 1 が接続されていて、スイッチ 1 が

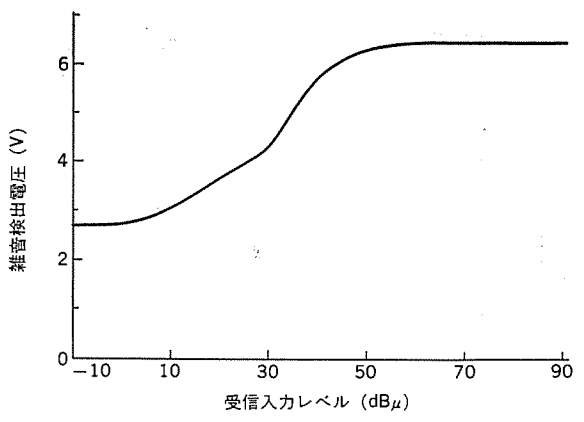


図 5. 雑音検出器出力特性

4. 雑音検出法

フェージングの レベル 検出は、 一般に IF 後の二乗包絡線検波によって 検出される $^{(3)}$ 。 との検出法は、レイリー 分布の受信振幅の検出であって、 5ンダム 位相の検出は行っていない。今回、確実に良好な受信 rンテナ に切り換わるために、FM 検波器の信号中に本来含まれている

信号以上の 周波数成分が フェージッグ によって 発生することに
第目した
検出を行った。

図 5. に、との雑音検出器の特性を示す。 検出 範囲は 10 dBμv から 50 dBμv で検出する。10 dBμv 以下の弱電界では、検出出力を一定にすることで切換雑音を低減する switch and stay の動作を行う。50 dBμv 以上の電界においても検出出力を一定とした。これは、50 dBμv 以上では、FM 受信機の SNR は一定のため、強電界での切換雑音の低減効果を持つ。

5. 切換ダイバーシチの測定法

可変しきい値 1 T ダイバーシチ, 2 T ダイバーシチの ダイバーシチ 効果を レイリーフェージングシミュレータ によって測定する システム を図 6. に示す。それ ぞれの受信機の雑音検出器 レベル を データレコーダー に記録し、 この雑音検出 レベル を基にして、 計算機処理により、それぞれの雑音検出 レベル を発生する受信機の等価な アンテナ 端入力 レベル に換算した累積 分布を求めた。 データ の取込み時間は、 50 ms 間隔で 8 分間の データ を処理している。

シミュレーションは、フェージングシミュレータの レベル 変動の中央値が 43 dB μ v、53 dB μ v について行い、図 7. に単一受信時 (N_1 、 N_2)、可変しきい値 1 T olimits olimits

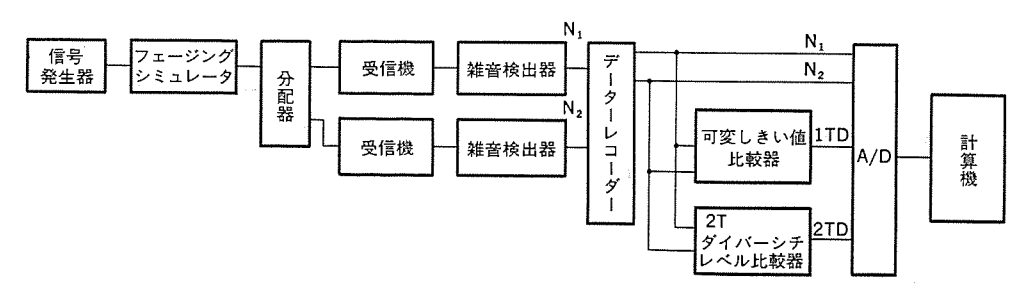
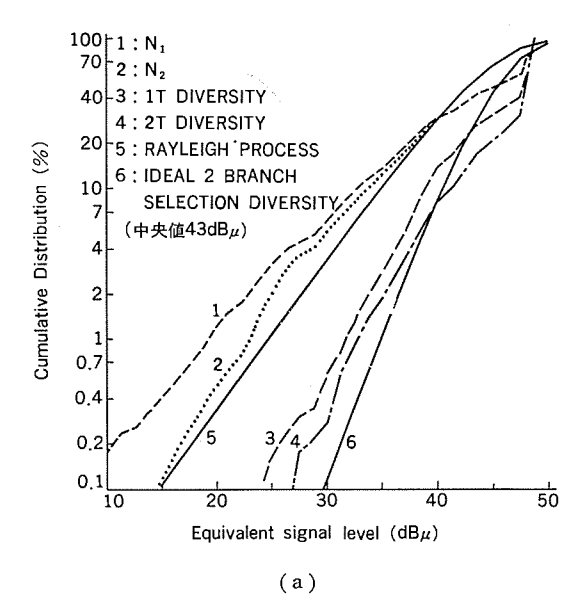
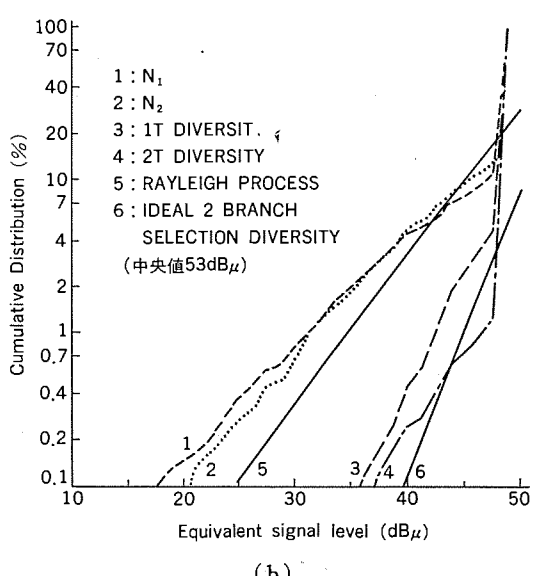


図 6. ダイバーシチ 効果の測定 システム





ダイバーシチの理論値を図7. に示す。 図は横軸に受信レベル, 縦軸に 累積確率(%)を表す。これより理論値に近い結果を得た。可変しき

図 7. シミュレーション による累積分布

い値 1 T ダイバーシチ と 2 T ダイバーシチ の改善度の差は小さく、 ダイバーシチ による改善効果を単一受信と ダイバーシチ の同じ累積確率 (例えば 0.1%) に対する信号 レベル 差とするなら、 両者とも約 10 dB の改善効果が確認される。

今回の実験では、1Tダイバーシチのレベル比較器にはヒステリシスを持たせ、 弱電界での頻繁な切換防止を行っている。 2Tダイバーシチのレベル 比較にも ヒステリシス を考慮すると、両者の累積分布は更に近づく

6. フィールドテスト

フィールドテスト において、5章で述べた測定法に従って、可変しきい値 1 T ダイバーシチ と 2 T ダイバーシチ の改善度を確認した。空間 ダイバーシチ の アンテナ 間隔は、二次元 モデル において、 アンテナ の出力間の相関係数が 0.3 以下になる条件は、 $\lambda/4$ 以上が示されている $^{(3)}$ 。 これを考慮して、アンテナ 1 とアンテナ 2 は $\lambda/2$ 、アンテナ 1 とアンテナ 3 は $\lambda/4$ の間隔で設置した。アンテナ 1 、アンテナ 1 は 1 ボールアンテナ、アンテナ 1 は ガ

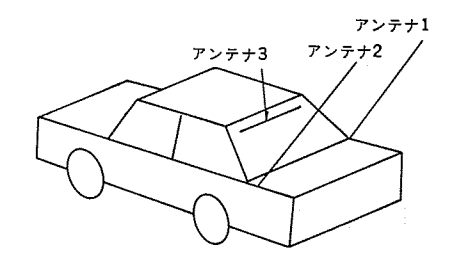


図 8. アンテナ の配置

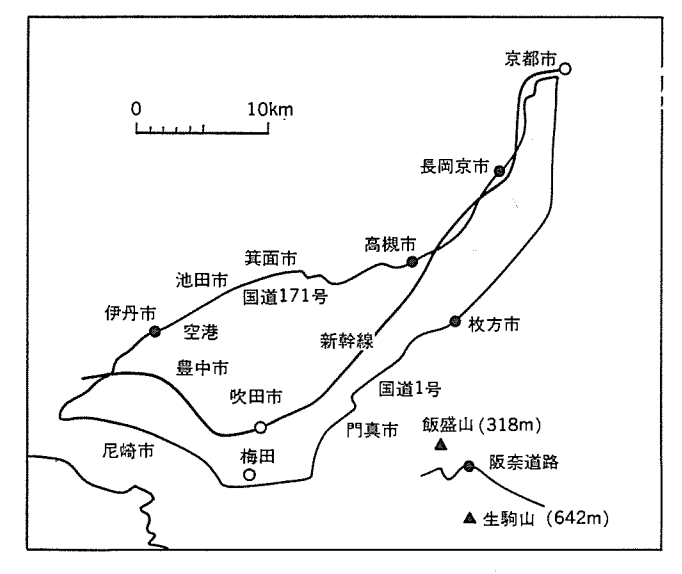


図 9. フィールドテスト 場所

表 1. 各測定地の特徴

伊	丹	市	空港,工場,家屋が立並んでいる。
高長	概 買 京	市市	新幹線,高速道路,送電線が周辺にある。
阪	奈 道	路	送信所と生駒山の間を走っており,マルチバスが強い。

図 10. に、各測定地における単一受信 (N_1, N_2, N_3) ,各 rンテナ の組合せによる可変しきい値 1 T gイバーシチ, 2 T gイバーシチ の累積 分布を示す。測定結果から,

- (1) $_{7 imes 7}$ 間の性能が同等の $_{- imes 7 imes 7}$ の組合せによる可変しきい値 $_{1 imes 7 imes 7 imes 10 imes 4}$ は約 $_{10 imes 4}$ である。
- (2) ガラスアンテナ は、ポールアンテナ と比較して性能が一般に劣る。しかし、マルチパス が強い阪奈道路において、ポールアンテナ と同等の特性であるととは注目される(図 10.(d))。
- (3) ポールアンテナ と ガラスアンテナ の組合せにおいて, ガラスアンテナ の受信特性が極端に劣るとき, 可変しきい値 1T ダイバーシチ は, ポールアンテナ 単体の受信より悪くなる (図 10.(c))。

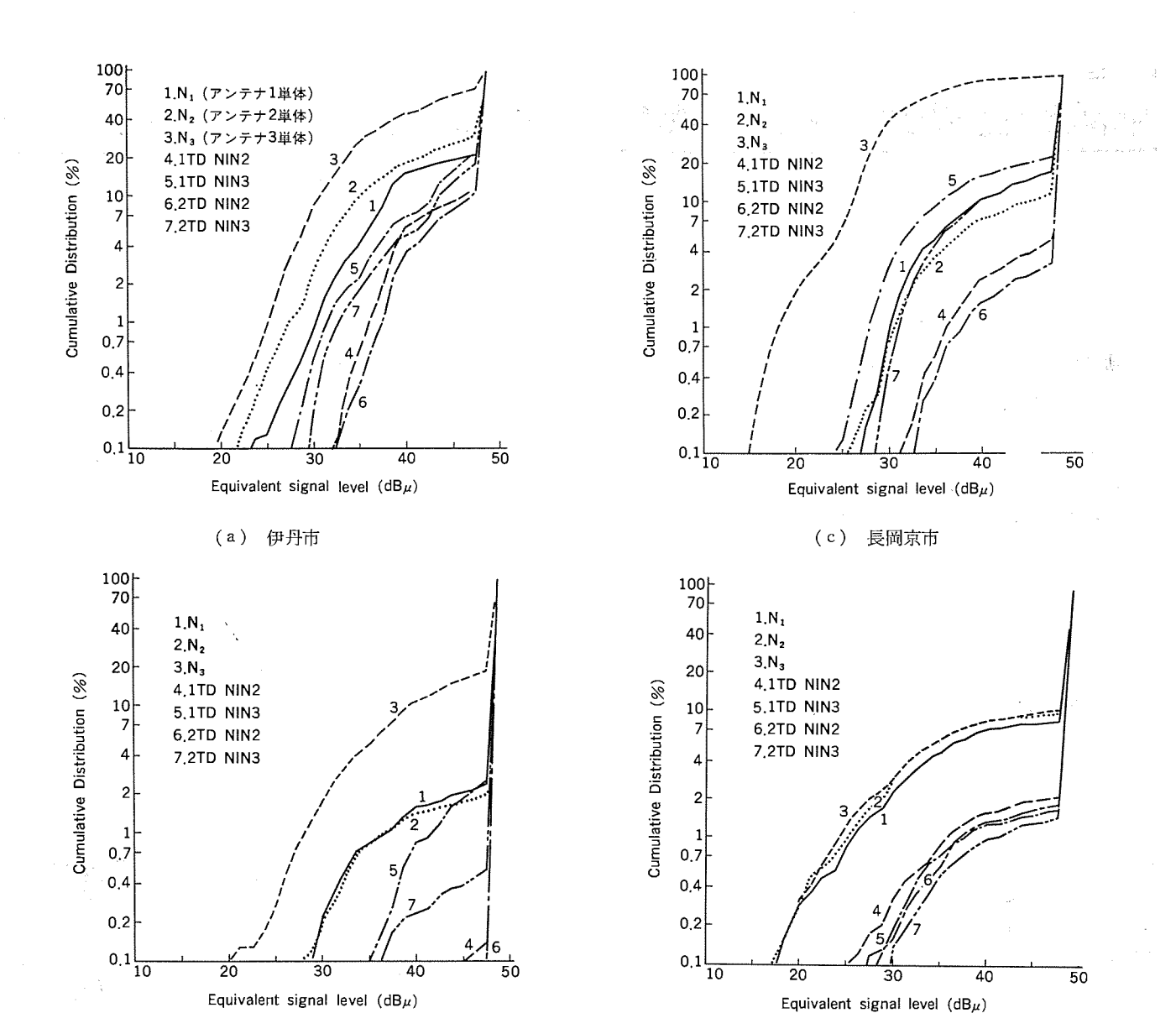


図 10. フィールドテスト の累積分布

7. む す び

(b) 高槻市

以上,雑音検出レベルの測定処理によって,ダイバーシチ 評価が可能であり, との測定方法によって, 可変しきい値 1 T ダイバーシチ と 2 T ダイバーシチ の ダイバーシチ 効果は,アンテナ 特性が同等なとき,ほぼ同等であることがわかる。

参 考 文 献

(1) 近藤ほか: FM 放送受信における エコー 歪補償の一方式, TV 学会全国大会(昭 54) (2) 福原ほか:スペースダイバーシティ FM 受信 システム, 自動車技術会学術講演会前刷集(昭 56)

(d) 阪奈道路

- (3) W. C. Jakes: Microwave Mobile Communications, Johnwiley Sons (1977)
- (4) D. G. Brennan: Linear diversity combining techniques, Proc. IRE, pp. 1075-1102 (June 1959)
- (5) 安達: 2 ブランチ 切替 ダイバーシティ の改善効果に及ぼす レベル 比較器における低域 フィルタ の効果, 信学論 (B), J 62-B, 11, P. 1053 (昭 54-11)

車両動態管理システム(AVMシステム)《MACOMシリーズ》

来村 俊*・岩田 忠*・竹垣 弘*・土井勝次*・大友克彦*

1. まえがき

無線通信の一分野として、移動通信は非常に発展し、自動車電話、MCA、パーソナル無線などが実用化されている。ただ、これまでのものは音声通話を主体としており、データ通信を中心とするシステムはあまり多くはなかった。今回報告する AVM (Automatic Vechicle Monitoring)システムは、移動データ通信を中心とするもので、移動体側の状態を基地局(指令所)側の計算機にデータ伝送し、あらかじめ計算機中に蓄積されている情報を利用して、効率のよい配車を行うと同時に、日数、月報、の記録など、事務の合理化を図ることをねらいとしている。

AVM システム は、使用目的に応じて内容そのものは相当異なるが、基本的には移動体との データ 伝送をいかに誤りなく、 効率的に行うかが最も重要な課題であって、 この目的に合った ハードウェア、ソフトウェア を開発し、 システム の実用化を行った。ここでは、これらの概要について報告を行う。

2. システム概要

移動体の位置を含めた状態の把握は、昔から望まれていた。ひとたび車庫を出た車の状態把握は困難で、運転手の自主管理に任せていることが多く、無線機による連絡通信を行ったとしても、音声通信では都合の悪いことは応答しないなど多くの問題があった。最近、マイクロコンピュータの小形化と信号の変復調器を含めた周辺素子の開発に連動して、これらの問題解決のために AVM システム が顕著に普及しはじめた。今度 AVM システム として、移動無線の多くを占めるタクシ 事業向けとトラック 輸送事業向けに発開した類似の 2 システム について紹介する。

2.1 運送事業用 AVM の目的

- (1) 省資源, 省 エネルギー に適した システム
 - (a) 無駄な走行をなくする(最適車の選択)。
 - (b) 電波の有効活用(無駄な呼出しがない)。
 - (c) 交通混雑の緩和(無駄な走行がない)。
- (2) 省力, 合理化に必要な システム
 - (a) 位置と活動状況が常時把握できる。
 - (b) 必要な連絡がとれる(呼び出したか否かの応答がとれる)。
 - (c) 配車指令が短時間にできる。
 - (d) 管理資料作成のための人手と時間の節約ができる。
 - (e) 電波不足の解決 (データ通信化による収容台数の増大)。
- (3) ューザー への サービス 向上 システム
 - (a) 迅速な配車ができる。
 - (b) 迎車距離短縮による迎車料金が減る。
- (c) 顧客情報装置との リンクによる電話依頼の配車時間の短縮。 などがあげられる。

《MACOM シリーズ》 (Mitsubishi Automatic Commander) はこれらの目的のために開発したもので、トラック 運送用としては半自動方

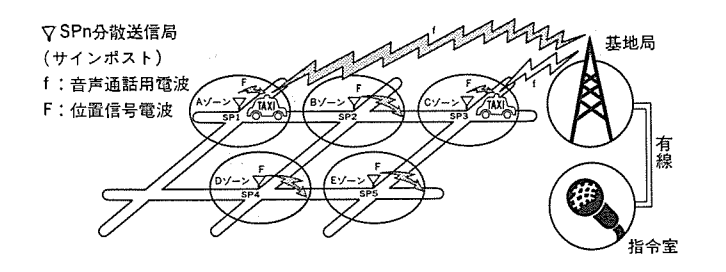
式 AVM_{、タクシ} 用としては分散送信方式 AVM $_{\it システム}$ である。

2.2 位置検出の方法

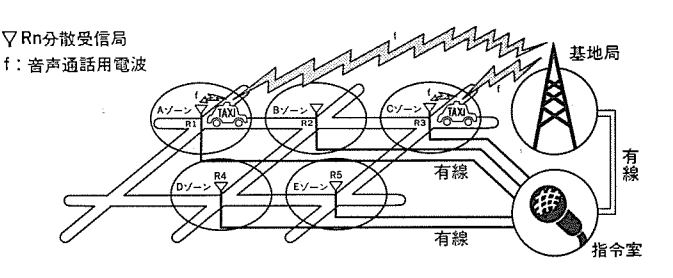
移動体の位置検出で実施あるいは試行されている方法として、双曲線位置線方式、逆双曲線方式、円位置線方式などがあるが、これらは電波のマルチパスなどが大きく不向きである。我が国においては昭和55年に郵政省から(1)車両位置検出方式として分散送信方式、分散受信方式、半自動方式が適した方式である旨発表され、都市部のタクシ用では分散送信方式が標準方式として認可されている。各方式の概要は次のとおりである。

(1) 分散送信方式

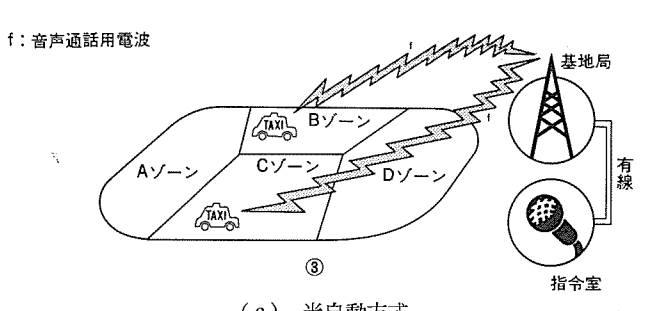
分散送信所(位置信号を常時送信する無線局,以下"サインポスト"という。)を多数分散配置し,移動局は最も近いサインポストの無線局の位置信号を受信し,とれに自局の車両番号などの情報を加え,基地局に送信し,指令室において車両の位置などを把握する方式である(図 1. (a)参照)。サインポストは設備規準で統一しているため,すべての利用者が共同で利用でき,自動的に自分の所在位置の把握がで、1



a) 分散送信方式



(b) 分散受信方式



(c) 半自動方式

図 1. 車両位置検出方式

きる。この方式は大都市の AVM システム に適している。

(2) 分散受信方式

移動局からの車両番号などの情報を受信する受信設備を多数分散配 置し、移動局からの信号を最も近い受信所が受信する。受信所と指 令室間は有線で接続し、車両の位置などを把握する方式である(図 1. (b)参照)。この方式は多数の受信所を利用者独自に設置しなけ ればならないが、設置場所、サービスエリアは自由に設定できる。また 受信所が複数あるため、移動局の情報を同時に受信できるので使用 者数の少ない中小都市の AVM システム に適している。ただし、同一 地域内に分散送信方式の サインポスト が設置された場合は、 分散送信 方式に移行しなければならない。

(3) 半自動方式

移動局において、自局の位置などの情報を手動により設定し、基地 局に送信し、指令室においてその車両の位置などを把握する方式で ある (図 1. (c)参照)。この方式は、特別な送信機と受信機を必要 としないため、設備投資が他に比べて大幅に少ない。ただし設定が 手動であるため、一定時間同一地区に留まる トラック 集配事業用や、 設定地区の少ない小都市タクシ 用 AVM システム に適する。

2.3 データ集収の方式

移動体の状態を指令室で常に把握する必要があり、次の方式がある。

(1) 全車 ポーリング 方式

指令室から全移動体に対して自動的に信号を出して、各サインポスト でとの空車情報などを周期的にとり、検索要求の生じたとき指令室 側で既に集めている移動体情報を検索し、該当の車両の情報を処理 し、ディスプレイなどに表示し配車する方式。

(2) 地域 ポーリング 方式

配車要求の都度、その地域の移動体を選択し、応答させ、自動的に ディスプレイなどに表示し配車する方式。

(3) 個別 ポーリング 方式

特定の移動体についてのみ選択し、応答させ、その状態をディスプレ イなどに表示し配車する方式。

(4) 任意発呼方式

移動体と指令室との通話の合間をぬって、移動体から状態情報を発 呼するものである。この方式は移動体の状態変化時のみ信号送出す るのみで、効率的であるが、指令室の コントロール 下に移動体が置か れていないため、信号のぶつかり消失が多いという欠点がある。と のため通話規制をしたり、指令室からの確認信号を送出するなどト ラフィック 上から問題になる場合がある。

2. 4 情報伝送方式

《MACOM シリーズ》 AVM システム は、 当初から ⁽²⁾ 1,200 b/s (ビット/

秒) ディジタル 信号方式を採用して きた。 情報の伝送手段として ディ ジタル 方式のほかに トーン 方式があ り,トーン方式は古くから選択呼出 しなどに使用されてきた。トーン方 式は信号冗長度があり、フェージング などに対し強いという利点がある が、伝送速度が遅く情報量が大き くとれないという大きな欠点と. 経済的にも問題があり多くはディ ジタル 化へ移行するものと考える。 当初は 1,200 b/s サブキャリァ FSK

(Freguency Shift Keying) 変調方式であったが、 現在は サブキャリア MSK (Minimum Shift Keying) 変調方式を採用している。

2.5 符号誤り制御方式

陸上移動無線回線は電波の フェージング, マルチパス, 都市雑音などの影 響により、伝送品質が悪く、また弱電界地域まで情報伝送する必要 がある。今回開発した AVM システムは、これらに強い符号誤り制御 方式とすべく、KASAMI、ブロック符号を用い、5ビットバースト誤り 訂正可能な方式を採用した。 フレーム 同期は 11 ビット 長とし 1 ビット 誤 り訂正を行っている。

2.6 システムの特長

タクシ 用《MACOM》は サインポスト 位置検出,実車,空車情報の送出 など従来機能のほかに次の機能を付加している。

- (1) タクシ に対し、事前に配車する旨の事前予告(以下配車予約と いう)を ブザー鳴動にて行い,タクシの状態(位置,空車)チェックを 行っている。
- (2) 中形車か小形車かの選択, 流し配車優先選択, 所属選択など の各選択機能を持たせている。
- (3) 将来顧客検索 システム など他の システム を AVM システム に接続 したとき、付加装置を装着することによりデータ情報を移動体にま で伝送が拡長できるシステムとしている。
- (4) 特定の タクシ について、状態 チェック を自動的、定期的に追跡 調査することができる機能をもっている。
- (5) 空車検索時、指定地区に空車がない場合は、あらかじめ設定 した他の地区を複数検索するシステムとしている。

3. 構成と機能

3.1 機器構成

この システム の設備を大きく分割すると固定設備と移動設備から構 成され、固定設備は配車 センター 設備と基地局設備とに分けられる。 機器構成一覧を表 1. に示す。また基地局、配車 センター 設備の系統 図を図 2. に、移動局系統図を図 3. に示す。 更に配車 センター 設備 内の中央処理装置周辺系統図を図 4. に示す。配車 センター設備の各 機器は、ユーザー側の設置 スペース、操作性を考慮して分割している。 移動局では、タクシ 用 AVM システム の場合、取付 スペース に制限があ り制御装置本体と操作器とに分割し、できるだけ小形化を図ってい る。タクシ 用 AVM 移動制御装置の外観を図 5. に, トラック 運送用 AVM 移動制御装置の外観を図 6. に示す。

3.2 システム機能

3. 2. 1 タクシ用 AVM システム機能

タクシ 用 AVM システム において,次の概略機能をもたせている。

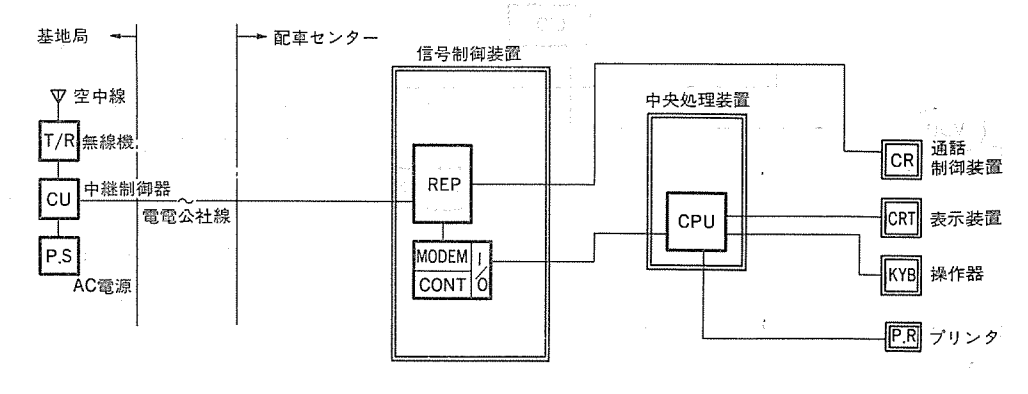


図 2. 基地局,配車 センター 設備系統図

表 1. 機器構成品一覧

項	П	品	名	数量
配車セ	ンター	操作車(操作器,システ 中央処馬装置 信号制測装置 信号制測装置 の話制御装置 CRT 表示装置	ムキーボードを含む)	1 1 1 1
35 I	d A	無線機 中継制卸器 電源装置 空中線系		1 1 1
移 [纳 局	無 線 機 移動制測装置 (1) 操 作 器· (2) 制卸装置本体 空中線系		25~600 " 25~600

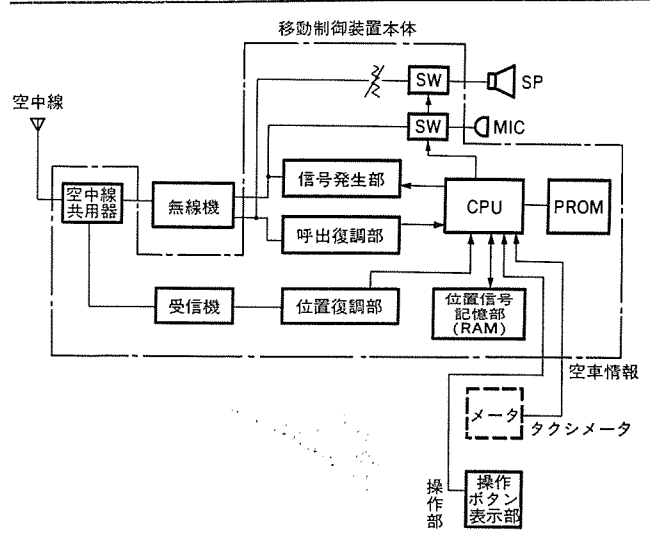


図 3. 移動局機器系統図

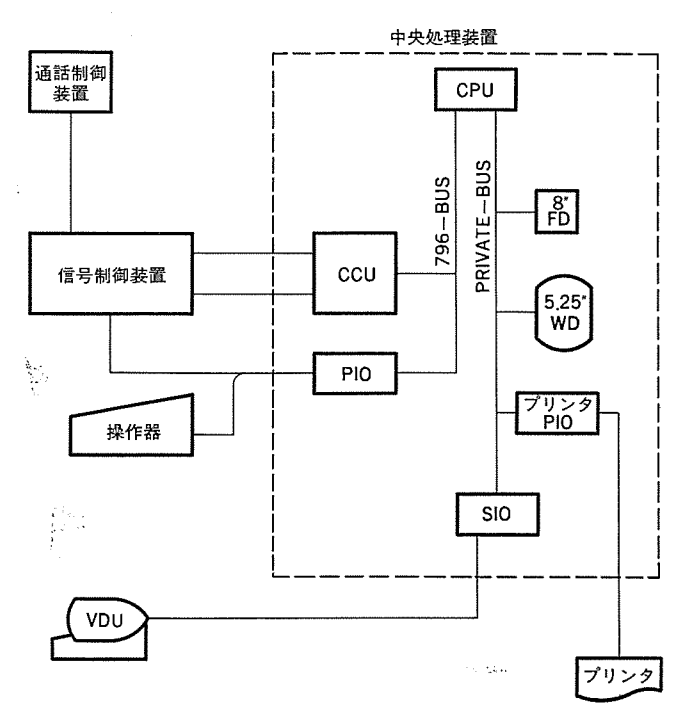


図 4. 中央処理装置周辺系統図

- (1) サインポストからの位置情報,車両状態,車番などの情報集収による配車と監視
- (2) 移動体の サインポストエリア 内における滞留時間の監視



図 5. タクシ AVM 移動制御装置の外観

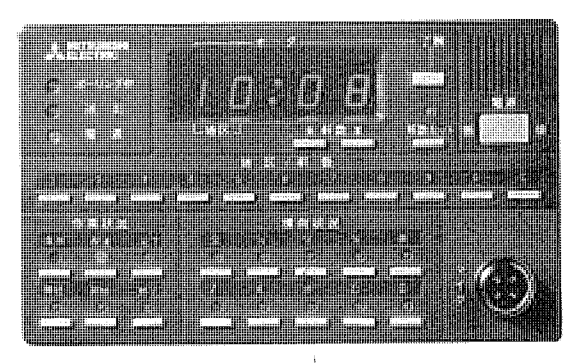


図 6. トラック 運送用移動制御装置の外観

- (3) 定形通話の符号伝送化
- (4) 空車車両の車種選択及び各種優先順位による選択機能
- (5) 配車 センター からの音声による配車指令 と配車 センター と移動 局間の相互通話
- (6) 非常車両の監視
- (7) 配車 センター での移動体の配車記録及び集計

などの機能をもち、データ集収の方式としては全車、地域、個別の各ポーリング方式を並用している。

3. 2. 2 トラック運送用 AVM システム機能

トラック 運送用 AVM システム 機能として,次の概略機能をもたせている。

- (1) 移動体の集配地区、軒数、作業状況、積荷状況の監視と指令
- (2) 移動体の特殊状況 (例えば至急便など) の監視
- (3) 定形通話の符号伝送化
- (4) センター と移動局間の相互通話
- (5) センター での移動体の状態記録及び集計

などの機能をもち、データ集収の方式としては、ポーリング方式を採用している。また集配地区、軒数などのインプット情報は移動体側でのマニュアル設定による方式としている。

4. 信号仕様

配車 センター と移動体との情報伝送方式としては,ディジタル 信号方式 を採用しており,この信号仕様を表 2. に示す。

5. 運用例と効果例

 $g_{9/2}$ 月 AVM_{5275} の配車 70- の一例を図 7. に示す。客先から の電話受付から,最適車の配車まではすべて $t_{5/2}$ 設備操作器のボ $g_{5/2}$ 操作のみで行え,短時間に客先に応答ができる。また一例として従来の配車の流れと, AVM 適用時の配車の流れ図を図 8. に示す。 $AVM_{5/275}$ 導入により次の効果例が期待できた。

表 2. センター 側送受信信号仕様

(1) 符号形式

NRZサブキャリアMSK(1,500Hz±300Hz)

(2) 伝送速度

1.200b/s

(3)マーク信号周波数

1,200Hz

(4)スペース信号周波数 1,800Hz

(5)変調速度

1,200ポー

(6)符号機成

ピット同期	フレーム同期	情報			
30ビット	リピット	52ビット			
約150ms———					

(a) フレーム同期ビット構成

送信側 11100010010の11ビット 受信側 00011101101の11ビット

(b)情報ビット構成

データ:16ビット×2, パリティ:10ビット×2の計52ビット

- (1) 電話保留時間の大幅な短縮が可能となった。
- (2) 移動体の移動管理により滞留する移動体が少ない。
- (3) 自動化ボタン操作により不馴れな運転手も配車が受けられ、 配車の均一化が図れる。
- (4) 指令室側では空車探しのいらいらが解消した。
- (5) 日報、月報を自動的に作成するため、経営管理資料として活 用できる。
- (6) 移動体車番を自動的に指令室に伝送するため、指令室では妨 害車の監視が可能となった。

6. む す び

以上、運送業向けの半自動方式AVM、タクシ業向けの分散送信方

式 AVM について紹介した。移動通信系にお いて、今後電波の有効利用の観点から現場との オンラインによる定形情報のデータ伝送化が進み, 更に写真伝送, ファクシミリ 伝送など データ 伝送を 主体とした通信が増加することが確実である。 この データ 伝送を 環境の 悪い移動通信系に導入 するためには、ソフトウェアの面では誤り確率をよ り少なくし、接続を確実なものにするための制 御方式の検討、 また ハードウェア では移動体に適 合した各種デバイスの検討などが今後の課題で あると考える。これらの課題を踏まえ、更に良 い システム の開発に努力する所存である。

参考文献

- (1) 郵政省電波監理局:車両位置等自動表示 システム に係る無線局の免許申請等に対す る処理方針について(昭和55年6月13 日郵波陸第60号诵達)
- (2) AVM 実験協議会 (側)移動無線 センター 他: AVM システム 実 験報告書 東京城西旅客自動車事業協同組合における実験)

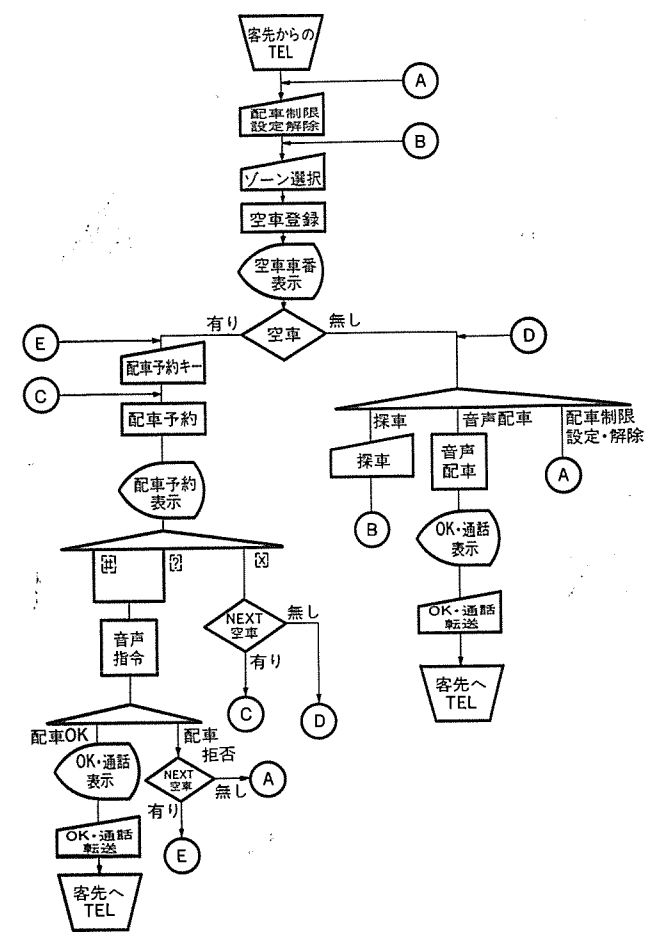
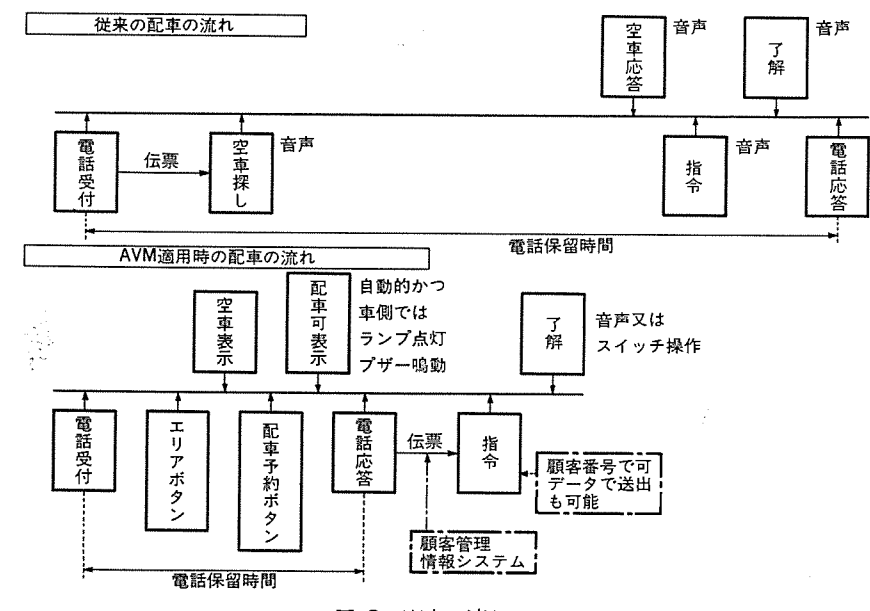


図 7. 配車 フロー



宮崎正明*・石井光明*・加古 一*・池渕和宏*

1. まえがき

日本及び米国において適用されている厳しい排気 ガス 規制を達成するために、排気 ガス 再循環 システム と酸化触媒を基本とした各種排気 ガス 浄化 システム が開発されたが、 省燃費及び ドライバビリティ の向上に 対する ユーザー からの強い要求にこたえるため、電子制御を採用した第二世代の排気 ガス 浄化 システム の導入が増加している。

自動車用 ガソリンエンジン の燃料制御 システム としては,以前から燃料噴射 システム が実用化されており, ターボ 車及び比較的大形 エンジン を搭載した高級車を中心として普及しているが, コストパフォーマンス が特に要求される小形・大衆車 クラス では安価な燃料制御 システム が望まれている。

今度, 当社は三菱自動車工業(株), 三国工業(株)と共同で, 安価かつ空燃比制御性に優れた電子制御 キャブレタシステム を噴流制御(MCA-

JET) エンジン 用に開発・量産化したので、システムの概要及び当社の担当している コンピュータユニット について述べる。

2. システムの概要

2.1 システムの構成

電子制御 ‡ャブレタシステム は、 車の仕向地及び仕様により数種類あるが、システムの基本構成は同じである。 システム 構成の代表例を図 1. に示す。

キャブレタには スロットルバルブ が開いた中・高負荷領域で作動する メイン 系と, スロットルバルブ が閉じた軽負荷領域で作動する スロー 系, そして 噴流制御燃焼方式 (MCA-JET) の特長である ジェットエア 通路があり, それぞれに空燃比を補正する ソレノイド を備えている。メイン 用 ソレノイド を エンリッチソレノイド (ESV), スロー 用 ソレノイド を スローカットソレノイド (SCSV), ジェットエア 通路用 ソレノイド を ジェットミクスチャソレノイド

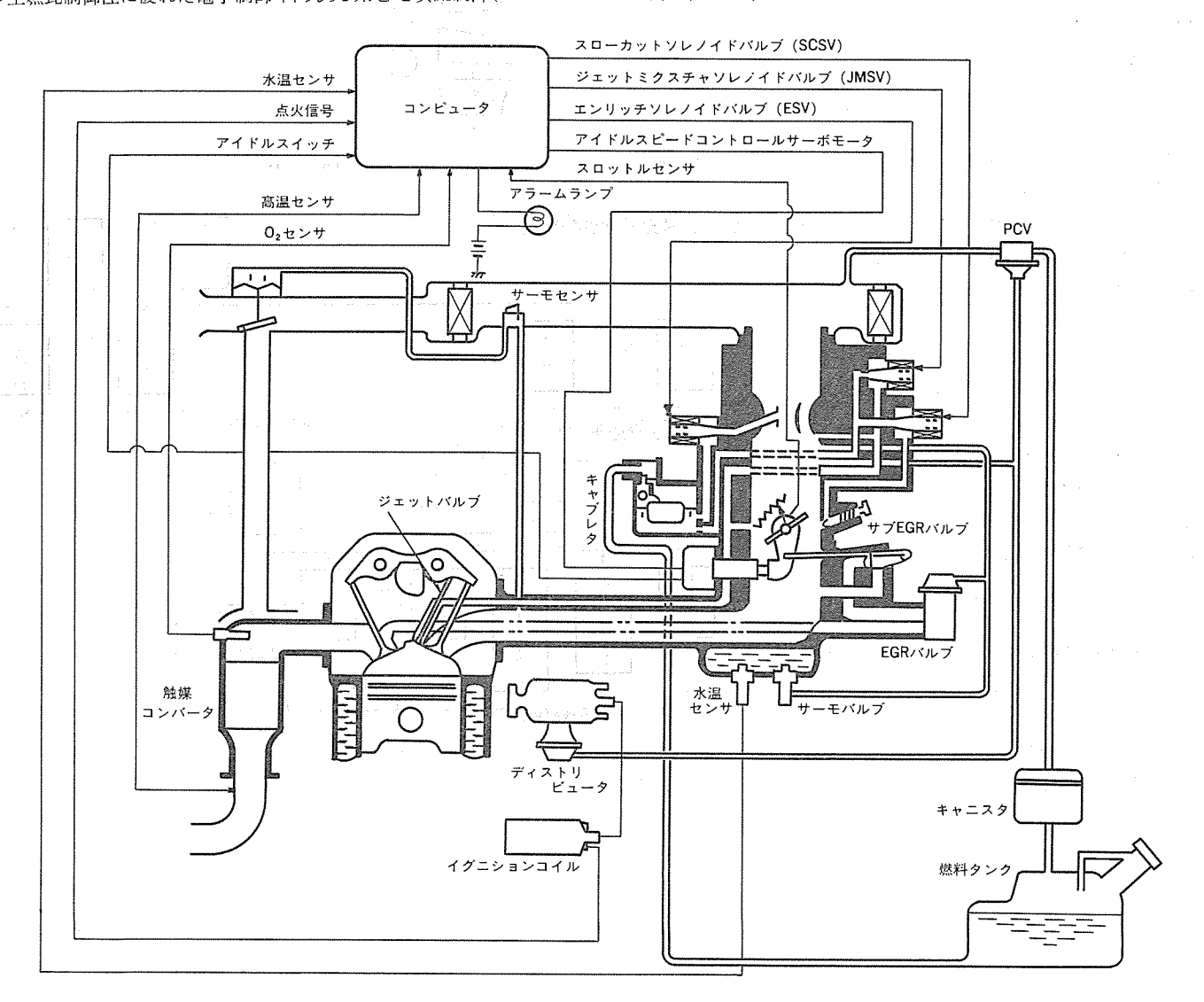


図 1. 電子制御 キャブレタシステム

表 1. センサ の方式 と機能

No.	しゃ ンサ	方	式	機。
1.	水温センサ	サーミ	スタ	エンジンの冷却水温を検出する。
2.	点 火 信 号	点火=	ョイル 関電圧	点火信号の周期によりエンジン回転数を演算する。
3.	アイドルズイッチ	メカ= 接	ニカル	アイドル回転数制御用アクチュエータに内蔵されており, アクセルが踏まれているかどうかを 検出する。
4.	スロットルセンサ		抵抗	スロットルバルブ開度に比例した電圧をコンビュータに送り, エンジンの運転状態の検出に使用する。
5.	高温センサ	熱日	区 対	三元触媒の温度を検出する。
6.	O2 センサ	ジル:	コニア	排気ガス中の酸素濃度を検出する。
7.	アイドル回転数 制御関連信号		ニカル ほか	エアコン負荷, パワステ負荷, シフトボジショ ンなどの信号をコンピュータに送る。

(JMSV) と称している。また、キャブレタにはスロットルバルブ開度を 検出するスロットルセンサと、スロットルバルブの下限位置を制御するアイドル 回転数制御用 サーボモータ が組み込まれている。

JMSV, ESV, SCSV には、小形軽量 ソレノイドが使用されており、デュティ 制御の周波数は、空燃比の安定性と耐久性の両面から検討され $10\,\mathrm{Hz}$ となっている。また、電子制御 ++ブレタシステム には、エンジン の運転条件を検出するための各種 センサ があり、 その方式及び機能を表 1. に示す。 コンピュータユニットは、表 1. のセンサ からの情報により エンジン の運転状態を検出し、空燃比制御、アイドル 回転数制御、触媒の高温警報などを行う。

2.2 制 御

(1) 空燃比制御

電子制御 キャフレタシステム の主な機能は、 運転条件に応じた空燃比の 最適制御である。

通常走行で使用される頻度の多い低・中負荷域では、排気 ガス に含まれる CO, HC, NOx を低減させるため、空燃比を排気管に設置された三元触媒の浄化効率が高い理論値近傍に制御する(図 2.)。空燃比は排気マニホールド集合部に 設けられた O2 センサにより検出される。 O2 センサは、大気と排気 ガス中の酸素濃度の比に応じて図 3. に示す起電力を発生する。 コンピュータは O2 センサ出力電圧が 0.45 V以上のとき リッチ, それ以下のとき リーン と判断し、リッチ/リーン 信号に応じて JMSV を クローズループ 制御 (PI 制御) する。 フィードバック 制御時の タイミングチャート を図 4. に示す。 PI ゲイン は運転条件に応じて最適値が選択されるため、空燃比は精度よく理論値近傍に制御される。また、次の条件では オープンループ 制御となり、運転条件に応じた空

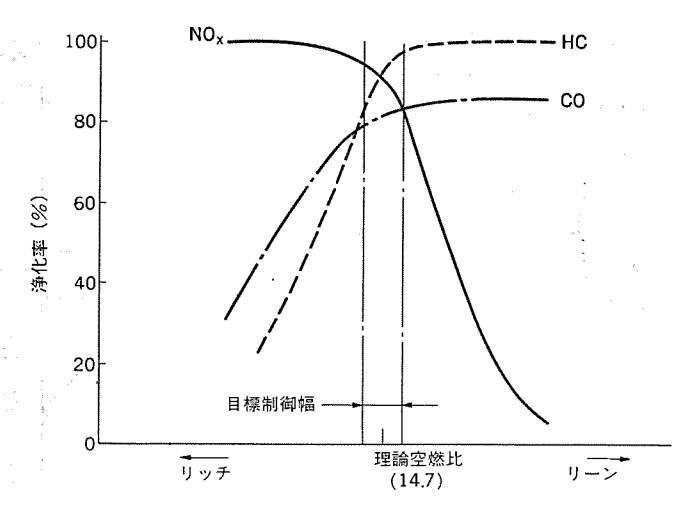


図 2. 空燃比と三元触媒の浄化効率

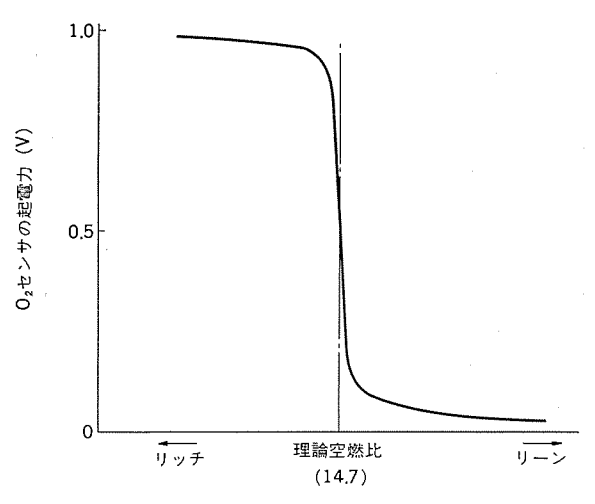


図 3. O₂ センサ の起電力特性

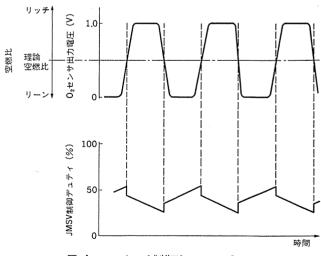


図 4. クローズループ 制御時の タイミングチャート

燃比に制御する。

(a) エンジン 始動時

冷却水温に応じて JMSV, ESV を デュティ 制御し, 始動性を改善する。

冷却水温と スロットル 開度により, JMSV,ESV を デュティ 制御し

ドライバビリティを向上させる。

(c) O2 センサ 不活性時

JMSV を所定 デュティに制御する。

(d) 高負荷時

エンジン 回転数 に 応じて ESV を デュティ 制御し、出力を向上させる。

(e) 滅速時

エンジン 回転数に応じて SCSV を デュティ 制御するととにより触媒 の発熱を低減し,燃費を向上さ せている。

(2) アイドル 回転数制御

最近の車では、エアコンやパワーステアリングの装着や各種電気負荷が増加しているので、アイドル時の回転変動が大きくなる傾向があるため、アイドル時のエンジン回転数をエアコン

や シフトポジション に応じて最適値に制御し、アイドルクオリティ の向上及び メンテナンスフリー を実現した。

(3) その他の制御

電子制御 ‡ャブレダシステム では、空燃比制御、アイドル 回転数制御以外に触媒の高温警報を行っている。 触媒の下流に設けられた高温 セッサ により触媒温度を検出し、約900°C 以上になると アラームランプ を点灯して異常を運転者に知らせる。また一部機種では、ノックコントロール作動領域の判定や エアコン 用 パフーリレー の制御も行っている。

2.3 システムの特長

今度,共同開発した電子制御 ‡+ブレタシステム には, 次のような特長がある。

- (1) メイン 系, スロー 系, ジェット 通路に空燃比制御用 ソレノイド を設置しているので, 軽負荷から高負荷領域まで広い運転 ゾーン において最適な空燃比に制御することができる。
- (2) マイクロコンピュータ の採用により、 制御 の 自由 度及び精度が向上した。
- (3) アクチュエータ として、 安価でかつ コンピュータ で制御しやすい デュティ 制御方式を採用している。

3. コンピュータユニット

3.1 ハードウェアの構成

コンピュータユニット の Λ ードウェア の構成を図 5. に、その写真を図 6. に示す。 中央演算部には Tナログディジタルコンバータ (A/D コンバータ) を内蔵した ワンチップマイクロコンピュータ (6805 系) を採用し、 ユニット の小形化を達成した。その マイクロコンピュータ の特長を表 2. に示す。

エンジンの運転条件を示す冷却水温,スロットル 開度, O2 センサ などの アナログ 信号は、インタフェース 回路において ノイズ を除去した後、コンピュータの アナログ 入力端子に入力される。 A/D コンバータ は、アナログ 信号用基準電圧(VREF) に対して レーシオメトリック に動作するので、クランキング時における電源電圧低下時においても精度よく信号を 検出できる。アイドルスイッチ などの ON/OFF 信号及び点火信号は、波形整形回路により ノイズ除去及び電圧 レベル 変換が行われた後、コンピュータ に入力される。点火信号は周期を精度よく計測するため、コンピュータ の割り込み端子に入力されている。 また、高温 センサ 信号は

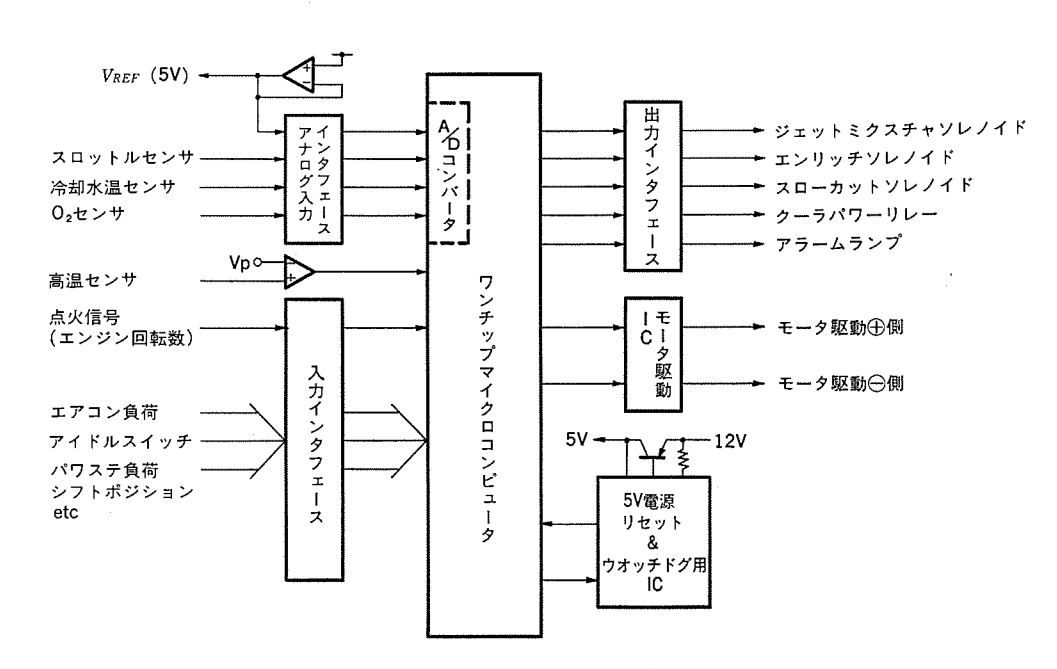


図 5. コンピュータユニット の構成

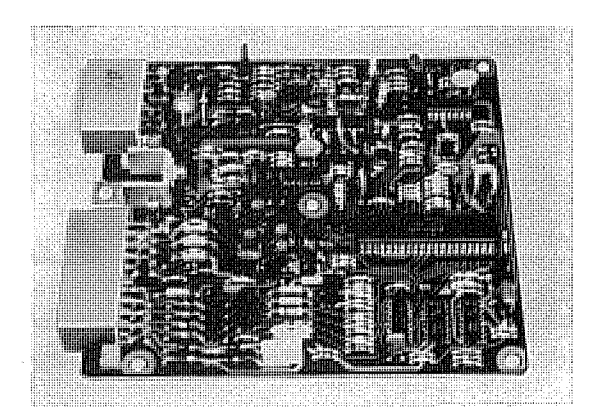


図 6. コンピュータユニット

表 2. マイクロコンピュータ の特長

項	B	特	長
デ ー タ 長 (ビ	'ット)	8	
命令実行時間 (μs (4 MHz)	s)	2~11	
RAM 容 量(バ	イト)	96	
ROM 容 量(バ	'イト)	3,834	
アナログ入力(チ	ャネル)	4	
タイマ (1) (ビ	ット)	8 (7 ビットプリス	(ケーラ付き)
タイマ (2) (ビ	ット)	8 (7 ビットプリスケーラ・	付きプログラマブル)
入出力ポート(チ	ャネル)	23	
入力ポート(チ	ャネル)	6 (アナロク	*含む)
ソフトウェア		6800 茶	

微小電圧信号(数 10 mV)なので、インタフェース 回路で 900℃ 相当の電圧と比較した後、 ON / OFF 信号として コンピュータ に入力されている。

一方、各種 ソレノイド、アラームランプ、モータ 駆動用出力信号は、出力インタフェース 回路により 増幅された後各負荷を駆動する。 ソレノイド 駆動部はトランジスタ で構成しているが、モータ 駆動部は電流制限、高電圧 カット など保護機能を内蔵したモータドライバ IC を使用している。また、マイクロコンピュータ に 5 V(DC)を供給する電源回路には、ウオッチドグ機能、リセット機能を内蔵した高精度定電圧 IC を使用しているので、自動車における広い入力電圧範囲(6~16 V)及び温度範囲(一30~+80°C)の環境においても常に安定した電源を確保できた。3.2 ソフトウェアの構成

ソフトウェア の フローチャート を図 7. に示す。 コンピュータユニット の電源が投入 される と リセット され, リセット 解除後 コンピュータ は ブログラム の実行 を開始する。 レジスタ 初期 セットルーチン において ポート の入出力, タイマの動作 モード を規定する レジスタ 及び各種 データレジスタ の初期 セット を

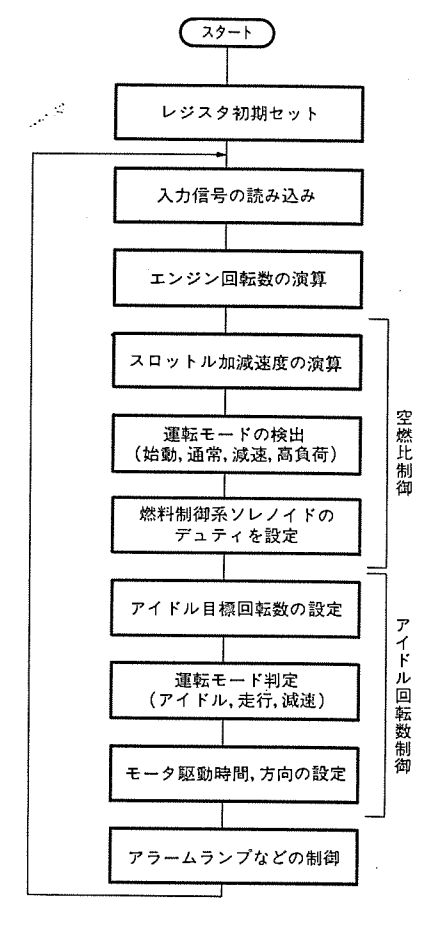


図 7. ソフトウェア の フローチャート

行う。次に入力信号の読み込み、割り込み処理により計測された点 火周期からエンジン回転数の演算を行う。スロットル 開度は 80 ms ごと に読み込まれ、その間の変化により スロットル 開度の加減速度を検出 する。

検出された スロットル 開度, エンジン 回転数, ァイドル SW の情報により始動, 通常運転, 減速, 高負荷の各運転 モード を判定し, 通常運転 モード 以外では運転条件に応じた デュティを メモリ から読み出し, デュティ 出力用 レジスタ に セット する。通常運転領域は, スロットル 開度及び エンジン 回転数により 8の ゾーン に分割されており, 各 ゾーン に応じて設定された制御 ゲイン を読出し O2 センサの リッチ/リーン 信号により, PI 制御の演算を行って JMSV の デュティを決定する。 ただし, O2 センサ が活性化していないときや冷却水温が低いときは, その条件に応じた デュティ 値を メモリ から読み出して レジスタ に セット する。

次に、アイドル 回転数の目標回転数を シフトポジション と エアコン 負荷信号に応じて メモリ から読み出し、レジスタ に セット する。また、アイドルスイッチ、エンジン 回転数、 シフトポジション 情報から アイドル 状態を判定し、目標回転数と実回転数とで偏差及び負荷変化に応じて モータの駆動時間、及び駆動方向を演算し所定の レジスタ に セット する。レジスタ に セット された ソレノイド 制御 デュティ 及び モータ の駆動 データ は、メインルーチン と非同期な タイミング 制御 ルーチン で出力処理される。メインルーチン の最後で、アラームランプ、エアコン 用パワーリレー などの制御を実行したのち入力信号検出 ルーチン へ戻る。

3.3 コンピュータユニットの特長

今度,開発した キャフレタ の電子制御用 コンピュータュニット には下記の特長がある。

- (1) アナログーディジタル 変換器内蔵の ワンチップマイクロコンピュータ、 電源 回路用 IC, モータ 駆動用 IC などの採用により小形化及び コストダウンを 達成した。
- (2) ディジタル 制御方式の採用により、 機能及び制御精度が向上した。

4. む す び

キャブレタの電子制御にワンチップマイクロコンピュータを採用し、ユニットの小形化、コストダウン、機能及び制御精度の向上を達成したが、自動車における各種電子制御システムの採用が増加する傾向にあるため、今後も小形化及び低価格化に向けて努力を重ねたい。

また、システム の多様化に伴い マイクロコンピュータ の選定が難かしくなっているが、エンジン 制御の ニーズ を的確に把握し、システム に マッチ した マイクロコンピュータ の導入により、コストパフォーマンス に優れた コンピータユニット を開発していきたい。 (昭 59-7-24 受付)

参考文献

(1) エレクトロジェットエンジン、三菱重工技報、21, No. 1 (昭 59-1)

和田俊一*・平田峯生*

1. まえがき

現在自動車メーカーは、排気ガス規制や燃費競争の時代を経て、高性能エンジンの競争の時代に入ろうとしている。その結果、車がより高速度で走行することになり、車を支えるサスペンションにも高い操縦性と安定性が要求されるようになってきている。乗りごこちを損なわずに操縦安定性を向上るせることを目的として、サスペンションにもエレクトロニクス化が導入され、市場に浸透しはじめている。今回三菱自動車工業(株)と共同で開発した電子制御サスペンション(Electronic Controlled Suspension: ECS)は、幅広い車種に適用でき、高いレベルで乗りごこちと操縦安定生を両立させるものであり、当社はサスペンション機構を制御するためのセンサ 類、アクチュエータ類及びコントロールユニットとインジケータの開発を担当した。

特長としては、車高調整が可能でしかも同時にばね定数と減衰力が ソフトと ハード に切換可能な ストラットユニット と、これを有効に作動 さるるための コントロールユニット と エアアクチュエータ、 信頼性の高い光検 出方式の センサ を採用して、電子制御技術の大幅な導入を可能にし、常に最適な サスペンション 特性を実現できるようにしたことである。

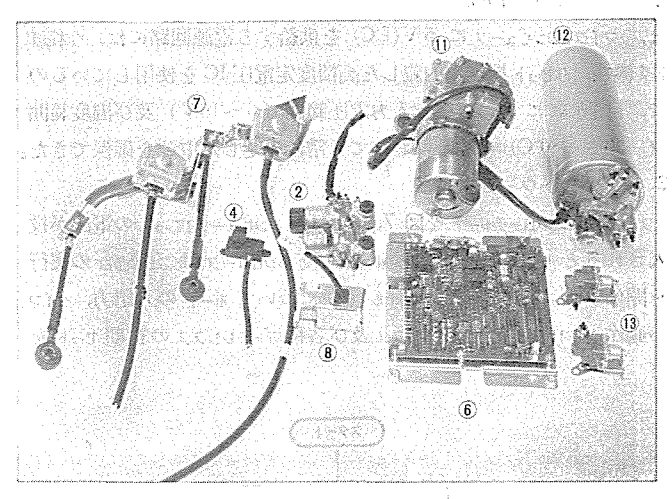
2. ECS の構成

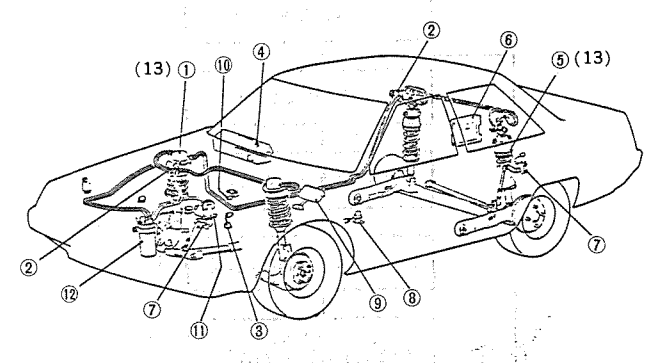
サスペンションを構成するばねや、ショックアブソーバには、主に二つの相反した重要な機能がある。第1の機能は路面からの衝撃を緩和し、不用な振動を吸収して乗りごこちを良くすることで、サスペンションはソフトな特性が望ましい。第2の機能は路面の状態の変化、加減速、旋回、乗員の増減に伴う車両の姿勢変化を極力抑え、操縦安定性を高め、車体を損傷から保護することで、サスペンションはハードな特性が望ましい。この相反する要求を従来のメカニカル部品だけで満足させるのは難しく、エンジン性能に合わせて操縦安定性を高めると乗りごこちが損なわれ、一方、乗りごこちを重視すると操縦安定性が損なわれる。このため、両者を両立させるサスペンションが必要となってきている。図1.に ECS システムの構成部品と装着場所を示す。

2.1 サスペンション機構

ECS の サスペンション 機構部は、コイル ばね、補助空気室と ェア ばね空 気室からなる ローリングダイアフラム を用いた ェア ばね、 及び オイル 式のショックアブソーバ で構成されている。図 2. (a) に ECS の フロントストラットユニット の構造を、図 2. (b)にそのばね定数と減衰力の切換機構を示す。

ばね定数の切換は、 \mathbf{I} \mathbf{I} だね上部に設けた補助空気室(\mathbf{I} $\mathbf{I$





①フロントストラットユニット

①ソレノイドバルブ

③車速センサ ④ハンドル角速度センサ

(4)ハンドル角速度センサ(5)リアショックアブソーバユニット

⑥コントロールユニット⑦ 東高センサ

®Gセンサ

⑨インジケータ⑩スロットル開度センサ

①コンプレッサ ②リザーブタンク

(3エアアクチュエータ

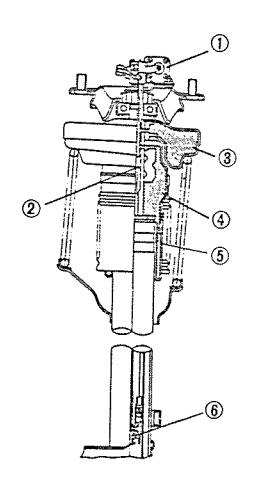
図 1. ECS システム 構成部品と装着場所

図 3. に ECS システム の全体空気配管図を、図 4. に エアアクチュエータ、コンプレッサ、リザーブタンク の構造図を示す。コンプレッサ は、リザーブタンク の アキュムレータ 室圧力が設定値以下になると、プレッシャスイッチ が O N (コンプレッサリレー が ON) して作動し、設定値に達すると OFF して停止する。 このため、リザーブタンク 内には、常に高圧の空気が蓄圧され、ソレノイドパルブ によって各 アクチュエータ へ供給される。切換ロッドを回転させる エアアクチュエータ は、ピストン 式で空気圧により レバーを直線運動させるもので、駆動力が大きく小形であるため、ストラットの上部に取り付けても余分な スペース を取らずにすむ利点がある。

2.2 コンプレッサ

コンプレッサ は出力 140 W の永久磁石式直流電動機で駆動されるピストン 式の圧縮機で、内蔵の エアフィルタ から吸入し、 圧縮した空気を リザーブタンク へ圧送する。 モータ 内部には、バイメタル 式の サーモスイッチ を設置し、過熱による焼損を防止する構造としている。

コンプレッサ 部は無潤滑で、しかも メンテナンスフリー で使用可能なよう



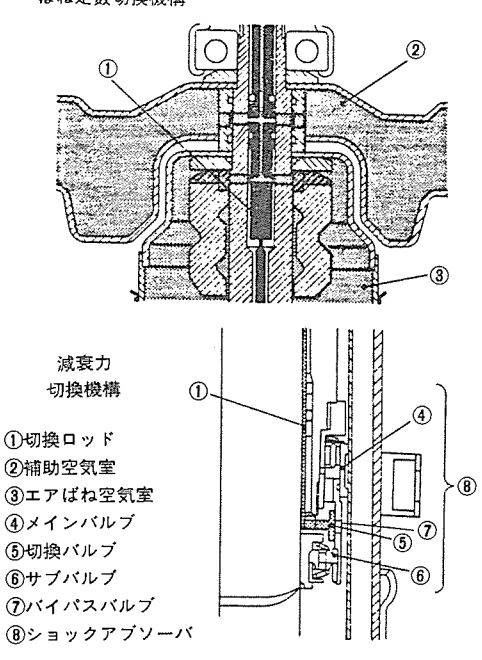
①エアアクチュエータ ②ハード/ソフト切換ロッド ③補助空気室

④エアばね空気室

⑤ローリングダイアフラム ⑥ショックアブソーバ

(a) フロントストラットユニット の構造

ばね定数切換機構



(b) ばね定数と減衰力切換機構 図 2. サスペンション 機構

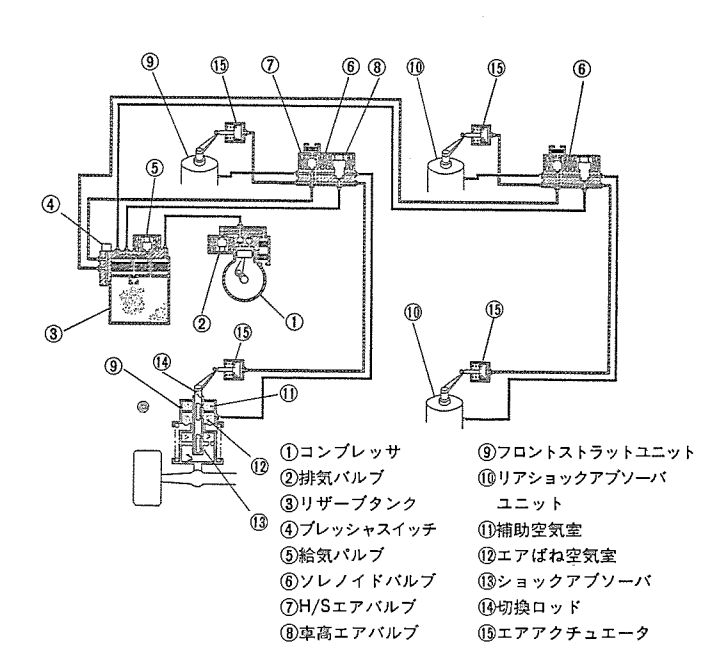
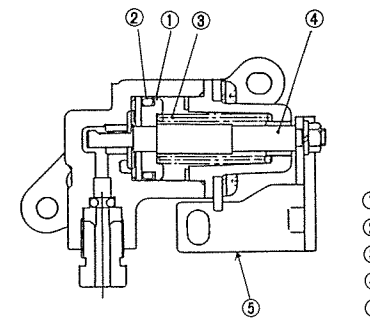


図 3. ECS システム 全体空気配管図



①ピストン ②ピストンリング ③リターンスブリング ④シャフト ⑤レバー

図 4. (a) エアアクチュエータ の構造

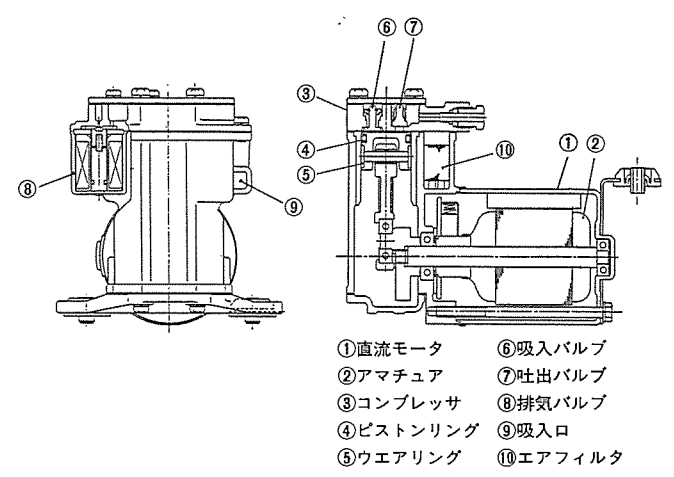


図 4. (b) コンプレッサ の構造

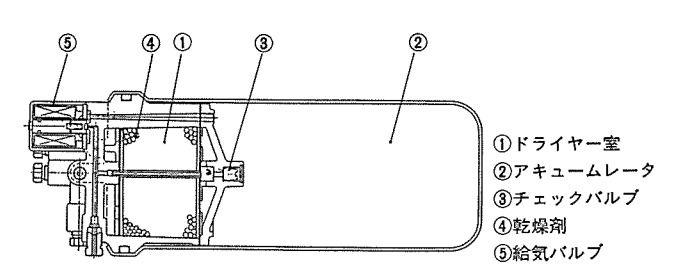


図 4. (c) リザーブタンク の構造

に、ピストンリング は充てん剤入り テフロン 樹脂を採用し、摩擦と摩耗の低減により寿命の向上を図っている。 なお、コンプレッサ は圧力 9.5 kg/cm² 時、9 l/min の吐出容量を有し、最大積載状態においても車高を十分上げ得る能力を持っている。

2.3 リザーブタンク

リザーブタンクは、コンプレッサで得られた圧縮空気を貯蔵するもので、内部にはドライヤーが装着されている。ドライヤーはコンプレッサからの圧縮空気が通過するときに水分を吸着し、圧縮空気中の水分が配管系路に浸入し、凍結によって起る機能不良や破損を防止している。

一方,排気時には ェア ばね空気室から乾燥した空気が通過し,吸 着している水分を取り除いて大気へ排出し,常に良好な状態に再生 され,通常の使用状態では十分な除湿能力を保つ。

2. 4 ハンドル角センサ・G センサ・車高センサ

図 5. に ハンドル 角 センサ, G センサ, 車高 センサ の構造と作動原理を示す。 との三つの センサ に共通していることは, 敏速な位置の変化を高精度で検出することである。 三つの センサ にすべて光検出方式を採用しているので,検出は無接触で行え,摩擦しゅう動部のない センサ で高い信頼性をもっている。

ハンドル 角速度 センサ は、 ハンドル の操作角速度を検出するもので、

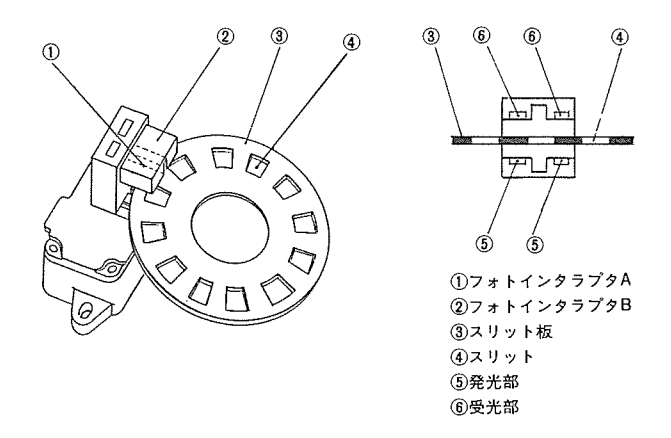


図 5. (a) ハンドル 角 センサ の構造と作動原理

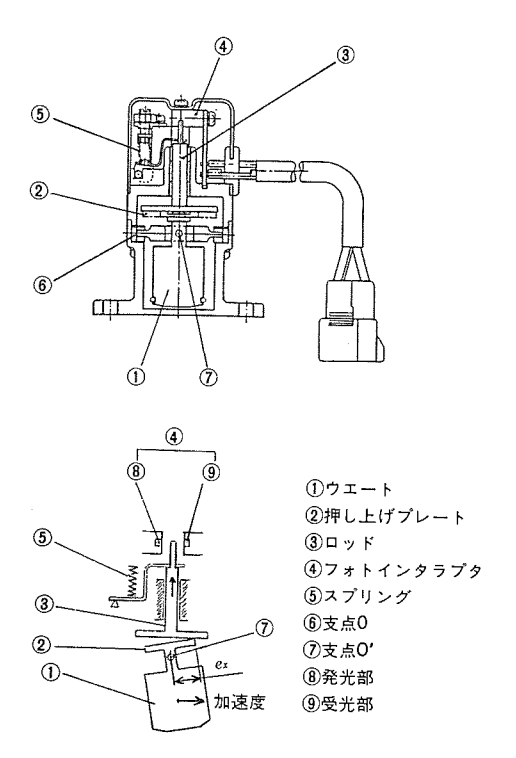


図 5. (b) G センサ の構造と作動原理

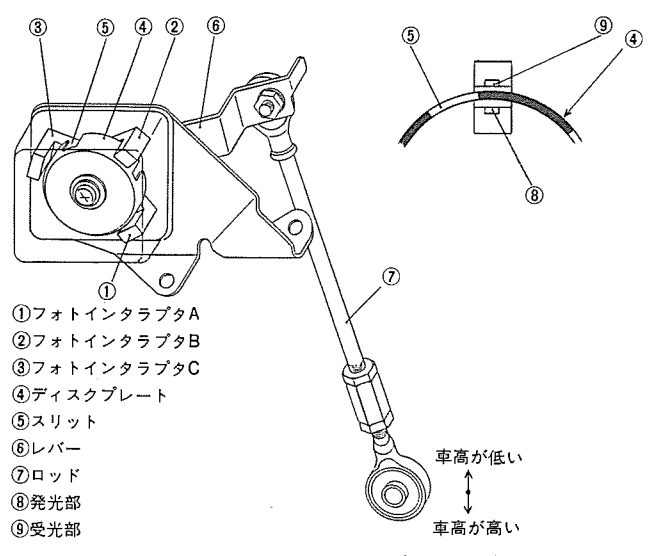


図 5. (c) 車高 センサ の構造と作動原理

2個のホトインタラプタとスリット板で構成している。ハンドル軸に固定されたスリット板は、ハンドル操作によってホトインタラプタの発光ダイオードとホトトランジスタ間を回転し、スリットによって発光ダイオードの発する光をON・OFFし、ハンドル操作角速度に応じた電気信号を出力する。2個のホトインタラプタの出力位相は、1/4周期ずれるように構成しているので、□ントロールユニットは操作の方向を判別できるとともに、ハンドルの遊びによる左右へのこきざみな動きに対しては検出しないようにしている。

G セッサは、車体の加速・減速による前後方向の加速度、旋回時の左右方向加速度、及び バウンス による上下方向加速度が一定のしきい値を越えたときに電気信号を出力するものである。ウェートは支点 O と O' で揺動自在に支持されており、その上部にウェートと共に揺動する長さ l_x の押し上げ プレートが取り付けられている。押し上げプレートの上部に、スプリング によって一定の荷重が負荷されて上下方向のみ移動可能な ロッド を装着している。ロッドの先端部は、ホトインタラプタ の発光 ダイオード と ホトトランジスタ の間にあり、作用する加速度がしきい値以下のときは、ホトトランジスタ は発光 ダイオード の発する光を受光している。 しきい値以上の水平方向加速度が作用するとウェートは傾き、押し上げプレートでロッドを持ち上げ、発光 ダイオードの発する光を遮って加速度が作用したことを検知する。検知加速度は押し上げプレートの長さ l_x と、スプリング の荷重との関数となる。

前後方向の加速度に対しては支点 Oで、左右方向の加速度に対しては支点 Oで揺動するよう構成しているので、ウェートは水平面内のどの方向にも揺動可能となり、押し上げ プレートの長さ l を各方向ごとに設定すれば水平面内各方向ごとに、所定の加速度を越えたことを検知できる。また、支点 O 部で上下方向へ移動可能なように支持しているので、下方向加速度に対して D ウェート全体が上方向へ移動し、 1 個の π トインタラプタ で前後・左右・下向きの加速度が検知できる三次元 G センサ である。

この G セッサ は、所定の加速度が作用したときのみウェートが移動する構造のため、しきい値以下の加速度が作用してもウェートは動かず、ボデーなどの微振動で支点部の摩耗は起らず、高い信頼性を有している。

車高セッサは、ボデーと車軸の相対位置変化(車高変化)を検出するものである。セッサ本体はボデーに、レバーにリック結合されたロッドは車軸に装着され、車高の変化はレバーの回転に変換され、セッサ内部に伝えられる。 車高セッサの内部には発光 ダイオードと ホトトランジスタ で構成される ホトインタラプタ が3個あり、レバーと同軸のディスクプレートが、車高の変化に応じて発光 ダイオードと ホトトランジスタ の間を回転し、ディスクプレートに設けた スリットが光を ON・OFF し、車高の状態を七つの領域に分類して検出している。

2.5 コントロールユニット

コントロールユニットの ブロック 図を図 6. に示す。コントロールユニットは,8 ビットワンチップ の マイクロコンピュータ(M 5 L 8049), 入力 インタフェース 回路,出力駆動回路,フェイルセーフ 回路,安定化電源回路から成り立っている。マイクロコンピュータ(M 5 L 8049)は 8 ビットの タイマ,2 K バイトの ROM 及び 128 バイトの RAM を持つ。 4 MHz の クロック を用いて,サスペンション 制御,車高調整,フェイルセーフの動作を十分高速に実行することができる。また,システムの異常を監視してフェイルセーフの動作を行うと同時に, 故障の内容を コード 化して出力する自己診断の機能も備えており,故障発生時には アラームランプ を点灯させ,故障内容を出力する。

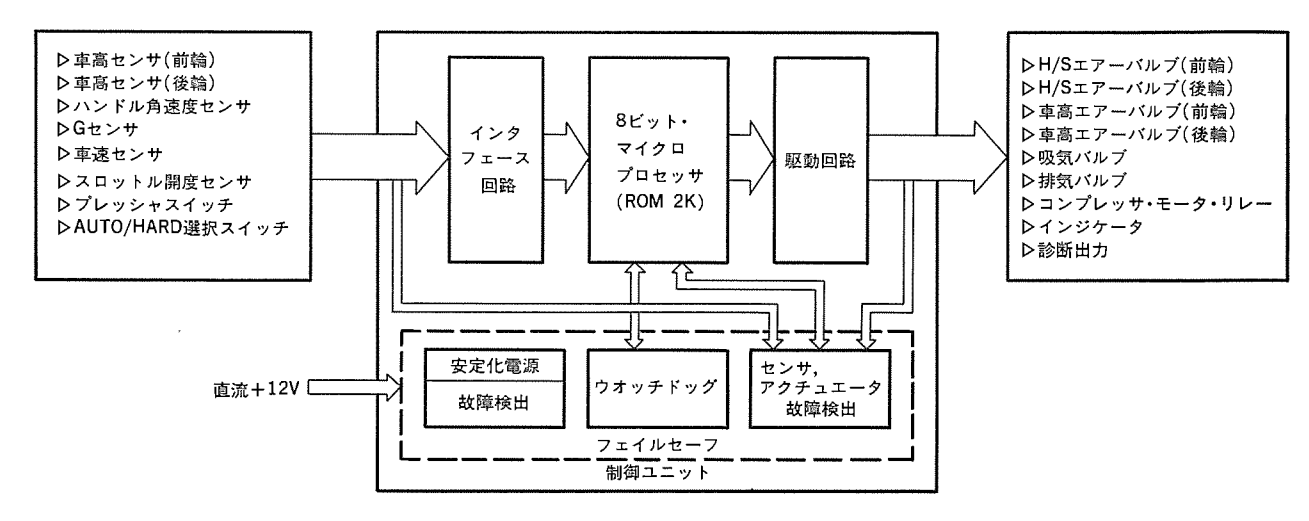


図 6. コントロールユニット の内部 ブロック 図

サスペンション の状態は、 運転席前方の コンソールボックス 内に設けられた ECS インジケータ に表示され、 との インジケータ には サスペンションモードの切換 スイッチ 及び上記の アラームランプ も備えられている。

3. 制御方式と性能

ECS システム の構成部品とその特長について述べたが、システム の特長であるばね定数とショックアブソーバの減衰力の強弱(ハードソフト)切換制御方式及び車高調整・姿勢制御の方式について述べる。

3.1 ばね定数と減衰力の切換制御

サスペンションの Λ ード・ソフト 切換制御の判定条件を表 1. に,また制御の D-チャートを図 7. に示す。 運転者が J-トモードを選択していれば,各 セッサ の信号をもとに J-ントロールユニット が判断し,表 1. の条件に従がって J-カインション の特性は自動的に J-ドスピ ソフト に切り換わる。 一方,運転者が J-ドモードを選択していれば,表 1. の条件にかかわらず J-ガインション の特性は J-ド に固定される。表に示した項目は,次の四つの J-プ に分けられる。

- (1) 引き続いて急激な車両の姿勢変化が予想される運転状態を運転者の操作を検知して予知する項目: ハンドル 角速度, スロットル 開閉速度など
- (2) 車両に加わる力を検知して、引き続き起る車両の急激な姿勢変化を予知する項目:前後・左右・上下 G
- (3) より高い レベル の操従安定性を要求される 運転状態を予知す

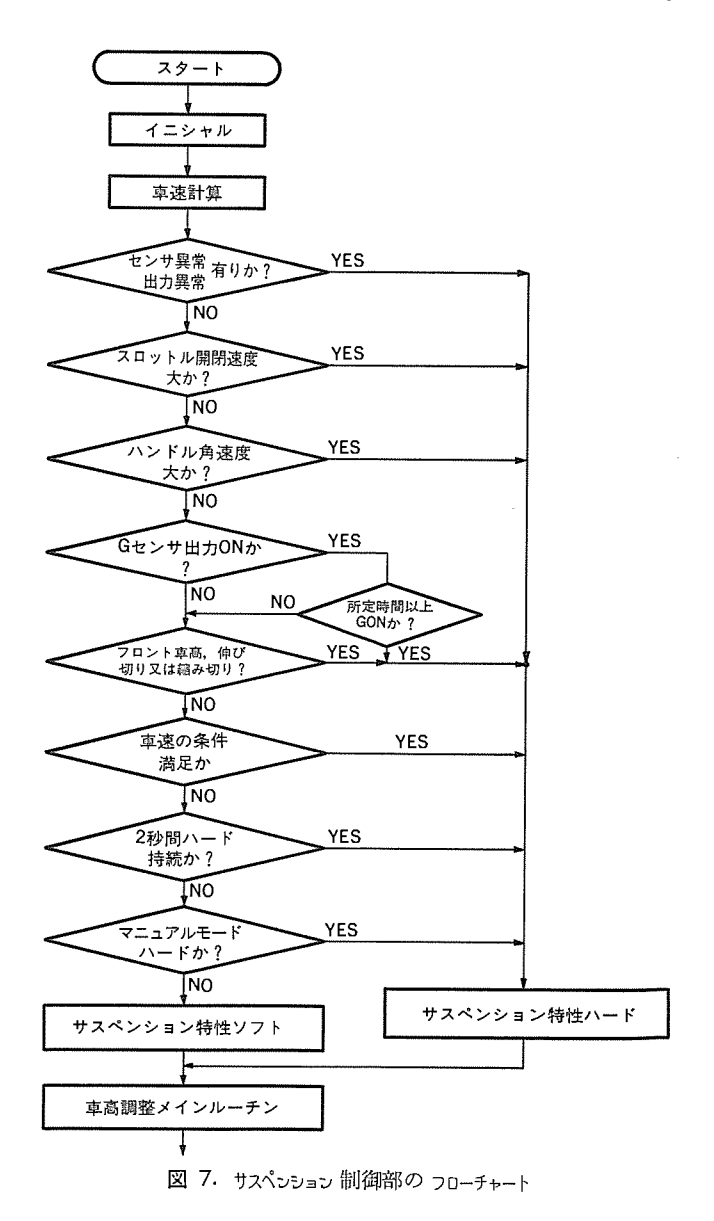
表 1. サスペンションハード・ソフト の判定条件

項	ΪB	ソフト条件 ハード条件		機能
車;	車速 HARD SOFT			高速安定性
ハンドノ	レ角速度		200deg/s以上 (車速約40km時)	アンチロール
to	前後		0.36以上	アンチスクオート アンチダイブ
加速度	左右	通常, 右の条件以外の 場合。	0.5G以上	アンチロール
	上下		1G以上	バウンシング時の 操安性, 車体保護
スロ閉ッ速	加速		車速が3km/h以上で 踏込み速度0.25 m/s 以上	アンチスクオート
・皮度ル	減速		車速が3 km/h以上で 戻し速度0.5 m/s 以上	アンチダイブ
車高センサ出力			最高位置 最低位置	伸び切り 縮み切り

る項目:車速, ハンドル 角速度, G, 車高 センサ

(4) 急激な姿勢変化を検知し、車体の保護と操安性の向上の必要性を予知する項目:車高 センサ、G (上下 G)

各項目とも早い応答性を要求されるため、ハード条件が成立してから アクチュエータを駆動するまでの演算遅れは、極力少なくするように考



電子制御 サスペンション "ECS システム"・和田・平田

慮している。 ただし、加速度 セッサの出力の処理だけは例外で、所定の加速度以上の判定信号が約 40 ms以上持続した場合に初めて ハード条件成立と判断している。 これは通常の非補装路などでは、できるだけ サスペンション を ソフト に保ち乗り ごこちを損なわないようにするためのもので、Gの大きさと持続時間を同時に判断することによりこの最適点を決定した。 また、一度 ハード条件が成立した後に直ちにソフト条件に復帰した場合にでも、最低 2 秒間は ハード 状態を持続させて、アクチュエータの不要な ハンチング の発生を防止している。

3.2 車高調整姿勢制御

車高調整の開始及び停止判定と目標車高 レベル の決定は、 すべて自動的に コントロールユニット が行う。中低速の一般走行時の目標車高は ノーマル であるが、高速走行時には目標車高を Dー に下げて走行安定性を向上させる。 Jーマル と Dー の車高変化は約 D0 mm である。

各運転状態での車高調整の開始の判定条件を表 2. に示す。 車高は フロントと リアの 2 個の車高 センサ で検出し、 その信号を コントロールユニットの中で平均し、目標車高レベルより高、中立、低の 3 段階に分類して処理している。車高が目標車高に一致したときに車高調整を停止する。車体のばね下共振周波数を考慮して車高 センサの サンプリング 周期を決定し、車体のばね上振動周波数を考慮して車高の平均 化時間を決定している。

更に、停車時の乗員の乗降などによる荷重変化に対してスムーズに車高調整を行い、短時間の荷重変動や走行中の路面変化、発進、加減速、旋回などによる車高変化には不要な車高調整をできるだけ行わないようにし、フロントとリアとも同時に車高調整が必要なときには、同時、あるいは作動優先順位を判定し、ヘッドランプの上向きを防止するなど、きめの細かいコントロールを行っている。また、イグニションキーを OFF にしてからも、システムの電源を最大で約3分間保持し、乗員が降車した後も車高を ノーマル位置まで下げることができる。図8. に車高調整制御の概略 フローチャートを示す。

3.3 ECS システムの性能と今後の課題

車の乗りごとちの良否を判断するために、車体の振動を 2 次の伝達関数で表したときの固有振動数:f と減衰係数比: C/C_c を比較することができる。減衰係数比とは、ショックアブソーバの減衰係数:C がその車の臨界制動状態に相当する減衰係数: C_c の何倍かを示すものである。 1984 年形三菱 ++5000 プロイヤル に装着された ECS のソフト 状態では f=1.2 Hz, $C/C_c=0.2$ であり、h0 下 状態では f=1.5 Hz, f=1.5

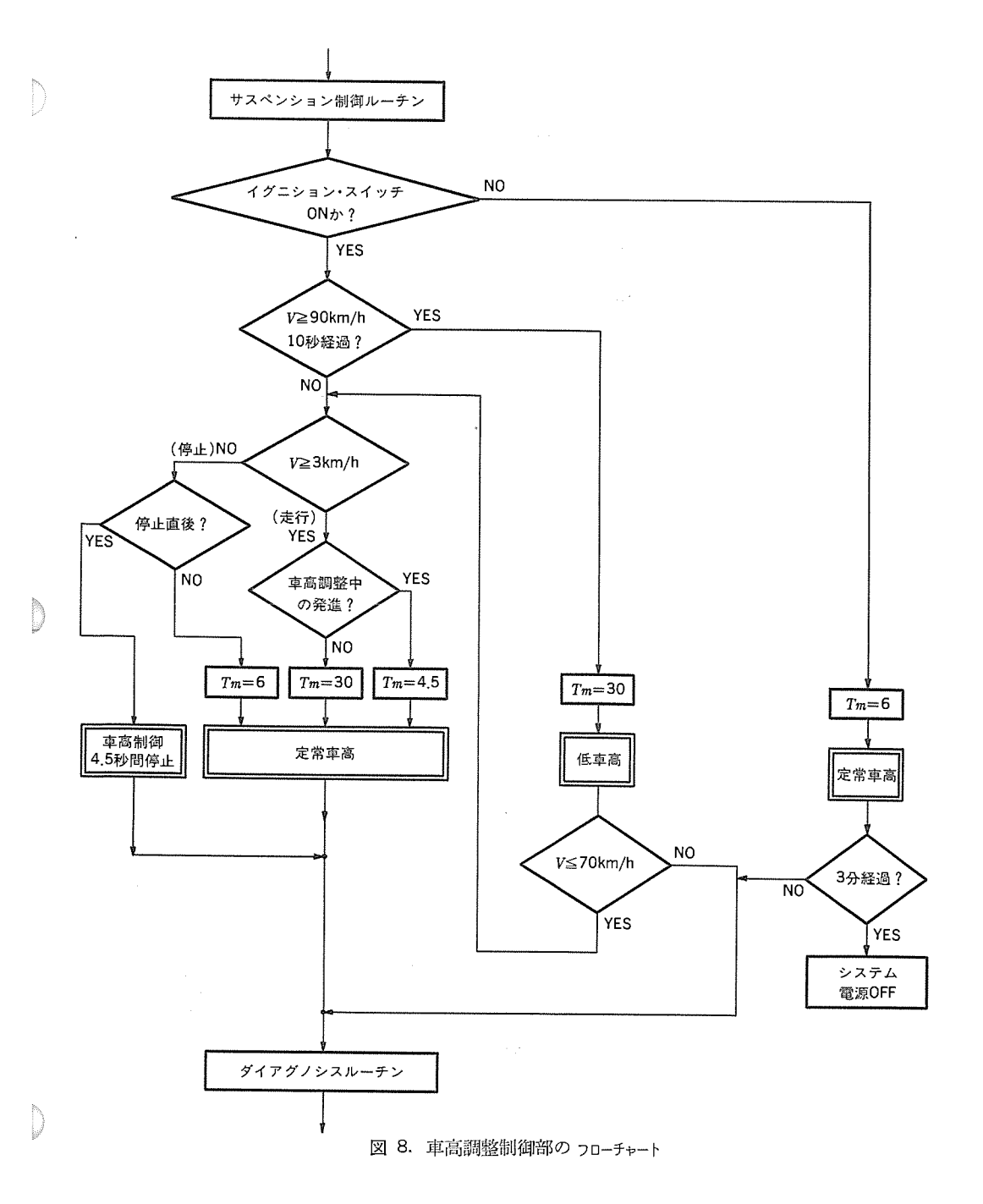
サスペンションの電子制御は以前から種々の試みが行われており、早くから実用化されているのは、ECSと同じ空気ばねを使った車高調整システムである。これらの実用化例は、サスペンションの硬さを同時に制御していないので、空気ばねのもつ、やわらかなばね特性と車高調整機能とから得られる乗りごこち特性の向上の効果は十分に期待できるが、操縦安定性の向上には限界がある。また、ばね定数はそのままで、減衰力だけを切り換えるシステムも実用化されているが、ECSはばね定数も同時に切り換えることができるため、ソフト状態の特性とハード状態の特性をよりきめ細かく、独立に設定することができる。これによって、他方式に比べて、より優れた乗りごこちと、より高い操縦安定性を両立することができる。

車高調整機能とばね定数,減衰力の切換機能を同時に実現させた ECS システム は, 現在実用化されている サスペンション の電子制御方式 の中で,最も機能の充実した システムで,他方式にない特長を備えている。 このため応用範囲が広く, 高級 サルーン から高性能 エンジン 搭載の スポーツカー まで幅広くこの システム を 適用 する ことが 可能であ

表 2. 車高調整開始の判定条件

車速の状態	市高の状態	作	勒	- 備 考	
		イグニションキーをONにした直後。	車高調整を開始する。		
停 車 時	ノーマル車高より高いか又は低い	イグニションキーを ON してから 一度車高調整を行った後。	左記車高の状態が約6秒以上継続する と車高調整を開始する。	イグニションキー ON 後,乗降などによる短時間(6秒以内)の車高変動に対しては作動しない。	
	ノーマル車高より高い	イグニションキーを ON から ACC 又は LOCK にしたとき。	イグニションキーを OFF にしてから 約3分以内に左記状態が約6秒以上継 続した時, 車高調整を開始する。	乗員などの降車により車高が高くなっているのを防止するため, 下げ調 整のみ行う。	
走 行 中	目標車高レベル(ノーマル又はロー) より高いか又は低い	左記状態が約30秒以上継続すると4	走行中の路面変化などによる車高変 動に対してはほとんど調整は行わない。		
		停車直後	約 4.5 秒間は車高調整を開始しない。	急停車などの車高変動に対しては, ほとんど調整は行わない。	
走行後 の 停 車 時	ノーマル車高より高いか又は低い	停車後 4.5 秒以上経過後。	大きな車高の変化があって,かつ,左 記状態が約6秒以上継続した時。	梁員などの乗降があって車高が大き く変化したときは車高調整を行う。	
発進加速時	目標車高レベル (ノーマル又はロー)	停車中に車高調整中のままの発進で, かつ調整を停止した場合。	左記車高の状態が約 4.5 秒以上継続すると, 車高調整を開始する。	発進,加速などで車高調整を中断された場合の敦済。	
及び 渡 時	より高いか又は低い。	上記以外	左記車高の状態が約30秒以上継続す ると、車高調整を開始する。	発進,加波速,による車高変化に対 してはほとんど調整を行わない。	

注 目標車高は、加速時: 車速 90 km/h 以上 10 秒継続で、ロー車高、それ以外はノーマル車高。 波速時: 車速 70 km/h 以下で、ノーマル車高、それ以外はロー車高である。



受け持っているために、より厳しい信頼性が各部品に要求される。このため、コットロールユニットにはフェイルセーフ機能と自己診断機能を持たせ、安全性とサービス性には十分の配慮を行っていることは既に述べたが、各部品のより一層の信頼性の向上と、軽量化、コスト低減、低消費電流化が今後の課題である。

4. む す び

エンジン性能が向上するに従っ て、乗りごこちと操縦安定性を 高い レベル で両立できる サスペンシ ョン 技術が、 今後ますます重要 になってきている。ことで述べ た ECS システム は、 車高調整機 能と, ばね定数及び減衰力の切 換機能を同時に実現させたもの で、最適な サスペンション 特性を実 現させるのに適しており、しか も,サスペンションの特性を切り換 えるための小形で高性能な エア アクチュエータ, 信頼性の高い光検 出方式の センサ を採用して、マイ クロコンピュータ による 大幅な電子 制御技術の導入を行い, きめの 細かいサスペンション特性の制御を 可能にした。また、このシステム はエンジン性能の変更や車種の変 更にも容易に適応が可能である。 終りに、とのシステムの開発に当 り多大の御指導をいただいた三 菱自動車工業(株)の関係者各位 に深く感謝する次第である。

参 考 文 献

ところで、この システム は従来の機械式の ストラット ASSY 4本に置き換るものであり、重量、コスト、パッテリ 消費率の増大はさけることができない。 更に、 ECS は操縦安定性を左右する重要な機能を

(1) Masaaki Mizuguchi, Takayoshi Suda, Sunao Chikamori, and Kazuyoshi Kobayashi : 「Chassis Electronic Control System for the Mitsubishi 1984 Galant」 SAE Paper 840258 (1984)

ライン用エンジン、トランスミッション自動試験システム

大前芳洋*・中山一夫*・米倉善彦**・大坪光雄**・徳永治久**

1. まえがき

エンジン 及び トランスミッション は多数の精密 な 部品で構成されており、かつ自動車の構成の中で主要な位置を占めている。これら製品の品質は、自動車全体の品質性能に大きな影響を及ぼすため、これを構成する各々の部品の品質のみでなく、製品としての機能上の品質が要求される。 生産 ライン における品質確認のための出荷検査は、従来熟練検査員の感応による定性的判定方法を主体としたものが多かったが、TQC、SQC 思想の普及につれ、近年 データ 計測による定量的判定法が求められてきている。

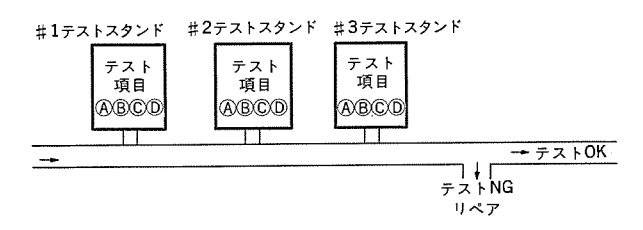
当社では、試験装置の大幅な自動化及び データ 計測、 データ 処理の計算機化などの導入により、 エンジン 及び トランスミッション の組立完成品を生産 ライン にて全数試験を行い、その試験 データにより品質の判定を行う試験 システム を開発し製品化してきた。

との論文では、生産 ライン に適した エンジン 及び トランスミッション 試験 システム を、当社のとれまでの製作経験に基づき紹介する。

2. システムの考え方

生産 577 における 105 及び 150 及び 150 及び 150 との試験項目を一つの試験装置に集中させる集中処理方式と,幾つかの試験装置に分散させる分散処理方式に大別することができる。図 1 にその基本的構成 15 を示す。また,表 1 に両方式の特長を示す。

次に、試験装置への搬送形態として、 テスト 専用 パレット を用いる場合と組立用 パレット などの非専用品を用いる場合がある。 テスト 専用 パレット は、 ワーク と試験装置の間の中継機能に重点をおいて設計されるものであり、 配線配管の中継、 ワーク の位置決め固定及び各種情報の中継が行われる。これらの機能は装置の簡素化、自動化に



(a) 集中処理方式

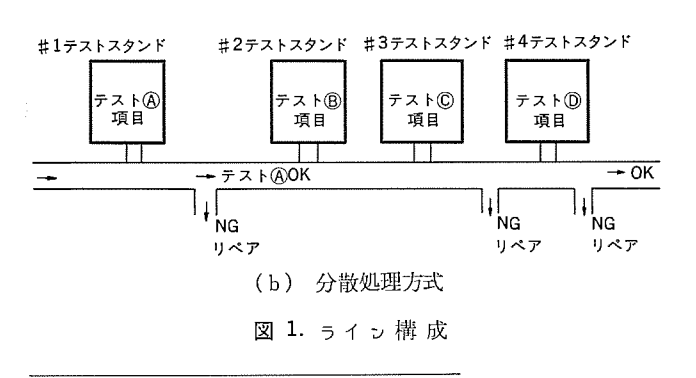


表 1. 集中処理方式と分散処理方式の比較

	項	目	集中処理方式	分散処理方式		
1.	計測と良否判	川定精度	テストスタンドの機差 が誤差となる。	すべてのワークは同一 のセンサで計測される ので精度は高い。		
2.	サイクルタイ (1台のワー てのテストを ためのトータ ルタイム)	- クがすべ : 実行する	同一のテスト条件であれば複数の計測を同時 に行うことができる。	ワークのセッチングが 各テストごとに必要。 (但し, テスト条件を なるべく統一すること により向上は可能)		
3.	スタンド台巻	ķ	全テストが l 台のスタ ンドで行うことができ る。	すべてのスタンドをな るべく同一のサイクル タイムにしないとライ ン効率が低下する。		
4.	リジェクト哥	<i>7</i>	全テスト終了後に良否 判定されるのでリジェ クト率は高くなりやすい。 (但し, 組合せ判定な どにより向上は可能で ある)	項目ごとにリジェクト されるのでリペアの能 率が向上する。		
5.	ライン処理負	勤	スタンドの台数を増や すことにより能力アッ ブができる。 (増設したり、休ませ たりすることができ る)	1台のスタンドがダウ ンしたときその項目は ノーチェックとなるか, 又は全ラインが停止す る。 またサイクルタイムを 短縮する以外に処理能 力を増大できない。		
6.	設備コスト	4444	すべてのセンサ, アク チュエータがすべての スタンドに必要であり, 稼働率が低い。	センサの利用率が高い。 (但し,ライン処理量 が大きいと不利になる 傾向がある)		

は不可欠であり、当社は テスト 専用 パレット を用いる方式を採用している。

2.1 エンジン試験システム

エンジンの試験項目は、リーク試験(回路のもれ試験)、コールド試験(モータリングによる機能試験)及びホット試験(燃料使用による運転試験)に分けられる。これら3項目は、それぞれ試験条件が異なっており、かつ試験機構部も異なる部分が多い。したがって、幾つかの試験装置に分散させる分散処理方式の試験システムが適切であるが、当社では両方式の試験システムを製作した実績をもっている。

2.2 トランスミッション試験システム

オートマチックトランスミッションの試験項目は、変速試験、トルクコンバータ性能試験、騒音試験及び機構動作試験(パーキングロック、マニュアルレバーチェンジ動作など)に分けられる。前者3項目はトランスミッションが回転している条件が前提となり、また試験機構も全試験項目にわたり共通に必要な部分もある。したがって、当社ではすべての試験項目を一つの試験装置に集中させる集中処理方式の試験システムを採用している。

3. 試験装置の機械構成

試験装置の機械構成は、主に動力及び負荷を与える駆動機構部、 スロットル、マニュアルレバー などを操作する操作機構部及び各種計測項目を計測する測定機構部から成り立っている。

3.1 エンジン試験装置

ととでは、分散処理方式の機械構成について述べるが、集中処理方

式の場合は分散処理方式の各試験装置を一つの試験装置にまとめたものである。

3.1.1 ラインレイアウト

分散処理方式は、図 2. に示すように 9-2 の流れに対して上流側から $3-\mu$ が試験装置、1-2 試験装置、1-2 試験装置、1-2 試験装置については、機能試験の前に構造欠陥試験を実施するときは $3-\mu$ が試験装置の上流側に配置する。

各試験装置の サイクルタイム は、テスト 内容、テスト 項目によって異なるが、一般的にはホット 試験装置、コールド 試験装置、リーク 試験装置の順に短い。一例を表 2. に示す。 各試験装置の必要台数はこの サイクルタイム をもとに決める。

3. 1. 2 エンジン試験装置の機械構成

各試験装置は,下記に示すように エンジン 位置決め クランプ,コネクタ 接続及び エンジン 駆動機構から構成している。

- (1) エンジン 位置決め クランプ 機構
- エンジン の位置決め穴を用いて スタンド と固定する。
- (2) コネクタ 接続機構
- エンジン の各種接続ポート と スタンド を継ぐ。

(3) エンジン 駆動機構

コールド 試験装置では エンジン を外部から強制的に回転させ、 ホット 試験装置では セルモータ の代りをするもので、直流電動機を用いている。そのほかに、油圧 サーボ 方式の点火位置調整機構や アクセル 開度を調整する スロットルワイヤ 操作機構を装備している。 図 3. に装置の外観

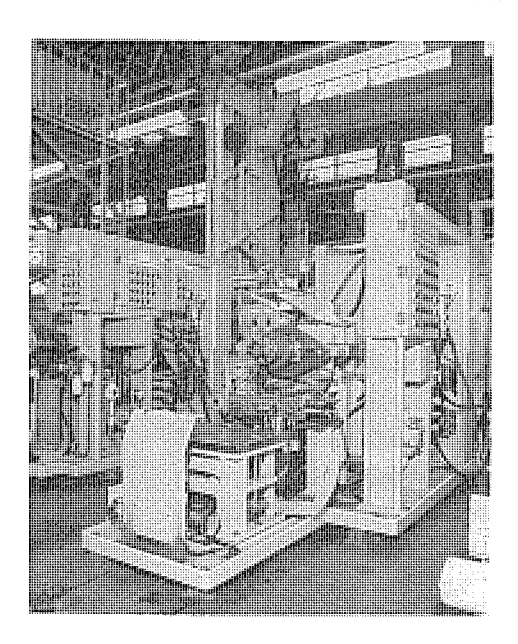


図 3. エンジン 試験装置の外観

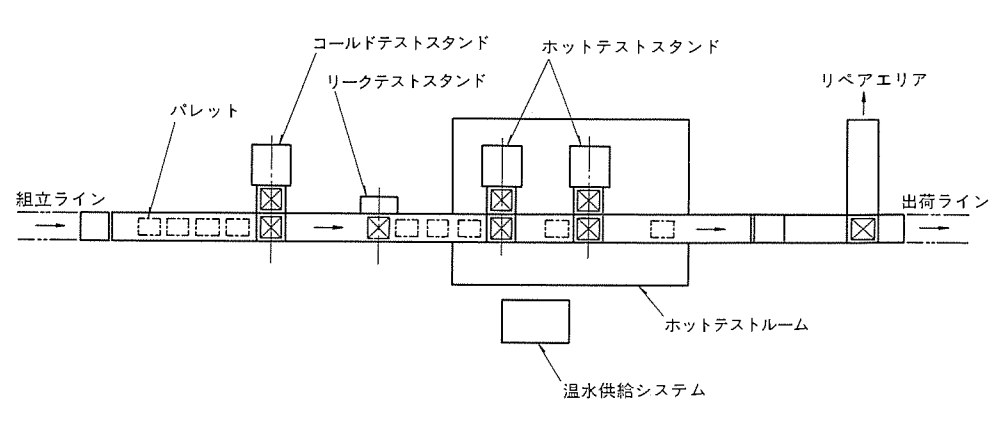


図 2. ェンジン試験システム

表 2. サイクルタイム 例 (分散処理形)

単位:s

遊 選	リーク試験装置	コールド試験装置	ホット試験装置
ワークセット	10	15	20
猷 駁	20 (クランクケース ウォータジャケ ットのリーク試 験	20 (ディストリビュ (一タのセットを) 含む	50 (始動性チェック (温水注入, 排水) を含む
ワークアンクランプ	8	. 10	15
サイクタイム	38	45	85

を示す。

また、付属装置として温水供給ユニットがある。 エンジン に 90℃ に 温調された温水を注入することにより、 ホット 試験時の エンジン 曖機 運転を省略し サイクルタイム の短縮を図っている。当社では、図 4. に 示すような負圧給排水方式を採用している。つまり、温水を高速で流 すことにより負圧を発生させ、この負圧を吸引力としてエンジンへの 給排水を行い、給排水能力は約 300 mmHg で 20 l/min である。 加 圧方式などによる給排水方式に比較して、スタンドとエンジン 接続部か

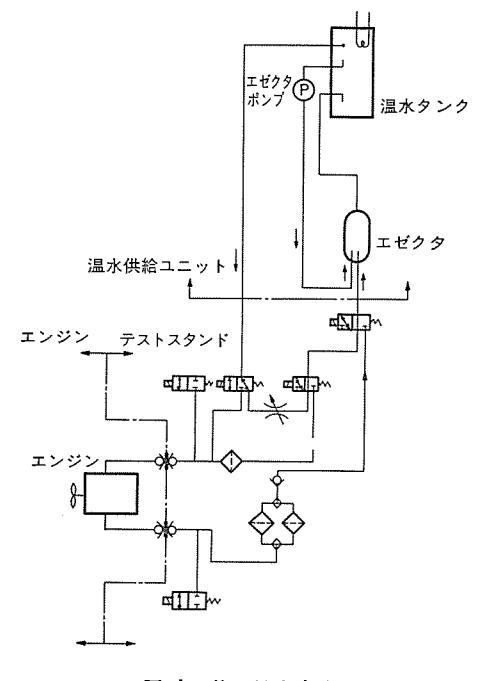


図 4. 負圧給水方式

らの温水噴出の危険が非常に少ない安全性の高いものである。

3.1.3 自動化

試験装置と エンジン の各種配線配管及び クランクシャフト との接続が必要であるが、エンジン に可とう性があることや機種変化があることから,接合部の位置が変動し,自動接続化の障害の大きな要因になっていた。当社では,これらの問題点を下記方法の採用により解決を図り自動化している。

(1) テスト 専用 パレット 方式

試験装置 ライン 専用の パレット を使用することにより、パレットとワーク の位置決め精度を向上させ、試験装置内において、パレット を位置決めすることにより、ワーク の位置決め クランプ が容易に行うことができる。

(2) パレット の中継 コネクタ 方式

エンジン からの各種配線配管を前もって パレット 中継 コネクタ まで接続しておき、 試験装置との接続は パレット と位置が決められている パレット 中継 コネクタ で行う。

(3) アダプタ 方式

クランクシャフト と試験装置の駆動系(直流電動機)の接続は、 前もって アダプタ を エンジンフライホイール 部に取り付けて, この アダプタ と試験装置を接続する。

3.2 トランスミッション試験装置

トランスミッション には、 オートマチック と マニュアル の 2 種類 があり、 前者 は変速点の試験、 後者は異音及び シフトフィーリング 試験が主な試験項目である。両者とも、前章で述べたように集中処理方式を採用しており、この方式の機械構成について述べる。

3. 2. 1 機械構成

トランスミッション の種類により図 5. に示すような機械構成になり、大きく分けると下記のように分類される。

(1) ワーク 位置決め クランプ 機構

トランスミッションの エンジン 取付穴を用いて スタンド と位置決め固定する。

(2) 駆動機構

トランスミッション の入力軸を回転させるためのもので、直流電動機を用いている。 また、入力 トルク の計測と制御には電動機の電流値を測定し、電動機の損失を差し引いて トルク を算出する《MATOC》方式を用いている。

(3) 動力吸収機構

トランスミッション に負荷を与えるために、フライホイール と直流発電機を用いている。そのほかに、オートマチックトランスミッション 試験装置では、 ミッション への オイル 供給機構、マニュアルレバー 及び スロットル の操作機構、負圧発生装置などがあり、また マニュアルミッション では、チェンジ 操作時に駆動系と ミッション を切り離す クラッチ 機構がある。FF ミッション の場合は、 デフ 軸の差動をなくすために両出力軸を機械的に連結している。図 6・は外観を示す。

3.2.2 多機種への対応

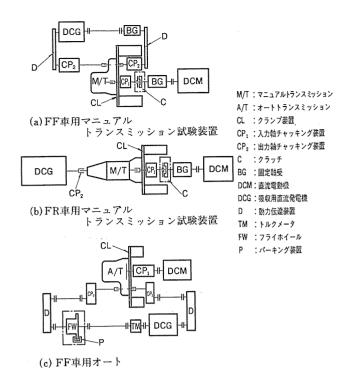
一般に生産 ライフ では、形状、仕様の異なる幾つかの機種の ワークの 混流生産が行われており、 同一試験装置で多機種の ワーク に対応する必要がある。当社では下記のような考慮を払っている。

(1) クラッチハウジング 形状の バリエーション への対応

位置決めピッ及びクランプァームの段取り替えにて対処する。

(2) 出力軸位置の バリエーション への対応

入力軸と出力軸の位置関係の バリエーション に対応するため, スタンド 側の出力軸を上下, 水平の 2 方向に移動可能な構造にしている。



DCG HTMHCP2 = A/T CP1 H DCM

トランスミッション試験装置

(d) FR車用オートトランスミッション試験装置

図 5. トランスミッション 試験装置構成

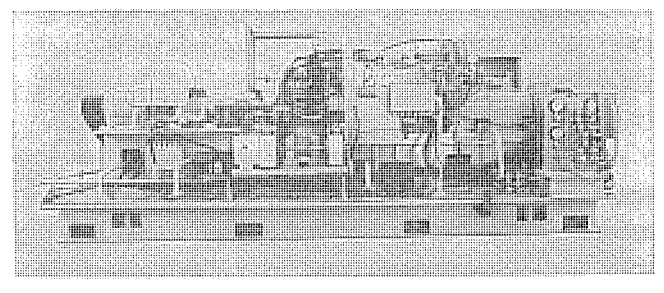


図 6. FF オートトランスミッション 試験装置の外観

(3) 出力軸 スプライン 形状の バリエーション への対応

片側を ワーク 出力軸 スプライン 仕様に合わせ、他方を テストスタンド の出 力軸仕様に合った ダミーシャフト を用いることにより対処する。

そのほかに、油圧測定機構やマニュアルレバー、スロットル操作機構など も可能な限り移動できる構造にしている。

4. 試験方法

組立完成品の全数試験を目的としており、機能及び誤組立の チェックを行う。エンジンと トランスミッション では、 機能及び構造が異なるため 当然試験方法も異なる。

4.1 エンジン試験方法

エンジン 試験 ライン での試験は、集中処理方式、分散処理方式 ライン とも試験項目 どとに試験が実行される。試験項目は、リーク 試験、コールド 試験、ホット 試験に分類される。

リーク 試験は クランクケース (以下, C. C と称す) と ウォータジャケット(以下, W. J と称す) のそれぞれについて漏れの程度を調べる試験で

あり、それぞれ加圧式と負圧式、それ に加圧と負圧を組み合わせた組合せ式 がある。エンジン 生産工場においては, 工場 Iア の入手が容易な場合が多く、 これを加圧源とした場合は装置が簡単 になり、加圧式の場合は概して装置が 小形となる特長がある。一方負圧式は エンジン 試験 ライン 単独で負圧源を 持た ねばならぬなど装置が複雑となり、小 形化しにくいことは否めない。エンジン の試験段階では、配管用の穴をふさぐ ための盲栓をする必要があり, 加圧式 の場合は加圧力により盲栓が飛散する ことへの対策が必要となるが, 負圧式 の場合は考慮の必要がないなど安全面 での特長をもっている。当社では、安 全面を重視し負圧方式を採用している。

コールド試験は、エンジン性能確認のた

めの基本機能の チェック 及び部品誤組, 調整状態の チェック を行うもので, アイドリング回転以下の低速の クランキング 運転による各種の計測を主体としている。 との計測は,例えば吸排気系の機能特性をみるための インテークマニホールド 圧力の脈動状態の測定, 又は クランキングトルク の脈動測定など トランジェント な計測 データ を必要とするために, センサを含めた計測系の周波数応答を考慮して低速回転で運転されるものである。 なお, メーンムービングパーツの組立状態の チェック のための振動の計測及び油圧系の チェック のために, アイドリング 回転以上の中速運転も行っている。

ホット 試験は、 エンジン の始動性試験と ファイアリング 状態の試験がある。始動性試験は エンジン の始動時間により良否を判定するものであり、ファイアリング 状態の試験は排 ガスデバイス の機能、 エンジン 出力の過少、 排気 ガス 成分の過大及び加減速 フィーリング を試験するものである。代表的な試験項目を表 3. に示す。

4.2 トランスミッション試験方法

トランスミッション の試験は、 あらかじめ決められた加減速 パターン に従って変速状態を チェック するが、オートマチックトランスミッション と マニュマルトランスミッション では試験項目が異なる。試験 パターン の一例を図 7. に

表 3. 代表的な試験項目

	エンジン	オートマチックト ランスミッション	マニュアルトラン スミッション
機能試験	 始勤時間 点火時期 排気ガス 出 力 消費燃料 加減速フィーリング 	 ・Dレンジ変速 ・2レンジ変送 (エンジンブレーキ) ・Lレンジ変速 ・R, N回転 ・ストールトルクテスト 	・シフトチェンジフ ィーリング ・N, R 回転 ・ギヤ比チェック
機 棚 試 験	・ディストリビュー タ調整	・パーキングトルク ・マニュアルレバー シフトトルク ・ニュートラルスイ ッチチェック	・バックランプスイッチチェック
組立不良試験	・リークテスト ・振 呦 ・フリクショントル ク	・ギヤ比 ・ノイズ	・ギャ比 ・ノイズ

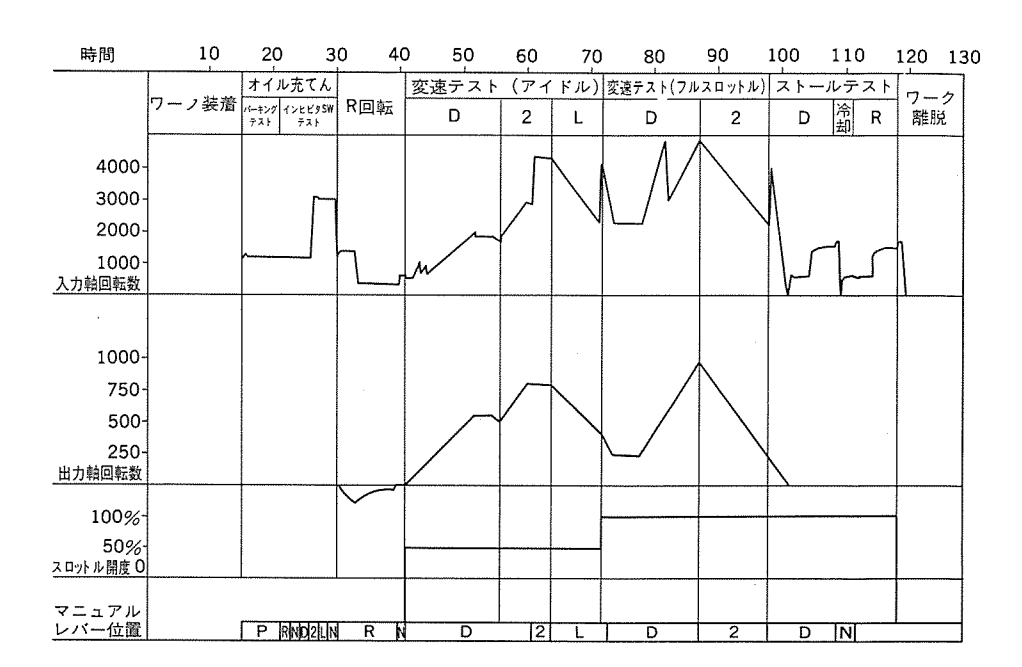


図 7. 試験 パターン (オートマチックトランスミッション の場合)

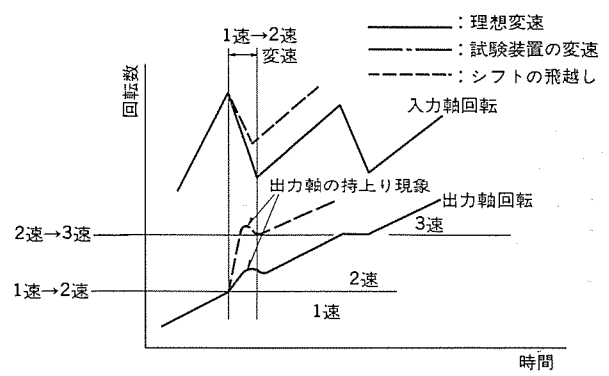


図 8. 変速 パターン の一例

示す。また、代表的な試験項目を表 3. に示す。

オートマチックトランスミッションの主な試験は、変速ポイントのチェックであり、車両搭載と同じ条件で試験するのが最適である。特に、入出力軸系の慣性量は入力軸がエシジン相当、出力軸が車両相当にするのが望ましい。入力軸慣性量が大きいと変速時間が実車より長くなり、また図 8. に示すように出力軸慣性量が小さすぎるとシフトの飛び越し、例えば1速→2速に変速すべきところが変速時の出力軸回転が持ち上げられ、1速→2速→3速まで一度に変速してしまうことがある。これらの現象を防ぐために、入力軸慣性量は低慣性直流電動機を採用することにより、エンジン相当の値(当社実績 $GD^2=0.2$ kgm²)に設計している。また、出力軸慣性量は試験装置側からみれば小さい方がよく、シフトの飛び越しが起こらない最低限の値になるように設計している。試験装置として最適な慣性量はエネルギー保存の法則を用いて次式かり算出する方法を用いている。

$$\varDelta N_2 \!=\! \left\{\! \left(\frac{J_1 \!\times (K_t)^2 \!+\! J_2}{J_1 \!\times (K_{t+1})^2 \!\times\! J_2} \right)^{\!\frac{1}{2}} \!-\! 1 \right\} \! N_{20}$$

 ΔN_2 : 出力軸速度変動 (rpm) J_1 : 入力側慣性量 (kgms²)

 J_2 : 出力側慣性量($kgms^2$)

 K_i : 変速前 ギャ 比 K_{i+1} : 変速後 ギャ 比

 N_{20} :変速前出力軸回転数 (rpm)

マニュアルトランスミッション の試験は、 変速時の シフトフィーリング、ギャ 比及び ノイズチェック である。ギャ に適当な負荷を与えることにより、実車状態に近い条件で試験を行っている。 また、シフトフィーリングチェック も実車に近いようにするため、 入力軸系の慣性量を実車の クラッチディスク と同じ値(当社実績GD²=0.0094 kgm²)にしている。

以上のように試験装置を可能な限り、実車の条件に近づけた試験 方法で試験を行う。

5. 計 測 方 法

品質の評価をする場合、 計測 データをもとに良否判定を行うが、試験項目には、 計測 データ 自体が試験項目である直接計測方式と、試験項目が不良の場合に変化するある量を計測し評価材料にする間接計測方式がある。 エンジン 及び トランスミッション の代表的な計測項目について表 4. に示す。 これらの計測 データ と評価項目の関係は、基礎実験により裏付けをとる必要がある。また、このような組立完成品の場合、種々の不良が重なり合って計測項目にあらわれることが多く、必ずしも一つの試験項目に対し一つの計測 データで対応するのでなく、複数の データ により総合的に判定する必要がある。 当社では、コンピュータを用い「組合せ判定」と呼ばれるマトリクステーブルによる総合判定を行うことにより、ラインの品質管理の目的に沿った、より現実的な判定を行うことができる。

次に、品質の評価が目的でなく試験条件をつくりだすために、試験装置を コントロール するのに必要な計測項目もある。 例えば、オートマチックトランスミッション の場合、 ミッション の変速開始点の計測は入力駆動電動機の コントロール(エンジンの動きを模擬する)に必要である。 また、変速時間計測にも必要な データ である。 変速開始点の計測は、入力軸回転変化率,入出力回転比、入出力トルク 比を計測する方法がある。 当社の実績では、入力軸回転変化率を計測する方法が最も精度の良い計測方法である。

6. データ処理方法

試験 ラインにおいては、複数台の試験装置にて計測された データは ワーク 番号情報とともに データ 処理装置に入力される。 データ 処理装置は、 これらの入力された情報に対し試験装置ごとに リアルタイム 処理を行う。処理内容は、大別して 2 種類に分類される。

一つは複数台の試験装置から並列に入力された情報に対し、試験装置,ワーク型式、試験項目ごとに要求されたリミット値との比較を行い、計測項目ごとに良否の判定を行い、その判定結果を試験装置側へ知らせるものであり、他は試験完了ごとにワーク別のファイルを作成して記憶しておくものである。

このほかに、バッチ 処理として ワーク ごとの テストレポート や不良 ワーク の修理指示書、あるいは ワーク 型式ごと、 試験装置ごと、計測項目ごとの ヒストグラム を出力することができ、 ワーク の品質管理、生産管理が容易である。

エンジン 及び トランスミッション の試験 ライン での データ 処理装置としては、 ミニコンクラス の コンピュータ を試験 ライン ごとに設置するのがよい。 データ 処理装置の一例としての系統図を図 9. に示す。

表 4. 代表的な計測項目,計測内容及び計測目的

	20	1 (22/11) 0 11	[Day E] 11 Day 3 12	- HIPSELIS
	アイテム	計測項目	計測内容	計測目的
	1	回転数	駆動電動機の回転数	エンジンの回転数の監視
	2	電 流	〃 の電機子電流	エンジンロストルクの算 定
	3	吸入压力	吸気マニホールド内の圧 カ	吸入空気量の算定
I	4	油 圧	潤滑油の圧力	潤滑系統の異常の監視
	5	油 量	ν の流量	u .
×	6	油温	≠ の油温	エンジン出力の補正
	7	水温	〃 の水温	,
Ÿ	8	吸 気 温 度	吸入空気の温度	"
ν	9	大 気 温 度	大気の温度	,
	10	燃料温度	燃料の温度	V
斌	11	燃料流量	燃料の消費量	燃料消費率の算定
,	12	スモーク値	排気ガス中のスモーク量	排気ガスの監視
験	13	С. С リーク 量	C. Cの漏れ量	C. C の密閉度の算定
	14	W. Jリーク量	W. Jの漏れ量	W
	15	点火時間	点火時期	点火時期調整の良否の判 定
	16	始 励 時 間	始励するまでの時間	始動性の良否の判定
トランンスミッション試験	1	回 転 数	電動機の回転数	変速回転数,ギャ比の判 定
	2	電 流	ν の電機子電流	ミッション入力トルクの 計測
	3	ライン圧	ライン回路内の圧力	メインコントローラの良 否, ポンプの良否
	4	ガバナ圧	ガバナ回路内の圧力	デフ軸速度回路の判定
	5	パーキングトルク	出力軸にかかるトルク	バーキング機構の良否判 定
	6	変 速 時 間	変速開始~終了までの時間	変速の良否判定
	7	出力軸トルク	出力軸の変速時ピークト ルク	変速ショックの判定
	8	マニュアルレバー トルク	マニュアルレバーの操作 力	操作力の良否判定

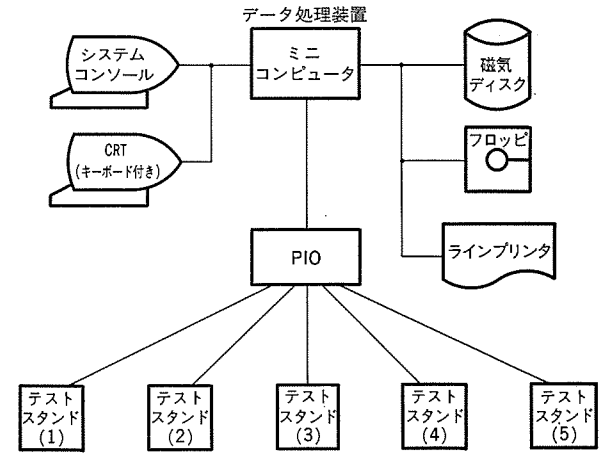


図 9. データ処理装置系統図の一例

7. む す び

以上のように、多機種の ワーク に対応可能な フレキシビリティ をもたせることにより、多機種混流生産 ライン 及び将来の機種増加にも十分対応することができ、コンピュータ による プログラム 運転、計測及び判定を行うことにより、良否判定上問題であった各試験 システム 間の機差を極力少なくすることができた。

これらにより、従来の研究試験や抜取試験で行われてきた試験内容を大幅に盛り込み、研究試験並みのきめ細かな品質管理を行う試験 システム を、生産 ライン に導入することが可能になった。

最近の自動車試験用シャーシダイナモメータ

武田 脩*・杉本昭憲*・足立省一*・矢尾秀雄**・木下市之**

1. まえがき

シャーシダイナモメータは、自動車の完成品としての様々な性能を テストするための設備であり、実際の路上での走行を行うことなく試験室内において、これを模擬するものである。路上での走行 テストでは、種々の条件で、例えば風速・風向・気温・湿度・路面状態などの外的条件、あるいは ドライバー の運転操作の再現性、などの変化要素が大きく、加えて移動する車両に搭載可能な計測機器の精度上の問題などもあり、再現性のある高精度の テストは不可能である。これに対し、シャーシダイナモメータでは、テスト条件の安定性・計測機器の精度の良さなどの有利性が強調されている。近年、排ガス・燃費・車両騒音など、技術開発競争の激化の情勢下で、車両の加減速状態が性能を決定する重要な要素となっており、過渡状態での車両負荷の測定精度もシャーシダイナモメータに求められてきた。

当社では、上記の ニーズ に対し過渡時の負荷動力を、 より高精度 に計測する システム を検討した結果、ロス 変動を起こす 増速 ギャ と機 械的慣性模擬装置を取り除き、高速応答の動力計測装置《MATOC》、及び電気的慣性模擬装置 (EFW) を備えた高精度の シャーシダイナモメータシステム を完成した。 当社ではこの システム を ギャレスシャーシダイナモメータ (GLC) と呼称し、 標準化して多くの ユーザー に納めてきた。ここに従来形 シャーシダイナモメータ と比較しながら、その技術的特長について述べる。

2. 代表的な従来形シャーシダイナモメータの構成

シャーシダイナモメータ はその用途により様々な形式があるが、 加減速運転を シミュレート する設備についての代表的な形式としては 図 1. に示すものがある。

ことで ドラム 装置はこの上に車両の駆動輪を乗せ、駆動力を後の フライホィール 装置、直流電気動力計の負荷装置へ伝達するためのもので、駆動輪の タイヤ の変形を極力実走行路面(平担路)での状態に近づけるために、直径1m以上の大径のものが通常選定されている。また増速機は、ここでは傘歯車を用いて伝動軸を直交させているが、これは全体の機器配置 スヘース を有効に(すなわち車両の長手方向に

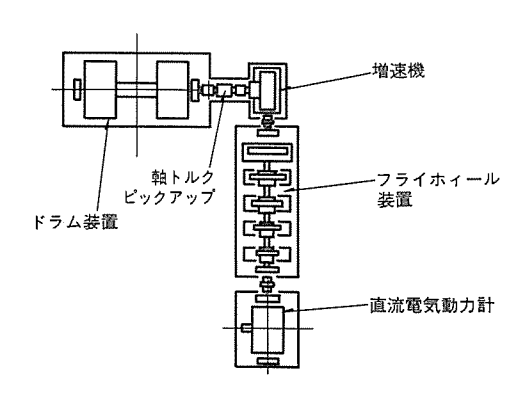


図 1. シャーシダイナモメータ の構成

表 1. シャーシダイナモ機器の諸元

	機	器	話 元	備 考
1	ドラム	装 置	外径 1,061φ,幅 600 mm (周長 3.33 m)	
2	軸トルクピ	ックアップ	ひずみゲージ式 Max トルク 500 kg·m	最大車重の車両に対し 0.4gの加速トルクを カバーする
3	坳 速	機	スパイラルベベルギヤ 増速比 1:2	強制給油方式油温制御 付き
4	フライホィ	イール装置	80 0 /400/200/100/50 kg 用 各円板	各々がクラッチで軸と 接続, 切離し可能
5	直流電気	助力計	110 kW 1,000/2,000 rpm	

配置するため)利用するために使用しているもので、機能的には増速して、後の フライホイール 装置及び直流電気動力計の マシンサイズ を小さくすることが目的である。フライホイール 装置は車両に対して慣性抵抗負荷を与えるためのもので、種々の大きさの車両を テスト することから、通常、数枚の円板から構成され、その組合せを適当に選ぶことによりこれに対応させている。直流電気動力計は車両の走行抵抗負荷を与えるためのもので、通常、車両の連続最大出力を吸収するに十分な容量となっている。

図 1. における構成機器の諸元を表 1. に示す。この シャーシダイナモ の例では国産の四輪乗用車 1,000~2,000 cc クラス の通常の テスト を行うことができる。

3. シャーシダイナモメータにおける誤差

いうまでもなく シャーシダイナモメータ は車両の駆動力を正しく吸収する ためのものであり、ここで述べる誤差とは、真の駆動力と、 ダイナモメータ が計測することのできる吸収動力 (又は駆動力) との間の差異である。前述の代表的 シャーシダイナモ の例によって、誤差要因の主な事項を考えてみる。

3.1 機械系の損失

シャーシダイナモメータにおける負荷吸収系の機器はすべて回転機であり、それらのいずれもが軸受の損失、及び回転体の風損を自己内部損失としてもっている。そして上記損失は、回転速度、内部温度及び負荷の大小などにより変動する性質をもっている。この機械損失は、図 1. の例では トラム 装置の損失を除き軸 トルクピックアップで計測することが可能である。しかし、この軸 トルクピックアップは車両の最大出力時の トルク にも耐えるような大きな容量のものであり、機械損失を十分な精度で計測することはできない。

図 2., 図 3., 図 4. はそれぞれ 「・う」、装置、増速機、 フライホイール 装置の無負荷時の損失である (いずれも図 1. の例に相当するもの)。図 5. は、 これらの無負荷時の機械損失の総和を示す。 なお、フライホイール 装置は 「・う」、軸に対して 2 倍に増速されており、図 4. は 「・う」 軸に換算した損失を示す。 また、 フライホイール 装置は 5 枚の可動

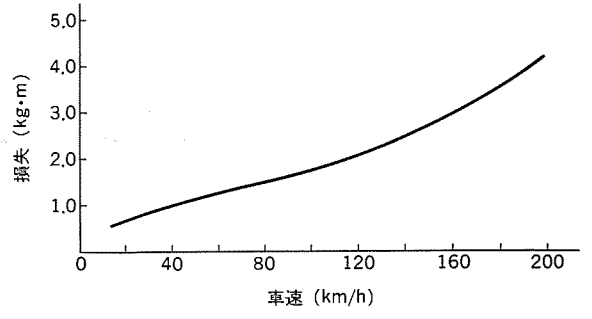


図 2. ドラム 装置の無負荷損失

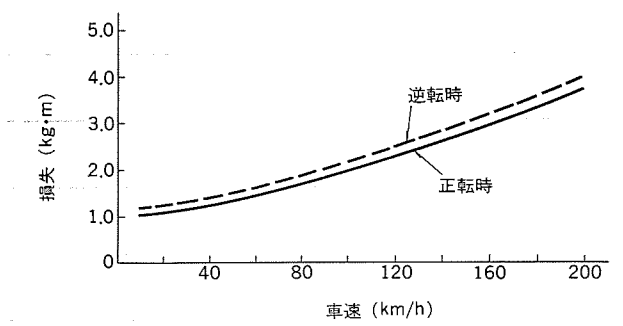


図 3. 増速機の無負荷損失

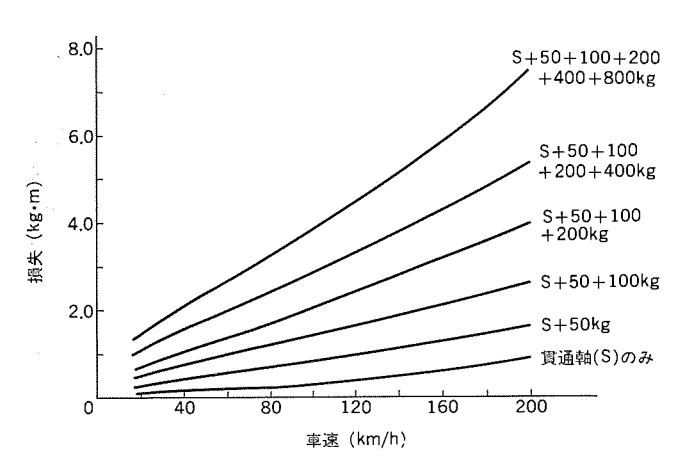


図 4. フライホイール 装置の無負荷損失

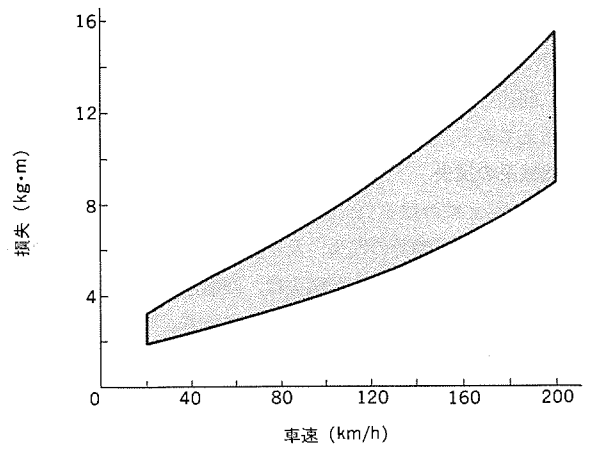


図 5. 機械系の無負荷損失 (ドラム 軸換算の 全機械損失の総和)

円板と貫通軸から構成されており、 これらの組合せにより図 4. のように損失が異なる。

図 5. に示す機械損失の総和は、 通常、直流電気動力計の計測ト

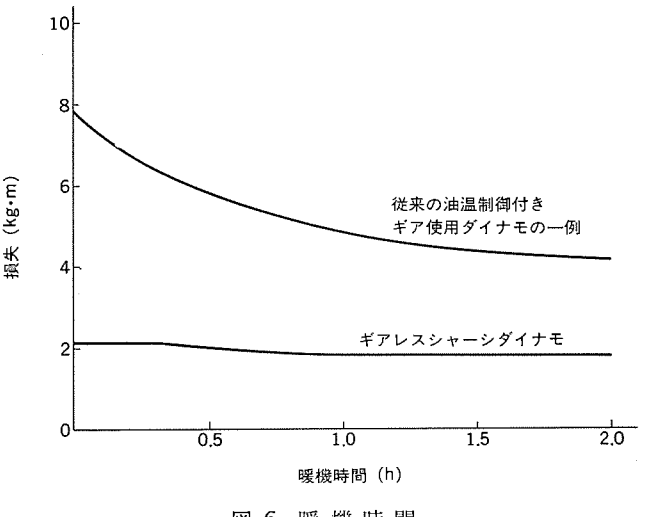


図 6. 暖機時間

ルク に機械損失補正として加算して表示されるようにしており、 定常走行時における負荷 トルクとして動力計の吸収 トルクとの合算値を表示するのが一般である。 ここでわかるように、 フライホイール 装置の損失は、 可動円板の組合せによって異なっており、 厳密には機械損失補正は フライホイール を セット した後に行わなければならない。

以上は機械系の無負荷時の損失であるが、その値は、例えば 2,000 cc 25ス の乗用車の走行抵抗 (こう配のない平担路走行) と比較してみると、 代速域においては走行抵抗の約 25~30% 程度、 高速域においては 10~15% 程度となっている。 したがってこれを無視することはできず、前述のように直流電気動力計で付加する走行抵抗に、この機械損失を加算して、表示、計測されなければ、この損失は大きな誤差要因となる。

なお、上記無負荷時の損失は、暖機後の安定状態での測定値であり、十分な暖機がなされていない状態では大幅に異なることが多い。 3.2 機械損失の安定と暖機

機械損失は、一定の運転条件(回転速度及び負荷)であっても周囲条件が変れば変動する。とのために周囲条件の安定化が必要であり、通常暖機運転によりこれを行っている。これは主として軸受の温度(厳密には潤滑油の粘度)を安定させることが目的である。また、増速機においては歯面を潤滑する油の粘度を安定させることである。図1.のシャーシダイナモの例における暖機運転中の時間経過と、系の損失トルクの変化を図6.に示す。これはシャーシダイナモには車両を搭載せず、直流電気動力計により一定速度にて全装置を空転し、動力計の駆動トルクを計測したもので、トルクはドラム軸に換算して示している。この例では、運転開始から損失トルクが安定するまでの1時間は約1時間であり、その間損失トルクは約50%に減少している。

我が国における自動車排出 ガス 試験法では、シャーシダイナモ の と を 義務づけており、 その条件は 40 km/h で 15 分間と定められているが、シャーシダイナモ の 構成によっても 様々であり、 上記例でも明らかなように、 損失の安定という観点、 すなわち車両負荷に対する 精度からみれば、 軸受個数の多い フライホイール 装置、 並びに 潤滑油をかくはんするために 損失 トルクを発生する 増速機の 影響は無視できない。

4. ギヤレスシャーシダイナモメータの特長

我々は、 前述の従来形 シャーシダイナモメータシステム の問題点を無くし、

精度の良い シャーシダイナモメータシステム を実現させるために「ギヤレスシャーシダイナモメータ」を提案しているので、ことにその概要を述べる。

トルク計測精度低下の主要因である機械系の損失を最小限 に す る ために、 機械的慣性模擬装置及び増速機を用いず、 ドラム 装置と直流電気動力計 を 一軸で直結し、 慣性負荷は直流電気動力計の トルク制御(電気慣性)により行うものとした (図 7.)。ギャレスシャーシダイナモメータシステム は、従来形に比べて、 それらの持っている前述の欠点を クリァ しているばかりでなく、次にあげる メリット を合わせて持っている。

- (1) シャーシダイナモメータ 機械部分の専有 スペース が、従来形に比べて 1/2 以下(当社比)に減少し、 これに伴い設置工事費の低減が図れる。
- (2) 従来形では、増速機及び機械的慣性模擬装置の騒音が大きく、

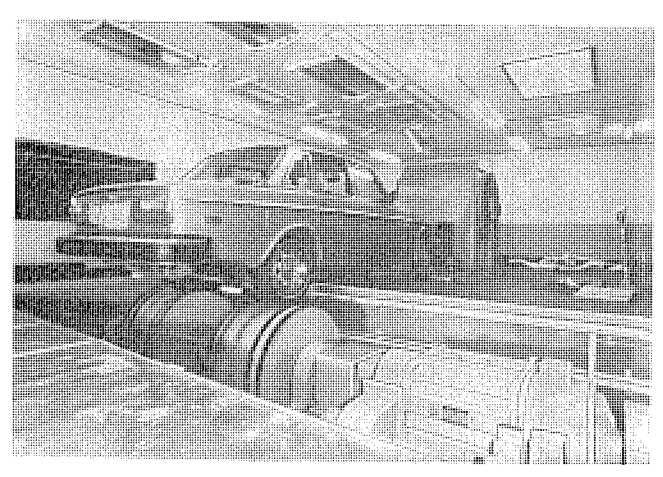


図 7. ギヤレスシャーシダイナモ

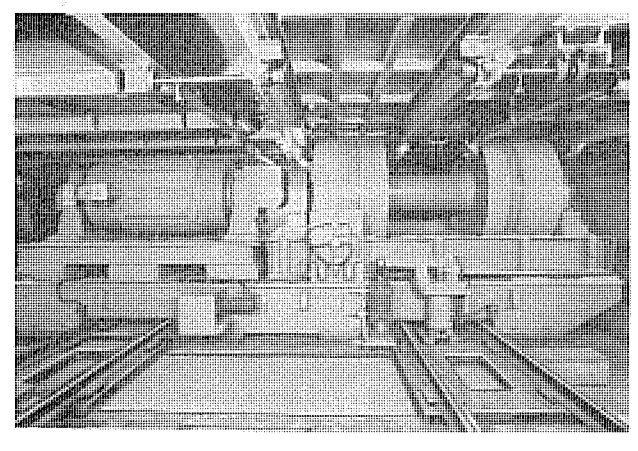


図 8. 移動台車付き ギャレスシャーシダイナモ

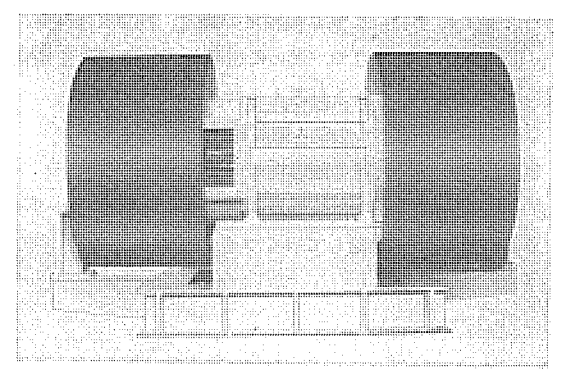


図 9. 無揺動式 ギャレスシャーシダイナモ

例えば騒音試験用 シャーシダイナモ などにおいては特別の防音処理が必要であったが、 増速機及び機械的慣性模擬装置を用いない ギャレスシャーシダイナモメータ ではその必要性が無いくらい低騒音となっている。 ドラム 径 ϕ 1,061 mm、 車速 40 km/h において、ドラム 中心上 1 m のポイントで 60 dB(A) となっている。

- (3) 電気慣性の採用により、慣性量の設定がほぼ無段階に行うことができる。
- (4) 機械部分が コンパクトとなったことにより、装置全体を移動台車に乗せることができ、F/F車とF/R車の試験に対応するために、車両の位置を変えずに装置全体を移動させることが可能となった。被試験車両の前後の位置が常にほぼ一定となるので、エンジン 冷却用ブロワを移動する必要もなくなり、試験場 スペースの減少が図れる(図 8.)。
- (5) 増速機及び フライホイール 装置を使用しないため、メカニカルロス が短時間で安定し、 曖機後の メカニカルロス は従来形の 1/3 以下、メカニカルロス 変動は 1/30 程度となっている。 これにより試験時間の短縮が図られ、より高精度な試験が可能となっている(図 6.)。

ずヤレスシャーシダイナモの一例として、当社のトルクセンシングシステムである《MATOC》を用い、無揺動形直流電気動力計を用い動力計の両軸端に トラム 装置を オーバハング して取り付けることにより、更に コンパクト に製作した例もある(図 9.)。

5. 高性能トルクセンサ

トルクセンサ としては、揺動部に直結した ロードセルにより検出する方式と演算式の《MATOC》方式があり、その精度比較を表 2., 図 10. に示す。 ギャレスシャーシダイナモ に採用している方式は、 両者の特長のみを生かしたものでロードセルによる定常 トルク 高精度機能と 《MATOC》による高速応トルク検出機能とを ハイブリッド化し、高速度で高速応制御が可能な トルク 信号とすることにより性能試験用 シミュレート 運転を目的としている。図 11. に ハイブリッドトルクセンサ の構成を示す。

この方式は □-- ドセル により検出 した トルク 信号に □-パスフィルタ, 《MATOC》により検出した トルク 信号に ハイパスフィルタ を設け, 図 12. に示すように 2 個の信号を加算し, 過渡域は《MATOC》信号を, 定常域は □-- ドセル 信号を使用することにより過渡時から定常時

表 2. トルクセンサ の精度比較

			ロードセル	MATOC		
計 測	稍	度	0.5% FS	1.0% FS		
応		答	0.5 秒	0.05 秒		

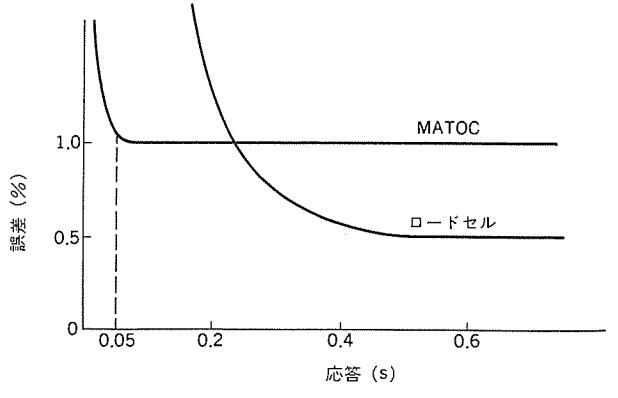


図 10. トルクセンサ の精度比較

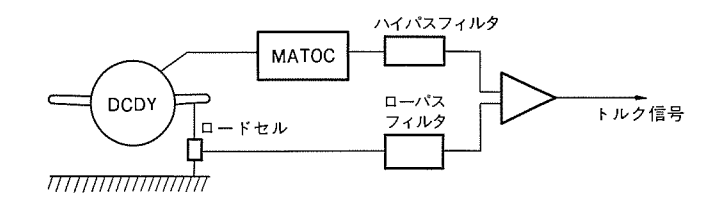


図 11. ハイブリットトルクセンサ の構成

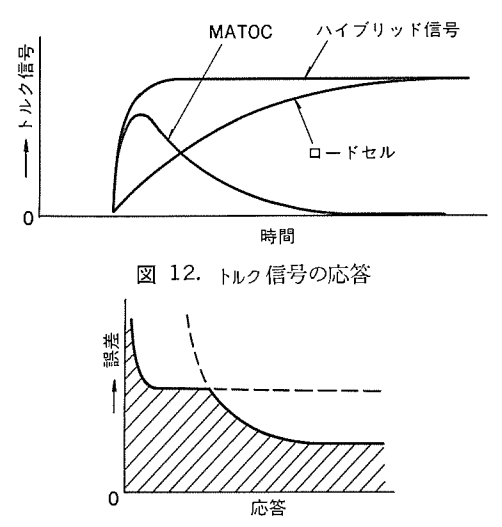


図 13. ハイブリッドトルクセンサ の性能

まで高精度に検出できるようにしたものである。 図 13. にこの方式の性能を示す。 またこの センサ を用いると過渡時の走行抵抗制御精度も向上する。

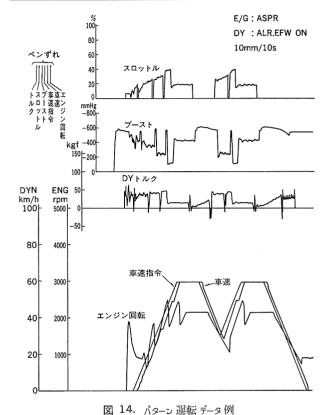
6. 電気慣性装置

電気慣性装置は、 車両の重量模擬を メカニカルフライホイール に代り 直流電気動力計の トルク 制御により行うもので、 我々の電気慣性装置は 5 章で述べた ハイブリッド 形高性能 トルクセンサ を使用することにより、次のような特長がある。 メカニカルフライホイール との性能比較を表 3. に示す。

- (1) 慣性模擬でトルクの計測とともに重要な要素の加速度検出は、2個の車速 セッサを機械的に180度の位相差で取り付け、互いの含有リップルを相殺することにより、応答を下げずにリップル率の低い車速信号を得ることができ、加速度計測精度の向上と制御系の安定を図っている。
- (2) 重量設定は、車重値をそのまま ディジスイッチ で最小 $1 \lg$ ピッチ で設定できる。 直流電気動力計及び ドラム 装置の固定慣性分は装置 内部で演算し必要な電気慣性 $1 \lg$ を発生する。また設定を ディジスイッチ 以外の $1 \lg$ 設定により指令することも可能であり、 $1 \lg$ WD 車での駆動輪変更に伴う車重分担変更が容易に行える。
- (3) 車重設定を直流電気動力計及び F54 装置の 固定慣性量相当の車重値以下に下げることにより、固定慣性を見かけ上、下げて(マイナス 電気慣性) 模擬することができ、車重模擬範囲を拡大できる。この模擬は表 3. に示すように、固定慣性の 70% にまで可能である。

表 3. 重量模擬の性能比較

				電気質性	メカニカルフライホイール
模	擬	精	度	設定値の 1.5% 応答時間 0.1 秒	誤差0% 応答遅れなし
設	定	方	法	連続的設定 (最小ピッチ l kg)	段階的設定
模	擬	櫛	Ш	制限有り 固定徴性×(0.7~5)	制限無し
模拍	獎 加 i	恵度に	節四	制限有り 動力計定格トルクによる	制限無し (軸の機核強度設計による)



(4) 高性能 トルクセンサ と上記加速度信号の採用により、 高精度な重量模擬が可能となり、その運転 データ 例を図 14. に示す。制御 モードは エンジン 車速制御、動力計走行抵抗制御で電気慣性による車重設定 1,130 kg(固定慣性 700 kg)時のパターン運動の一部分である。

7. む す ひ

以上、完成車の台上試験に種々の特長をもった ギャレスシャーシダイナモメータ について述べた。 当時はこの システム を他社に先がけ昭和 53 年から提唱し、昭和 54 年から製品化し、今日まで 60 台近くの納入実績がある。多くの ユーザー に対し高精度の測定、容易な操作性、及びコンパクト な試験 スペース の点で、大いに貢献していることを確信している。今後の課題として以下が考えられる。

- (1) 《MATOC》 トルクセンサ の高精度化
- (2) 電気的慣性模擬装置の速応性の向上

以上の課題の解決に向け、技術の蓄積に努めており、ユーザーに対し、より良い システムを供給していくつもりである。

熱間圧延用大形直流電動機の絶縁劣化診断

登古大敬*・藤原健三**・橋本 修**・中田了一**・高月 一***

1. まえがき

直流電動機は鉄鋼圧延プラント設備の中では重要な役割を担っており、特に熱間圧延用大形直流電動機の事故発生による経済的損失は大きい。このような事故を未然に防止するには、過去の故障事例などから予想される各種故障要因に対して、適切な点検と保守の実践が必要であることは言うまでもない。その中でも特に絶縁の健全性を評価・維持することが重要な課題であることは過去の経験からも明らかであり、絶縁劣化診断法の確立は、絶縁補修や絶縁更新の時期を決定する上で重要な意義をもっている。

熱間圧延用大形直流電動機の絶縁劣化診断法としては,従来から非破壊電気試験を中心に種々の検討がなされてきている。しかし,低電圧機という特殊性もあって,いまだ低電圧領域の試験 データを基に定性的な評価に頼らざるを得ないのが実状であり,これらに替る定量的な絶縁劣化評価法の確立が望まれていた。

当社では、特に機械的・熱的に過酷な使用条件下にある電機子巻線を対象にした絶縁の基礎試験データの解析を行い、昭和54年には実機の稼働条件及び稼働履歴から定量的に絶縁劣化率を求める推定式を確立して、鉄鋼圧延プラント設備の保全関係各位の要望にこたえてきた。その後、その推定法の信頼性を実証するために3台の熱間圧延用大形直流電動機の絶縁破壊試験を実施し、その試験結果も反映してより一層信頼性の優れた絶縁劣化推定法を確立することができたのでその概要を紹介する。

2. 直流電動機の絶縁劣化要因

一般に回転電機の絶縁劣化要因としては、電気的、熱的、機械的、環境的劣化要因があげられるが、低電圧の直流機では電気的劣化は問題とならない。また、じんあい(塵埃)や油などのたい(堆)積による化学的劣化は洗浄、再 7元 処理などの処置によってある程度の回復が可能であり、絶縁の本質的な性能評価に対しては、この環境的劣化も無視し得るものである。すなわち、直流電動機の絶縁劣化は、熱的、機械的な要因に絞って評価することができる。

2.1 熱劣化

絶縁物が長期間高温下にさらされた場合,絶縁物を構成する合成樹脂の分子間の連鎖が切れ,電気的,機械的性能が低下する。実機で とのような熱劣化を形成する要因は次のとおりである。

- (1) 巻線温度 (2) 稼働累積時間 (熱劣化総量)
- 2.2 ヒートサイクル劣化

巻線の温度上昇によって絶縁には導体との温度差及び熱膨脹差によるせん断ひずみが生じ、その繰返しによって電気性能が低下してゆく。実機ではこのような ヒートサイクル 劣化を形成する要因は次のとおりである。

(1) 巻線温度上昇値 (2) 鉄心長 (熱変形量) (熱変形総量)

(3) 運転・停止の累積回数

2. 3 振動劣化

圧延用大形直流機の電機子は、圧延材か(噛)み込み時過大な衝撃を受ける。電機子巻線の絶縁にはその衝撃振動による曲げひずみが生じ、その繰返しによって電気性能が低下する。実機ではとのような振動劣化を形成する要因は次のとおりである。

- (1) 圧延材嚙み込み時, 電機子鉄心に生じる衝撃力)
- (2) (1)項衝撃力の振動周波数と振動時間 /振動

(振動総量)

(3) 圧延材嚙み込み回数

2. 4 総合劣化

前記の各劣化要因がどのように複合的に作用するかを正確に把握することは困難であるが,各劣化要因による絶縁耐力の低下は各劣化要因ごとに独立し,累積効果による総合劣化率は,各劣化要因ごとの劣化率の単純加算によって求められると考えた。すなわち,総合劣化率 D を次のように表す。

$$D=D_T+D_H+D_V$$
 (%) ······(1)

ここで D_T : 熱劣化率 (%)

D_H: ヒートサイクル 劣化率 (%)
D_V: 振動劣化率 (%)

3. 基礎試験データの解析

絶縁システムの開発にあたっては、前記の熱劣化、ヒートサイクル 劣化、振動劣化を加味した各種評価試験を実施して、その採否が決定されている。したがって、それら基礎試験 データ を解析することによって各劣化要因ごとの劣化特性を把握することができる。

以下, マイカ と耐熱合成樹脂で構成された F 種絶縁 システム について各劣化要因ごとの劣化特性を求めた。

3.1 試験項目と劣化要因

絶縁開発時に実施する試験項目と劣化要因の関係は表 1. に示すとおりで、各試験の概要は次のとおりである。

(1) バーテスト

電機子巻線鉄心部を仮 スロットで模擬した直線上の モデルで、促進加熱劣化により絶縁の耐熱性能を評価するものである。

(2) ヒートサイクルテスト

(3) 機能評価試験

表 1. 試験項目と劣化要因の関係

劣化要因 試験項目	熱 劣 化	ヒートサイク ル 劣 化	振動劣化
バ ー テ ス ト	0		
ヒートサイクルテスト	0	0	
機能評価試験	0	0	0

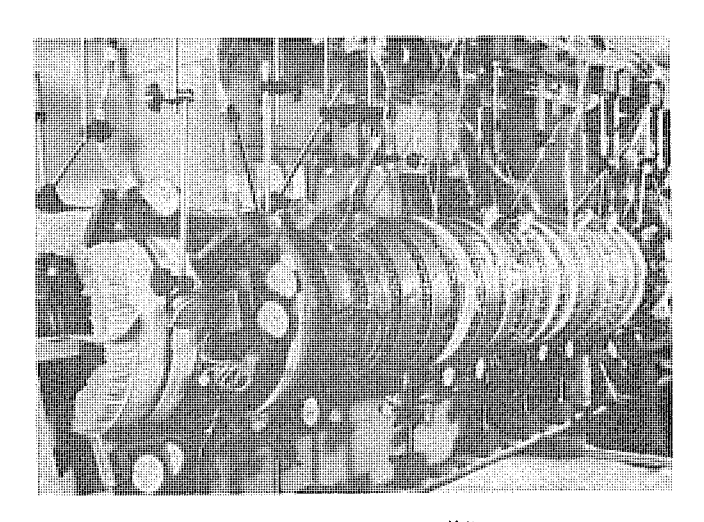


図 1. ヒートサイクルテスト 状況

電磁加振のための半円筒形鉄心を用いた実機相当の電機子巻線 $\epsilon \vec{r}$ ル で通電加熱による $\epsilon \vec{r}$ ートサイクル, $\epsilon \vec{r}$ 1.5 G, $\epsilon \vec{r}$ 60 Hz の連続加振及び AC 750 V 連続印加の劣化条件を与え, 絶縁の信頼性を総合的に評価するものである。

3. 2 熱劣化特性

絶縁の熱劣化は $_{ extstyle r
u = 0.2}$ 則に従うことは広く知られているところであり、熱劣化率 $D_{ extstyle r}$ は次式で表すことができる。

$$D_T = K_T \cdot \exp\left(-\frac{E}{RT}\right) \cdot t = K_T \cdot \exp\left(-\frac{11,000}{T}\right) \cdot t \quad (\%)$$

E: 活性化 エネルギー でF 種絶縁の場合は E~22,000

(cal/mol)

R: ガス 定数で大気中では R~2 (cal/(deg·mol))

T: 巻線温度 (K)

t: 劣化時間 (h)

$$D_T\!=\!3.0\!\times\!10^8\exp\left(-\frac{11,\!000}{T}\right)\!\cdot\!t\quad (\%)\quad\cdots\cdots\cdots\cdots(3)$$

なお,実機の熱劣化率を推定する場合は巻線温度Tは,工場試験時の温度上昇試験 \vec{r} -9 又は稼働時の温度実測値を基に推定することになる。 また, 劣化時間 t は定期点検のための運転休止 \vec{t} -9 ず,運転休止期間及び稼働年数から概略を次式で求めることができる。

3.3 ヒートサイクル劣化特性

繰返し熱応力 に よ る絶縁の ヒートサイクル 劣化は表 2. に示す 2 ケース の ヒートサイクルテスト 結果から、次式で表されることが分かった。

$$D_H = K_H \cdot \Delta T \cdot L_a \cdot \log N \quad (\%) \quad \cdots \quad (5)$$

ととで KH: ヒートサイクル 劣化係数

△T:巻線の温度上昇 (deg)

 L_{α} : 電機子鉄心長 (mm)

N: b-b サイクル 数

式(5)で t-トサイクル 劣化率が t-トサイクル数 N に対して直線的な変

表 2. 基礎試験 データの解析結果

			熱劣	ít.	ヒートサイ		振動 劣 1	(P
目政領活	試験条件	D	劣化륂歴	Dr	ル 劣 劣化履歴	化 DH		Dv
バーテス ト (オープ) ン加熱)	220°C/10 days	14.9	T = 493 K t = 240 h	14.9		Dri	97 11 / Q III.	
i ヒート サイク	170°C/1.5 h ==60°C 加熱, 冷却速度 s=120°C/h ヒートサイクル 数 N=500 電機子鉄心長 L _u =1,520 mm	34.1	T=443 K t=750 h	3.7	ΔT= 110 deg N=500	30.4		
ト	210°C/1.5 h ==60°C 加熱, 冷却速度 s=120°C/h ヒートサイクル 数 N=100 電機子鉄心長 La=1,520 mm	37.1	T=483 K t=150 h	5.8	△T= 150 deg N=100	31.3		
機能評価 試 験	190°C/1.0 h ==60°C 加熱, 冷却選度 s=260°C/h ヒートサイクル 飲 N=1,000 電機子鉄心長 La=215 mm 援動 1.5 G, 60 Hz 連続	47.8	T = 463 K t = 1,000 h	14.4	△T= 130 deg N=1,000	5.7	$G=1.5$ $m=$ 4.32×10^{8}	27.7

化でなく、その増加傾向が鈍ってくるのは絶縁物のせん断ひずみによる摩耗損傷の他の1要因である摩擦力が低下するためと推定される。

この式(5)に表 2. に示す E_- トサイクルテスト 結果の劣化率から熱劣化分を引き去った E_- トサイクル 劣化率を代入すると, E_- トサイクル 劣化係数 $K_H \simeq 6.8 \times 10^{-5}$ が得られ, 結果として熱劣化率 D_H は次式のとおりとなる。

$$N=365 \times \frac{1}{(運転休止 ピッチ)} \times (稼働年数) -----(7)$$

また、圧延鋼種によって負荷が大幅に変動するような場合は、その負荷変動による温度変動とその繰返し回数とを推定して、この負荷変動による ヒートサイクル 劣化率も加味すれば、より一層精度の高い推定値を得ことができる。

3. 4 振動劣化特性

一般に絶縁物の繰返し曲げに対する残存絶縁耐力は, 図 2. に示すように寿命の最終段階付近で急低下することが知られており,振動 劣化率 D_V としては次式で近似することができる $^{(1)}$ 。

$$D_{V} = K_{V} \cdot G \cdot (\log m)^{\alpha} \quad (\%) \quad \cdots \quad (8)$$

ここで K_V :振動劣化係数

a:振動劣化促進係数

G:電機子鉄心の振動加速度

m:振動回数

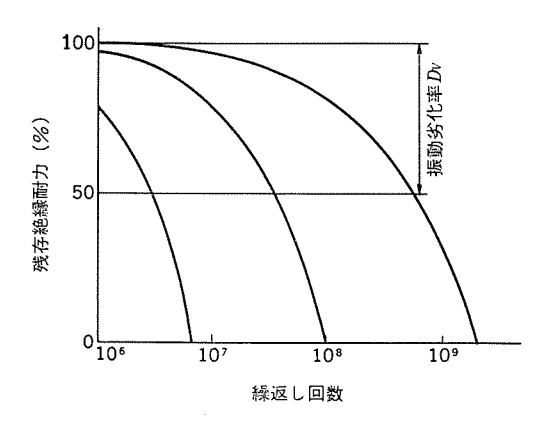


図 2. 振動劣化の傾向

振動劣化促進係数 a は各種振動疲労試験 の 結果, マ1カ と耐熱合成 樹脂で構成された固体複合絶縁では a=12 という結果が得られており, これと表 2. に示す機能評価試験結果の劣化率から熱劣化分及 び E1・サイクル 劣化分を引き去った振動劣化率を式(8)に代入すると 振動劣化係数 $K_V \simeq 1.1 \times 10^{-10}$ が得られ,結果として振動劣化率 D_V は次式のとおりとなる。

$$D_V = 1.1 \times 10^{-10} \cdot G \cdot (\log m)^{12}$$
 (%)(9)

なお,実機の振動劣化率を推定する場合には振動回数mは圧延材嚙み込み回数Mと圧延材嚙み込み時の振動状況から求めることができる。圧延材嚙み込み回数Mは鋼塊重量,鋼塊毎圧延回数,累積総生産量から概略次式で求めることができる。

$$M=(鋼塊毎圧延回数) \times \frac{(累積総生産量)}{(鋼塊重量)}(回) \cdots (10)$$

一方, 圧延材嚙み込み時には過大な振動加速度が生じるがその減衰は著しく, 熱間圧延用大形直流電動機で実測した平均的な振動加速度は 0.27 G で, その 持続 時間は約 0.18 s, 振動周波数は約 800 Hz という結果を得ている。

この振動測定から得られた定数を固定して考えるならば、実機の振動劣化率 D_v は次式で表すことができる。

$$D_V = 0.3 \times 10^{-10} \cdot (\log 140 \cdot M)^{12}$$
 (%)(11)

4. 実機の絶縁破壊試験結果

上述の絶縁劣化推定式の信頼性を評価,確認するために熱間圧延用 大形直流機3台について電機子巻線の絶縁破壊試験を実施した。

4.1 被試験機の仕様

被試験機の電機子巻線の絶縁は、3章の基礎試験と同じF種絶縁 システムで、その主な仕様と稼働年数は表 3. に示すとおりである。

4.2 絶縁破壊試験結果

絶縁破壊試験は,電機子一括とスロット毎分割の 2ステップで実施した。 その結果を初期絶縁破壊試験結果とともに表 3. に,またその絶縁破壊電圧の正規分布図を図 3. に示す。 いずれの分布も正規分布に近く,絶縁劣化の進展とともに絶縁破壊電圧のばらつきが増大してゆくのが顕著である。 C 機は A, B 機に比べて稼働年数が長いにもかかわらず良好な絶縁耐力を維持しているのは,負荷が軽く温度上昇が低いためである。

また、スロット 毎分割後の試験については、汚損状態と清掃手入れ したものとに試料を分けて試験したが、貫通破壊に関しては有意差 はなく塵埃や油などの堆積による環境的劣化は、絶縁の本質的な劣 化には関係のないことが裏付けられた。

表 3. 被試験機の仕様と試験結果

項	月		被	試験機	A	В	С	(初期特性)
		用	途		厚板仕上圧延 (上モータ)	厚板仕上圧延 (下モータ)	アルミ熱間 圧 延	
		出	カ	(kW)	5,000	5,000	2,250	
仕	I.We	電	圧	(V)	750	750	750	
133	様	電	流	(A)	7,400	7,400	3,390	
		回転递	度度	(rpm)	50/100	50/100	30/70	
		稼働年	数	(年)	15	15	17	
雷機二	子卷線		数	2	44	132	8	26
破壞電	置正試	平均3	化等	(%)	41.4	42.4	25.3	0
験結果	科	標準			9.9	11.5	7.5	5.5

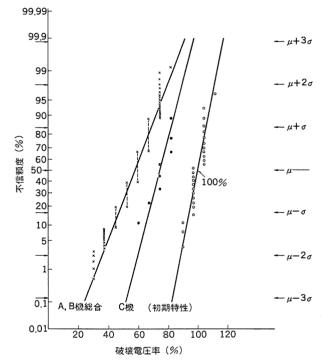


図 3. 電機子巻線の絶縁破壊電圧正規分布図

4.3 絶縁劣化推定式の信頼性

上記被試験機の稼働実績から得られた劣化履歴を、絶縁劣化推定式 (3), (6), (11) に代入して求めた熱劣化率、 $\mathsf{L-}$ トサイクル 劣化率、振動劣化率及び総合劣化率は表 4. に示すとおりで、 その総合劣化率 D は表 3. に示す絶縁破壊試験結果の平均劣化率 X とほぼ一致し、この絶縁劣化推定式は実機の絶縁寿命予知に極めて有効であることが確認できた。

5. 最大劣化率の推定と絶縁寿命

以上に提案した絶縁劣化推定式は,すべて平均値で検討を進めてきたが,実機の稼働限界は更に劣化のばらつきを考慮した最大劣化率によって判定しなければならない。

5.1 絶縁劣化のばらつきと最大劣化率

表 3. に示す絶縁破壊試験結果の平均劣化率 \bar{X} と標準偏差 σn の関係は図 4. に示すとおりで,絶縁劣化のばらつきは劣化の進展とともに確実に増大し,次のような関係式が成り立つものと考える。

$$\sigma n = \sigma_0 + 0.11 \bar{X} = 5.5 + 0.11 \bar{X}$$
 (%)(12)

とこで、 $X \simeq D$ とし、分布の範囲を $D\pm 3\sigma n$ とすると、最大劣化率 D_{MAX} の推定値は次式のとおりとなる。

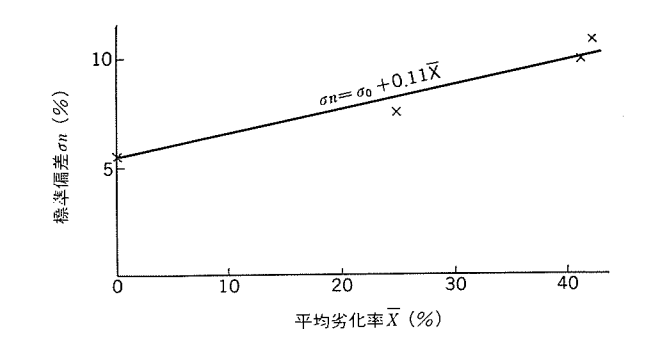


図 4. "σn-X" 特性

表 4. 絶縁劣化推定式で求めた劣化率

被試驗機	A及び	В	С	
労 化 項 目	劣化履歷	劣化率	劣化履歷	劣化率
熱 劣 化 率 Dr (%)	T = 367 (K) t = 88,676 (h)	2.6	T=325(K) t=106,371(h)	0.1
ヒートサイクル 劣 化 率 DH (%)	$\Delta T = 89 (\text{deg})$ $L_a = 1,640 (\text{mm})$ N = 745	28.5	$\Delta T = 44 (\text{deg})$ $L_a = 1,750 (\text{mm})$ N = 1,241	16.2
振 勁 劣 化 率 Dv (%)	$M=2.5\times10^7$	17.1	M=5.3×10 ⁶	7.1
総合劣化率 D (%)		48.2		23.4
最大劣化率 DMAX (%)		80.6		47.6

5.2 安全運転限界と絶縁更新時期

長年月運転されてきた直流電動機の稼働限界は、絶縁耐力が運転電圧あるいは、予想される異常電圧に対して十分余裕があるか否かを判断して決定されるべきものである。直流電動機に関しては、とのような安全運転に必要な絶縁耐力 L^{N} の指標はないが、発電機については諸提案がなされて a り、この内の $(2E+1) \times 0.65 \text{ (kV)}$,AC 1 分値程度を考えるのが適当と思われる (2) 。

絶縁更新の時期をどこにおくかは経済性その他の事情により一様に決めることは困難であるが、熱間圧延用大形直流電動機の圧延 プラント設備における重要性を考えると、絶縁耐力レベルが上記安全運転可能レベルまで低下した時点が、絶縁更新時期の一応の目安になると考える。これは絶縁の最大劣化率で置き換えると約85~90%に相当する。

以上のことから,先に示した絶縁破壊被試験機A,Bは極めて適切な巻替え時期にあったということができる。

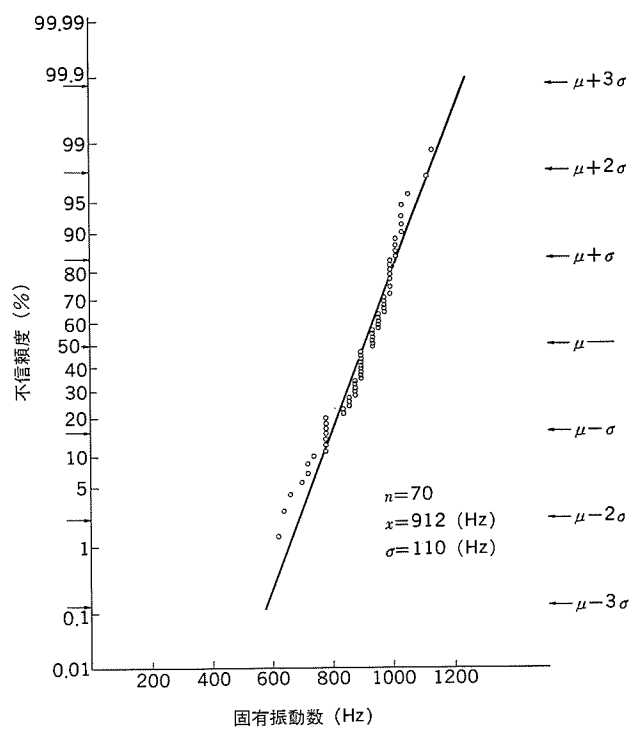


図 5. 電機子巻線の鉄心端部での固有振動数分布

6. む す び

熱間圧延用大形直流電動機の寿命は、電機子巻線の絶縁寿命に支配され、以前からその定量的評価法の確立が望まれていた。とこに提案した絶縁劣化推定法は、 絶縁の基礎試験 データと実機絶縁破壊試験 データ の解析結果から得られた定量的評価法であり、 実用上の精度が高く、類似機の寿命予知に有効な指針となり得ることが分かる。

我々は、現稼働機だけでなく最近の薄葉絶縁材と耐熱合成樹脂で構成されたH種絶縁システムに関しても、同様の手法で劣化特性を把握しており、将来予測されるこれらの寿命予知に対しての対応も可能である。なお、今後の新設機の絶縁劣化管理のあり方としては、電機子巻線の各種初期特性を十分把握しておき、その経年変化を追跡管理してゆくことをこの推定法のバックアップ手段として提案したい。特に従来の非破壊電気試験に加えて電機子巻線の振動挙動を経年的に管理してゆくのも有効な手段であると考える。 図 5. は最近製作した熱間圧延用 6,500 kW 直流電動機の電機子巻線の鉄心端部における固有振動数の分布を示すもので、これが今後、経年的にどのように変化してゆくのか興味深いところである。

最後にとの研究は、昭和54年に新日本製鐵(株)君津製鐵所の厚板 仕上圧延用 2-5,000 kW 直流電動機の絶縁劣化推定を目的に、との 推定法の原形を提案した時から始まり、昭和58年に絶縁破壊試験 を実施してその信頼性を確認したものである。その間、御指導、御 協力をいただいた関係各位に対し、謝意を表する。

参考文献

- (1) 平林, 谷:昭和52年電気四学会連合大会,91
- (2) 上之園, 福田:電研所報, 4, No. 4 (昭 29)

《MELFLEX 330》遠方監視制御装置

金井三男*·西川正治*·井上 正*·寺地信夫**

1. まえがき

遠方監視制御装置(以下,遠制装置という)は,複雑化した電力系統を安定かつ効率的に運用するための神経系として,その重要性をますます高め,電力系統の総合自動化の進展に伴い,装置に対する要求も高度化し,より一層の高信頼性が求められるようになってきた。

一方、半導体部品の技術進歩が目ざましく、特にマイクロプロセッサに代表される LSI 部品の性能、信頼性が近年ますます向上している。当社の遠制装置としてはワイヤードロジックの《MELFLEX 300》、マイクロプロセッサを使用した《MELFLEX 400》があり、それぞれの特長をもって既に数百セットを納入しているが、今回、より一層の高信頼度化、保守性の容易化を目的として、マイクロプロセッサを使用した《MELFLEX 330》を開発、実用化したので紹介する(図 1.)。

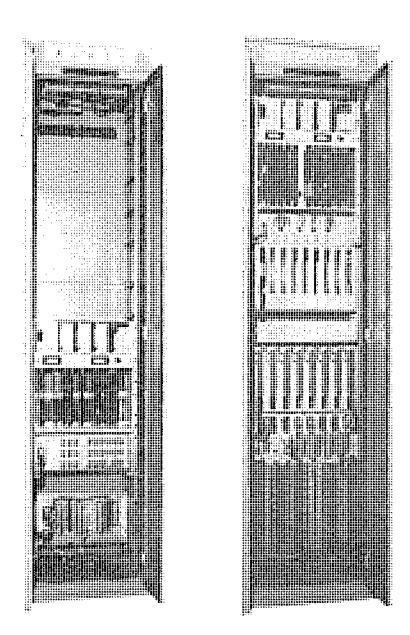


図 1. 《MELFLEX 330》 遠方監視制御装置 (ロゼック 盤)

2. 開発,実用化の目的

開発,実用化を行うに当り,以下のような目的を主眼とした。

(1) 高信頼度化

遠制装置に要求される信頼度を文献・実績などから検討し,実現可能な数値として,MTBF (Mean Time Between Failure) 10年/1対向以上を目標とした。

(2) 保守性の向上

万一障害が発生しても、その発生箇所が早く発見できること、また 復旧作業が円滑に行えること。

(3) 増設・変更性の向上

遠制装置として不可欠である増設・変更の際, 現地での作業を簡易 化し, しかも,変更点の確認が容易に行えること。

(4) 生産性の向上

各工事ごとに発生する個別配線を無くしすべて共通図面で製作でき、 試験の効率を高めること。

(5) その他

従来の ワイヤードロジック の感覚で取扱ができること。 今までの実績ある内部 バスインタフェース を使用し、 各 モジュール の共用化を図ること。

3. 《MELFLEX 300》 の構成

3.1 基本構成

部品点数, 個別配線の減少に有効な マイクロプロセッサ を使用し,工事 ごとに変化する部分は,目で確認できるように スイッチ 設定 モジュール で吸収することとし, 専用 メモリカード や専用 プロセッサカード は設置しない。基本構成図を図 2. に示す。

内部 バス は《MELFLEX 400》の低速 バスとし、互いにモジュールの有効利用を図ることとし、装置を制御する メインプロセッサ に バス 制御機能を持た せる。メインプロセッサ は最も一般的な 8 ビット CPU (8085系)を使用し、同一ボード内に並列直列変換、直列並列変換(PS、SP)機能、バス 制御機能を持たせ、負荷軽減のため、他に専用の サブプロセッサ を設置する。専用 サブプロセッサ は メインプロセッサ と同じ 8 ビット CPU とし、最も負荷率の高い表示情報の処理を専用に行わせる。メモリ は CPU ボード内に実装し、ファームウェア 化することにより、従来の ワイヤードロジック の感覚で取扱できるようにする。メインプロセッサ 及び専用 サブプロセッサ の メモリ 内容は、メインプロセッサ に接続された保守ツール により読出しできることとし、その保守 ツール は回線試験器としても使用できるようにする。

装置の仕様を表 1. のように決定し、上限を設けることにより yフトウェアの不必要な増大を防止し、プログラムを簡素化している。

3.2 構成及び機能

図 3. にこの装置の ブロック 図を示し、以下に構成及び機能の概要を

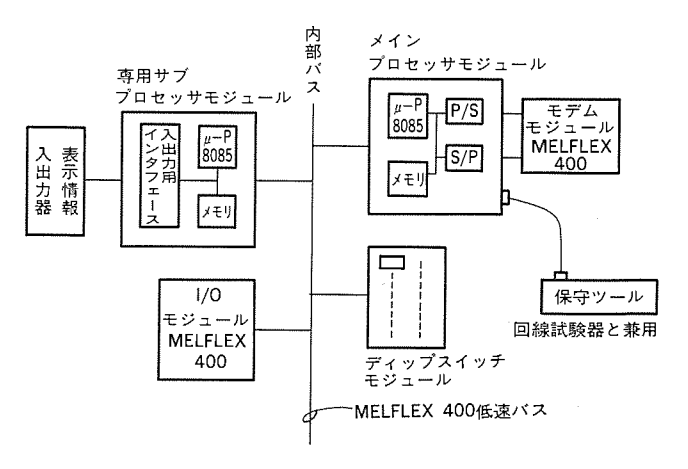


図 2. 《MELFLEX 33C》基本構成図

表 1. 仕 様 一 覧

仕	模	住 梭 内 訳
	供給電源	供給電源(入力): DC 110 (88~144) V, AC 100 V±10% 電圧コンパータ: DC-DC形, AC-DC形
使用条件	周 囲 環 境	温 度:-10~+45°C (一般操作), 0~+40°C (高精度) 湿 度:30~90%
	絶 禄 耐 力	入出力端子—アース間:AC 2,000 V 1分間
容	挺	制 御:90項目 オブション 表 示:120項目 設定値制御 2 最 遠隔測定:4項目(40量の選択計測)
	伝 送 方 式	サイクリック,多重タイムシャリング (時分割)
	符 号 形 式	NRZ 方式・等長符号
	同 期	フレーム同期
符号伝送方法	符 号 検 定	制 御:反転通送+nCrコードチェック+パリティチェック 表 示:反転通送+パリティチェック
	揽 成	64, 44, 40 ビット方式
	通 信 速 度	200, 600, 1,200 b/s
	操作	2動作操作(各項目について,選択+共通マスタコントロール)
制 御	制 御 出 力	無電圧片端共通「a」接点 接点容量:DC 140 V, 5A, 1秒間又は連続(負荷時定数:12 ms)
	表 示 入 力	無電圧片端共通接点 接点容量: DC 110 V, 0.01 A (最小投入時間:50 ms)
表示	表 示 方 法	オープンコレクタ 接点容量:DC 24 V, 0.1 A, 1灯式又は 2 灯式
	麦 示 試 験	・試験操作で反転試験 ・復帰操作で正常運転 ・自動状態変化において正常運転へ自動復帰
伝 送	時 問	選 択:(約) 3秒 制 御:(約) 1秒 表 示:(約) 3秒 (100項目:200BS速度で)
主 構	成 案 子	論 理 回 路:LSI, MSI, SSI 入出力 (I/O) 回路:ホトカプラ及び(又は)小形リレー
***	変調	FS変調
	周波数割当	200 B/S: 800+400(n-1)Hz, n=1~6 600 B/S: 1,200 Hz 1,200 B/S: 1,700 Hz
	周波数偏移	200 B/S: ±100 Hz 600 B/S: ±200 Hz 1,200 B/S: ±400 Hz
	入出力インピーダンス	600Ω±20% (標準)
変 復 調	インタフェース条件	マーク"l": $fL=(f0-\Delta f)$ スペース"0": $fH=(f0+\Delta f)$
	送信出力と受信入力レベル	出 カ:0~-30 dBm 入 カ:0~-30 dBm
	S/N 比 (信号対雑音比)	受信端において:15 dB 又はこれより良好
	合計ひずみ	士15%以内
	多 重 選 択	2 ないしそれ以上の選択スイッチが同時に操作された時,「多重選択」が表示される。 更に警報が鳴り, また伝送データは「すべて"0"」に戻る。
機器異常事態	改 潜	エラーが検出(制御又は表示操作において)され, これが連続して3回又はそれと相当以上繰返されると,「渋滞」 信号が伝送され警報が鳴る。
	伝 送 ラ イン の"断"	レベルが正常値より 10~15 dB 継続して下がると,伝送ラインの「断」が表示され警報が鳴る。

記す。

3. 2. 1 制御所側装置

(1) 回線接続 モジュール (LI)

装置を制御するメインブロセッサとして、 PS・SP 機能、バス 制御機能、保守 メンテナンス 接続機能を持ち、システムイニシャル 時 スイッチ ROM モジュール (SW) の内容を読み出し、処理に必要な データパターン に展開して内部 メモリ に格 納す る。 また必要な データ を表示出力制御 モジュール (SV) に転送する機能をもつ。

(2) 表示出力制御 モジュール (SV)

表示出力専用に処理する サブプロセッサ であり、ランプ 表示の点灯、フリ

ッカ,滅灯などの処理を各個別項目ごとに行う。処理内容は システムイニシャル 時 メインプロセッサ から転送される データ により決定される。 出力は ワードシリアルビットパラレル で制御盤内に実装された個別 ディジタル 出力 (DO) に渡されランプ表示される。

(3) スイッチ ROM モジュール (SW)

工事 どとに変化する処理内容を設定する モジュール であり, システムイニ シャル 時のみ LI モジュール により読み出され必要な データパターン に展開される(図 4. に ディップスイッチ 式設定 カードを示す)。

(4) アナログ出力 モジュール (AO)

被制御所から送られてくる計測値を アナロク に変換 し 出力する モジュ

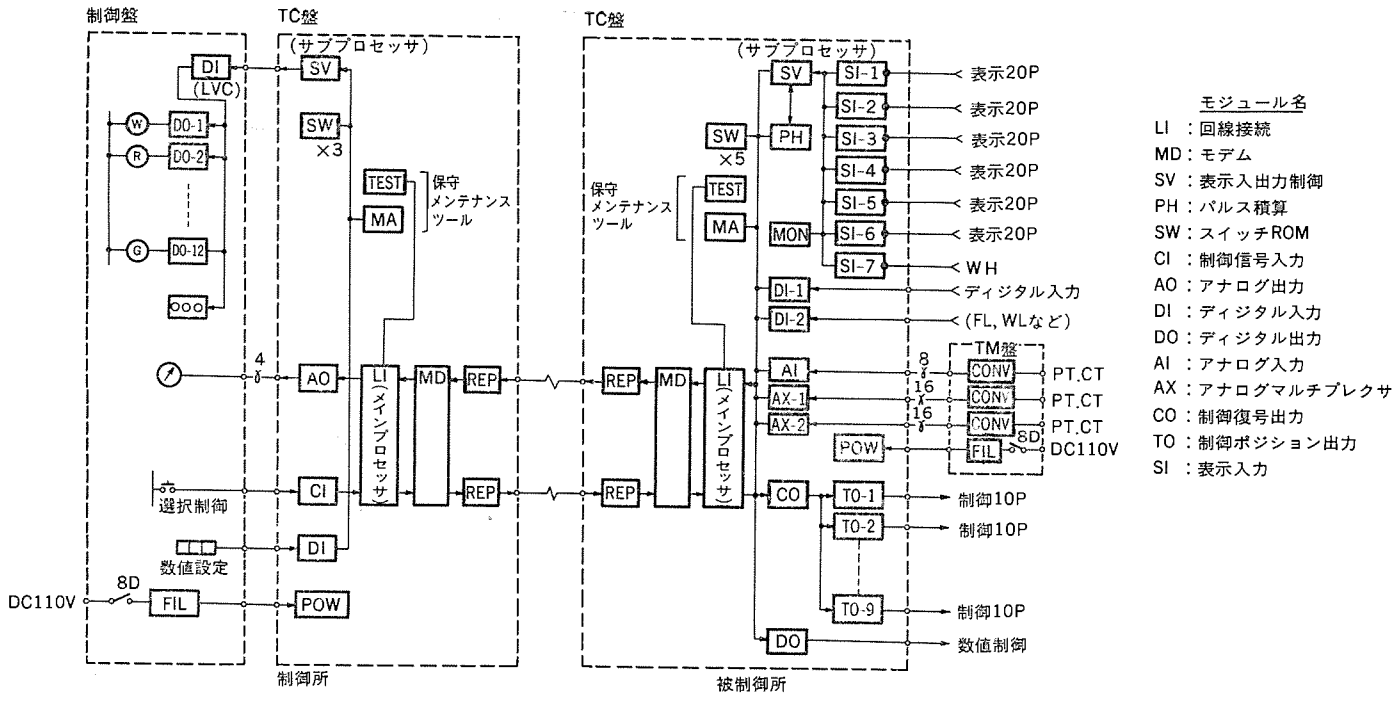


図 3. ブ ロ ッ ク 図

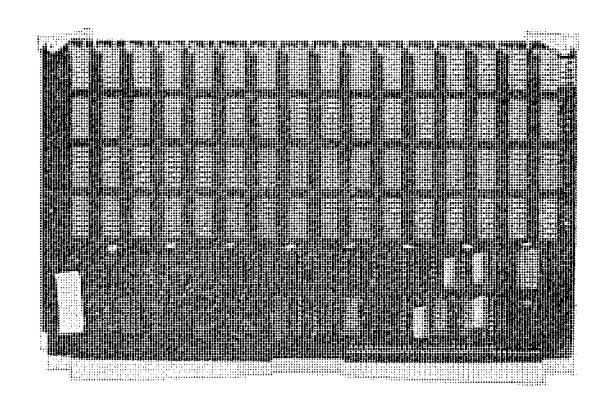


図 4. スイッチ ROM モジュール

ールであり、LIからの指令により動作する。

(5) 制御信号入力 モジュール (CI)

制御盤からの操作内容を入力し、必要な検定を行った後、定マークコードに変換するモジュールであり、LIからの指令により動作する。

(6) モデムモジュール (MD)

回線を通して被制御所と接続するための変調復調 $\pm \tilde{\nu}_{1} - \nu$ であり、《MELFLEX 400》の $\pm \tilde{\nu}_{1} - \nu$ を共用している。

3. 2. 2 被制御所側装置

(1) 回線接続 モジュール (LI)

制御所側装置のLIと同様の機能を持ち、同じハードウェアを使用するが、ソフトウェアは被制御所専用である。

(2) 表示入力制御 モジュール (SV)

表示入力専用に処理する サブプロセッサであり,接点信号の一定時間の引き延ばし,瞬時入力の保持などの処理を各個別項目どとに行う。処理内容は システムイニシャル 時 メインプロセッサから転送される データにより決定される。 入力は, 10 点を 1 グループ として表示入力 ± 5 ュール (SI) から各 グループ当り 25 ms 以内に高速で読み込まれ, 各点ごとに 2 回以上連続した ν ベル (ON 又は OFF) であればその変化を有意として各個別入力ごとに指定された処理を 行い, LI からの指示に

より信号を受け渡す。また、積算情報は パルス 積算 $ext{ਦ<math>i$ 3ュール (PH) に 受け渡される。

(3) 表示入力 モジュール (SI)

配電盤などからの接点信号を絶縁し、内部ロジックレベルの信号に変換する モジュール であり、高信頼度化の一方策として、 ホトカプラ にて無接点化するとともに、入力接点の チャタリング を除去する フィルタ を無く し簡素化している。 入力信号は SV からの呼出しに応じて 10 点を 1 グループとしている。

(4) パルス 積算 モジュール (PH)

内部に メモリ を持ち SV が メモリ の更新を行う モジュール である。 3 けた (桁) 6 量又は 6 桁 3 量までの容量を持ち, モジュール 前面から手動 にて修正が行える。 また,装置電源停止時にも メモリ 内容が消えない回路となっている。

(5) スイッチ ROM モジュール (SW)

制御所側装置のSWと同様の機能をもっている。ただし、選択計測の情報を設定するため容量の大きいものを使用している。

(6) アナログ入力 モジュール (AI)

アナログ入力と A/D 変換機能を持つ モジュール であり、 アナログマルチプレクサ (AX) とともに最大 40 量の計測情報を処理する。 動作 はすべて LI からの指令により行われる。

(7) 制御復号出力 モジュール (CO)

定マーク化されて送られてきた選択制御信号の検定及び復号を行い, 制御ポジション出力 モジュール(TO) へ出力する モジュール である。

(8) 制御 ポジション 出力 モジュール (TO)

CO から出力された選択信号に よ り動作する ポジションリレー をもつ モジュール である。 この モジュール の接点を通して、制御(入、切)出力を外部に出力する。

3.3 ソフトウェア構成

メインプロセッサ (LI モジュール), サブプロセッサ (SV モジュール)の ソフトウェア 構成は イニシャライザ, タスクスケジューラ, サイクリックスケジューラ, 外部割り込み

の管理機能をもつ簡易モニタ(OS)と、それぞれの管理下におかれる機能 プログラム 群により構成される。以下に メインプロセッサ の概略を記す。

(1) イニシャライザ

システムイニシャル 時起動され, スイッチ ROM(SW) からの処理 データ 展開 プログラム, サブプロセッサ(SV) の処理 データ 転送 プログラム, 周辺機器 イニシャルプログラム などで構成される。

(2) タスクスケジューラ

 $_{
m L}$ $_{$

(3) サイクリックスケジューラ

リアルタイムクロック 100 ms を基本 クロック として一定周期ご と に起動され、 プログラム 群で構成される。

(4) 外部割り込み

回線 インタフェース 用 PS-SP からの割り込み処理, サブプロセッサ (SV) からの割り込み処理, 保守 メンテナンスツール 接続時の データ 授受割り込み処理で構成されるが, 1レベル 多要因割り込みの サポート は サービス しない構成としている。

4. 開発, 実用化に際しての留意点

この装置を開発, 実用化するに当り, 次のような点を考慮した。

(1) 高信頼度化

マイクロプロセッサ を使用することにより、部品点数の大幅な削減と モジュール 種類の減少を行った。 また、 すべての使用部品の見直しを行い、実績 データ からの使用部品選定を行うとともに、 発熱を考慮して CMOS IC の大幅な採用と放熱実装設計を行った。加えて、製造時の信頼性均一化のため プリント 基板部品の自動挿入、バス 用 バックパネル の プリント 基板化と無はんだ化及び フラットケーブル の大面的な採用を行った。

(2) 保守性の向上

障害発生箇所の ランプ 表示及び ソフトウェア による異常 データ 退避や専用 メンテナンスツール の充実を図った。 具体的な方法は以下のとおりである(図 5.,図 6.,図 7. に専用 メンテナンスツール を示す)。

- (a) 渋滞発生 パターン の退避 (LI)
- (b) アナロク 入出力時の BCD パターン くずれ及び レンジチェックデータ の退路 (LI)
- (c) 入出力 テーータ の タラフルバッファチェック と チェック 不良時の テーータ 退避 (LI)
- (d) 精度 チェックエラーデータ の退避 (LI)
- (e) $ext{ <math> ext{ }}$ $ext{ <math> ext{ }}$ $ext{ }$ $ext{ }$
- (f) 検出可能な障害の予備 DO からの出力による外部記録など の容易化
- (h) 装置電源投入のまま、 抜き差しできる メンテナンス 用 モジュール (図 8. トレーサパネル) を実装することによる ソフトウェア 上の不具合 点の早期発見化

(3) 増設・変更性の向上

表示方式,選択計測項目,計測スケール,警報集約及び群単位の項目 増設などほとんどの変更は,スイッチ ROM モジュール(SW) により変

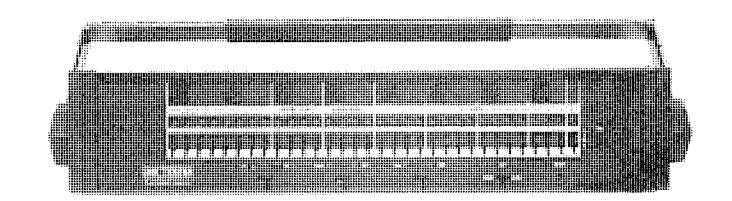


図 5. 可搬形回線試験器



図 6. コンソールパネル

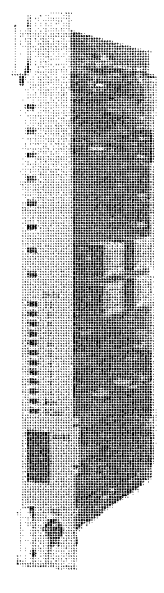


図 7. 表示入力 モニタ

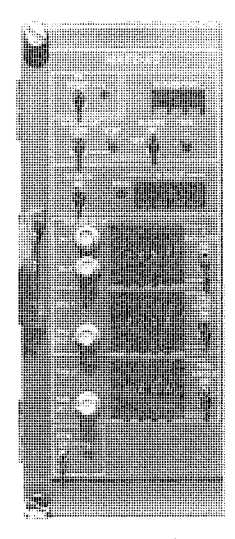


図 8. トレーサパネル

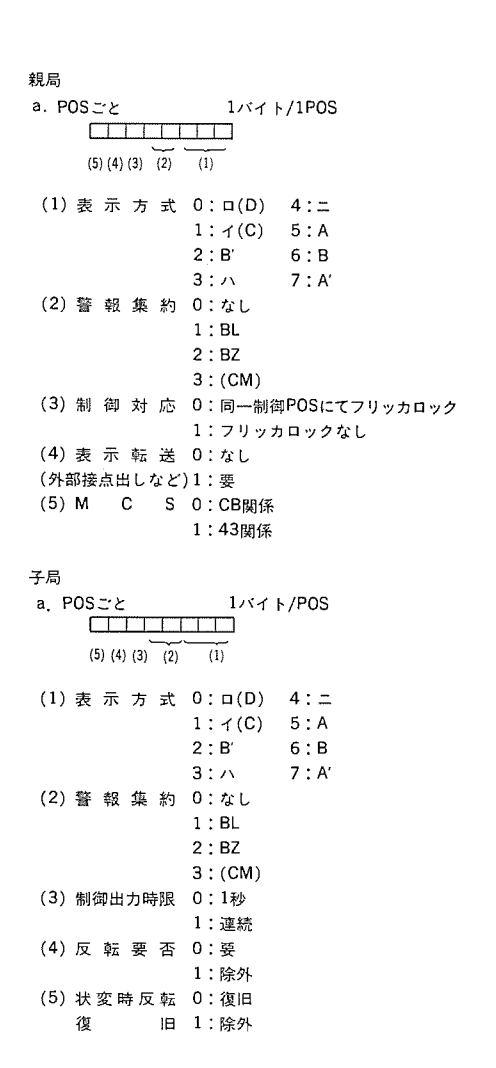


図 9. スイッチ ROM 設定例

更できるようにし、その確認も ソフトウェア の コンペア 機能で機械的にできるよう考慮した。スイッチ ROM の設定例を図 9. に示す。

(4) 生産性の向上

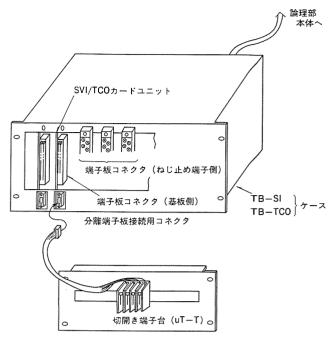
装置構成単位をすべてユニット化し、ユニットの入出力をすべて標準コキクタとすることでユニットのレベルで自動試験を可能とした。また、コキクタ接続のみで装置を組み上げる方法とし、標準図面化を推進した。

5. 《MELFLEX 330》 の特長

以上記述したように《MELFLEX 330》は高信頼度化、保守性の向上、増設変更性の向上、生産性の向上など多数の機能的特長をもったマイクロプロセッサ 形遠制装置である。 更に構造的な特長として、図10. のように被制御所側装置において、入出力カードフレームと端子台を一体化した構造をあげることができる。この一体化構造により、表示入力、 制御出力の外部配線を直接 カード 前面に接続することが可能となり、省 スペース、盤内配線の大幅減少を実現した。

また、工事への適用時、不要な混乱を防ぐため、 及び ソフトウェア の簡素化のため以下のような制限を設けた。

(a) 適用工事: 1対1テレコン 制御所側装置及び被制御所側装置



説明

- Ex1. TB-SVI, TB-TCOへ直接外線を引き込む場合は, 端子台コネクタ (ねじ止め側)を用いる。
- Ex2、切開き端子台が必要な場合は、別途切開き端子台を設置し、ケーブル接続にてTB-SVI/TB-TCOケースへ引き込む。
- EX3. 雑音はこのユニットにてすべて除去し、論理部へは違しないよう になっている。

図 10. 端子台一体形 カードフレーム の外観図

1 対Nテレコン 被制御所側装置

- (b) 容量: 標準として,表示 120点,制御 90点,計測 40量, 電力量 (Wh) 6量までとする
- (c) 伝送速度:1,200,600,200,50 b/s(ビット/秒) とするが,50 ビット/秒時のモデム 入出力レベル は複流とし,外部にて単流に変換する
- (d) 符号 フォーマット: 等長 64, 44, 40 ビット 方式とする
- (e) 入出力モ ジュール: 多要因 1 レベル 割り込みの機能を持つ モジュール で スキャニングモード 不可 の モジュール は 使用しない

6. む す び

以上, マイクロプロセッサ を使用した《MELFLEX 330》の概要, 特長などを述べた。遠制装置に要求される信頼度, 保守性, 増設変更性などは今後ますます高くなると考えられる。

今後の課題として,

- (1) 保守 ツール を使用した会話形 データベース の変更機能の追加による 21ッチ ROM $E \tilde{U}_2 N$ (SW) の不要化と信頼性向上,増設変更性の容易化
- (2) CAD の一環とした自動作画,自動手配の実用化
- (3) 遠制装置専用機種としての融通性をいかした応答性の早い改良

などを使用者側の意見も考慮して対処していきたい所存である。

真鍋 舜 治*·若 杉 登**·稲 宮 健 一**·岡 沼 徹**·圓 谷 正 和**·浅 見 令 美**

1. まえがき

人工衛星の姿勢制御系は、人工衛星が軌道上において受ける種々の外乱に対抗し、安定な姿勢を維持する役割を担う。この人工衛星の姿勢制御の方式を分類すると、スピン安定方式と三軸制御方式の2種類に大別される。スピン安定方式は、衛星本体を一定角速度で回転させることにより、ジャイロ剛性を利用して姿勢を一定に保つものである。この方式は、一般的には精度や発生電力に対する要求がそれほど厳しくない従来の通信衛星に用いられることが多かった。一方、三軸制御方式では、衛星自体は回転せず、フライホイールやガスジェットスラスタを利用することによって姿勢を安定させる。この方式は、一般的に精度や発生電力に対する要求が厳しい観測衛星及び最近の通信衛星や放送衛星に用いられてきている。

さて、昭和60年代後半に打上げが予定されている中高度三軸衛星ではそのミッション達成のために、高精度及び高発生電力が要求されている。この要求を満足させるために、衛星の姿勢制御方式として三軸制御方式の採用が想定される。また、ディジタル制御は高い計算精度をもち、複雑な制御論理や多様な機能処理が可能であり、更に運用に際して地球局の負担が軽減される、などの利点をもっているので、姿勢軌道制御電子回路にディジタル計算機の採用が望まれる。年とともに人工衛星の大型化や高精度化要求の厳しくなっている人工衛星の姿勢制御系は、このように今後ますますディジタル化の方向に進むことが予想される。当社では宇宙開発事業団殿の御指導のもとに、中高度三軸制御系の研究開発の一環として昭和56年度からこのディジタル計算機に搭載する姿勢軌道制御用ソフトウェアの研究開発を進めてきた。本文では、その研究開発状況について述べる。

2. 想定ミッション要求と姿勢制御系の概要

中高度三軸姿勢制御系の研究開発で想定した ミッション 要求は、高度

· 衛星分離 後の残留角運動量を除 ・太陽電池バドル/合成 レートダンピングモード RD 開口レーダ展開 去する。 ・セーフティ移行 レートダンピング後,衛星の正ヨー軸を地心方向 EAQ 地球捕捉モード に向ける。 地球捕捉後、衛星の正ロール軸を衛星進行方向に ヨー捕捉モード YAO 向けて三軸姿勢を確立する。 三軸姿勢確立後、ミッション機器の動作のための NM 定常制御モード 完常姿勢制御状態を確立する。 軌道制御を行うため、三軌姿勢確立状態から必要 に応じて地球捕捉状態を保持しつつ, ヨー軸回り ヨー軸制御モード YCM に 90° 又は 180° 回転する。 軌道細御コマンドにより指定された開始時間及び OCM 軌道制御モード 時間中の軌道制御スラスタを噴射する。またその 間の姿勢を所定の範囲内に保持する。 セーフティ移行による DAOCE 切換後の衛星の 太陽捕捉モード SAQ 電力確保を第一とし、安全姿勢状態を確立する。

表 1. 姿勢軌道制御 モードの目的

H-1/衛星 AUT 内部論理又はディレー 紹介 CMDによる自動移行 AUT CMD からの実時間の CMDによる移行(原則) セーフティ移行 地球捕捉 CMD 太陽電池 パドル展開 CMD AUT ダンピンク AUT t AUT 地球捕捉 移行 太陽捕捉 AUT 合成開口 CMD ∃. -捕捉 -ダアンテ モード 展開 CMD CMD AUT 定常制御 軌道制御 モード CMD モード AUT

図 1. AOCS の モードシーケンス

570 km, 軌道傾斜角 98°の円軌道で地表観測を主な ミッション とし, ミッション 運用時における 姿勢制御要求 (3 σ) は姿勢精度 0.3°, 姿勢 安定度 0.003°/s である。

これらの基本要求をふまえ設計研究の結果、姿勢制御系には初期 捕そく(捉)、定常制御、軌道制御、及び セーフティ 制御などの機能、 また セーフティ制御では姿勢制御用 コンポーネント の故障検知、自動冗長 切換、制御 モード 切換などの機能が要求される。 図 1. には上記各 機能間の移行順序を示し、表 1. には各制御機能の目的を示す。

姿勢制御系の構成としては、ディジタル 計算機を制御電子回路に採用し、慣性 セッサ、地球 セッサ、精太陽 セッサ、 粗太陽 セッサ、リアクショッホイール、磁気 トルカ、及び ガスジェットスラスタ からなる構成が第一候補として考えられる。

3. 搭載ソフトウェアの位置付け

この中高度三軸衛星の制御モードとしては、宇宙空間に打上げられてから、衛星の角速度を除去するレートダンピングモード、観測機器を地球方向に指向させるための地球捕捉、ヨー捕捉などの制御モードを経て、地球観測というミッションを行う定常制御モードに移り、更にミッション期間中に生じる軌道誤差を修正する軌道制御、及び故障により一時的に正常なミッション続行が困難となった時、電力と安定な姿勢を確保するため、太陽捕捉の制御モードも備える必要がある。衛

星に搭載した ディ-i'タル 計算機は,以上の各制御 t-i'への移行及び 制御計算を行う。

ディジタル計算機に搭載されるソフトウェアは、衛星が宇宙空間に打上げられてから ミッション 終了に至るまでの期間中、衛星の姿勢を制御したり、地上局からの指令に基づいて衛星の動きを変更させたりするための処理機能をもち、 更に コンポーネント が故障した時でも ミッション が継続できるように冗長側の コンポーネント に切り換えたり制御方法を替えたりする機能ももつ必要がある。

4. ディジタル型姿勢軌道制御電子回路 (DAOCE) と 搭載ソフトウェア

との中高度衛星を想定した姿勢制御系の DAOCE と搭載 ソフトウェアの概要を述べる。

図 2. のインタフェースブロック 図に示すように、DAOCE は 1 ワード 16 ビット の ディジタル 計算機部、インタフェース 回路、ホイール 駆動回路、 磁気トルカ 駆動回路などから成り立っている。 なお表 2. に ディジタル 計算機の主要性能を示す。 搭載 ソフトウェア を起動するための割り込みは、125 ms ごとに外部の クロック から与えられる。 搭載 ソフトウェア は基本

	項		目		性 能 諸 元
1	プ	p -6	ッ	サ	ビットスライス型プロセッサ 2901×4
2	制	御	カ	式	マイクロプログラム方式
3	語				16ピット/ワード
4	演	箅	方	式	2 進並列
5	命令	語の	大き	ž – ž	1~2 ワード
6	命	令		数	73
7	オペレ	ーション	コードの	長さ	8ビット固定
8	演	Įν	ジス	B	8
9	アド	レッシ	ンク	方 式	直接/間接アドレス レジスタ直接/間接アドレス
10	数	位	語	長	16, 32 ビット
11	倍	長	頏	算	加・波・算
12	マシン	サイクル	(クロ	ック)	3 MHz
13	湖	Ŋ	速	度	加波算 4 μs 以下 革精度乗算 40 μs 以下 革精度除算 60 μs 以下

表 2. ディジタル 計算機の主要性能

磁気トルカ駆動 DC/DC 磁気トルカ 回路(X,Y)A (X,Y)A コンバータA ホイール駆動用 DC/DC 精太陽センサA コンバータ 1~4 ホイール インタフェース ホイール1 . |物球センサ A 駆動回路 1 回路部 A スラスタ Α 駆動回路 ホイール ホイール2 駆動回路 2 慣性センサ ノジタル 計算機部 粗太陽センサ <u>L_A,B</u> ホイール ホイール3 精太陽センサB 駆動回路 3 地球センサ B インタフェース ホイール 回路部 B ホイール4 駆動回路 4 スラスタ В 駆動回路 DC/DC 磁気トルカ駆動 磁気トルカ 回路(X,Y)B コンバータ目 (X,Y)B DAOCE

図 2. DAOCE の インタフェースブロック 図

ソフトウェア 部(スケジューラ,モードコントローラ,タイマ など), センサデータ 処理部,アクチュエータコマンド 処理部, 姿勢決定部,制御論理部,故障検知部から構成される。

ディジタル 計算機は,との搭載 ソフトウェア を格納するのに十分な メモリ 容量を備えていなければならない。 メモリ には ROM と RAM の 2 種類があり, プログラム は ROM に, 変数, 定数は RAM に格納する。 使用している アルゴリズム 内の演算の種類や回数に基づく経験則を用いて予測した搭載 ソフトウェア の サイズ は,ROM が $9 \, \mathrm{K} \, \mathrm{J}$ アード,RAM が $0.5 \, \mathrm{K} \, \mathrm{J}$ アード となった。 そとで, 計算機の メモリ 容量は, この予想値に十分な余裕をもたせ ROM を $12 \, \mathrm{K} \, \mathrm{J}$ ード,RAM を $1 \, \mathrm{K} \, \mathrm{J}$ アード とした。

計算機の割り込み周期は、衛星の安定度、アリアスノイズ、ハードウェア上の制約などを考慮した上で以下のように決定した。 まず慣性 セッサ の速度情報は パルス 間隔で与えられる ため、割り込み周期を 125 ms 以下とすると、惯性 セッサの量子化誤差が大きくなり、計算機の処理時間にも抵触することがわかった。また、500 ms 以上にすると、安定度に影響し、アリアスノイズが発生することがわかった。これらの結果、割り込み周期としては 125~250 ms の範囲が妥当となったが、長い サップル 周期を カバーできるという観点から、125 ms を選んだ。

5. 搭載ソフトウェアの構造

搭載ソフトウェアは多数のプログラムにより構成されている。各プログラムはその機能により、図3.に示すように九つのグループ (1000~9000)に分類できる。各グループの下に連なる箱がプログラムの一つ一つに対応する。そして各プログラムはその機能に対応した分類番号が付けられている。以下に各プログラムの基本的な機能を説明する。

(1) 基本 ソフトウェア (1000)

125 ms 周期ごとの処理の時間管理や,計算機起動時の初期捕捉制 御モードの設定や制御モード移行時の計算に使われる変数,フラグの初期化,搭載 ソフトウェア 内の時刻の更新を行う。搭載 ソフトウェア の処理の統制をつかさどる部分である。

(2) 入出力処理 (2000)

姿勢制御用 コンポーネント である慣性 センサ,精太陽 センサ, 粗太陽 センサ,地球 センサ,ホイール,磁気 トルカ からの データ を計算機に入力した

り,搭載ソフトウェアで計算したスラスタ,ホイール,磁気トルカなどの制御信号を計算機から出力したりする。

(3) コマンド/テレメトリ (3000)

地球局からのコマンドを読み込んだり、衛星の情報を テレメトリ 信号によって地球局に送信するための処理を行う。

(4) 故障検知 (4000)

入出力処理(2000)で取り込んだ姿勢制御用コンポーネントの瞬時瞬時のデータや、データの時間的変化を基に、各コンポーネントの故障を検知してフラグを立てる。

(5) センサデータ 処理 (5000)

入出力処理(2000)で取り込んだセンサデータ 信号を変換して、搭載 ソフトウェア 内での制御 計算に使う フォーマット に変換する。

(6) アクチュエータコマンド 処理 (6000)

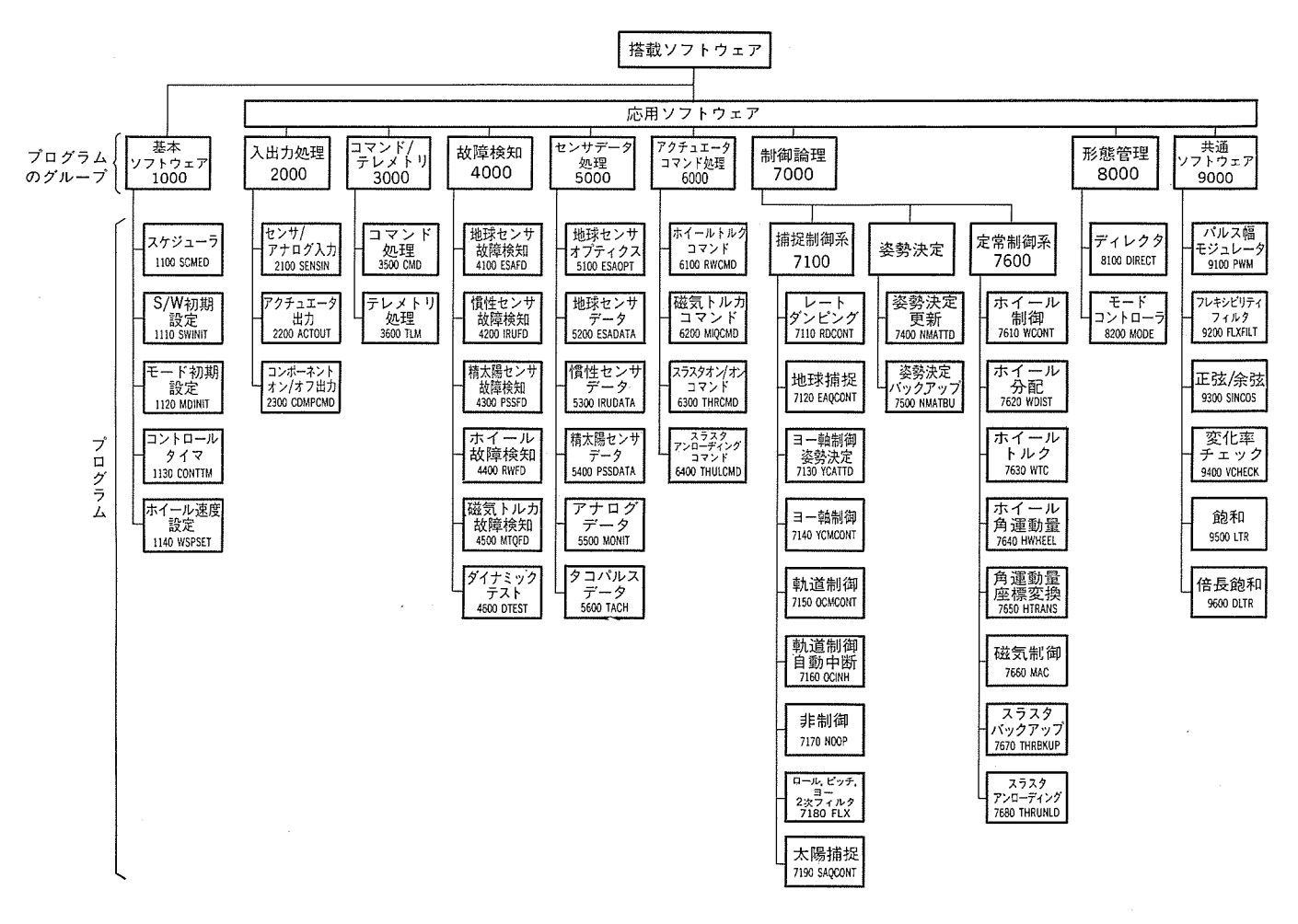


図 3. 搭載 ソフトウェア の構成

制御論理(7000)で計算した リアクションホイール,及び ガスジェットスラスタ,磁気 トルカ の駆動信号を計算機の外部に出力できるような フォーマット に変換する。

(7) 制御論理 (7000)

制御論理 プログラム の機能は捕捉制御と定常制御に大別できる。捕捉制御では、慣性 センサ と地球 センサの データ を用い、 PD 制御則に基づき、 任意の姿勢から観測機器を地球方向に指向させるように ガスジェットスラスタ を噴射する。

定常制御では、慣性 セッサの データ (衛星 レート)を数値積分して姿勢角を求め、地球 セッサと精太陽 セッサの データ を入力値とする定係数 カルマッフィルタ を用いて姿勢角及び ジャイロドリフトレート の推定値を更新する。 このようにして求められた三軸の姿勢角を用いて、 PD 制御則に基づき 4 個の リアクションホイール (斜交配置)を駆動して姿勢を制御するとともに、磁気トルカを用い、ホイールのアンローディング(ホイールの回転数が飽和しないように制御すること)を行う。

(8) 形態管理 (8000)

コマンド/テレメトリ (3000) を通して取り込んだ地球局からの コマンド に基づいて制御 モードを変更する。 衛星の姿勢によっては独自に制御 モードを決定することもある。また,故障検知 (4000) により,故障が確認された場合には故障した コンポーネントを冗長側に切換えたり,あるいは電源を オフ するなど適切な処置を行い, ミッション が継続できるようにする。

(9) 共通 ソフトウェア (9000)

リミッタや三角関数などいわゆる内部関数的な機能を持つ。

6. 搭載ソフトウェアの開発

6.1 開発管理手法

前章で説明した搭載 ソフトウェアの開発は図 4. に示す標準化されたフロー, すなわち以下に示す順序で行った。

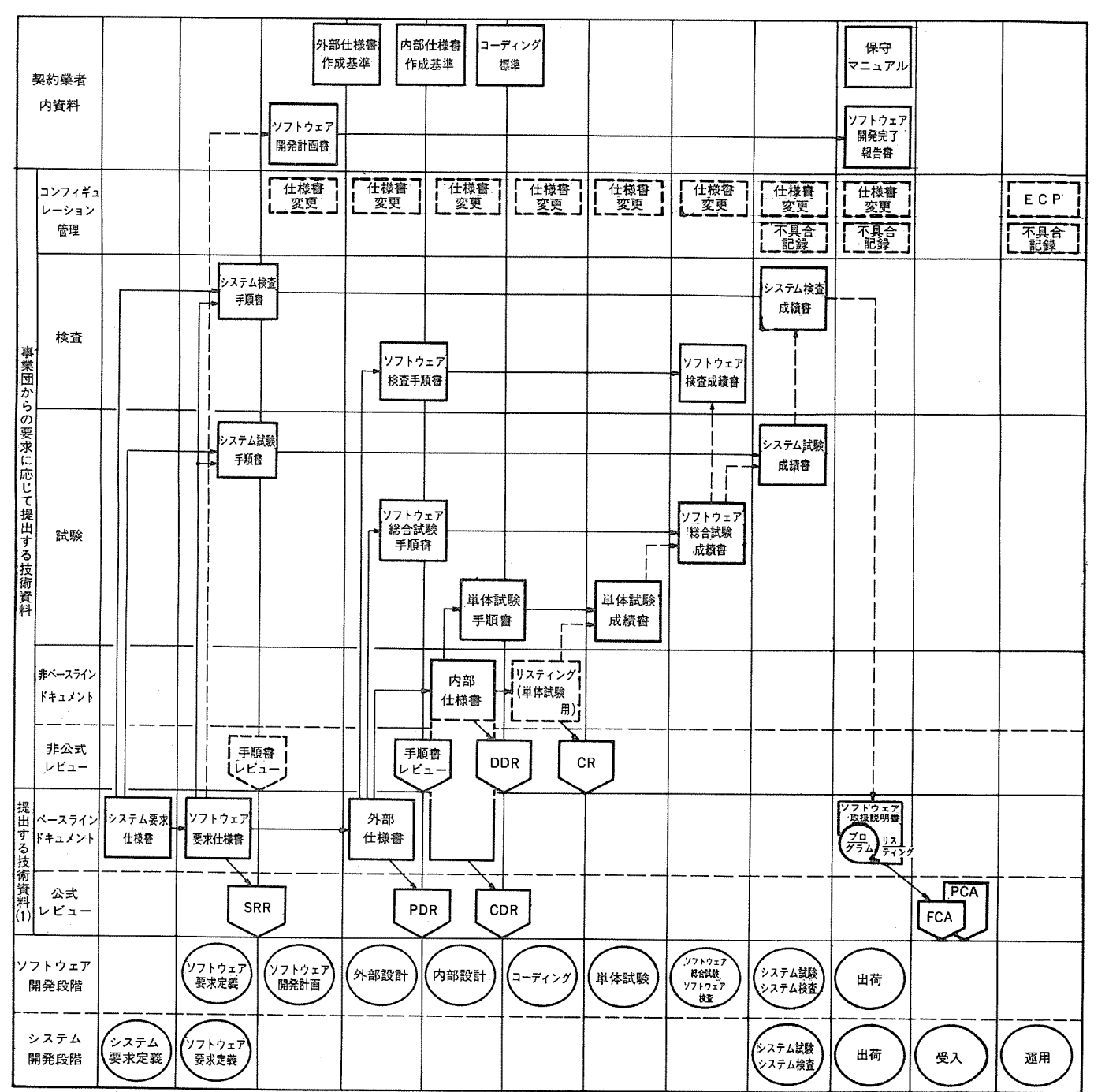
- (1) ソフトウェア 要求定義
- (2) ソフトウェア 開発計画
- (3) 外部設計
- (4) 内部設計
- (5) コーディング
- (6) 単体試験
- (7) ソフトウェア 総合試験, 及び ソフトウェア 検査
- (8) システム 試験, 及び システム 検査
- (9) 出荷

また,各開発段階の $f_{x,y,0}$ は,宇宙開発事業団による三つの公式 ν ビュー,

- (1) ソフトウェア 要求仕様書 レビュー (SRR)
- (2) 外部仕様書 レビュー (PDR)
- (3) 内部仕様書 レビュー (CDR)

と当社による四つの非公式 レビュー,

- (1) ソフトウェア 総合試験手順書 レビュー
- (2) ソフトウェア 検査手順書 レビュー
- (3) 内部仕様書 レビュー (DDR)
- (4) コードレビュー (CR)



注(1)システム検査成績奮も提出する。 FCA, PCAは事業団が行う。

備考

試験と検査の相違(ソフトウェアの場合,検査項目は試験 項目の一部になることが多い)

・試験は開発担当者による検証

• 検査は開発担当者とは別の検査担当者による検証

SRR: Software Requirements Review PDR: Preliminary Design Review CDR: Critical Design Review DDR: Detail Design Review

図 4. 搭載 ソフトウェア の開発 フロー

CR : Code Review

FCA: Functional Configuration Audit PCA: Physical Configuration Audit ECP: Engineering Change Proposal

の計七つの レビュー を通じて行われるため、 図 4. の フロー を経て作成された プログラム は高い信頼度が得られる。

6.2 プログラム作成

一つの プログラム を作成する際, 初めにその プログラム で使われる変数の スケール, すなわち各変数のとり得る最大値, 必要な分解能を検討し, 16 ビットで表した場合の1ビットにかかる重み, つまり実際の分解能を決定した。高い分解能が必要となる変数は倍精度に設定した。

このとき設定した変数は各々表にまとめておくとともに、パーソナルコンピュータ《MULTI 16》で開発した変数登録プログラムを用いて管理した。これにより変数名の重複を防いだり、各変数の1ビットの重み、つまり分解能、計算機内でのアドレスなどの情報も同時に記憶することが可能となった。

次に アセンブラ 言語に対応した詳細な フローチャートを描いていった。 これは レジスタ の動きまで表した、アセンブラ の命令に 1 対 1 で対応す

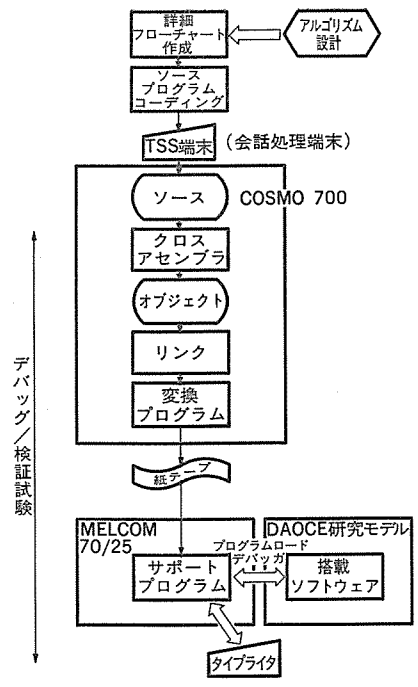


図 5. 搭載 ソフトウェア の試験手順

るように描いたものであり、 これを用いれば アセンづラ 言語での プロ クラム 作成は機械的に行うことができる。

フローチャートは デバッグや後の改修を考えてできる限りわかりやすく 描く必要があるが、あまり冗長にすると プログラムサイズ が大きくなってしまうという問題点もある。フローチャート の作成にあたってはこの点も十分に注意した。また、ビット落ちによる計算誤差を防ぐために連続加減算や積分計算では、倍精度演算を使用した。 作成した プログラム のメモリ 容量は、最も小さなもので 22 ワード、最も大きなもので 800 ワード 程度となった。

6.3 検証試験

検証試験は、各 プログラム 内の演算が正しく行われているか、分岐命令において分岐先は正当かなどの機能を確認するために プログラム どとに実施した。試験の手順を図 5. に従って説明する。

まず、大型計算機 COSMO-700 の端末から、作成したプログラムを入力し、各プログラム どとにファイルを作っていった。これらのプログラムをクロスアセンブラ(メタシンボルを利用)を使い、機械語に変換したのち紙 テープ に出力した。 この紙 テープをミニコン《MELCOM 70/25》 に搭載した支援プログラムを介して、DAOCE 計算機部にロードし、検証試験とデバッグを行った。

紙 テープリーダから読み込んだ被試験プログラムを計算機部に ロード した後、外部に接続した キーボード からの操作で、テストデータの入力やプログラムの実行、実行結果の出力などを行い、検証試験を実施した。

試験 f-2 の設定に際し、数値演算の部分では正常値に加え限界値を越える f-2 を入力した場合、論理演算の部分については未定義の 75% を入力した場合などの異常状態も考慮に入れた。更に、70-5+-1 内のすべての 1-1 が最低 1 回は通過するようにも配慮した。検証試験の結果はあらかじめ他の手段により予想しておいた結果と比較し、若し有意の差異があれば誤りを正して再試験を繰返し行い、 差異がなくなった時に初めて検証試験に合格とした。 図 6. には以

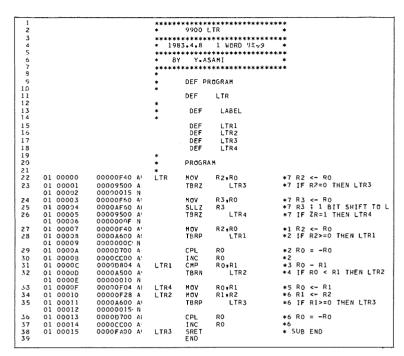


図 6. アセンブラリスト 例

上の手順に従って作成した プログラム の一例として、単精度の リミッタ プログラム を示す。

検証試験の実施に当たっては、試験の目的、入力 \vec{r} -g, 出力予想 \vec{r} -g を記入した「試験手順 \hat{v} - \hat{r} - \hat{r} を前もって作成しておき、 とれ に出力結果を記入していく、という手順をとった。

7. 搭載ソフトウェアの概要とまとめ

搭載 ソフトウェア は総数 41 の プログラム から構成されており,総合 メモリ 容量は ROM で約 7 K γ ード となった。 設定した変数の占める メモリ は RAM で約 0.5 K γ ード である。 計算機の メモリ 容量は ROM が 12 K γ ード,RAM が 1 K γ ード であり, ROM に 40 %, RAM に 50 %程の余裕がある。処理時間は各制御 ϵ ードによって異なるが,最も時間のかかる定常制御 ϵ ードで約 25 ms となった。 処理は 125 ms どとに行われるので時間的には 80 % の余裕がある。

8. む す び

現在 41 すべてのプログラム について個々の機能の検証試験が終了した段階である。 今後は全部のプログラム を組み合わせて搭載 ソフトウェア全体としての機能を確認する段階に進む予定である。その中では、制御精度の要求を満足することを確認し、各コンポーネントに故障が生じた場合の冗長側への切換のタイミングや、 制御モードへの移行のタイミングが適切であるかを確認するために様々のケースを想定し、総合的な試験を行う。そして、より高精度で信頼性の高い姿勢軌道制御用の搭載 ソフトウェアを完成していきたいと考える。

最後に、 との搭載 ソフトウェア の開発は宇宙開発事業団からの業務 委託契約のもとに、中高度三軸姿勢制御系の研究の一環として、履 行したものである。との作業に関し御指導いただいた宇宙開発事業 団筑波宇宙 セッター 誘導制御開発室池内室長殿、鈴木孝副主任開発部 員殿をはじめ関係各位に深く感謝の意を表する次第である。

《MELCOM 80》DPS10リレーショナル形 データベースシステム

山崎洋美*・樋口雅宏*・吉森幹夫*・小村克也*・小宮富士夫*

1. まえがき

リレーショナル形 データベース 機能は,オフィスコンピュータ の最上位機種《ME LCOM 80/500,400》の オペレーティングシステム DPS 10 の上に標準的 な機能として サポート されている。

近年電子計算機の ハードウェア 及び ソフトウェア は長足の進歩を遂げており、それにつれて計算機 システム はますます大規模化し、その システム を稼働させるための アプリケーションプログラム (APP) の負担も大きなものとなっている。これと共に システム の改修及び保守に要する費用が増大している。

DPS 10 リレーショナル形 データベースシステム (RDBS) は、従来からのファイル 処理の考え方をそのまま踏襲しながら データベース を実現することができるので、プログラム の作成が容易であり システム の構築も柔軟かつ簡単である。また データ の独立性を保つことにより システム の拡張、改修に際して アプリケーションプログラム の改修を不要にしている。

2. 概 要

(1) データベース の構築

データベース の構築は単に データ 定義 プロセッサ (DDF) により実際に格納されている データ の様式定義 (CODASYL 形 データベース の スキーマ 定義に 相当する) 及び アプリケーションソフトウェア (APP) で扱う ファイル形式の定義(サブスキーマ 定義に相当する) を行えばよい。 APP で扱う ファイル 形式の定義は、 論理 ファイル 定義と呼び実 データの見方 (View) を定義する。 この定義を行うことにより目的に応じて種々の仮想的な ファイル を扱うことができる。 このように論理 ファイル 定義を行うことにより、 同一の実 データ を共用して種々の形式で扱うことが可能となり、 システム として データ を重複してもつ必要がなくなる。 また論理 ファイル として データ 処理を行うことにより、 APP と実 データ のつながりが論理的になるため、データ 構造の変更に対して APP は何ら影響を受けることなく データ の独立性を保つことができる。

(2) ファイル 処理と一体化した RDB 機能

DPS 10 RDBS 社順次 ファイル,相対 ファイル,索引 ファイル,多面索引 ファイル といった従来からの ファイル 処理の延長で取り扱うことができる。 その結果 データベース の構築が簡単となり,既存の ファイル 処理 システム を必要に応じて随時 データベース 化してゆくことも可能である。

一方,ファイル 処理機能に対しても データベース 的な考え方をとり入れ,両者で矛盾が起らないようにしている。従来からのファイル 処理の考え方では,ファイル 編成すなわち データ 構造により アクセス 方法が限定されてしまうが, DPS 10 RDB 及び ファイル 処理(両者を合わせて データベース・データ 管理と呼ぶ)では APP で記述した アクセス方法,あるいは DDF で定義した アクセス 方法に従って アクセス を行う。したがって索引 ファイル,多面索引 ファイル の データ 部を順次 ファイル,相対 ファイル として扱う ことが可能である。その場合 データベース とし

ての \vec{r} –g の整合性を保つため更新処理を行ったとき実 \vec{r} –g に索引が作られていれば,実 \vec{r} –g の構造に合わせて \vec{r} –g~-2、 \vec{r} –g管理が自動的に索引部に対しても更新処理を行う。

したがって今まで順次ファイルとして データを格納していたものに対して索引が必要になり、 索引 ファイル あるいは多面索引 ファイル にしても順次ファイルとして扱っていた既存のプログラム は修正することなく、そのまま使用することができる。このように通常のファイル処理機能を使用する場合も、 可能な限り データの独立性が保たれるようになっている。またファイル処理機能と RDB 機能を一体化することにより、両者の融合を図りかつ矛盾が起らないようにしている。

(3) ファイル 処理と統一された操作命令

RDB を扱う READ, WRITE などの操作命令は、通常のファイル処理で使用する命令と同一の命令である。その結果プログラム 作成時通常のファイル 処理と区別することなく RDB を扱うことができる。

3. リレーショナル形データベースの特長

- (1) データベースシステムを従来のファイル処理の考え方の延長で容易に 実現することができる。
- (2) DDF で論理 ファイル の定義を行うことにより、 リレーショナルデータベース の基本的な機能である選択 (Selection), 射影 (Projection), 結合 (Join) の機能を実現することができる。
 - ・選択………指定されたレコードに対する各フィールドの値, 範囲などを指定し条件に合致するレコードだけを処理対象とする。
 - ・射影………実際に処理する物理 ファイル の レコード のうち使用者が アクセス したい フィールド だけを選択し、 View として設定する。
 - ・結合……… n 個の物理 ファイル を各々の レコード 内の フィールドの関連によって アクセス を行う。 物理 ファイル 間の関連付けは索引経由で行われるので、あらかじめ索引生成 ユーティリティ により索引を生成しておく必要がある。
- 図 1. は選択,射影,結合の概念を示したものである。 図の中の 物理 7r1n は実 r=9 の収納されている個々の 7r1n であり,論理 7r1n に対比するものである。

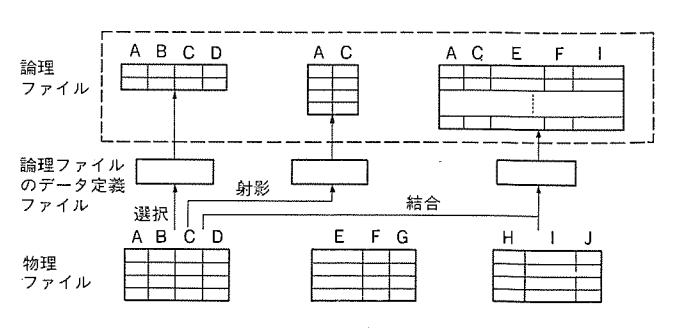


図 1. 選択,射影,結合の概念

- (4) 論理 ファイル も従来の ファイル 処理 と全く同一の命令で扱うと とができるので、プログラム作成が容易である。
- (5) データの独立性が保たれているので、システムの拡張、変更に対 して柔軟に対処することができる。データ構造の変更に対しては DD Fによるデータの再定義を行うだけでよい。
- (6) RDB と ファイル 処理は データベース・データ 管理により統一的に 管理されているので、両者の間で考え方の相違及び処理上の矛盾が ない。
- (7) 物理 ファイル 同志の関連付けは実行時に関連する ファイル の索 引を通して実現しているので、データベースの拡張、変更に対して既存 の データベース を生成、再編成する必要がない。
- (8) Join した ファイル は、APP 側では単純に一つの ファイル とし て扱うことができるので、その分プログラム作成が容易になる。
- (9) エンドューザー 向けの簡易言語である DUET を使用することに より手軽にデータベースを参照することができる。

4. リレーショナル形データベースの機能

DPS 10 リレーショナル形 データベース は物理 ファイル を基に、 それらの フ ァイルの関係を論理 ファイル として定義することによって、データ処理 及びその管理を行っている。

RDB 機能は、図 2. に示すように物理 ファイル の見方を定義した 論理 ファイル を定義することにより実現される。 論理 ファイル 定義は 実行時 データベース・データ 管理により参照され、 その内容に従がって 各物理 ファイル から必要な項目及び物理 ファイル 間の関連付け を行っ て APP 側へ論理 ファイル としての レコード を渡している。 したがっ て APP 側からみた場合、物理 ファイルの データ構造とは直接関係せ ず論理 ファイルの レコード様式が変ら ない限り影響を受けることはな Va.

図 2. の例で、例えば在庫管理 プログラム で論理 ファイル の受注番号 を第一にして読み込むと、データベース・データ管理は受注番号を第一に して受注マスタから該当レコードを読み込み、更にそのレコードの商品 番号を第一にして商品 マスタ との関連付けを行い該当 レコード を読み 込む。そして論理ファイルで定義されている項目の内容に従って論 理 レコードを作り、それを APP 側へ渡す。

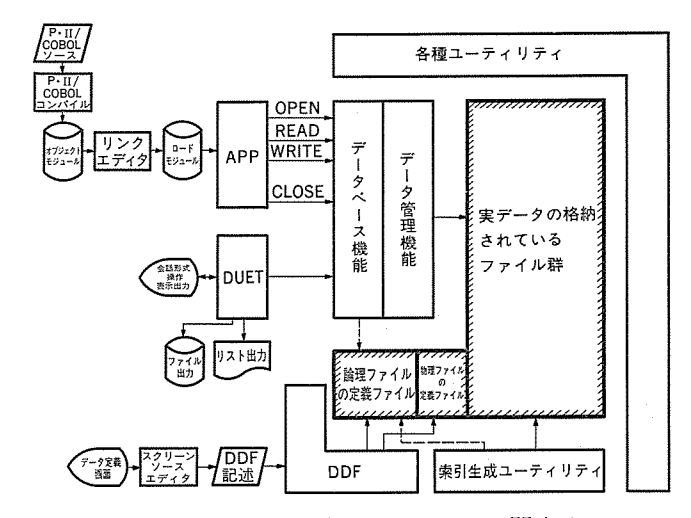


図 3. リレーショナル 形 データベースシステム の関連図

5. RDBS の構成要素の関連

図 3. は、 DPS 10 RDBS の構成要素と、それらの関連を示したも のである。構成要素を大別すれば次の三つに分けられる。

- (1) データ 定義を行う データ 定義 プロセッサ (DDF)
- (2) RDB から ファイル 処理までを統一的に管理 している データベー ス・データ 管理機能
- (3) 索引生成 ユーティリティ あるいは データの セーブ/リストア,コピー な どを行う各種 ユーティリティ

実データが格納されている物理ファイルは、従来からのファイル処理 と同じ扱いでファイル生成を行う。

RDB として使用するためには、 DDF により実 データ の格納され ている個々の ファイル に対して物理 ファイル 定義を行い, 必要に応じ て各 プログラム で使用する論理 ファイル の定義を行う。 データ 定義を行 うための DDF 記述は スクリーむソースエディタ (SSE) を使用して行うこ とができる。SSE を使用しないで、記入 シートに従って記述したも のを ソースファイル 化して DDF 記述とすることもできる。 DDF 記述 は DDF の入力 ファイルとして読み込まれ、この内容に従って物理フ ァイル あるいは論理 ファイル の定義 ファイル が生成される。

索引生成 ユーティリティ は論理 ファイル の定義 ファイル を参照して,R

DB で必要とする 索引を生成す る。使用者は各論理ファイルに対 してどのような索引が必要であ るか意識する必要はない。ユーテ ィリティが判断して必要な索引を **生成する。**

簡易言語である プログレス Ⅱ (P -Ⅱ), あるいは COBOL のプロ グラム 内で論理 ファイル の記述を している場合は、コンパイル時に 記述している論理ファイルの定義 ファイルが参照されレコード名,項 目名など定義されている内容が とり込まれる。 したがってプロ グラム 内の記述では、 論理 ファイ ルに対するデータ定義は不要に たる。

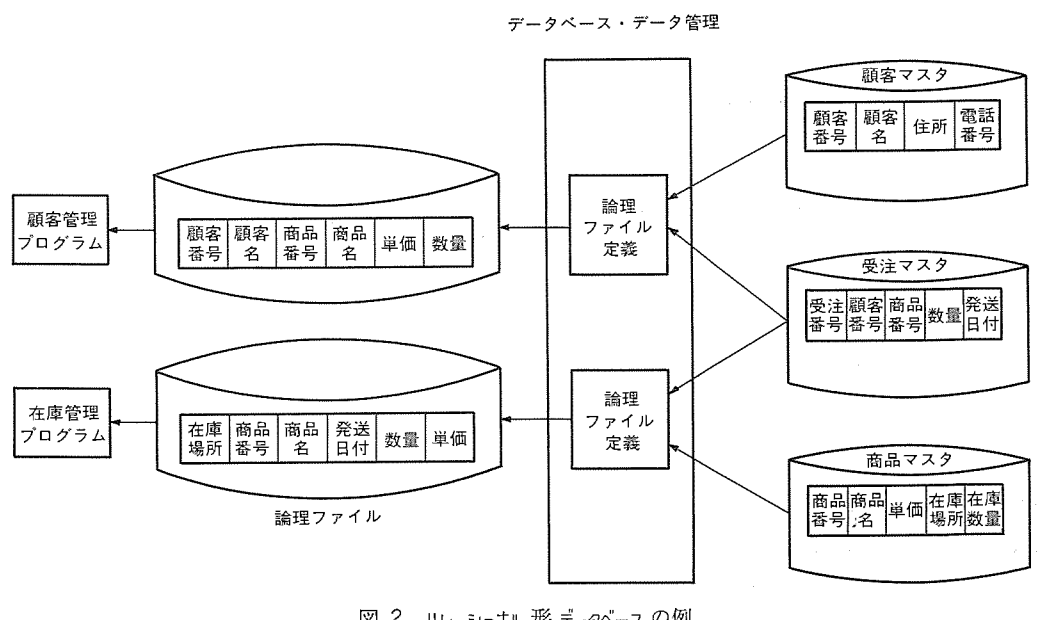
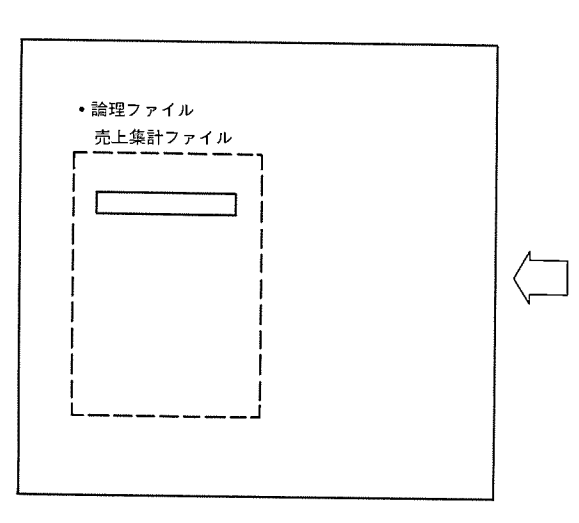
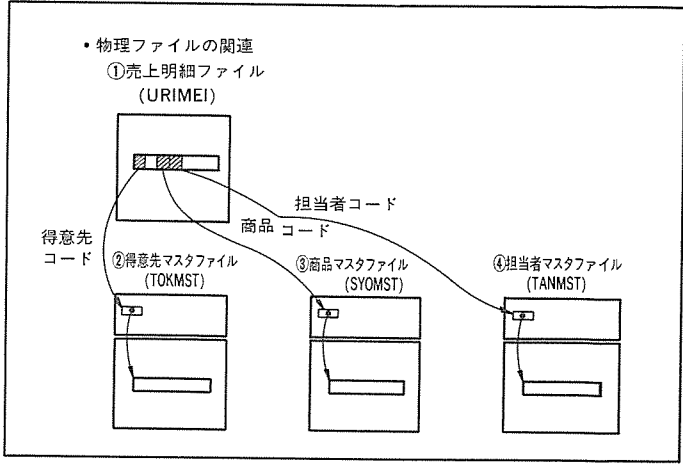


図 2. リレーショナル形 データベース の例





論理ファイルのレコード様式

得意先 コード 取引日 得意先 商品 商品名 担当者 担当者 数量 単価 金額

物理ファイルのレコード様式

①売上明細	1ファイル						
得意先コード (URTOKCD)	取引日 (URTORDY)	商品コード (URSYOCD)	担当者コード (URTANCD)	数量 (URSURYO)	単価 (URTANKA)	金額 (URKING)	
②得意先マ							
得意先コード (TKTOKCD)	得意先名 (TKTOKNA)		7				
3)商品マス	タファイル						
商品コード (SYSYOCD)	商品名 (SYSYOMEI)						
4)担当者マ	スタファイ	ル					
担当者コード	担当者名		7				

図 4. 論理 ファイル の定義例

DDF でのデータ定義

実際に DDF を使用してデータ定義を行った場合の例を示す。図 4.の例では"売上明細った"の得意先コードを"得意先マスタファイル",商品コードを"商品マスタファイル"をが担当者コードを"担当者マスタファイル"にリンクさせている。

図 5.~図 8. に, と の例のそれぞれの物理ファイルの データ定義を示し, 図 9. に論理ファイルの データ 定義を示す。

DDF で定義した論理ファイルは"売上集計ファイル"として使用する。アプリケーションプログラムでは"売上集計ファイル"は、一つのファイルとして扱う。物理ファイルの関連付けを意識する必要はない。以下データ定義仕様書の記述

データ定義仕様書

ブラク ファイ			売上	明証	7:	7/1	<i>\</i>	_				付	<u></u>													長列: (60円) 益理・副面・印刷・通信 ページ
- <u></u>	4	住 排 数 分		经		\$ f1			様式タイプ・コース			*		en .		麥	#G			2	小数点以	人出力区分(コ)	łΣ	n		B 62
2 3	1716		(2)(2)	_	X (N		Z)E	in In	(0)e/r/x							R R				7 1 7	かけば	0\-\0\	17 (12 32	前 位 流		_
		1-1-	-	*****			_	-		113	20 Z	122	3 24	25 26	27 2									42 43	44 4	4 45 46 47 48 49 50 51 52 53 54 55 55 57 58 59 60 61 62 63 64 65 65 67 68 69 70 71 72 73 74 75 76 77 78 1
1.0	****		ш	J.R	11/	G	E	M	E	S	<u> </u>			l E		1-1		- U	R	IM	E	I F	, L,	<u>L.,</u>		<u> </u>
1.0	,2,0	۸ *	Ш		┸		┸		_L	L		1 1				11		,	. 1		. Т			١		
1.0	3,0	A		.	- [. 1		. [R	u	RI	R.I	C			П				T		Т		1	7	
10	4 0	Α	П		7		T	_	7		RT	-	_	D		Ħ			5	Δ -	┱		1	1	۲.	TEXT (ITOKILICANI, 100051)
1 0		+-+-	m		+	7	+		+		RT					+			-		٠					TEXT, ('TOKUISAKI, CODE',)
			+		+	4	+		+	1-						++			,6		4	+				T.E.X.T. (* TORI , HIKI, B.I.T.)
10		1	H	4-1		-	+		4		R S	*****	<u> </u>			Ш	نـــ		,5	A L	4	1			_]:	TEXT, ('SHOH, IN CODE',)
10	7.0	A	Ш		_	Щ	\perp	_		υ	R T	Α.	1 C	D,		Ш			3	A				١.,	1	TEXT ('TANTOSA, CODE')
10	8.0	A	Ш	.		.		.	- 1	ļυ	R.S	U.I	Υ.5	Ο,		П			4	s		T				TEXT, ('SURYO',)
1.0	9.0	A	П	. [T	.	1	.]	T	lu	R,T	AI	₹ K	A		TT			.4	s	7	1		1		TEXT (TTANKAT)
1.1.	0.0	1	П		T	-	┪	-	+		R,K					1-+			6		+	+-			-1:	
		1	H	-	+	+	+	+	+	۳	1, 0		1,4			₩	11		0	}	4	+			4	T E X T (' K I N G A K U ')
		1^ -	⊬	-	+	-	+	4	+-	+	_					+			-	4	4	4			4	
	щ.	4 -	⊢	f	4	-	4	-	4	1						Н			_	1		1			┸	<u> </u>
		Λ	Ш		_ _		Ŀ		1	L			لسلم			Ш	, ,			1	.	İ			1	
٠		A	Ш	.		.				Ι.						П			. 1	Т		T			1	
	_	W.			Т		T	_	_	Т						Ħ	•		+	1		_	1			
		_	-	-	±	+	+	1	+	┰			-			++		_	سئسسا							

図 5. 売上明細 ファイル

データ定義仕様書

プラグラマれ	11 (†		種別:(物理) 論理·詢蘭·印刷·通信	ページ
ファイル名 得意先マスタ・ファイル			1 1 1 1 1 1 1 1 1 1 1 1 1 1 1 1 1 1 1	
注 24 収	5 的 啊	9 0 17 Ni	铁	经
2 3 4 5 6 7 8 9 10 11 12 13 14 15 16 17 18 19	R	1 fij 1 fiz fiz fiz 7 th C 22 22		
		32 33 34 35 36 37 38 39 40 41 42 43 44 45 46 47 48	8 49 50 51 52 53 54 55 56 57 58 59 60 61 62 63 64 65	66 67 68 69 70 71 72 73 74 75 76 77 78 79
2020/1*	"XX.5.7.5.N.,1.7.5[c],-		- 	
	OKREC	╵┈┍ ┼┩┵╂╏┶┷┨┷┷		
	KTOKCD.	, ,5A , , , TEXT	(TOKULSAKI CODET	\ \ \ \ \ \ \ \ \ \ \ \ \ \ \ \ \ \ \
2 0 5 0 A T	KTOKNA, ,		(TOKUISAKI MEIT)	^
<u> </u>				

図 6. 得意先 マスタファイル

データ定義仕様審

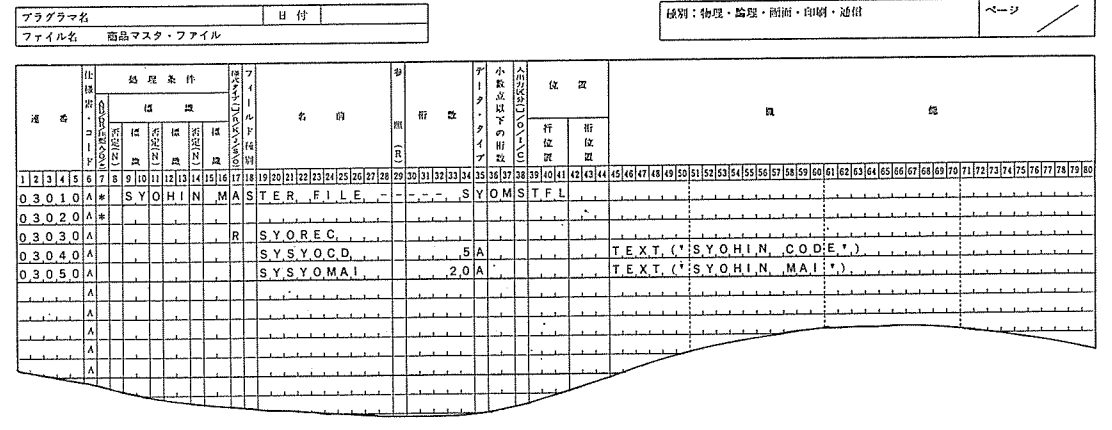


図 7. 商品 マスタファイル

データ定義仕様書

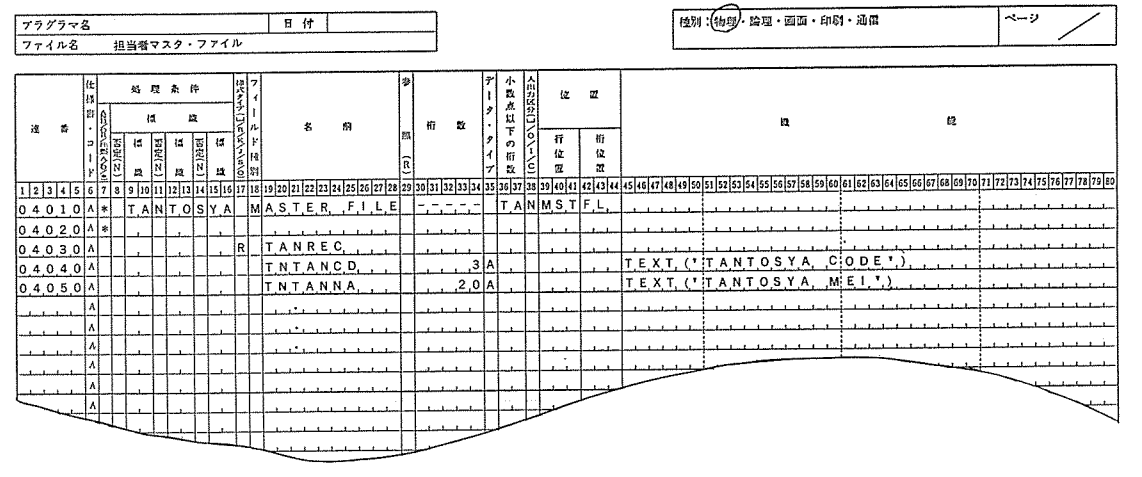


図 8. 担当者 マスタファイル

データ定義仕様書

ブラグラマ名		日付日				極別:物理 (論理)・前面・印刷	・近日 ページ
ファイル名 売上集計	ファイル						
作 处理	条件 ペイール	表 新 · · ·	桁 数・	小数点以下	(E. ZI	ea.	識
1	(1 to 1 1 1 1 1	R R	9 1 7	6 Hi	ff fii (2 (2 77 22		cr calculation at 18 ca calculation 12 12 12 12 12 12 12 1
	1 12 13 14 15 16 17 18	9 20 21 22 23 24 25 26 27 28 29	30 31 32 33 34 35	16 37 38 3	9 40 41 42 43 44	12 46 47 48 49 50 51 52 53 54 55 56 57 58 59 59	61 62 63 64 65 66 67 68 69 70 71 72 73 74 75 76 77 78 79
1.0.0.1.0 A * U.R.I	A G E SYU	K.E.I., F.I.L.E.,	-,-,-,UR	IKEI	FL		
00201*	<u> </u>						OKMST. L, SYOMST. L, +
00304	, R	U.R.I.A.R.E.C.				TANMST. L)	N M 3 1 , E , 3 10 11 3 7 . E 3 7 .
00401				-		I AN MS J. L.	
0.0504		U,R,T,O,K,C,D,					
00504		U.R.T.O.R.D.Y.					
0070A		T.K.T.O.K.N.A.					
1.0.0.8.0 /		U.R.S.Y.O.C.D. , ,					
00904		S.Y.S.Y.O.M.E.I.					
01004		U.R.T.A.N.C.D.					
101104		T.N.T.A.N.N.A.					
10120A		U.R.S.U.R.Y.O					
101304		URTANKA.		_,			
0.1,4,0 4		U.R.K.I.N.G.					
0.1.5.0 A*							
1.0.1.6.0 ^ ,		T,K,T,O,K,C,D, (T,O,K	MST.L)			D, (,U,R,I,M,E,I,,L,),,,,,,,,,,,,,,,,,,,,,,,,,,,,,,,	
101704		S.Y.S.Y.O.C.D. (S.Y.C		,=	URSYOC	D (URIMEI. L)	
101804	 	TNTANCD (TAN	MST. L)	,=	URTANC	D (URIMEI.L)	<u> </u>
101904*	 						
1.0.2.0.0 ^	S	U.R.T.A.N.C.D.		,		RANGE (*100 * , *300	*,),,,,,,,,,,,,,,,,,,,,,,,,,,,,,,,,,,,,
1,0,2,0,0 m	 						<u> </u>
						1	
	┥┷┼┼┷┼╌	-1					
							

図 9. 売上集計 ファイル

を簡単に説明する。

- ・7 欄:「*」は コメント 行であることを示す。
- ・17 欄: 「R」は レコード様式名, 「△」は項目名の指定であること

を示す。「J」は左 辺の項目を第一値 として右辺の項目 に結合することを 示す。

「S」は特定の値の データを選択することを示す。

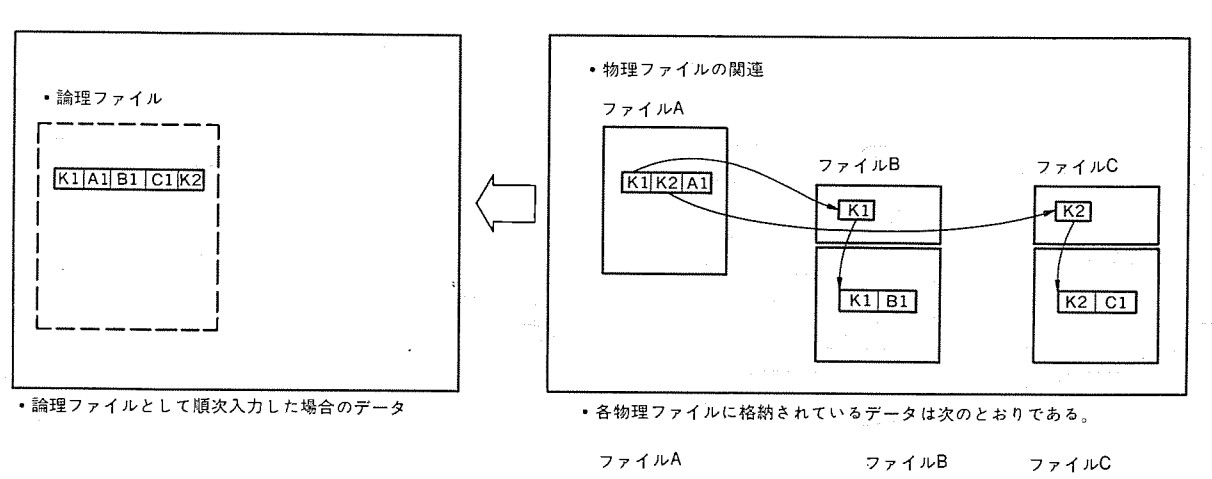
- ・35 欄:「A」は英数字、 カナ・タイプの項目であることを示す。「S」は ゾーン 10進数であることをとを示す。
- 45欄: TEXT は レコード名, 項目名の注釈
- (注) データ定義ファイル名の後2文字は「.L」にする。

ブレーショナル 形データベースで のデータ処理方式

アブリケーションプログラム で RDB を扱う場合は, 論理ファイルを使用して 処理すればよい。表 1. は論理ファイルの処理で 使用できる アクセスマクロ であり, これは ファイル 処理で使用するマクロ と同じである。

図10.は、Join した 論理ファイルを処理した 場合、論理ファイルとして実際に読み込まれる データを示したもので ある。 この例ではファイルAのK1をファイルAのK1をファイルAのK2をファイルCのK2にリンクしている。 なっ データは図のこれに にっこうに 変した いる データ はとする。 このように 定順次入力で調かして にっている でに このように に に このように に に このように に に このように だいる データル を順次入力で読

み込んだ場合,論理 ファイル として読み込まれる データ を図の左側に示す。 APP では左側に示す 1 個の ファイル に対して処理を行えばよい。 このように APP 側では物理 ファイル 同志の リンク 付けに対して意識する必要がないので プログラム 作成が容易になる。



								,	ファイル	A			ファ	イルB		ファ・	イルC
K1	A1	В1	C1	K2					K1	K2	A1		K1	В1		K2	_ C1
X10	A1	B11	C21	20	1回目	入力		ĺ	X10	20	A1]	X10	B11]	20	C21
//	//	//	C22	//	2 //	//			X40	40	A2	1	X10	B12	i	20	C22
//	//	//	C23	//	3 //	//		l	740]	X10	D12			622
//	11.	//	C24	//	4 //	//							X10	B13		20	C23
	//	B12	C21	11	5 //	//							X20	B21		20	C24
//	//	"	C22	11	6 <i>//</i>	//							V00				
//	//	11	C23	//	7 //	//							X20	B22		30	C31
//	//	//	C24	11	8 //	//							X40	B41		40	C41
//	//	B13	C21	//	9 //	//							X50	B51		50	C51
//	//	11	C22	"	10 //	//										- 30	031
//	//	//	C23	//	11 //	//											
//	//	//	C24	//	12 //	//											
X40	A2	B41	C41	40	13 //	//		1									
					14 //	// E	EOFもどり										

図 10. 論理 ファイル の データ

表 1. 論理 ファイル での アクセスマクロ

アクセスマクロ	機能概略	顧女	1. 理	乱処理	
	104 HE PA PSI	1:1	1 : n	1:1	1:n
オープン (OPEN)	指定された論理ファイルをオープン し、関連する物理ファイルをすべて オープンする	0	0	0	0
クローズ (CLOSE)	オープンしたすべての物理ファイル をクローズする	0	0	0	0
入 カ (REA5)	論型ファイルの定義に基づいてレコ ードを入力する	0	0	0	0
同一キーの入力 (READ NEXT)	同一キーのレコードを入力する	0	0	0	0
出 カ (WRITE)	論型ファイルの定義に基づいてレコ ードを出力する	0	×	0	×
更 新 (UPDATE)	入力マクロで入力されたレコードを 更新する	0	×	0	×
削除 (ERASE)	入力マクロで入力されたレコードを 削除する	0	×	0	×
位置決め (POINT)	顧処理でのキー値あるいはレコード 番号による位置決め	0	0	_	

注 1:1 → 一つの物理ファイルに対して一つの論理ファイルの定義を行った場合 1:n → n 個の物理ファイルに対して一つの論理ファイルの定義を行った場合

8. ディスクボリュームの構造

リレーショナル 形 データベース の実 データ は、磁気 ディスク 上に格納される。 磁気 ディスク 装置は物理的な単位である 装置 ごとに 記憶単位が分割 されるが、 DPS 10 では操作性を良くするため ディスク 上の ファイルに 対しては物理的な装置を意識することなく、単一の ディスク として扱うことができる。 図 11. は ディスクボリューム の基本的な要素である物理 ボリューム と論理 ボリューム、ファイルシステム の関連を示した もの である。

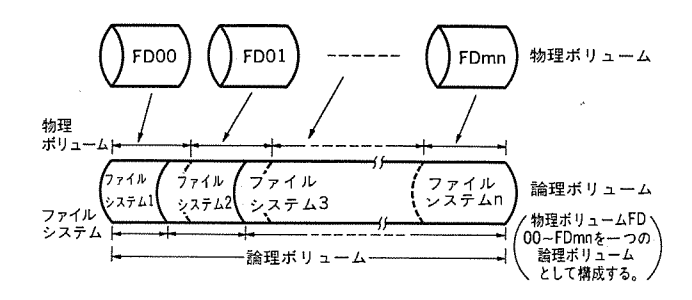
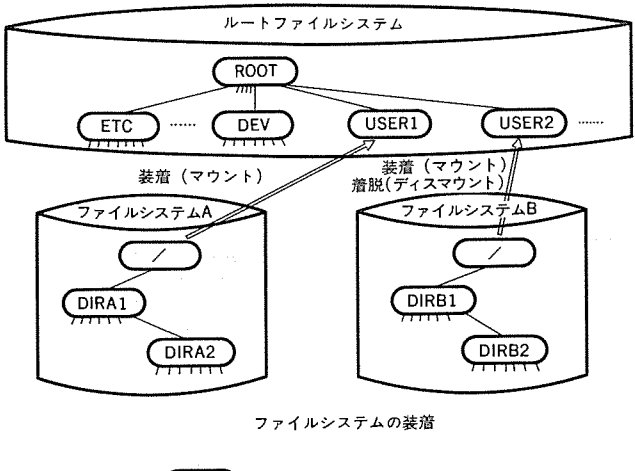


図 11. 物理 ボリューム, 論理 ボリューム 及び ファイルシステム の関係

- ・物理 ボリューム:物理的な単位である個々の磁気 ディスク
- ・論理 ボリューム:複数物理 ボリューム を最大 16 個まで、合わせて一つの論理的な ボリューム を作ることができる。
- ・ファイルシステム:論理ボリュームを一つのボリュームとして扱うことも可能であるが、論理ボリュームの中を幾つかの領域に分割し、分割した単位で領域の管理ができるようにしている。分割した一つの単位がファイルシステムであり、これが一つの論理的なボリュームと考えることもできる。ファイルシステムは一つの論理ボリュームに最大15個まで作ることができる。複数のファイルシステムを単一のディスクとして扱えるように、以下に記述するディレクトリと呼ぶ概念を導入している。

図 12. は各 ファイルシステム を実際に運用する場合の例を示したものである。 ルートファイルシステム は、 DPS 10 システム として供給されるファイルシステム である。 各 ファイルシステム の頭に ルートディレクトリ(図 中「/」で表す)が存在する。 DPS 10 システム としては、ルートファイルシステム の ルートディレクトリ が最上位の "ルートディレクトリ" になる。 ルートファイルシステム 以外の ファイルシステム は、 この "ルートディレクトリ"の下の ディレクトリ に装着して使用する。



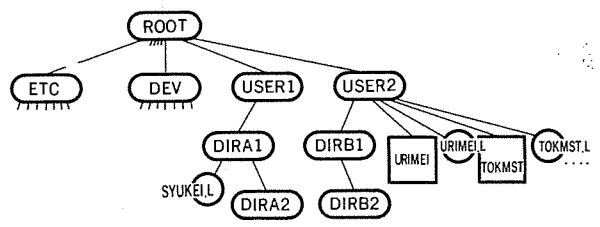


図 12. ディレクトリ の論理的関係

各ファイルシステム の ルートディレクトリ は、ファイルシステム 生成時に作られる。 その下の ディレクトリ は必要に応じて必要なだけ作ることができる。ファイル は、これらの ディレクトリ の下に作られる。例えば、図 4. の論理 ファイル を「DIRA1」の下に、物理 ファイル を「USER2」の下に作る場合を図 12. の論理的関係に示す。物理 ファイル の データ 定義 ファイル のある ディレクトリ の下に作る。論理 ファイル の データ 定義 ファイル は、どの ディレクトリ の下に作る ことも可能である。

9. エンドユーザー向け言語 DUET

DUET は計算機と会話しながら簡単な操作だけで RDB を処理する業務 プログラム の作成、実行ができる エンドユーザー 向け言語である。 次に DUET の特長をあげる。

- (1) 画面と会話形式で業務 プログラム を作成、修正、実行できる。
- ・決められた処理パターンに業務を合わせる形式でなく、画面から簡単なパラメータを入力することにより汎用的な業務を行うプログラムが作成できる。
- ・DUET の中で対象となる データベース の項目選択 (射影), レコード抽出 (選択) を定形処理として容易に行える。
- ・業務処理の中で必要項目の集計や出力項目の分類(ソート)などの 定形処理を行うことができる。
- ・作成した業務プログラムは、中間言語として登録できるので、実行や修正作業が容易である。
- (2) コマンド形式による業務プログラムの作成ができる。
- ・メニューによる会話形式のほかに簡単な処理コマンドを用いて業務 プログラムを作成することもできる。会話形式に比べ熟練者向きである。
- (3) 簡易印刷, 簡易表示機能が提供されている。
- ・標準的な形式でファイルの内容を印刷したり,画面上に表示する場合はプログラム作成を行わずに標準的な枠取りで出力できる。
- (4) ファイル, 帳票の形式を プログラム 作成とは独立して行える。

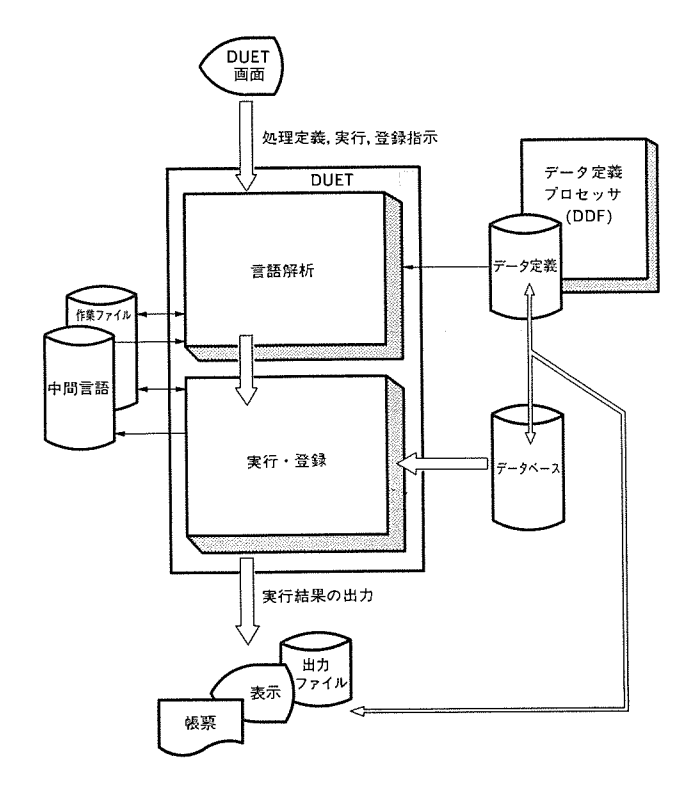


図 13. DUET の処理の流れ

- ・ファイル、帳票に出力する形式は データ定義 プロセッサ を使用することにより プログラム 作成とは独立して行える。
- (5) 短時間で実務的な プログラム の作成, 実行ができる。
- ・一般 プログラム 言語で行う フローチャート 作成や コーディング などの作業 は不要である。判断や制御の分岐 などの プログラミング 技法も不要である。

図 13. は DUET の処理の流れを示したものである。

10. む す び

従来,データベースといえば CODASYL 形のものが主流であった。 我々も国産の小形計算機では初めて昭和 53 年に M 80/38 上で「D MS-3」を開発している。CODASYL 形 データベース は データ 構造が 簡単で効率の良い反面, データ 同志の関連付けを ディスク 上に書き込 むため データ 構造に対する柔軟性が少ない。 そのため開発の初期に 十分 システム 設計をしておく必要がある。

しかし RDB では \vec{r}_{-9} 同志の関連付けを実行時に行うので,柔軟性が大きく \eth 2 π 5 変更が容易になる。とのように操作上,処理上の利点が注目され最近小形計算機上で稼働する RDB \eth 2 π 5 が多く世に出つつある。

DPS 10 RDB システムでは、RDB の理論に固執することなく従来のファイル処理の考えを、そのまま踏襲して利用できるという考えやすさ、扱いやすさを重点に開発してきた。 更に「DMS-3」で培ってきた長年の経験を生かして、オフィスコンピュータとして操作性の良いデータベースシステムをめざした。今後更に改善を加え、より操作性の良いシステムを実現してゆく所存である。

参 考 文 献

- (1) 渡辺ほか:三菱電機技報, 57, No. 8, p. 6 (昭 58)
- (2) 小碇:「データベース入門」, 啓学出版(昭58)

漢字プリンタによるバーコード印刷システムBARGEN

黒川幸則*・土谷昌晴**・角谷 徹**

1 まえがき

最近スーパーマーケットなどで商品にバーコードが印刷されているものが急速に増えてきた。商品に印刷されているバーコードはソースマーキッグと呼ばれ、白と黒の細い線の組合せにより、その商品がどこのメーカーの何という商品名かがわかるようになっている。したがってキャッシャーにバーコード読取り装置を備えておき、価格の情報を入力しておけば即座に会計ができる。これをPOSシステム(Point of Sale)という。このPOSシステムは会計のみならず、商品の売行き状況の把握、在庫管理、発注管理まで結びつけることができ、流通業界のシステム化の有力な手段として各方面に普及しつつある。

この背景には、バーコードの シレボルマーク の全世界的な統一化の動きがある。現在アメリカでは食品・雑貨用品の UPC (Universal Product Code) と衣料品の UVM (Universal Vender Marking) が制定されている。 また ヨーロッパでは UPC と共通性のある WPC (World Product Code) を基本とした EAN (European Article Number) がある。一方,日本では昭和53年に WPC を基本とした JAN (Japanese Article Number) が制定された。ことに紹介する バーコード 印刷 システム BARGEN (Bar-Code Generator) は、このような流通業界の動向を受け、当社が開発して某社に納入し、現在順調に稼働している。

ことでは、この システム の システム 構成及び ソフトウェア の機能について述べる。

2. 概 要

BARGEN は、当社日本語処理の技術的蓄積をベースに客先の経験をミックスしてシステム開発したものであり、これまて個々のバーコードの種類別に、また同一バーコードでも仕様が異なると、専用のバーコード印刷機が必要であったものを統一的に取り扱えるようにした。また、従来漢字 プリンタで バーコード を印刷する場合は、 個別にアプリ

ケーションプログラム を作成していたものを、プログラム を意識せず簡単なパラメータ 指定だけで編集処理ができるようにした。

開発に際して設定した基本方針は次のとおりである。

- (1) 多種多様な バーコード に対応できること。
- (2) 高速編集処理,高速印刷が可能であること。
- (3) 新しい規格のバーコードにも柔軟に対応できること。
- (4) エンドユーザー が容易に使えること。
- (5) 同時に日本語処理が行えること。

BARGEN の データ入力, 編集処理, 出力の概要を図 1. に示す。

3. ハードウェア構成

BARGEN は、当社の汎用計算機《MELCOM-COSMO シリーズ》又は $_{3}$ は $_{2}$ がミニ 《MELCOM 70 シリーズ》と漢字 ブリンタ M 8270 上で動作する。必す(須)入出力機器としては、磁気 $_{7}$ テープ 装置、日本語 $_{7}$ クークステーション 装置であり、 $_{7}$ パードウェア 構成例を図 2. に示す。

4. ソフトウェア構成

バーコード 印刷 システム BARGEN は、図 3. に示すように基本 ライブラリプログラム と プロセッサプログラム の二つに分類される。

(1) 基本 ライブラリプログラム

ューザーの作成する応用 プログラム に ライブラリ として組み込まれ、バーコード 変換及び帳票設計を容易にする各種の機能を提供する。 すなわち、応用 プログラム からの要求に従って バーコードの プリントイメージ を作成する。

(2) プロセッサプログラム

簡単な パラメータ により, バーコード 及び漢字 ブリンタの コマンド を意識することなく, バーコード の ブリントイメージ 作成を目的とした インタブリタ形式の ブロセッサブログラム である。

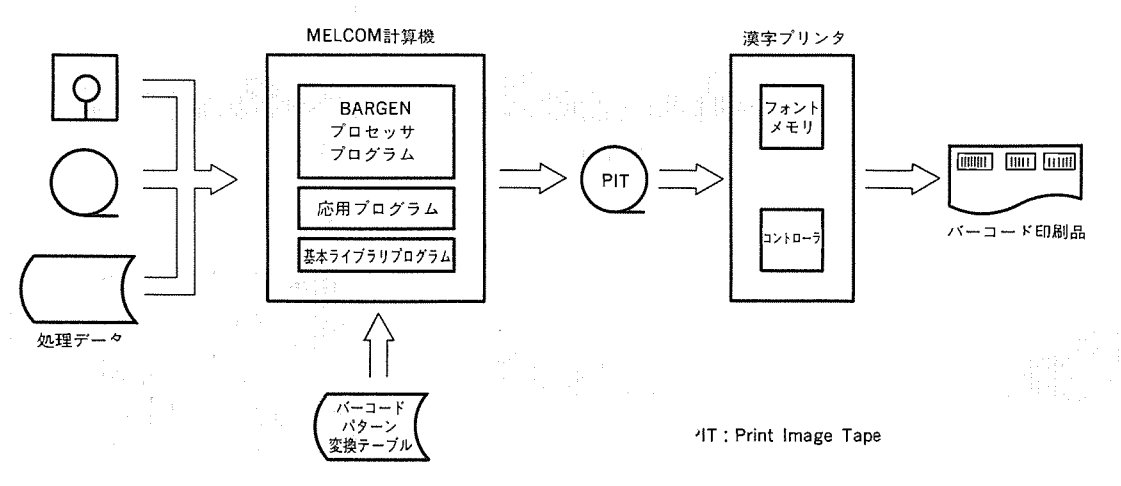
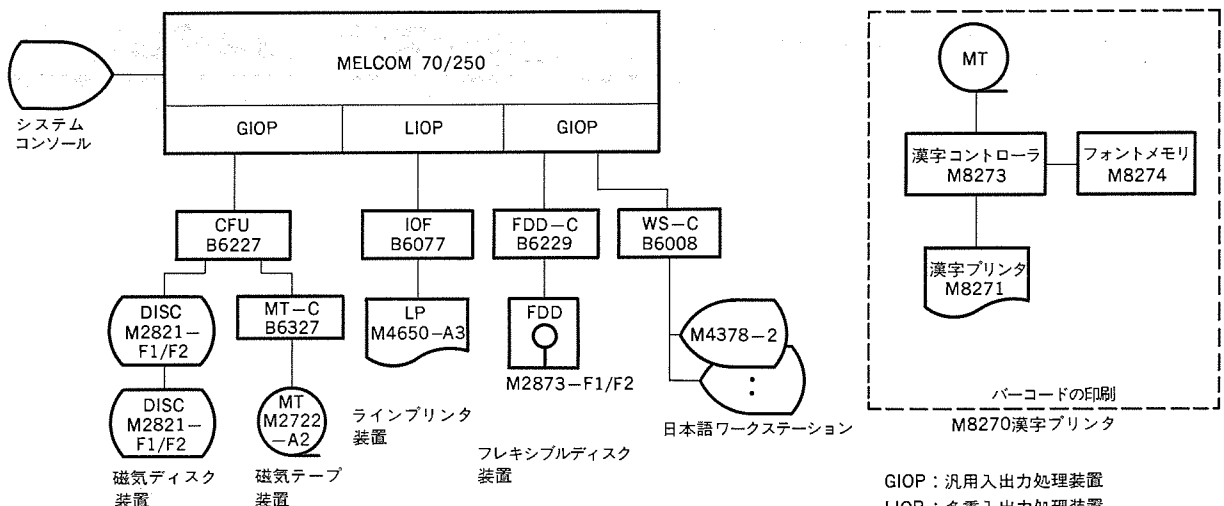


図 1. BARGEN 処理の流れ



LIOP:多重入出力処理装置 CFU :複合ファイル制御装置

図 2. バーコード 印刷 システム の ハードウェア 構成例

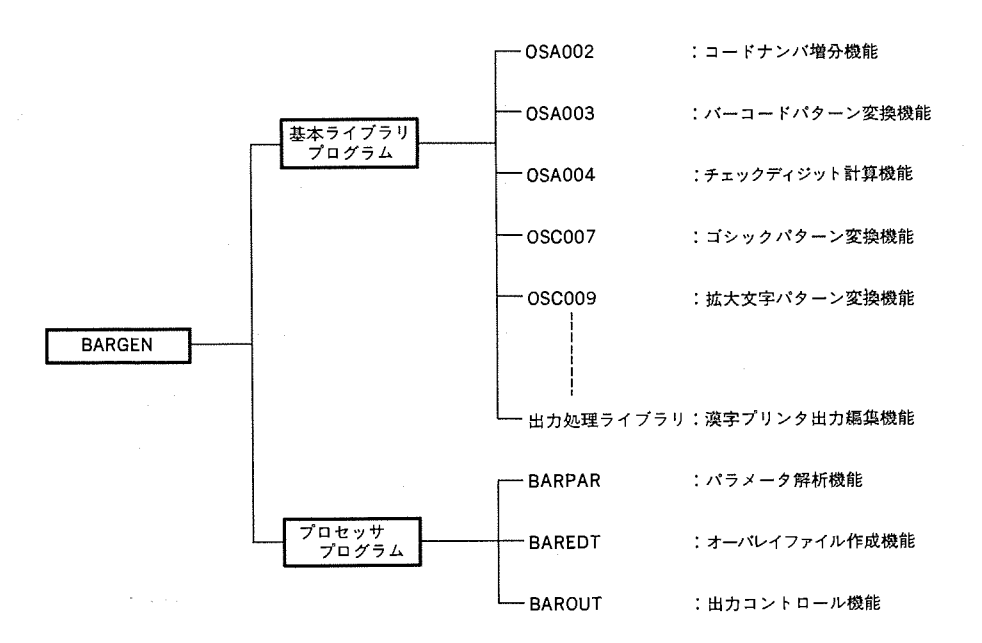


図 3. BARGEN の ソフトウェア 構成

5. ソフトウェア機能

5.1 基本ライブラリ機能

基本 ライブラリ 機能には、 バーコード 編集機能 と出力編集機能の二つがある。 バーコード 編集は、 処理する コードナンバ を バーコード に変換するまでの編集を行う。出力編集は、 漢字 プリンタ に出力可能な イメージ の 作成(文字 フォント、プリントイメージ など)を行う。

5.1.1 バーコード編集機能

(1) バーコードパターン 変換機能

処理する コードナンバ(商品 コード など)を バーコードパターン に変換する。 変換 バーコードパターン は、JIS 規格及び各社読取り 装置対応 規格に基づき許容範囲内に設計したものであり、次に示す 9種類を提供する。

JAN(JIS), IBM ¬¬¬; NW¬7, 東芝 ¬¬¬¬; パナ¬¬¬¬; "FACOM" ¬¬¬¬; MSI ¬¬¬¬; ¬¬¬¬¬ 39, 三菱 ¬¬¬¬;

FACOM

I BM



3 4 5 6 7 8 9 0 1 2

3 4 5 6 7 8 9 0 1 2

MSI



9081726354476

NW-7



3 4 5 6 7 8 9 0 1 2

東芝



3 4 5 6 7 8 9 0 1 2

図 4. バーコード 印刷例

JIS



JIS

10123454

(2) チェックディジット 計算機能

チェックディジットの計算を行い コードナンバ に付番する。 バーコード には, コードナンバ の入力及び読取り ミスを防止する ために, チェックディジットが設けられており, 計算方式は バーコード, けた(桁)数などにより異なる。

チェックディジット 計算方式は、次に示す6種類を提供する。

7 チェック(DR/DSR), モジュラス 10

9 チェック(DR/DSR)、モジュラス 11

11 チェック(DR) , コード 39 チェック

(計算例)

コードナンバ の各桁に係数をかけ、その各桁の数字の合計を 10 で割り、余りを チェックディジット にする。

JAN の場合,係数は 31 で 31 で 31 で 31 で 31 の各桁に係数をかけた合計で次の計算をする。

3 7 1 5 6 ← コードナンバ

 \times \times \times \times

2 1 2 1 2 ← 係数

 $6+7+2+5+1+2 \longrightarrow 23$

 $23 \div 10 \rightarrow 2$ 余り 3 $10-3 \rightarrow ⑦$ チェックディジット

5. 1. 2 出力編集機能

(1) ゴシックパターン 変換機能

コードナンバの印字などの ゴシック 文字は、バーコード印刷に必要であり、ゴシックパターン(英数字)の変換を行う機能をもっている。

(2) 拡大文字 パターン 変換機能

商品名,金額の印字などの拡大文字は、一般帳票と同様に バーコード 印刷においても必要であり、全角文字 (32×32 ドット) の拡大を行う 機能をもっている。

表 1. BARGEN の パラメータ 体系

バラメーラ	内容
* JOBID	ジョブ ID を宜言する
* CONTROL	出力帳票フォーマットの規定を宣言する
BAR	パーコードの種類を指定する
TANGO	単語変換の種別を指定する
RCOPY	コピー回数を指定する
PSIZE	1 ページのスプロケット穴数を指定する
HPOSI	横方向の配置を指定する
VPOSI	綴方向の配置を指定する
* FIELD	印字フィールドの指定を宜言する
FXXX	印字フィールドを指定する
* RECORD	入力データの指定を宣言する
REC	入力データのレコード長, ブロック長を指定する
MAN	パラメータにより入力データを発生させる
SEL	選択条件を指定する
PCHG	改ページ条件を指定する
* END	パラメータの終了を宣言する

(3) データ 編集機能

漢字 プリンタ の コマンド 変換, データコード 変換 (JIS 8 to EBCDIC ユード, ASCII to EBCDIC ユード), データ 配列編集 (8, 12, 24 文字配列編集), 外字処理などの機能がある。

5.2 プロセッサ機能

プロセッサ は、バーコード 及び漢字 プリンタ の コマンド の取扱を簡単にし、表 1. に示す パラメータ で帳票設計から プリントイメージ を作成する。

表 2. 機能一覧

項	目	内 容	備考
バーコー	ドの種類	 ① JAN 標準/短縮バージョン ② NW-7 ③ パナコード ④ MSI ⑤ IBM ① 東 芝 ⑦ FACOM ⑥ コード 39 ① 三 菱 	
拡大	文 字	倍率 1×1, 2×1, 2×2	最大 52×28 ポ
タッ	ク数	最大 20 列(横)×30 行(縦)	
= E		行方向コピー可	最大 999 回
タック	内配置	① バーフィールドと拡大フィールド 合計は最大 25 フィールド ② 通常のデータフィールドは最大 1 フィールド	
182 SE	指定	l mm 単位で指定	タック配置, タッ ク内配置
フィール)	ド配置編集	① 単純転送② 左詰め③ 右詰め④ 均等配置	A B C A A A A B C A B C A A A B C
数值	編集	①Z編集 ②×編集 ③Z, 編集 ④¥, 編集	
文字サ	トイズ	6,7,8,9,10,12,14ポ インチ10字	
書:	体	明朝/ゴシック	ゴシックは英数字のみ
変形:	文字	①全角 (32×32ドット) ②半角 (32×16ドット) ③平体 ④長体 ⑤バー体 (バー体は8,9,12ボの縦) が26ポである	① ② ② ② ② ③ ③ ③ ③ ③ ③ ③ ③ ⑤ ⑤ ⑥ ⑥ ⑥ ⑥ ⑥ ⑥ ⑥ ⑥ ⑥ ⑥
			27(

表 2. つづき

項 目	内容	Cit	考
縦・横 印 字	級書/橫書		
単 語 変 換	フィールド全体を単語変換する。		
コード変換	フィールドの一部をコード変換する。		
コントロール機能	① 改ページコントロール ② レコード選択		
チェックディジッ ト計算	 ① 7チェック DR/DSR ② 9チェック DR/DSR ③ 11チェック DR/DSR ④ モジュラス 10 標準/JAN ⑤ モジュラス 11 ④ α 39 チェック 		
入力データ	 ① EBCDIC コード ② ASCII コード ③ JIS 8 コード ④ 漢字コード (MELCOM 標準コード) 		

```
*JOBID
           PRICE CARD SAMPLE
*CONTROL
BAR
            N W 7
                         C07.DSR.S=A.E=A
 PRIZE
            22
 TANGO
 RCOPY
HP051
            010.160.02
 VP0S1
            010.110.02
*RECORD
            0025 010 F
 REC
*FIELD
                              010 020 007/A 0020 006
 F001 M
            1222 M N2
                              075 020 001/01-02 K(円)
025 045 008/A 0001 005
025 060 008/A 0001 005
            1222 M
12031
 F002 M
 F003 B
F004 B
            12021
 F005 N 12
F006 A 12
F007 KH 14
                           C 030 070 005/A 0001 005 0003 001 085 035 014/A 0006 014 T 085 047 007/A 0001 005
                    ME3
                              090 070 008/01-02 K(三菱電機株式会社)
 F008 KHL14
*END
```

図 5. BARGEN の パラメータ 例

ユーザー は、簡易 パラメータで作成するため プログラム を意識することなく作成できる。機能一覧を表 2. に示す。

(1) 出力 コントロール 機能

帳票は 1 mm 単位で設計可能で、出力の コントロール は、タック、ページ 管理で行っている。帳票設計した パラメータ 例を図 5. に示す。

(2) アレー 機能

 $g_{n/2}$ 紙の面付けを行う r_{U-} 機能は、 $g_{n/2}$ 数 20() \times 30()) 面付け 1 mm 単位で配列可能である。

(3) 出力 データ 配置編集機能

出力 \vec{r} = \vec{r} の配置編集として, 左詰め配置,右詰め配置,均等配置を \vec{r} = \vec{r} = = \vec{r}
バーコード, 拡大文字 フィールド……最大 25 通常の データフィールド ………最大 100 である。

(4) 多種多様文字機能

印字文字 サイズ は、6,7,8,9,12,14 ㎡ (ポ=0.35 mm) インチ 10字で,拡大文字 サイズ は、16,18,20,24,28 ㎡ である。また、特殊文字として、半角(32×16 デット)、長体(全角の30% UP)、平体(全角の30% Down)、バー体(縦方向26 ㎡)の印字が可能である。書体は、明朝、ゴシック(英数字)、バーコード、OCR-Bの印字が可能である。

(5) 単語変換機能

コードナンバ 化された商品名などの情報を、 単語 テーブル をもとに印字する機能である。

6. 適 用 事 例

BARGEN は主に次のような分野に適用されている。

- (1) メーカー の生産管理,入出庫,在庫管理 例:パーツリスト,工程仕分け(製造 ライン)
- (2) 小売業の発注,在庫,仕入れ,物流管理 例:棚 ラベル, 商品名 (JAN)
- (3) 運送業の集荷,発送,問合せ,自動仕分け 例:配送伝票, ゲート 仕分け
- (4) 倉庫業の入荷, 在庫, 出庫, 自動仕分け 例: 配送伝票, ゲート 仕分け
- (5) 現像所での顧客管理, 生産管理

例:預り伝票,袋

(6) 図書館の貸出し管理

例:図書 ラベル, 図書目録

(7) 病院での分析結果の テータ 入力, カルテ の管理, 診察 カード 例:血液型, 傷病名, 処置内容

7. む す び

BARGEN は当社で開発してきた各種 ライブラリ を統合し、より汎用的なシステムとして構築したものであり、以上のような構成からなっている。多種多様な バーコード に対応できる汎用性、高速処理、操作の容易化を実現している点、今後ますます拡大、多様化する市場の需要にこたえていくものである。

松尾龍一*・張間寛一*・島崎政光*・高橋広成*・秦

1. まえがき

半導体集積回路素子は、高速化・高集積化の道を着実に歩んできた。なかでもメモリ素子の集積度は、約1.5年で2倍というハイスピードで大容量化が進んでいる。MASK-ROM (Mask Programmable Read Only Memory) においても、当社は16K、32K、64K(2機種・24ピッと28ピッタイプ)、128Kビットの容量の機種を開発し市場に供給してきた。近年、MASK-ROM はその高性能化・高信頼化・コストダウンにより幅広くマイクロプロセッサシステムに組み込まれ、ROM 市場をEPROM (Erasable and Programmable Read Only Memory)と2分する地位を確保し、その消費量は急増加している。

筆者らは、昭和 58 年に従来製品に比べ約半分の アクセスタイム を実現した高速 64 K ビットマスク ROM、更には128 K ビットマスク ROM を本誌で紹介したが、今回更に最新の微細化加工技術と低電力高速化回路設計技術を組み合わせて、高速動作を維持した上、2 倍の集積度をもつ高速大容量 256 K ビットマスク ROM "M 5 M 23256~×××P"を開発した(形名中の×××は、ROM の内容によって割り当てられる3 けた(桁)の10 進数である)。M 5 M 23256~×××P は、256 K ビット EPROM と読出し時互換性があり、更に 64 K・128 K ビットマスク ROM と比べると、新たな上位アドレス端子 A₁₃・A₁₄ は従来製品の無接続端子 26 ピッ・27 ピッ に割り当てられ、電源及びその他のコットロール 信号は全く同じ ピッ接続になっており、64 K・128 K ビットから 256 K ビットへの切換が極めて容易なものとなっている。したがって M 5 M 23256~×××P を用いることにより、スピードを遅らせることなく大容量化が可能でもステム性能を一段とグレードアップすることができる。

ここでは, 高速 大容量 256 K ビット マスク ROM "M 5 M 23256-×××P" について, その製品概要, 回路構成, 動作特性などについて紹介する。

2. M 5 M 23256-×××P の製品概要

今回開発した 256 K ビット マスク ROM "M 5 M 23256-×××P" の主 な特長は次のとおりである。

(1) 大容量 256 K ビット : 32,768 ワード× 8 ビット

(2) 高速 アクセスタイム : 最大 250 ns

(3) 低消費電力 : 動作時最大 400 mW

待機時最大 150 mW

(4) 広い電源電圧 マージン : $Vcc = 5 \text{ V} \pm 10\%$

(5) CE と OE の 2 ラインコントロール 信号で OR 接続が容易

(6) 全入出力端子は, TTL コンパチブル

(7) パッケージは、標準 28 ピッ DIL (Dual in Line) プラスチックパッケー=",

(8) ピン接続は,三菱 256 K ビット EPROM "M 5 L 27256 K" 又は相当品と読出し時互換性有り

256 K ビットマスク ROM "M 5 M 23256-××× P" と 256 K ビット

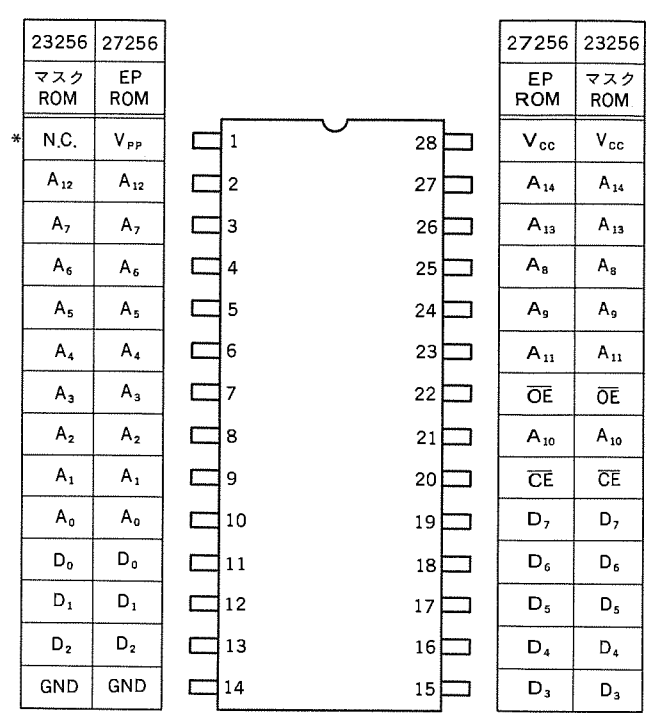


図 1. 256 K ビット マスク ROM と 256 K ビット EPROM の ピン 接続図

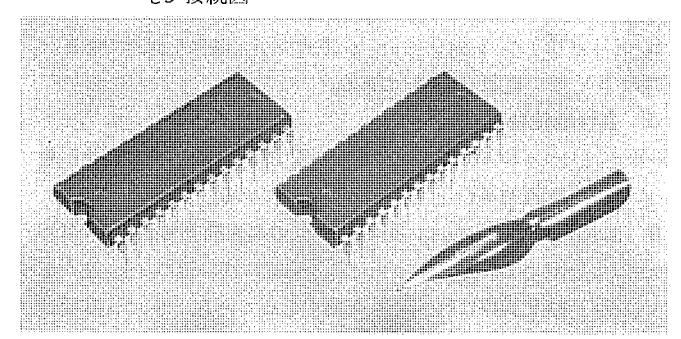


図 2. 256 K ビット マスク ROM "M 5 M 23256-×××P" の パッケージ 外観

EPROM 27256 を比較した ピッ 接続図を図 1. に示す。 相異点は,「*」 $\neg - 2$ のある 1 ピッ のみで 256 K ビット EPROM が V_{PP} で 256 K ビット $\neg 2 2$ ROM が N. C. $(J-\neg 3 2)$ のある。 256 K ビット $\neg 2 2$ ρ ROM の 1 ピッ (N. C.) には, いかなる入力信号が加わっても読出し動作に支障がないようになっている。 パッケージ 外形写真を図 2. に示す。

3. 回路構成と高性能化技術

3. 1 回路構成

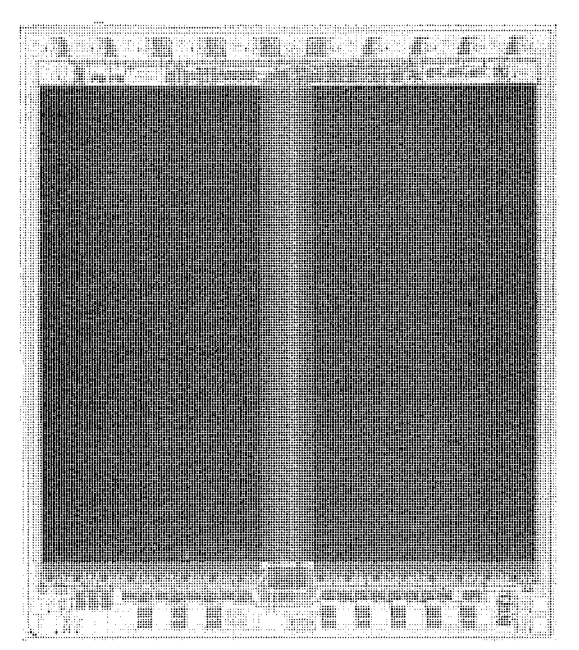


図 3. 256 K ビット マスク ROM "M 5 M 23256-×××P" のチップ 写真

表 1. 256 K ビット マスク ROM の技術的 ポイント

- ●ひ素のイオン注入によるソース・ドレインの形成
- $\oplus L = 2.0 \, \mu \text{m}, T_{OX} = 400 \, \text{Å}$
- ❷ブートストラップ回路
- ◎アドレスエッジトリガ回路
- ❷0V_{th} トランジスタ

モード制御信号としては,チップ 内回路全般の起動, 待機を制御する チップイネーブル 信号(\overline{CE}), 出力 バッファ を コントロール する アウトプットイネーブル 信号(\overline{OE})の 2 ラインコントロール 方式で バス 競合を回避できる。 電源は 5 V 単一電源(Vco) である。

3.2 高性能化技術

256 K ビット マスク ROM では、高速・低電力化 な ど の高性能化が表 1. に示した技術的 ポイント を用いてなされている。

第1に内部回路は、 $f+\lambda l$ 、長 $L=2\mu m$ の高性能 $Nf+\lambda l$ 形 MOS h ランジスタ を用いている。 ソースドレイン の形成にはひ素の 1 オン 注入を行い、 f-h 酸化膜厚は約 400 Å と薄くなっている。 シリコン 基板は、高抵抗のものを使用して接合容量を減少し、配線による遅延を少なくしている。

第2に内部回路で大きな負荷容量を充放電する必要がある部分には、ブートストラップ回路を全面的に採用している。との結果、メモリアクセス時に特に速い立上りを必要とするワード選択ラインや、スタンバイ時からチップを動作状態にする際、速やかな充放電を必要とするチップイネーブル信号系の応答が高速で行える。

第3 に アドレス入力信号の立上り、立下りを感知して内部回路の一部を ダイナミック 動作させる アドレスエッジトリガ 回路を内蔵している。 この結果、アドレスシーケンス 及び データパターン の アクセスタイム 依存性などをなくしている。

第4に内部回路の構成は、しきい値が約0Vのトランジスタをロードトランジスタとすることにより低電力化が可能になっている。これにより、ドライバトランジスタがONしても無駄に消費する電力は大幅に削減され、標準使用時 $200\,\mathrm{mW}$ と低消費電力が実現できた。

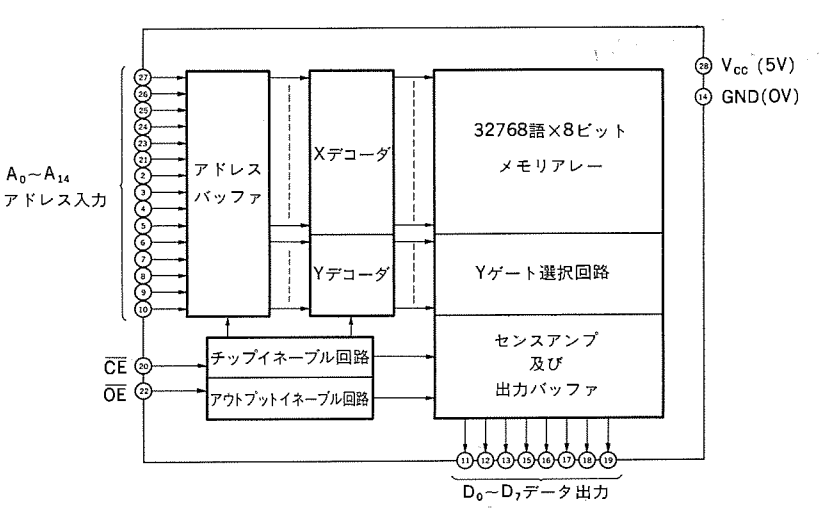


図 4. M 5 M 23256-×××P の ブロック 図

4. 動作諸特性

4.1 アクセスタイム

読出し動作は、 \overline{EC} と \overline{OE} 信号で コントロール する。 両信号を "L" レベル にすると、 選択された アドレス の情報が データ端子($D_0 \sim D_7$)に 現れる。 アクセスタイム は変化する入力信号により、 アドレス、 \overline{CE} , \overline{OE} アクセスタイム の 3 種類が 存在する。 標準 サンブル における電源電圧 (Vcc) に対する前記 3 種類のアクセスタイムの変化を図 5. に示す。 図 から電源電圧 5 V の アドレスアクセスタイム は 120 ns, \overline{CE} アクセスタイム は 130 ns, \overline{OE} アクセスタイム は 30 ns といずれも極めて高速である。 アクセスタイム の問囲温度依存性を図 6. に示す。 図から アクセスタイム の温度 による 変化量は、 アドレス と \overline{CE} アクセスタイム が $0.4 \sim 0.5$ ns /1 °C, \overline{OE} アクセスタイム が 0.1 ns /1 °C といずれも安定な動作をしている ととがわかる。

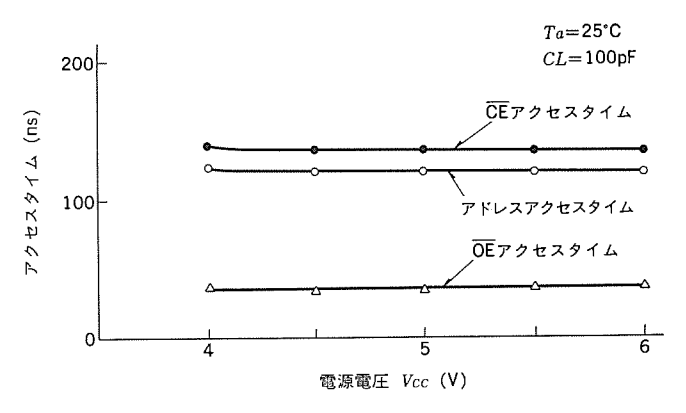


図 5. アクセスタイム の電源電圧依存性

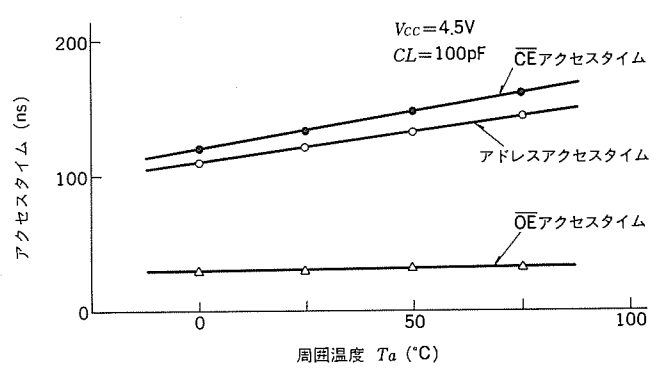


図 6. アクセスタイム の周囲温度依存性

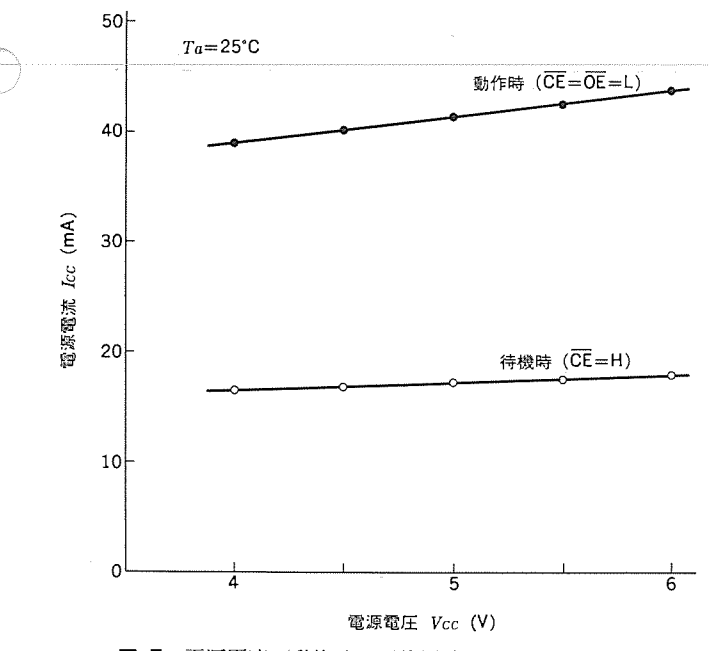


図 7. 電源電流 (動作時及び待機時) の電源電圧依存性

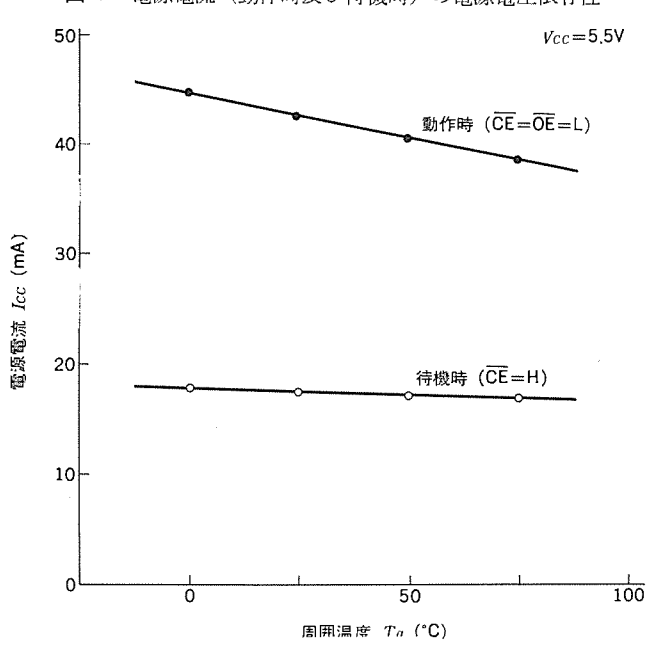


図 8. 電源電流 (動作時及び待機時) の周囲温度依存性

4. 2 D. C. 特性

電源電流(動作時及び待機時)の電源電圧依存性を図 7. に示す。 図から電源電圧 4 ~ 6 V において、動作時の電源電流は 38~44 mA で、待機時の電源電流は 16~18 mA である。 電源電流(動作時及 び待機時)の周囲温度依存性を図 8. に示す。 図から周囲温度 0 ~ 75°C において、動作時の電源電流は 45~38 mA で、 待機時の電源 電流は 18~17 mA である。 すなわち実使用における動作時の消費 電力は約 200 mW で、待機時の消費電力は約 85 mW と極めて低消

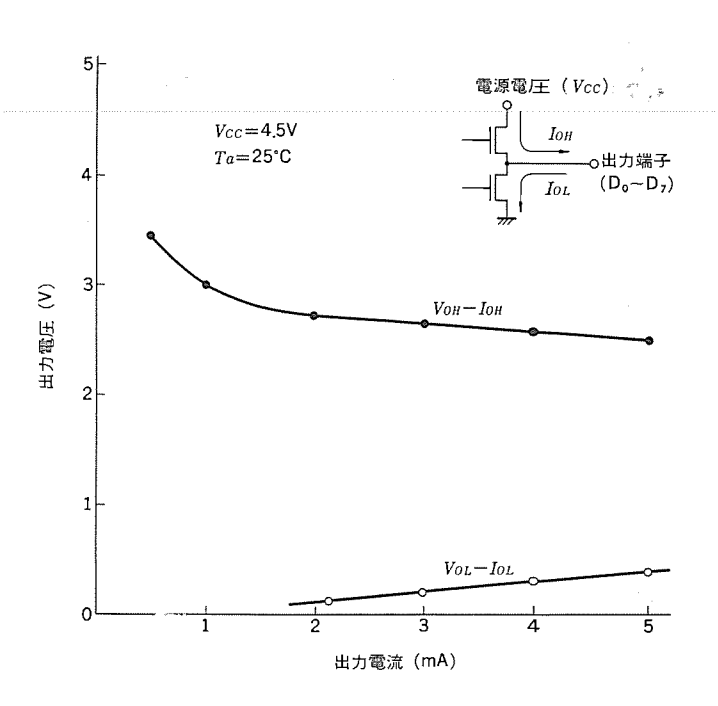


図 9. 出力電圧の (VoH, VoL) の出力電流 (IoH, IoL) 依存性

費電力となっている。

出力電圧(Vou, Vox) の出力電流(Iou, Iox) 依存性を図 9. に示す。出力電圧及び出力電流は、規格上 1 TTL コンパチブル であるが、十分な出力電圧と電流駆動能力をもっている。

5. む す び

マイクロプロセッサ の出現とともに、 その メモリ として発展してきた マスク ROM は、 大容量化・高速化・低消費電力化の道を歩んできた。 更に近年、ユーザー は システム の開発時に EPROM を使用し、 量産には コスト的に有利な マスク ROM を使用するという傾向があり、 EPROM と互換性が あり、 差し換えが可能である マスク ROM の要望が一段と強まっている。今回、 微細化プロセス 技術と低電力高速化回路設計技術を組み合わせて、 256 K ビット EPROM と読時互換性のある高速大容量 256 K ビットマスク ROM "M 5 M 23256-××× P"を製品化した。

今後は、既に開発着手している超微細化プロセス技術と革新的回路 設計技術を組み合わせて実現される $1\,M\,E_{vr}$ $7270\,ROM$ が製品化 されることになる。 更には $2\,M$, $4\,M\,E_{vr}$ $7270\,ROM$ の出現もそれほど遠くない将来に期待される。

参考文献

- (1) 松尾ほか:三菱電機技報, 57, No. 5, P. 398 (昭 58)
- (2) 外山ほか:三菱電機技報, 57, No. 11, P. 795 (昭 58)

8000V,1500A光トリガサイリスタとその特性

中川 勉*・庭山和彦*・吉田茂一*・清原豊彦**・宮嶋辰夫*

1. まえがき

年々増大する電力需要とそれを賄うための電源立地の遠隔化,大規模化に伴い,電力系統の広域運営の必要性がますます高くなりつつある。電力系統の広域運営に際し発生する系統上の種々の問題を解決する有効な手段として,直流送電の実用化が進められてきた。すなわち,1954年,スウェーデン本土とゴットランド島間で,世界で初めて水銀整流器を用いたバルブで直流送電が実用化されて以来,各国で開発,検討が進められ,我が国においても,当社が1970年にサイリスタを用いた140kVの直流送電用バルブを試作しい,この分野に先べんをつけて以来,各種直流送電機器の改良開発がなされ,新信濃周波数変換所や本州 - 北海道間で4kV,800~1,500A電気トリガサイリスタを用いた125kV,1,200Aサイリスタバルブの実用化運転がなされる段階にまで至っている(2)(3)。

このような、高電圧、大電流の直流送電の一層の普及を図るためには、高電圧 サイリスタバルブの信頼性の向上、コスト低減、コンパクト化が重要な課題である。これを実現するため、高耐圧大容量 サイリスタ 開発が強く求められている。更に、これら従来の電気 エネルギーで点弧できる光トリガサイリスタ は、主回路と制御回路間の電気的絶縁が容易で、耐ノイズ 性に優れ、かつ制御系の簡素化が図れるため、高信頼度化が図れるという大きな特長をもつことから、その高耐圧大容量化が特に強く期待されている。これに対し、当社が 1980 年に世界で初めて耐圧 4,000 V、電流容量 1,500 A の特性定格をもつ高耐圧大容量光トリガサイリスタとそれをトリガするための大出力 LED を開発のして以来、特に我が国において 6~8 kV、1,200 A 光トリガサイリスタの発表がなされるなどの、その実用化に向けた開発が推進されている。

今回, 直流送電用 バルブをはじめとする高電圧変換装置を対象とした耐圧 8,000 V,電流容量 1,500 A,最小光トリガパワー 7 mW 以下という世界最大の特性定格をもつ高耐圧大容量光トリガサイリスタ (形名: FT 1500 GU-160) とこの光トリガサイリスタを十分に ハイゲートドライブ できる ファイバ 端田力 100 mW 以上の大田力 LED アレーモジュール(形名: FU-52 LE)を開発試作した。図 1. に FT 1500 GU-160 と FU-52 LE の外観を示す。

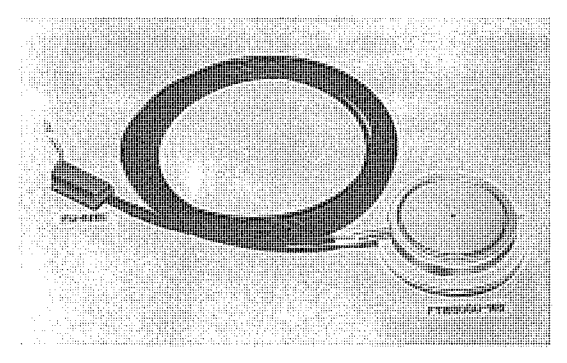


図 1. FT 1500 GU-160 と LED アレーモジュール の外観

ととでは、主として FT 1500 GU の開発に際して、重要な課題となった高耐圧化、 大容量化と光伝送系の高効率化に関する光トリガサイリスタ の ベーシックエレメント、光学系の設計と構造及び得られた特性について述べる。

2. ベーシックエレメントの設計と構造

2.1 高耐圧化と大容量化

シリコンの pn 接合の降服電界強度は、比抵抗によらずほぼ一定で、しかも印加電圧に対する空乏層の幅は比抵抗に依存する。そのため、サイリスタの高耐圧化を図るには、n ベース 層の幅を大きくし、電界強度を緩和することが必要である。しかし サイリスタ における n ベース 層幅の増加は、 オン電圧、ターンオフ 時間及び逆回復電荷を増加させることや スイッチング 損失が増加し、 臨界 オン電流上昇率 (di/dt 耐量) が低下すること、 高温時の漏れ電流が増えることなど、 サイリスタの諸特性の低下をもたらす。 また、大容量化を図るには、サイリスタを構成する シリコンウェーハ を大口径化することが必要であるが、大口径化するほど、ウェーハ面内で均一な少数 キャリヤライフタイム分布を実現することが困難になる。

すなわち、接合を形成するための不純物拡散工程における熱ストレスなどによって、ウェーハ 周縁から、結晶欠陥が導入され、周縁の n ペース 層中の少数 キャリヤライフタイム は短く、ウェーハ 中心部では長いという図 2. (a) に示す分布になりやすくなり、大口径化してもそれに見合った電流容量の増加が図れなくなる。 サイリスタ では、 ターンオフ 時間が n ペース 層の少数 キャリヤライフタイム の最も長い部分で決定されるのに対し、オン電圧は、 n ペース 層全領域の少数 キャリヤライフタイム の影響をうける。 したがって、図 2. (a) に示す従来素子は、比較的均一な少数 キャリヤライフタイム 分布をもつ図 2. (b) に示す素子に比べて ターンオフ 時間が同一であれば、 オン電圧が高くなるからである。 すなわち、大口径 ウェーハを用いた高耐圧、大容量 サイリスタにおいては、オン電圧と ターンオフ 時間との トレードオフを改善するために

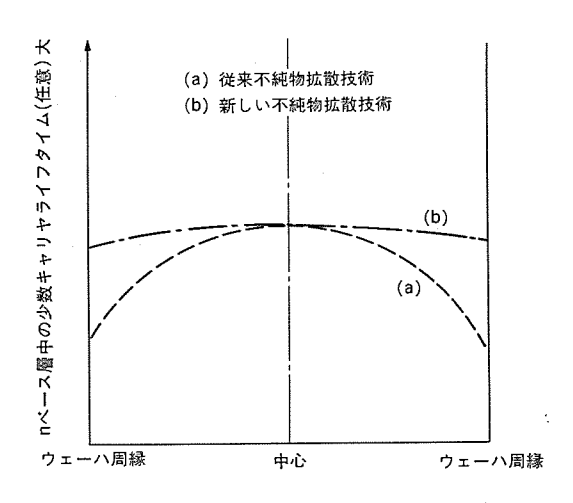


図 2. n ベース層の少数 キャリヤライフタイム の面内分布

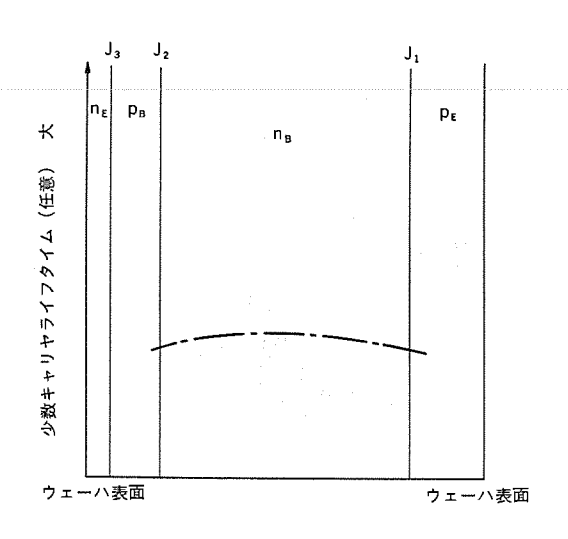


図 3. ウェーハ の深さ方向の少数 キャリヤライフタイム の分布

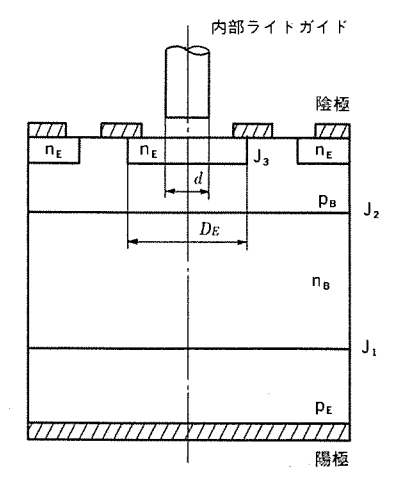


図 4. 受光部の モデル

は,図 2.(b)に示す ++リヤライフタイム 分布を実現することが必要となる。

今回開発した素子では、ウェーハ 面内の少数 キャリヤライフタイム 不均一性を軽減する不純物拡散技術を開発し、適用するとともに、更にその ターンオフ 時間と オン 電圧の関係を改善し、逆回復電荷と漏れ電流を低減するため、 図 3. に示す J₁, J₂ 接合近傍の少数 キャリヤライフタイム を短かく、しかも n ベース のそれを比較的長くできる ライフタイム 制御技術を適用している。また、高耐圧化に伴い増加する順回復電流の ターンオフ 時間に及ぼす影響を軽減して オン 電圧と ターンオフ 時間とのトレードオフを改善するため、ショートエミッタ 設計に改善を加え適用して、これら高耐圧、大容量化に伴う問題を解決し、耐圧 8,000 Vで、電流容量 1,500 A の特性定格を実現している。

2.2 最小光トリガパワーと dv/dt 耐量間のトレードオフの改善光トリガサイリスタ では、受光部に入射した光が、受光部下の中央接合近傍で電子 – 正孔対を生成し、この電子 – 正孔対が光励起電流となり、電気トリガサイリスタの ゲート電流と同じ作用をして、サイリスタをターンオン させる。 LED を光源として用いる場合の光励起電流は光源の光パワーの制約により、電気トリガサイリスタ に比べ約2 けた(桁)程度小さい。このため光トリガサイリスタでは電気トリガサイリスタに比べ、ゲートトリガ 感度を2 桁程度高くする必要がある。一方、サイリスタの耐圧を上げれば、当然高い dv/dt 耐量が必要になってくる。 dv/dt による変位電流は、受光部に対して光励起電流と同じ作用をする。

そのため、最小光トリガパワーを小さくすれば、それに伴い dv/dt 耐量も低下する。すなわち、光トリガパワーと dv/dt 耐量とは、トレードオフの関係にあり、 これが光トリガサイリスタ の高耐圧化を図る上での障害になっていた。

この光 トリガパワー と dv/dt 耐量の関係を 図 4. に 示す単純化された受光部の \mathfrak{t} モデル を用いて考察する。 ここで, $P_S: p_B$ 層の \mathfrak{t} シート 抵抗, $D_E: n_E$ 層の直径,d:入射光の直径,n:光パワー の電流変換効率, $V_{th}: \mathfrak{t}$ サイリスタ を ターンオン させるために必要な電子の注入を引き起こす J_3 接合の バイアス 電圧とすると,最小光 トリガパワー $P_{LT}*$ は

 $dv/dt = 4 \pi V_{th}/C_j P_S D_{E^2} \cdots (2)$

と表される。式(1),式(2)から,最小光トリガパワーと dv/dt 耐量間のトレードオフ を改善し,最小光トリガパワー F_{LT} *を小さく,dv/dt 耐量を大きくするには, D_E/d が大きく, D_E が小さい受光部構造にすればよいといえる。FT 1500 GU では小さな受光部に,小さな直径の光を集中的に入射させる構造を採用し,最小光トリガパワー7 mW で,dv/dt 耐量 3,000 V/μ s を実現している。

2. 3 di/dt 耐量の改善

一般に、大口径 サイリスタでは、ターンオン 領域を短い時間でウェーハの全領域に広げるため、主サイリスタの エミッタ 周縁長を大きくした増幅ゲート 構造が用いられる。一方、主サイリスタの エミッタ 周縁長が大きくなるにつれ、その周縁を均一に、しかも一斉に ターンオン させるために必要な電流も大きくなる。サイリスタに流れる ターンオン 時の初期電流は、エミッタ 周縁部が ターンオン するまでは、 増幅 ゲート の初期ターンオン 領域に集中する傾向がある。 また、高耐圧素子ほど ターンオン 時の電圧が高くなり、スナバ回路からの放電電流も大きくなるため、大きな エミッタ 周縁長をもつ高耐圧素子ほど、 増幅 ゲート の初期 ターンオン 領域への電流集中が一層顕著になり、 dildt 耐量が低下する。

先にも述べたように、大口径光トリガサイリスタでは、小さな受光部構造と $1 \le y \le p$ 周縁長の大きな主サイリスタを組み合わせることが必要となるため、di/dt 耐量が一層低下してしまう。この問題を解決するため、この素子では、図 5. に示す小さな受光部と多段増幅形のゲート構造を組み合わせ、初期 $9-v \to v$ 領域が速やかに後段の補助サイリスタ 領域へ移行し、初期 $9-v \to v$ 領域における電流集中を軽減しながら、主サイリスタ 周縁に十分なトリガ電流を与えることができる構造を採用して、 $300 \text{ A}/\mu s$ の di/dt 耐量を実現している。

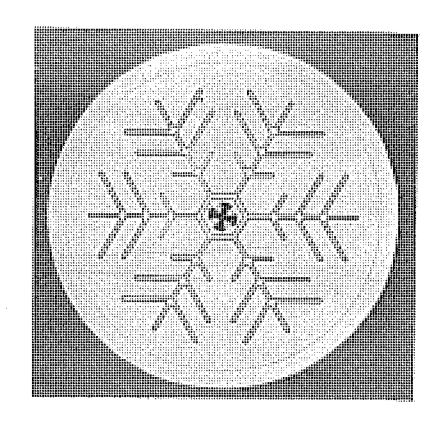


図 5. FT 1500 GU-160 の ペーシックエレメント

3. 内部ライトガイドの設計と構造

光トリガサイリスタの光伝送系は、光源である LED から パッケージ の光入射端まで光を伝送する光 ファイバ と、パッケージ 光入射端から受光部まで光を伝送する内部 ライトガイド とから成り立っている。 先にも述べたように、最小光トリガパワー P_{LT} *と dv/dt 耐量間の トレードオフを改善するには、光ファイバで送られてきた光を小さな受光部に小さな直径の光を集中的に入射させる必要がある。 しかも、一般の サイリスタ において、実使用時には di/dt 耐量を増加させ、ターンオン 遅れ時間を短縮する目的で、最小 ゲートトリガ電流の数倍以上の ゲート電流を通電するのと同様に、光トリガサイリスタ においても、実使用時には、最小光トリガパワーの数倍以上の光パワーを入射させる必要がある。

このような大きな光パワーを受光部に供給するには、光源の LED の大出力化を図るとともに LED と結合する光ファイバ断面積を大きくして、 LED と光ファイバの結合効率を高くするとともに大口径光ファイバからの光パワーを小面積の受光部に高効率で伝送できる内部ライトガイドの設計が重要な課題となる。これを実現するために、図 6. に示すように、内部ライトガイドの形状を光入射端では太く、光出射端に向って順次細くなるテーパ状(5)にし、その先端部をライトガイドの直径に比べ大きな曲率半径で直角に曲げる形状とした。この形状を決定するパラメータによっては、光が内部ライトガイドの側面から外に漏れ、光伝送効率が低下するので、数値解析により内部ライトガイドが無損失伝送路となるパラメータを求め、その形状を決定した。図 6. を用いてこれを説明する。

$$n \cdot \frac{\frac{R}{d} - \frac{1}{2}}{\frac{R}{d} + \frac{1}{2}} \sin \left[\cos^{-1} \left\{ \frac{D}{d} \sin \left(\sin^{-1} \frac{NA}{n} + \tan^{-1} \frac{\left(\frac{D}{d} - 1 \right)}{2\left(\frac{L}{d} - \frac{R}{d} \right)} \right\} - \tan^{-1} \frac{\left(\frac{D}{d} - 1 \right)}{2\left(\frac{L}{d} - \frac{R}{d} \right)} \right] \ge 1$$
.....(3)

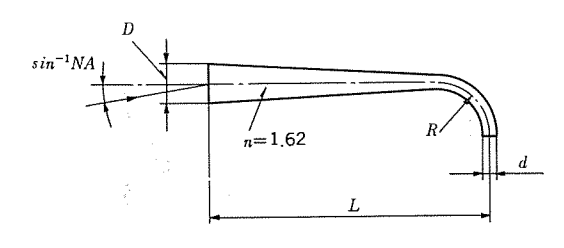


図 6. 内部 ライトガイド の形状

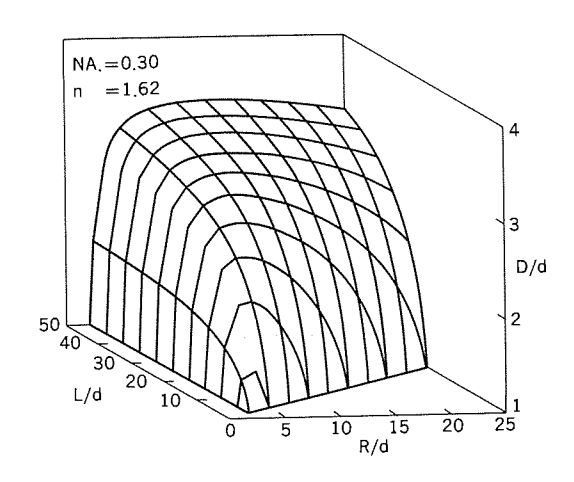


図 7. 内部 ライトガイド の無損失条件(但し $NA=\sin \theta$)

れば、ライトガイドに入射した光は無損失で出射端まで伝送できることを示している。 最適内部 ライトガイド 形状をこの設計手法により決定した結果、入射端と出射端での反射損失や入射端と光ファイバとの位置ずれによる結合損失を含んでも、 光伝送効率が 80 % 以上という高い値が実現された。 また、この内部 ライトガイド は パッケージ の側面から貫通する構造となっている。 内部 ライドガイド と パッケージ の間の気密封止は、パッケージ と内部ライトガイド それぞれの熱膨脹係数の差による熱応力を緩和して、熱衝撃や振動にも十分耐え得る構造が採用され、ヘリウムリーク率 1×10-8 cc/s 以下を実現している。

4. 特性と定格

前節に述べた製造技術と、設計方法を適用することにより開発された FT 1500 GU-160 の主な特性の代表例を表 1. に示す。次に主な項目について説明する。

(1) 電圧阻止特性

定格 ℓ -ク 繰返し \dagger つ 電圧,定格 ℓ -ク 繰返し逆電圧は $8,000~V~\sigma$ ある。その常温における電圧 - 電流波形の例を図 8.~ に示す。

(2) di/dt 耐量

耐圧が 8 kV であるにもかかわらず,多段増幅 ゲート 構造の採用により,300 A/µs という高い di/dt 耐量を実現している。その電流 -電圧波形の一例を図 9. に示す。

(3) 最小光 トリガパワー と dv/dt 耐量

表 1. FT 1500 GU-160 の主な特性

	項	B		記号	特 性 値	単 位
ピー	ク繰り	返し逆電	Œ	V_{RRM}	8,000	V
ピー	ク繰返	しオフ電	Œ	V_{DRM}	8,000	v
平	均オ	ン 電	流	IT(AV)	1,500	A
臨界	! オン1	電流 上昇	率	di/dt	300	A/μs
逆	1	E	流	IRRM	300	mA
オ	フ	電	流	IDRM	300	mA
オ	ν	電	圧	V _{TM}	3.0 (4,800 A)	v
臨界	オフ	電圧上昇	率	dv/dt	3,000	V/μs
最 小	、光ト	リガパワ		PLT	7	mW
у.	- v	オン時	[13]	tgt	6	μs
タ ー	- ンオ	ン遅れ時	[II]	t _d	3	μs
逆	回	復 電	荷	Qrr	4,000	μC
接		温	度	T_j	-40~+125	°C

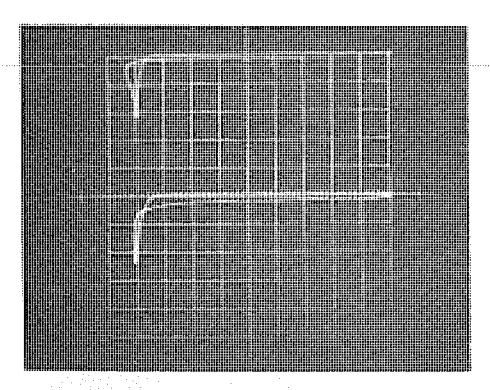


図 8. 順逆阻止特性 (上: オフ 電圧, 下: 逆電圧, 縦軸 10 mA/div, 横軸 1 kV/div)

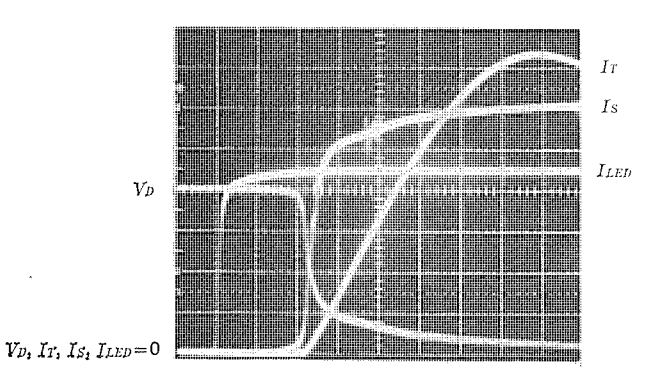


図 9. ターンオン 時の電流 – 電圧波形(縦軸 $I_T:200$ A/div, $V_D:1,000$ V/div, 2ナパ 電流 $I_S:20$ A/div, LED 電流 $I_{LED}:2$ A/div, 横軸 1 μ s/div)

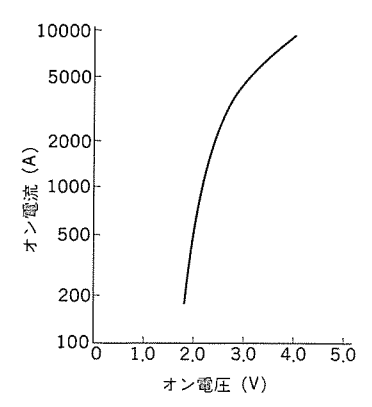


図 10. FT 1500 GU-160 と 4 kV, 1,500 A 光 トリガサイリ スタ の *V-I* 特性

最小光 トリガパワー は, 室温,陽極 - 陰極間電圧 6 V の条件下で 7 mW 以下が実現され, しかも dv/dt 耐量は従来の 4 kV,1,500 A 電気 トリガサイリスタ 2 直列接続に 相当する 3,000 V/ μ s 以上という大きな値が実現されている。

(4) オン 状態特性

図 10. に FT 1500 GU-160 の オン 状態の特性例を示す。 先に述べた新しい不純物拡散技術, ライフタイム 制御技術及び最適 ショートエミッタ 設計方法の適用により, 8,000 V という高耐圧素子にもかかわらず,

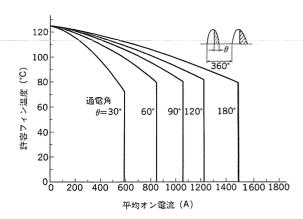


図 11. FT 1500 GU-160 の平均 オン 電流と許容 フィン 温度 (60 Hz, 正弦半波通電)

4,800 A 通電時の オン 電圧は 3.0 V である。

(5) 平均 オン 電流

図 11. に FT 1500 GU の 60 Hz, 正弦半波通電における平均 オーン 電流と許容 プィーン 温度の関係を示す。 プィーン 温度 79 C で平均 オーン 電流 1,500 A の通電能力をもつことがわかる。

5. む す び

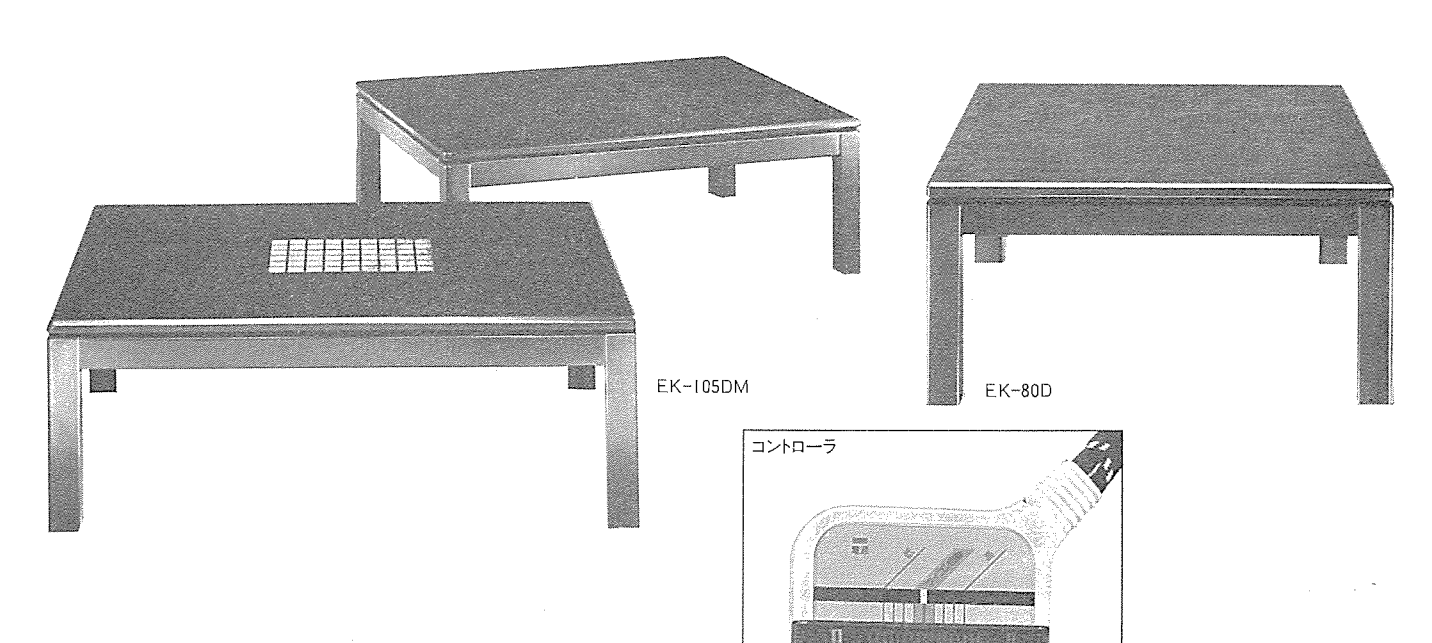
今回開発試作した高耐圧大容量光トリガサイリスタ(形名:FT 1500 GU -160)の設計,及びその構造と特性定格を中心に述べた。この開発試作成功により,現在,実用レベルにある 4 kV,1,500 A 光トリガサイリスタの直列数をほぼ半減することができることから,直流送電バルブをはじめとする超高圧電力変換装置の分野で,高信頼度化,装置の小形化,軽量化に寄与し,特に今後の $250\sim500$ kV 級直流送電用光 サイリスタバルブ 開発に,大きく貢献するものと期待される。

参考文献

- (1) 大野ほか:油冷・油浸構造による屋外形 サイリスタ 高圧 バルブ, 三菱電機技報, 45, No. 6 (昭 46)
- (2) T. Sakurai, et al.: Shin-Shinano Frequency converting station and its Thyristor Valve, WELC, Moscow, 23, Jun. (1977)
- (3) 山田ほか:直流送電用 125 kV 1,800 A 光 サイリスタバルブ,東 芝 レビュー(39 巻 2 号)(昭 59)
- (4) 多田ほか;4,000 V, 1,500 A 光トリガサイリスタ、電気学会電子 デバイス 半導体変換合同研究会資料,ED-80-78,SPC-80-21 (昭 55)
- (5) 中川ほか: 直流送電用 サイリスタ, 三菱電機技報, **57**, No. 10 (昭 59)
- (6) A. Tada et al.: Improvement in Trade-off between Turn-off Time and Other Electrical characteristics of Fast-Switching Thyristor, JPN, JAP Vol. 21, No. 4 (1982)



三菱電子温風家具調コタツマイコンタイプ新登場



三菱電子温風家具調コタツ〈マイコンタイプ〉は、従来の家具 としてのインテリア性と、まろやかな電子温風に加え、マイ コン電子コントロール方式によるきめ細かな温度制御方式を 採用。快適性をさらに向上させた新製品です。

電子温風家具調コタツは、マイコンタイプ2機種の登場により、カスタムタイプ、スタンダードタイプ、リビングタイプの4タイプ6機種に充実。多彩なバリエーションで多様化するニーズにお応えします。

特長

- ●すばやい立ち上がりのオート機能〈マイコンタイプ〉 スイッチ「ON」でヒーターとモーターを強運転し、すばやく暖めた後、自動的に設定温度に戻すオート機能。「マイコン自動」にセットすれば目盛を「強」…暖まったら「中」と操作する手間がいりません。
- ●室温対応の自動温度コントロール機能〈マイコンタイプ〉 マイコンが室温の変化に応じて自動的にコタツ内温度を快適に コントロールします。

●静音運転機能

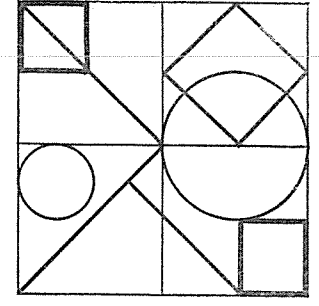
スイッチ「ON」でモーターを強運転し、コタツ内が暖まったら 弱運転に切換えて運転音を下げる静音機能。

- ●邪魔な出っぱりヒーターがない本格的家具調コタツ ヒーター部分はボードの中に収納されていますから、コタツ内 はひろびろ、足をゆったり伸ばせます。
- ●下吹出しプラス横吹出しの電子温風式 下吹出しプラス横吹出しのまろやかな電子温風がすばやくコタ ツ内を暖めます。ランプ式のように肌をさす熱さがありません。
- ●高い安全性、赤熱しない半導体ヒーター採用。
 赤熱しない半導体ヒーターを採用していますから過熱の心配もなく、安心して使用できます。

万一に備えて安全装置(温度ヒューズ)も取りつけられており、 安心して使用できます。

仕様

L 14							
タイプ	マイコン	マイコンタイプ		カスタムタイプ スタンダー		リビングタイプ	
形 名	EK-105DM	EK-120DM	EK-78D	EK-80D	EK-90D	EK-93DL	
定格電圧			. 100V 5	0-60Hz			
定格消費電力	最大560W	-最小12W		最大495W	-最小70W		
ヒーター			半導体ヒーター(PTCサーミスタ)			
モーター			くまとり) 形(2P)			
温度制御方式	マイコン電子コ	ントロール方式	サーモダンパー方式				
温度調節幅	約32℃ ~	~約70℃	℃				
安全装置			温度ヒ	ューズ			
色 調	ダーク	ワイン		ブラック			
専用上板柄	長:ムーンラ 奥:本日(楠)	イトゴールド		表: ブラック 裏: ホワイトグレー			
セット 寸法 たて×よこ×高さ	105×75×36.6cm	120×79×36.6cm	78×78×35.8cm	79×79×36.6cm	90×90×36.6cm	93×70×35.8cm	
標準価格	64.800[1]	69,800[1]	42,800[1]	49,800[1]	54,800[1]	52,8001円	



特許と新案有償開放

有償開放についてのお問合せ先 三菱電機株式会社 特許部 TEL (03) 218-2136

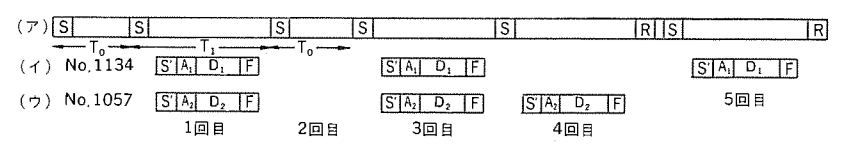
データ 伝送 方式 (特許第944905号)

発 明 者 小 林 信 三·太 田 堯 久

この発明は中央局と多数の端末局との間のデータ伝送に関するものであり、比較的少数の伝送回線を多数の端末局が共通に利用して伝送回線の利用効率を高めるデータ伝送方式を提供するものである。

本発明の方式を図に示す。中央局は(ア)に示すように、端末局からの発呼がない間は同期信号Sを一定時間間隔Toで送信する。端末局は、同期信号Sを受信検知すると、中央局に対しデータを送出する。中央局が端未局からのデータを受信すると端末局へ確認信号を返送するが、2以上の端末局から同時にデータが伝送されるとデータが正しく受信されないので確認信号は得られない。この場合は端末局からデータの再送出を行うが、その際同時にデータ伝送を行った2以上の端末局が、共通のある時点に対して互いに異なった時点から再送出を開始するようにして、数回以内の繰返し送信により他の端末局と同時送信にならないように確実に完了させる

のがこの発明の特徴である。 異なった時間遅れでデータを再送出する方法はい ろいろ考えられるが、一例として端末局のアドレス番



発電機の冷却装置(実用新索第1331810号)

考案者 脇 坂 博 視・金 行 和 厳・尾 上 茂

この考案は変速駆動源から駆動される発電機の冷却装置に関するも のである。

自動車に装備される発電機は電圧調整器によって界磁電流が制御されて出力電圧が一定値に調整され各種電気負荷に給電するものである。一方この給電による発電機の発熱を冷却するために発電機回転軸には冷却ファンが設けられているが、このファンは発電機と同速で回転するため、発電機の出力特性に基づいてその発熱が高速では飽和傾向にあるにもかかわらず高速になるほど増大する風量を与え、

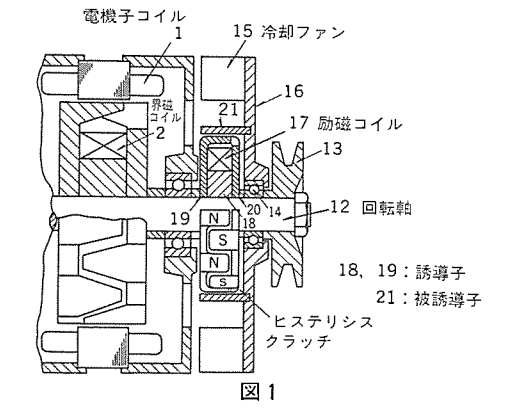
このためファン駆動損失が大きく, 又騒音も大きかった。

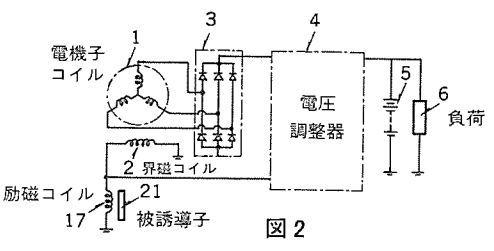
この発明は発電機回転軸と冷却ファンとの間にクラッチを設け、このクラッチ 伝達 トルク を電圧調整器によって制御される界磁電流の大きさに対応して制御することにより、発電機に必要とされる冷却風量を効率よく与えると共にファン騒音を低減するものである。

図 1, 図 2 はこの考案の実施例を 示すもので、電機子 コイル(1)と界 て駆動される冷却 7_{72} (15) が設けられ、この 9_{79} チ は回転軸(12) に対して固定される励磁 3_{71} (17) と周方向磁極を構成する誘導子(19)、(20)、及び 3_{72} (15) に固定される被誘導子(21) から成り、その伝達 3_{71} (2) と共に電圧調整器(4)によって制御される励磁 3_{71} (17) の励磁電流によって決定される。この制御される伝達 3_{71} (17) の回転数はその規定回転数に制限されるため高速にの動力を発しまるに対することができませる。

磁 コイル(2)を含む発電機の回転軸(12)にはヒステリシスクラッチを介し

速時の動力損失を低減することができ、しかも 発電機発熱量と相関を有する界磁電流に対応し て回転数制限値を制御していることから一層効 率のよい冷却が可能であり、 又、 ファン 騒音も 低減できるものである。





特許と新案有償開放

有償開放についてのお問合せ先 三菱電機株式会社 特許部 TEL (03) 218-2136

FM 受信機用雑音抑制回路 (特許第1105397号)

発明者 岩本康雄

との発明は、FM 受信機における雑音抑制回路に関するものである。

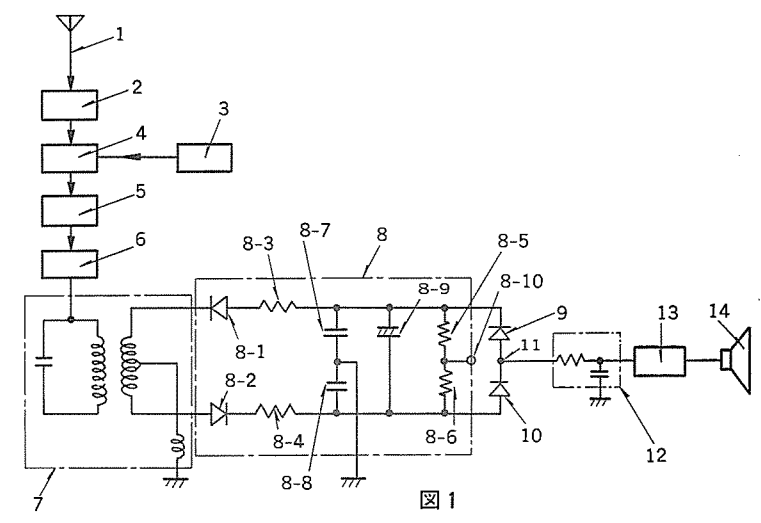
一般に FM 受信機では、到来電波がないときや微弱すぎる場合であって振幅制限回路の作用が完全に機能しなくなる領域で、音声の歪が現われ、かつ雑音が増加する。このため、このような

場合だけ自動的に雑音を抑制する雑音抑制回路を設けておくことが望ましいが、この種従来回路は複雑、高価であり、また、不快なクリック音を発生し易いという問題があった。

この発明は、非線型順方向特性を有する2個の半導体整流素子の直列接続体を比検波器の直流負荷回路として順方向に接続し、この比検波器の検波出力が所定レベルに達したとき各半導体整流素子が導通して、その中点から音声信号を取り出すように構成するとともに、検波出力が所定レベル以下の場合は、各半導体整流素子が非導通となり、次段の入力インピーダンスより高いインピーダンスとなることによって音声信号を減衰させるようにしたもので、簡単かつ安価なFM 受信機用雑音抑制回路を得ることが可能となる。また、雑音が生じ始めると、まず高音が自動的にカットされるため、微弱な信号に対する了解度が良好となる効果も

得られる。

図 1. はこの発明の一実施例で, (8)は比検波器, (9)(10)は半 導体整流素子, (11)は中点, (12)は ディエンファシス 回路である。



〈次号予定〉 三菱電機技報 Vol. 58 No. 11 電子デバイス特集

特集論文

- ❷細ネックカラーブラウン管用多段集束電子銃
- ●MLP-2 コンパクトディスクプレーヤ用光ピックアップ
- ●コンパクトディスクプレーヤー用光ピックアップサーボコントロールIC
- ●CD 方式 DAD 信号処理LSI
- ●C MOS 搭載形厚膜サーマルヘッド
- ●高選択性セラミックガスセンサ
- ●高密度基板実装技術

普通論文

- ●人工島に建設された最新鋭中間負荷火力発電所の電気設備 一御坊火力発電所1号機一
- ●新規格形エレベータ《エレペットアドバンスV》
- ●三菱電機ワイヤカット放電加工機F 1 シリーズ
- ●光ファイバー貫通部
- ●バイポーラ標準ロジック IC ALSTTL シリーズ の 機能と 性能
- ●新しい構造をもつ電球形蛍光灯《ピカッ灯ぴかいちくん》
- ●中部電力(株)総合パケット交換網

三菱電機技報編织	集委員			三菱電機技報 58 巻 10 号
三菱電機技報編金巻のでは、「「「「」」では、「「」」では、「」では、「」では、「」では、「」では、「	秦馬岸三峯翠佐大井立吉川田的員場本浦松川藤年上川田井中場準時 雅 文倉 兵太 克一二宏登祈彦像通衞郎尚介徹	委 《 "	山柳樱德柴酒武瀬永小尾岡壺内下井山山井富辺井原形田井教平浩長一夫児昭夫一弘介昭教平浩長一夫児昭夫一弘介昭	昭和59年10月22日 印刷 昭和59年10月25日 発行 福集兼発行人 岡 田 俊 介 印 刷 所 東京都新宿区市谷加賀町1丁目12番地 大日本印刷株式会社 発 行 所 東京都千代田区大手町2丁目6番2号 (〒100) 変電エンジニアリング株式会社内 「三変電機技報社」Tel. (03) 243 局1767 発 売 元 東京都千代田区神田錦町3丁目1番地 (〒101) 株式会社 オーム社 Tel. (03) 233局 0641(代), 振替口座東京6-20018
"	野村兼八郎			定 価 1部500円送料別(年間予約は送料共6,700円)



三菱 ハンディ パーソナルコミュニケーター 《ウィスパーノット》



このたび三菱電機では、パーソナルコミュニケーター《ウィスパーノット》を発売しました。誰もが自由に交信できるパーソナル無線に、いま初めてハンディタイプが登場。街に、海に、山に、どこへでもアクティブにとび出せるパーソナルコミュニケーターの新しいカタチ、それが《ウィスパーノット》です。三菱の高度な通信技術が、コミュニケーションをさらにひろげます。

特長

●手の中にスッポリ、ハンディタイプ

回路の大部分にハイブリッドIC及びLSIを採用。三菱の高度なエレクトロニクス技術により、幅5.2cm、奥行5.6cm、高さ20.4cm (バッテリーパック含む) のコンパクトなサイズを実現。また、重さはバッテリーを含めても約860g。どこへでも連れていけるパーソナルコミュニケーターです。

小さなボディで、パワフル

GaAs電界効果トランジスターの採用により、小形ながらパーソナルコミュニケーター最大の5Wをアンテナに供給。また、車載・基地局使用時は7dB高利得アンテナを使用でき、より遠くへの交信も可能です。

●操作は指一本、シンプル

パーソナル無線に最低必要な機能は、できる限りシンプルにしました。群番号の設定、呼出し、リコール、モニター、CQコールなど、すべてワンタッチ操作がOK。メカに自信がない人も抵抗なく使いこなせます。

●持って出る、車にのせる、家に置く、一台三役

携帯としてはもとより、車載用や基地局用のオプション群も豊富に 用意。マイク操作部を分離してクルマで、また家庭用充電器にセットして…とさまざまな使い方にフィットします。

※オプションとして①家庭用充電器 (PJ-32A) ②車載用充電器 (PJ-33A) ③充電式バッテリーパック ④接続ケーブルなどを 用意しています。

仕様

周波数	903.0125~904.9875MHz
チャンネルペーシング	25KHz
チャンネル数	80チャンネル(制御チャンネル1波・通話チャンネル79波)
通信方法	単信方式(プレストーク)
送信装置	空中線電力5W
受信装置	感度0dBμV以下
スプリアス	60dB以上
内部スピーカー入力	最大250mW·8Ω
マイク入力レベル	-66d B •1.5K Ω
電源電圧	7.2V±10% マイナス接地
外形寸法	幅52×奥行56×高さ204mm(アンテナ部除く)
重量	本体330g、操作部160g、電池370g